

TN8420 89-010

PNC 18420-89-001

内部資料

本資料は 年 月 日付で登録区分、  
変更する。

2001. 6. 20

[技術情報室]

## アスファルト固化体及びプラスチック固化体 の劣化等に関する調査

1989年4月

動力炉・核燃料開発事業団  
東海事業所 環境施設部  
処理第一課



本資料の全部または一部を複写・複製・転載する場合は、下記にお問い合わせください。

〒319-1184 茨城県那珂郡東海村大字村松4番地49  
核燃料サイクル開発機構  
技術展開部 技術協力課

Inquiries about copyright and reproduction should be addressed to:  
Technical Cooperation Section,  
Technology Management Division,  
Japan Nuclear Cycle Development Institute  
4-49 Muramatsu, Tokai-mura, Naka-gun, Ibaraki, 319-1184  
Japan

© 核燃料サイクル開発機構 (Japan Nuclear Cycle Development Institute)  
2001

の目的  
下特に  
とのと

use

シ

内部資料

PNC ~~8420 89-001~~

1989年4月



## アスファルト固化体及びプラスチック固化体 の劣化等に関する調査

実施責任者 落合健一

報告者 村山保美, 菅原勉  
久保木昭\*, 若林徹\*

### 要旨

低レベル廃棄物のアスファルト固化体及びプラスチック固化体の長期的健全性評価の一環として、①アスファルト及びプラスチックの微生物分解等に関する一般情報、②同材料の耐候性等に関する一般情報、③低レベル廃棄物管理におけるアスファルト固化体及びプラスチック固化体の微生物分解並に④同固化体の耐候性等についての国内外の技術情報を収集し、それを活用し易い形に整理した。

情報検索は、各種データベースを用い、過去最大11年間の国内外文献及び特許情報を機械検索、更にマニュアル抽出を行い、合計73件の技術情報を収集した。

①～④項については、それらの内容抄録を、項目別、重要度のランク別に整理した文献リスト、並びに計28件の重要度Aランク情報について、技術内容を要約した要約集を作成した。

なお、重要度Aランク情報については、それらの原文を技術資料集として別に取りまとめた。

\* 株式会社 タイヤリサーチ解析調査室

## 目 次

1. まえがき	1
2. 情報検索	2
2.1 検索方法	2
2.2 検索結果	2
2.2.1 アスファルト及びプラスチックの劣化等に関する一般的技術情報	2
2.2.2 低レベル放射性廃棄物管理におけるアスファルト及びプラスチックの劣化等に関する技術情報	3
3. 主要情報の整理	4
4. 重要情報の内容要約	6
要約集	13
1. アスファルト及びプラスチックの微生物分解等に関する一般情報	13
2. アスファルト及びプラスチックの耐候性等に関する一般情報	53

3. 低レベル放射性廃棄物管理における固化体  
の微生物分解等に関する情報 ----- 135
4. 低レベル放射性廃棄物管理における固化体  
の耐候性等に関する情報 ----- 215
5. あとがき ----- 244

## 付録

1. アスファルト及びプラスチックの微生物分解等に  
関する一般情報 ----- 245
2. アスファルト及びプラスチックの耐候性等に  
関する一般情報 ----- 254
3. 低レベル放射性廃棄物管理における固化体  
の微生物分解等に関する情報 ----- 270
4. 低レベル放射性廃棄物管理における固化体  
の耐候性等に関する情報 ----- 281

## 1. まえがき

使用済燃料再処理工場の運転により、低放射性の濃縮廃液及び廃溶媒が発生するが、濃縮廃液はアスファルト固化され、廃溶媒はドデカンとTBP(トリブチルリン酸)に分離し、TBPをプラスチック固化する。これらの固化体はドラムに収納され野戸施設において長期保管され、また将来的には地中埋設処分が計画されている。

しかし、いずれも有機物であるため微生物及び気象条件等により浸食または劣化され固化体の長期的な健全性が損なわれる懸念がある。

本調査は、アスファルト固化体及びプラスチック固化体の長期的健全性評価の一環として、微生物もしくは一般的の生物による分解・侵食並びに太陽光線、降雨、温度等の気象条件による劣化(耐候性)等に関する国内外の産業界や実験室で得られた技術情報を収集、整理することを目的とする。

## 2. 情報検索

### 2.1 検索方法

過去最大11年間ににおける国内外の技術情報を表1に示すデータベースを用いて機械検索を行い、次いで得られた抄録の中から当該技術に関するものをマニアル抽出する。マニアル抽出の後、情報内容の重要度によりA,Bの2つにランク付けを行った。

表1 検索に使用したデータベース

情報	データベース	分野	プロデューサー
文献	JICST	自然科学全般	日本科学技術情報センター
	NTIS	同上	National Technical Information Service
	INIS	エネルギー	International Nuclear Information System
特許	CA	化学	Chemical Abstracts Service

### 2.2 検索結果

#### 2.2.1 アスファルト及びプラスチックの劣化等に関する一般的技術情報

一般的技術情報について表1 のデータベース中最もかか

範囲の広い JICSTによる検索結果を表2 に示す。

## 表2 JICSTによる一般情報の検索結果

技術内容	検索期間	回答件数	マニユアル抽出	重要度分類	
				A	B
微生物分解等	'79/4 ~ '89/3	194	17	6	11
耐候性	'84/1 ~ '89/3	218	34	9	25
計		412	51	15	36

プラスチックの耐候性に関する情報は膨大であるため、プラスチックの種類(キーワード)をプラスチック一般、エポキシ樹脂、ポリ塩化ビニルに限定して検索を行った。

微生物分解等による劣化のうち、微生物以外の一般的な生物による侵食に関するものは、回答件数が4件と極めて少なかった。

### 2.2.2 低レベル放射性廃棄物管理におけるアスファルト及ぼプラスチックの劣化等に関する技術情報

各種データベースによる検索結果を表3 に示す。

JICST及びCAについては、固化方法に関する情報が多いため、回答件数に対するマニユアル抽出率が低くなっている。

表3 各種データベースによる低レベル放射性廃棄物管理における技術情報の検索結果

技術内容	検索期間	回答件数	マニアル抽出	重要度分類	
				A	B
微生物分解					
INIS	'78/1 ~ '89/1	49	3	2	1
NTIS	'79/1 ~ '89/2	9	4	2	2
耐候性					
INIS	'78/1 ~ '89/1	8	4	2	2
NTIS	'79/1 ~ '89/2	6	3	1	2
JICST	'81/4 ~ '89/3	254 <small>(未)</small>	8	6	2
CA	'67 ~ '89	21 <small>(未)</small>	0	0	0
計		347	22	13	9

注1) 情報の抽出漏れを避けるため、「低レベル放射性廃棄物の固定化」に関するものをすべて抽出

2) 同上の理由により、「放射性廃棄物に関連するアスファルトまたはプラスチック」に関するものをすべて抽出

### 3. 主要情報の整理

2項に示したように、マニアル抽出、A、Bのランク付けを行った主要情報は、合計 73 件となり、これら主要情報の項目別の件数は以下の通りである。

(1) アスファルト及ぶラスティックの劣化等に  
関する一般情報 ----- 51 件(内 Aランク 15 件)

- ・微生物分解等に関する情報---- 17 件(内 Aランク 6 件)
- ・耐候性等に関する情報---- 34 件(内 Aランク 9 件)

(2) 低レベル廃棄物管理における固形体

の劣化等に関する情報----- 22 件(内 Aランク 13 件)

- ・微生物分解等に関する情報---- 15 件(内 Aランク 10 件)
- ・耐候性等に関する情報---- 7 件(内 Aランク 3 件)

これら主要情報の内容抄録を上記項目別、ランク別に分類  
したものを文献リストとして付録 1 ~ 4 に添付する。

また、4 項の重要な情報の要約における対象情報との対応と  
便利をように、微生物分解等に関する一般情報には B-1 ~  
B-17、耐候性等に関する一般情報には W-1 ~ W-34、低レベル  
放射性廃棄物管理における固形体の微生物分解関係には  
RB-1 ~ RB15、耐候性関係には RW-1 ~ RW-7 の No. を付して  
ある。

なお、主要情報のうち Aランク情報を重要情報とし、これについて  
は、文献の原文を技術資料集として別に取りまとめた。

#### 4. 重要情報の内容要約

Aランクの重要情報について原文を通常の上、和文要旨を作成し、関連する図及び表に簡単を説明を付した要約集を以下のように項目別に作成した。

- 1 アスファルト及びプラスチックの微生物分解等に関する一般情報 (B-1～B-6)
- 2 アスファルト及びプラスチックの耐候性等に関する一般情報 (W-1～W-9)
- 3 低レベル廃棄物管理における固化体の微生物分解等に関する情報 (RB-1～RB-10)
- 4 低レベル廃棄物管理における固化体の耐候性等に関する情報 (RW-1～RW-3)

上記項目について、内容別に、若干の考察を含め、主要な点をまとめると次のようになる。

- (1) アスファルト及びプラスチックの微生物分解等に関する一般情報について

ポリ塩化ビニル(PVC)は、可塑剤を加えて軟質にした可塑化PVCと、可塑剤を加えずにそのままパインなどに加工する軟質PVC

に分類される。B-1,B-2 および B-4 は何れも可塑化 PVC の微生物分解に関する報告である。

B-1 は微生物分解についてのレビューで、PVC そのものは分解されないが、可塑剤が分解されるため製品が劣化するとしている。

B-2 は、カビとバクテリアが変態共生系をつくる場合は、カビが優勢集團をなすので、殺カビ剤によりカビの成長を抑えれば、バクテリアによる劣化が防げるとしている。

B-4 でも、電線の被覆に用いる PVC 配合物で可塑剤の選択が微生物分解の観点から重要であることを強調している。

B-5 は PVC を含むプラスチックの微生物分解のラボテスト法の紹介である。

B-3 は、防水樹脂やアート配線用基材としてのエポキシ樹脂が、カビやバクテリアに侵食される例を紹介している。

アスファルトまたはプラスチックが一般的な生物例では蟲歯類によって侵食される例は、少なくとも報告されたものとしては、ほとんど見当らない。B-6 はアスファルト乳剤を野兔の忌避剤として用い、ヒヨコ食害に対する効果があつたとの報告であるが、アスファルトが一般的な生物の侵食を受け難い例を示すものであろう。

なお、微生物分解等に関する一般情報では、アスファルトに  
関するものは二の1件のみである。

(2) アスファルト及びプラスチックの耐候性等に関する一般情報に  
ついて

W-1, W-4, W-6, W-8 および W-9 の5件は PVC の耐候性に  
関する報告である。

W-1は暗所貯蔵における機械的性質とくに耐衝撃性の  
経時変化、W-4は工場の排水池の内張に使用されていたPVC  
の劣化状況の調査報告である。

W-6はPVCを含む高分子の光劣化機構、W-8はPVC劣化の  
初期段階における着色現象のレーザラマン分光分析による解析で  
ある。

W-9は重合時に可塑剤を添加することによる耐候性の向上を  
図ったものである。

W-3, W-5 および W-7 はエポキシ樹脂の耐候性に関する  
報告である。

W-3は接着剤としてのエポキシ樹脂についての報告であり、可塑

前やPVCなどと変性したエポキシ樹脂の屋外暴露試験を行ってみる。何で変性するかによって異なるが、100日で40~80%の強度低下が認められている。

W-5はエポキシ樹脂を含むパイプライン被覆材の耐候性試験結果、W-7は絶縁材料としてのエポキシ樹脂の屋外暴露試験結果で、W-7では樹脂の種類、配合材により耐候性が左右され、樹脂についてはシクロ辛かビス辛より優れているとの結果を得られている。

W-2では、アスファルトにおいて飽和化合物とアスファルテンの比が2~3のブローンアスファルトが促進耐候性試験で良好な結果を示したとしているが、軽油の耐候性データは示されていない。

### (3) 低レベル廃棄物管理における固化体の微生物分解等に関する情報について

RB-1はアスファルト固化体とビニルエステルスチレン樹脂固化体のカビ・バクテリア抵抗性について、侵される場合もあり、侵されない場合もあるというような定性的な記述をしている。

RB-8は、RB-1の内容が類似しているが、熱サイクル1=+3

安定性テストについても触れている。

RB-2はアスファルトの微生物分解の定量的ラボテストで、土壤中の分解速度を  $5.5 \times 10^{-4} \text{ cm/year}$  と見積っている。

RB-6は最終貯蔵場におけるアスファルト固化体に対する微生物の作用につき、予備実験と応用の考察を行っている。

他に、アスファルトの微生物分解のラボテストに関するものとして RB-3, RB-4 および RB-10 がある。

RB-4 および RB-10 では微生物による分離のラボテスト方法、 RB-3 ではラボテスト結果が紹介されているが、何れもテスト方法が記されている。RB-4 では、アスファルトの微生物による分離例も紹介されているが、舗装や埋設管被覆アスファルトの分離例が記述されているのみである。

RB-3 のラボテスト結果でも、アスファルト固化体の微生物分離に直接関係するデータや実際の処理場の環境での分離の可能性を示唆するテスト結果は示されている。

RB-5 は NRC の Technical Position (TP) に基づく微生物分離を含む固化体の安定性試験結果、RB-9 は同じく NRC の Branch

Technical Position の紹介である。

RB-9では、Branch Technical Position は TP より厳しい規定を定めているが、試験方法はその大部分が埋設サイトの条件を代表していないので見直しから必要であるとしている。

(4) 低レベル廃棄物管理における固化体の耐候性等に関する情報について

RW-1は DOE の低レベル廃棄物管理計画の一環として、ハンフォードの漢地管理設サイトに建設された、固化体の浸出テストのためのフィールドライシート設備の紹介である。

RW-2および RW-3は、それぞれアスファルト表面とコンクリート表面とに堆積した放射性物質の風化作用と汚染除去を模擬実験で調べている。放射性物質の崩壊以外に降雨等での放射性物質の移動・消失が認められ、その程度を式の定数として算出している。

放射性物質の種類により移動・消失に差があること、アスファルトやコンクリートの表面状態によつても異なることが示されている。

## 要約集

1. アスファルト及びプラスチックの微生物分解等に関する一般情報

B-1 Appl Polym Symp NO.35 ('79)

## 合成高分子の生分解

E. KÜSTER (Giessen大学, 西独)

合成高分子(ポリマー・プラスチック)の生物分解について、従来の報告のレビューを行った。合成高分子の用途は益々広がっていて、その多くは高安定性(微生物も含む外部に対する大きな抵抗性)を要求しているが、廃棄される場合は、ある程度速やかに分解されることが望ましい。

Hueckは プラスチックの微生物劣化を (a) 白蟻・昆虫・齧歯類による細分化、(b) プラスチック表面への土壤等の付着・汚れの発生、これによりカビなどが付着出来るようになる。(c) 化学作用の開始 (i) プラスチック中の各種成分を栄養源とする同化作用 (ii) 微生物からの腐食性物質による異化(分解代謝)作用のステップで進行するとした。

Wallhäuserは、(i) ポリマーを炭素源(または窒素源)と

して利用する微生物分解(ii)可塑剤や添加物などに限定される見掛けの微生物分解(iii)発熱や代謝等の微生物の間接作用とに分類した。

Table I のように合成高分子の多くは微生物に侵され難いが、条件によって左右される。

低分子量ポリエチレンではカビを生じ、PVCでも軟質の場合は容易に分解される。

軟質プラスチック製品製造に不可欠な可塑剤は、微生物がプラスチック上で繁殖するには最良の栄養源と

TABLE I  
Application and Microbial Resistance of Synthetic Polymers

Polymeric substance	Application	Microbial resistance
Polyethylene	Packaging films, insulation, containers	very high
Polypropylene		very high
Polyvinylchloride	Packaging films, foam	very high
Polyvinylidenechloride	Packaging, films of high chemical stability	high
Polyvinylacetate	Packaging films, varnish fabrics	moderate
Polyvinylalcohol	Packaging films	high
Polyvinylbutyral		high
Polystyrene	Films, foam (Styropor)	high
Polymethylmethacrylate	Plexiglas	high
Polycrylonitrile	Fabrics (Orlon, Dralon)	
Polytetrafluoroethylene	Insulation (Teflon)	high
Polytrifluorochloroethylene	Insulation (Hostaflon)	high
Celluloseacetate	Acetate rayon	high
Cellulosenitrate	Celluloid	no resistance
Polyamides	Fabrics (Perlon, Nylon)	low
Polyethyleneterephthalate	Fabrics (Terylene, Diolen)	fair
Polyester resins	Mixed with glass fibers	
Polycarbonates	Utensils	
Silicone	Coatings	high
Phenolformaldehyde	Bakelite	high
Ureaformaldehyde		high
Melaminformaldehyde		no resistance

なる。可塑剤は大別して脂肪族系と非脂肪族系との  
2種があり、前者は特に分解され易い。

化学構造から(a)直鎖エステル系 (b)重合系とに分類さ  
れ、それらについて、微生物の分解に対する抵抗性が  
しらべられている。

塩ビに配合する安定剤の種類によって、バクテリア  
作用の程度が異なり。鉛系安定剤は、Ba/Ca系安定剤より侵  
され易い。錫系安定剤は微生物作用を受け易い。しかし  
一般的に、安定剤と顔料がプラスチックの生物劣化  
に重要な意味を持つことは殆んどない。<sup>注1)</sup>

ホリマーそのものは疎水性で酵素が活動出来ないことも  
あって、通常は生物分解性ではない。ホリマーは極性溶媒に  
も非極性溶媒にも不溶である。分子量の増加は非極性  
溶媒に対する溶解度を減小させる結果、微生物抵抗性  
も増加する。C-Cの分歧も抵抗性増加に寄与する。

注1) R. E. Klausmeier and W. A. Jones, *Devel. Ind. Microbiol.*, I, 30 (1955)  
安定剤や顔料の影響は、可塑剤程大きくないとの意味と推定される。

(訳者注)

塩素含有量50%以下の塩化ハラフイン(ホリ 塩化ビニル)は、微生物によって分解される。塩素含有量50%をかなり超えるPVCや塩化ビニルモナーは、微生物分解を受けることは全くない。

上記により、高分子量のポリマーは、微生物分解抵抗性があると結論づけたいが、我々はこれが"一般的に成立する"といい切れないし、加えて微生物は、反応性の大きい不飽和化合物の方が利用し易いと言う仮定すら、今のところ未だ証明されていない。

プラスチック、可塑剤、添加剤から分離されたカビの種類はかなり多い。カビがプラスチックを汚染する前に、バクテリアが先行し、カビが侵入易くなることがある。

セバシン酸ジイソオクチルで可塑化したPVCは、*Pseudomonas*と、*Brevibacterium*などで分解され、重量が20%減じ、柔軟性を失った。

"ジェチレン"リコールで成長し、"モノエチレン"リコールでは成長

しないバクテリアが"ポリエチレンブリュールから分離されている  
が未確認である。

ポリエチレン、ポリ塩化ビニル、アミノプラスチック、フェノール樹脂  
など種々のプラスチックと、微生物が分解可能な添加剤(例え  
ば50%のセルロースを含むアミノプラスチック、50%の糖質を含  
むフェノール樹脂)からなる堆肥廃棄物から、*Streptomyces* を  
分離した。これら微生物は、フィルムの穴や明るかに  
微生物に起因すると思われる破損の原因になる。

一方、プラスチックの分解が出来りよう微生物を  
適応させることが示唆され、種々の試みがなされている。

プラスチック上で成長した微生物の代謝生成物は、ポリ  
マーに滲透して好ましくない着色を引き起す。またカビの  
代謝生成物は、ポリアミドを劣化させる。カビが、酸を作り  
得ることは、カビがプラスチックを侵すためには重要なこと  
と思われる。<sup>注2)</sup>

土壤中では生物による多數の劣化・分解が行われている。  
分解を活性に行うカビやバクテリアの大半は、土壤中の

---

注2) A. Azadi-Bakhsh, Dissertation, Giessen, 1972  
酸がプラスチック劣化のキッカケを作ることを云ふのである(訳者注)。

微生物である。

ポリマーの生物分解の最初の試験は、それらを土壤中に埋めることで始った。

空気の十分な供給を考慮した(好気性条件下での)実験は多數あって、小さな改良が加えられながら応用されている。

生物学的実験法と別に、生物分解の検出や決定のためにプラスチックの機械的、物理的、化学的変化をしらべることも行われる。

生物劣化防止のためには、殺菌剤を添加する方法がある。逆に、生物劣化を加速するための方法も考えられていて、光によると、分解時間は $\frac{1}{2}$ ～ $\frac{1}{16}$ 倍になるといふ。

光で劣化させたり、機械で粉碎したポリマー微粉は、生物的酸化分解を受け易くなることが知られている。ポリプロピレンとポリエチレンテレフタレートの市販フィルムを、光劣化させた後、カビによる通常の試験では分解性にならなかったとの観察があるが、これはカビの選択性、微生物の共働作用、培養期間に問題があったためと説明されている。

---

注3) 通常の試験についての具体的な説明はされていない。プラスチックフィルムの通常試験法としてフィルムの重量や強度の変化を測って劣化をしらべたものと推定する。(訳者注)

## 可塑化PVCの生物分解とその防止

E. BESSEMS (Akzo Chemie America)

ルーフィング(屋根材)、シャワー カーテン、人工池の内張りなど、水によく触れるところに軟質塩ビ(可塑化塩ビ)を用いた場合、しばしばカビの被害を受けることはよく知られている。これは好適条件下でのカビの成長によるものであるが、この成長には水と栄養分(水溶性の有機炭素と窒素)が必要で、この養分はフィルムから水中にとけ出<sup>注1)</sup>すが、水の多い状態に置かれたフィルム上に沈積<sup>注2)</sup>すること<sup>2)</sup>で供給される。

養分以外の要因として、温度、pH、酸素の有無があげられ、酸素が充分なときは(好気性条件)、炭素分は  $\text{CO}_2$  になる。不充分なときは(嫌気性条件)は、種々の有機酸類を生じ、フィルムの品質劣化や汚損を招く。

注1) フィルム中の成分、例えば可塑剤などが核酸・溶出(微量)する。

注2) 上記注1)で溶出したフィルム成分が水の蒸発で沈積したり、外界の水溶性・不溶性成分の沈着・堆積などとする。

従来の文献によれば、軟質塩ビの微生物による劣化は、ほとんどが配合剤中の可塑剤とその他の物質の水層への溶出によるものであることを示している。また可塑剤の水層への移動は温度律速であるから微生物には高温の方が望ましい。この温度効果をしらべるため、著者らは異なる2種の可塑剤を含むフィルムを作成し、このフィルムをそれぞれ $20^{\circ}\text{C}$ と $45^{\circ}\text{C}$ の流水中に浸漬した後、 $20^{\circ}\text{C}$ の恒温槽中で数種のカビを接種・培養した。

Fig. 2 は、フィルム表面でのカビの成長をしらべる方法で

Table 1

配合 フィルム名	可 塑 剂	PVC
I	(DIDP) ジイソデシルフタレート 35 エボキシ化大豆油 5 (ESO)	60 部
II	(DIDP) ジイソデシルフタレート 35 ジエチルヘキシルフタレート 5 (DOP)	60 部

浸漬 温度       $20^{\circ}\text{C}$   
 $45^{\circ}\text{C}$ .

浸漬 期間      8週間

接種・培養 温度  $20^{\circ}\text{C}$

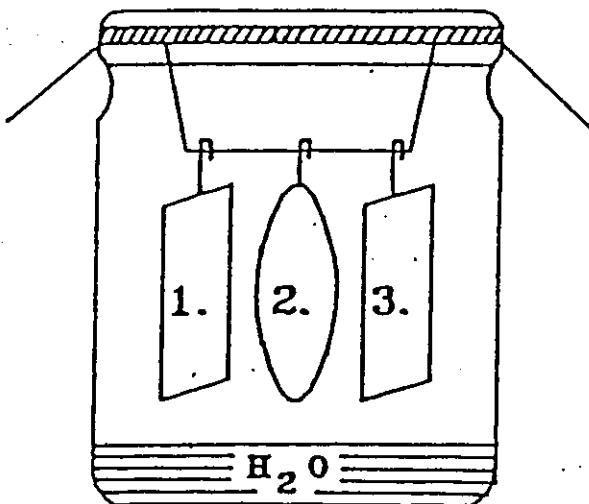
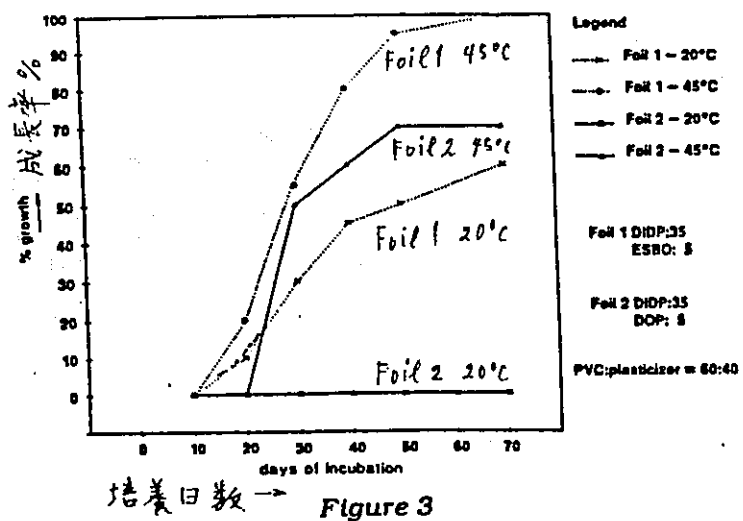


Fig. 2. The Weckglass Method is another procedure used to determine the fungal resistance of vinyl products. This method, which more closely simulates practical conditions, differs from the usual agar plate methods in that samples are suspended in a humid environment and then inoculated with a fungal spore suspension. Spore re-inoculation is continuously provided by a piece of filter paper which is coated with nutrient agar and fungi, and also suspended within the weckglass (or preserving jar). Weekly readings are made at which the time percentage of fungal coverage or staining of the vinyl specimen is noted.

1と3とは Table 1 の处方で作られた PVC フィルム、2はカビ"を含んだ"培地である。Fig. 2 の保存瓶中は水蒸気飽和状態に保たれ、かつ酸素は外部と自由に流通出来る状態に保たれて いる。

各試料"のカビ"の成長を一定時間毎に記録し Fig.3 を作った。明らかに  $45^{\circ}\text{C}$  の方が"カビ"の成長が"盛んで"あり、浸漬温度の差による違いが明らかに見られる。この差は栄養分の差、すなわち可塑剤量の相違による。フィルムに予防対策を施さない限り、多湿の熱帯地域はもちらん、温暖地域でも軟質PVCへのカビの発生は避けられない。Fig.3 は2種のフィルム間にカビの成長に差があり、これは可塑剤の組合せである ESO と DOP の相違に

Fungal Growth on 8-weeks Leached Foils



培養日数 → Figure 3

よると見なされる。そこでFig. 4の可塑剤で"カビ"の培養試験をした。カビは *Aspergillus niger*, *Trichoderma viride*, *Paecilomyces varioti*, *Penicillium funiculosum* の4種を用い、室温で15週間の培養実験を行った。比較対照物として砂糖を使った。結果はTable 1に示されるように可塑剤の種類によって、明らかな差が見られる。この結果から、カビによる侵され易さを目安に、可塑剤を分類出来ると考えている。すなわち Fig. 4のようになる。

上記実験と関連して、軟質PVC上の微生物の種類が問題になる。従来の実験で、カビと報告されたものが<sup>注3)</sup>あり、屋根での観察も優勢種は黒色カビであった。

Table 1. The Susceptibility of Several Plasticisers to Fungal Attack.

The figures indicate the day at which growth was observed. The experiment ran over a period of 15 weeks.

Plasticizer	<i>Aspergillus niger</i>	<i>Trichoderma viride</i>	<i>Paecilomyces varioti</i>	<i>Penicillium funiculosum</i>
DOP	104	104	—	—
DINP	—	—	—	—
DBP	—	59	104	—
DHP	—	—	—	—
DIOP	—	—	—	—
TOF	—	13	—	—
BBP	—	13	27	13
DIDP	—	13	—	—
DOA	6	6	13	13
ESO	6	27	22	6
Saccharose	6	6	6	6

Fig. 4		
Difficult to attack:	di- <i>i</i> -nonylphthalate	DINP
	dihexyl phthalate	DHP
	di- <i>i</i> -octyl phthalate	DIOP
Moderate to attack:	di-2-ethylhexyl phthalate	DOP
	dibutyl phthalate	DBP
	tri-2-ethylhexyl phosphate	TOF
Easy to attack:	di-2-ethylhexyl adipate	DOA
	epoxydized soybean oil	ESO

注3) 著者らの西独・フランスの屋根被覆フィルムに関する調査

軟質塩ビからバクテリアが分離されたこともあるが、優勢集団として見出されたことはなかった。フィルム上ではカビが優勢集団であることは、ある種の可塑剤が容易にカビにより低分子量の有機化合物に分解され、その際の栄養分となっていると云うことから説明出来る。

カビは、ある種の適応で、大きな分子を小さな分子に分解出来る酵素系を持っていることがわかつてゐる。このようにして出来た低分子量化合物は、バクテリアも、養分として利用出来る。したがつてバクテリアの成長は、カビの成長速度に依存し、決して微生物集団で優勢とはならない。

プラスチックフィルム上で、カビとバクテリアの間で、<sup>注4)</sup>変態共生系をつくることは、ほぼ間違いない。

こう仮定すると、プラスチックフィルムの微生物の侵食は、カビの成長・発育を抑えれば充分に防ぐことが出来る。よって軟質塩ビ用殺菌剤は、殺カビ性またはカビの発育阻害性があればよい。カビの成長抑制性のすぐ

---

注4) 変態共生 (metabiosis): ある生物が、その生活環境を他の生物に依存する生活方式

れた殺菌剤としては、通常、10,10'オキシビスフェノキシアルシン(OBPA)が考えられる。カビやバクテリアの成長を抑える最小濃度を、殺菌剤のMIC値(minimum inhibitory concentration)として表わす。このMICは、殺菌剤に固有のものであるが、微生物の種類で異なり、OBPAではTable 2のような結果である。これから、フィルム表面に10 ppmのOBPAがあれば、カビの成長は抑えられ、バクテリアの成長も抑えられる。フィルム内部のOBPAは、表面への供給源となり、表面でのOBPAの濃度はフィルムにするとき配合した量に依存する。配合成分の表面への移動には、種々の要因が関係するが、経験上、OBPAの配合量は、屋外で使用するものについては、最小500 ppm程度が必要であろう。

Table 2. Minimum Inhibition Concentrations of OBPA against a Variety of Fungi and Bacteria.

Microorganism	MIC In ppm OBPA
<b>Bacteria:</b>	
Pseudomonas aeruginosa	300
Staphylococcus aureus	18.75
Escherichia coli	75
Streptococcus faecalis	18.75
Bacillus cereus	18.75
<b>Fungi:</b>	
Aspergillus niger	5
Penicillium funiculosum	10
Chaetomium globosum	5
Trichoderma viride	1.25

B-3 ポリマーダイジェスト VOL.31, NO.6 p.42-50 '79

プラスチックの分野における微生物による

障害の実態について II

井上 真由美（井上微生物災害研）

1960年頃、アメリカでジェット機のアルミ製燃料タンクがカビや細菌によって侵され、腐食して燃料がもれる事故について多くの報告がなされた。同じ頃、航空自衛隊のジェット練習機にも類似の事故が発生し、調査研究の結果、アメリカ空軍の場合と同様の現象であることがわかった。すなわち、ジェット燃料中に20～30種の菌が生存し、そのなかの「クラド・スボリウム・レジネー」というカビが燃料中に増殖し、アルミニ合金製タンクを腐食することが実験的に証明された。

アルミ箔は包装材でもあり、単独で使われることもあるが、他の材料例えれば紙やプラスチックフィルム

など"ビ"はり合わせたラミネートフィルムが"広く用いられている。しかし、各種のラミネートフィルムは、試験の結果微生物抵抗性が"低いことが"確認されており、建材分野で広く用いられるアルミパネルについても同じ様なことが"云える。すなわち、アクリル樹脂を純度の高いアルミニウムパネルに焼付塗装した内装材についての微生物分解試験では、28日後アクリル樹脂の表面が一面にカビ"で汚染され、70日後カビ"の作用で"変質劣化した。さらに約1ヶ月後アクリル樹脂は非常にもうくなりアルミニウムの表面からはく離し、アルミの表面が腐蝕した。アクリル樹脂塗料はすぐれた点が多いが"微生物に侵され易いのは最大の欠点である。

アクリルエマルジョンタイプの接着剤、コーキング剤も使用中に黒色のカビ"に侵され易い。

シリコーン樹脂は、電気絶縁材、シーラント、建築用、接着など"きわめて広い用途があるが、クロカビ"、クラドスホリウム、フサリウム、ペニシリウム、ケトミウムなど"が"発育しやすく次第に変質劣化する。またシリコーンオイルも同様である。

エポキシ樹脂は、物理的・化学的に安定な性質をもつ材料であるが、カビの作用で変質劣化することが"研究調査"の結果明らかになっている。

エポキシ樹脂製品が"被害を受けた事例"として(1)防水樹脂(2)建築材料(3)エポキシ塗料(4)プリント配線板が報告されている。

実験室で、エポキシ樹脂をホテトデキストロース寒天培地の表面にのせて、菌の胞子をふきつけ、 $30 \pm 1^{\circ}\text{C}$ 、湿度 $95 \pm 5\%$ の条件で6ヶ月培養試験を行った。最初の3ヶ月位はまったくカビが発育せず、強度の劣化も認められなかたが、4ヶ月を過ぎるころから試料の変色が起り、カビの菌糸が表面に発育するようになり、機械的強度が急速に低下し、最終的に微生物抵抗性がないと判断された。細菌による試験結果も同様であった。

シリコーン系、ポリウレタン系、フェノール系、ロジン系、エポキシ系のプリント配線用各種基材について、クロカビ、ユウジカビ、アオカビ、トリユデルマ菌、ケトミウム菌を用いたカビ抵抗性試験が行われた。

ポリウレタン系シリコーン系、ロジン系では3週間で菌糸が発育し、絶縁不良となった。フェノール樹脂は50日後カビに侵された。また、エボキシ樹脂は50日では侵されなかつたが、150～220日後樹脂の表面にしだいにカビが発育するようになり(写真22)、微生物抵抗性がないと判断された。

その他のフタル酸樹脂、ポリアミド樹脂、アルキド樹脂、ポリエステル樹脂なども高温、高湿の環境でカビなどの土壌菌の作用によって、変質・劣化・崩壊・腐食の被害を受ける。ポリエチレン、ポリアロヒレン、ポリスチレンのような材料は比較的微生物の作用を受けにくことがわかつているが、土壌中数年間保持すると変色や着色があらわれ、微生物の作用によってわずかであるか変化したことを示した。

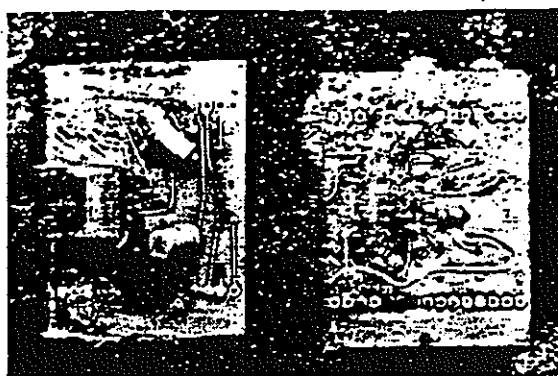


写真22 エボキシ樹脂プリント配線板のカビの被害

B-4 Int Polym Sci Technol Vol. 5, No. 4 '78

## 可塑化PVCの生物分解に及ぼす土中微生物の影響

区, Wolkober 他 (原報 Muanyages Gumi, ハンガリー)

ある種の合成物は微生物の培養基となるが、地中や鉱山で使われるケーブルの外装の軟質PVCも条件によって生物分解を受けるおそれがある。

PVCを軟質化する可塑剤の大部分は、エステル型化合物に属する。エステルは、化学構造による違いはあるが、加水分解され易い。生物が関与する加水分解では、通常の加水分解と異なって、微生物のエステル分解酵素が重要な役割を占める。

広範な研究の結果から、可塑剤は *Pseudomonas aeruginosa*に対して、抵抗性のあるもの、中程度抵抗性のもの、抵抗性のないもの、と3つに分けられる。最も安定なものは  $C_8 - C_{13}$  のフタル酸エステルであり、最も抵抗性のないものは、脂肪族誘導体、ある

いはある種の重合体可塑剤である。

著者らは、殺菌した培養基中、 $6 \times 6 \text{ cm}$ 、厚さ約 $0.5 \text{ mm}$ の板上で模擬実験を行った。細菌数 $10^5/\text{ml}$ を接種し、時間をおいて生菌の数、換言すれば可塑剤の事实上の損失量を求めた。

比較的分解され難い DIOP(ジイソオクチルフタレート)と、分解され易い DOS(ジオクチルセバケート)での結果を Fig. 1 に示した。DIOP と DOS との差は明らかであり、長期放置後では、DIOP が分解される。

自然条件に近付けるため、庭園の土壌と廃水及び *Pseudomonas aeruginosa* を混合して試験した結果を Fig. 2 に示すが、DIOP, DOS 共に Fig. 1 より多く消費された。

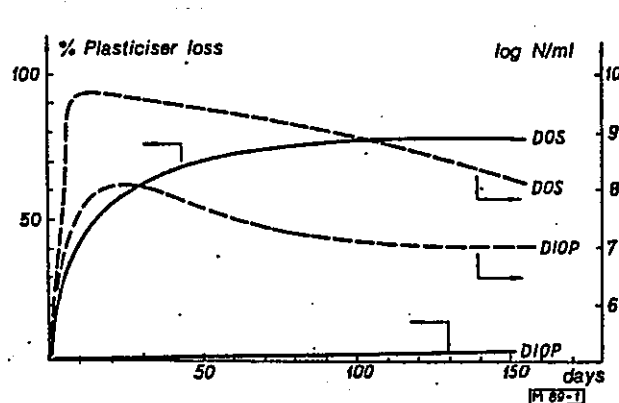


Fig. 1 Variation of log germ count or plasticiser loss in PVC plasticised with DIOP or DOS. Biological medium: culture medium + *Pseudomonas aeruginosa*

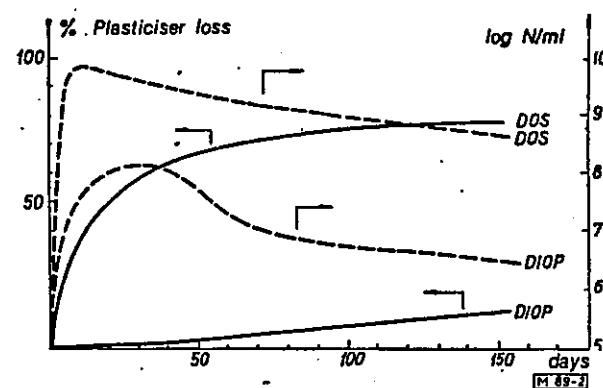


Fig. 2 Variation of log germ count or plasticiser loss in PVC plasticised with DIOP or DOS. Biological medium: garden soil + culture medium + *Pseudomonas aeruginosa*

厚みの異なるPVC板が、土壤微生物によって、どの程度迄分解されかを知ることが必要となる。これを知るために次の試験をした。同じDIOPとDOSで、表面積は同一で厚さの異なる試料を用い、28日の培養期間で可塑剤損失量を求めた。サンプルは *Pseudomonas* 単独と、これに庭園土壤と廃水を組合せたものである。

後者の場合をTable 1に示す。DIOSとDOSの差は依然、はっきりしており、分解は薄い表面層に止まらず軟質塩ビの内部に及ぶことがわかるが、バクテリアが渗透するのか酵素だけで内部に影響を及ぼしているかは不明である。顕著に現われる結果となつたが、この実験条件で培養温度を上げれば、生物活動も全般に加速されるであろうから、生物分解抵抗性の不充分な可塑剤を使用したものの場合、熱帯地域ですでにこの実験程度の期間を経過していたとする、かなり分解されて

Table 1 Mass losses of PVC sheets plasticised with DIOP and DOS, the sheets being of different thicknesses but of the same surface area, in mixture of garden soil and *Pseudomonas aeruginosa*

Thickness, mm Plasticiser loss, % Mass loss, mg	DOS			DIOP		
	0.12	0.25	1.2	0.12	0.25	1.2
71	67	21	18	9.8	2.6	
148	304	397	40	46.1	50	

いることと思われる。

土壤中の腐食には、一般に好気性と嫌気性の2種があり、媒体のpHも関係がある。すなわち可塑剤の分解で生成した酸が、微生物の増殖を妨げることもあり得る。左の前記の *Ps. aeruginosa* の DIOP と DOS での培養を酸素と、沈降性炭酸カルシウムの存在下と、不存在下で行ない増殖速度や可塑剤の損失量の至時変化を調べた。この実験では、標準法で可塑剤の損失量と細菌数を求めた。結果を Fig. 3 に示す。意外なことに *Ps. aeruginosa* の活動は酸素がなくても酸素がある場合と変化がなく、沈降性炭酸カルシウムの影響も僅かであった。特に後者は、加水分解に

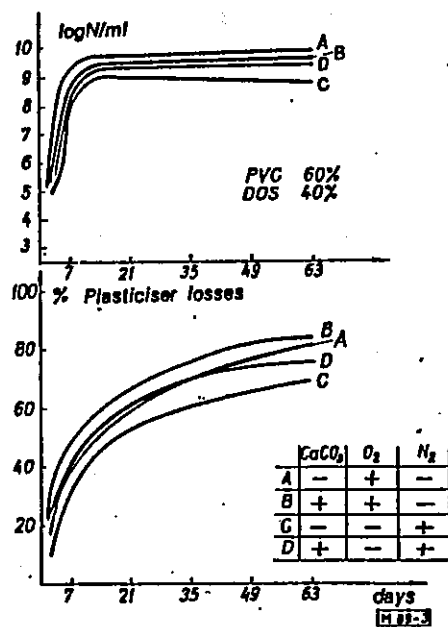


Fig. 3 Variation of log germ number and plasticiser loss in the case of PVC plasticised with DOS. Biological medium: culture medium + *Pseudomonas aeruginosa*

注1) 標準法については具体的に記載されていない。

続いて酸化反応が同程度で進行していると考えないと説明出来ない。

カルスト地形のほら穴には、それに特有の微生物群が繁殖していることはよく知られている。調査では、Aggtelek 地域周辺のほら穴に敷設された PVC 絶縁ケーブルが、速かに絶縁性を失うことがわかった。10 年程前、このほら穴に敷設された商業用 PVC 電線は、可塑剤が半分となり、脆くなつた。

そこで著者らは、この Aggtelek の 'Istvan Vass' ほら穴に種々の可塑剤で可塑化した PVC サンプルを多數放置暴露し、400 日後の可塑剤減少量と、サンプルから洗い落した細菌数とを測定した。その結果の一部を Table 2 に示す。この結果は著者らの研究室での結果を裏付けている。C<sub>8</sub> - C<sub>12</sub> のフタル酸エステル類は、比較的安定で、重合可塑剤やエポキシ化油を含む PVC の可塑剤減少は 10% 以上である。

Table 2 Biological stability of PVC samples exposed in karst cave, after 400 days. (Composition: 100 p.b.m. PVC, 60 p.b.m. plasticiser)

	Mass loss	'Washable' germ count
Plastifiant K5	9.3	$8 \times 10^8$
Plastifiant K8	1.8	$2.3 \times 10^5$
Plastifiant K13	2.0	$2.4 \times 10^6$
DIOP Extra	3.3	$7.6 \times 10^7$
Resoplex 430	16.8	$2.2 \times 10^8$
Disflamoll TOF (trioctyl phthalate; Ed.)	6.4	$3.8 \times 10^5$
Plastolein 9058 (trioctyl azelate; Ed.)	12.6	$3.0 \times 10^9$
DIOP 40%		
Epoxid DBI 20%	11.3	$2.4 \times 10^9$

上述した様に産業上最も重要な可塑剤である DIOP は、微生物に対して比較的安定なので、微生物腐食下の環境では、 $C_8 - C_{13}$  のフタル酸エステル類を使用すればよいとなる。しかし、PVC加工に不可欠な安定剤は、軟質塩ビの生物安定性に重要な変化を与える。例えば、金属性石鹼は、DIOPの安定性を減少させる。Fig. 4 はこれに関する若干のデータである。この Greifswald 大学の実験では、DIOPで可塑化した PVC で *P. aeruginosa* を培養し、安定剤を加えた場合と、加えない場合について、ワールブルグ装置を用いて酸素要求量の変化を示している。この関係は複雑である。すなわち金属性石鹼は化学的に類似

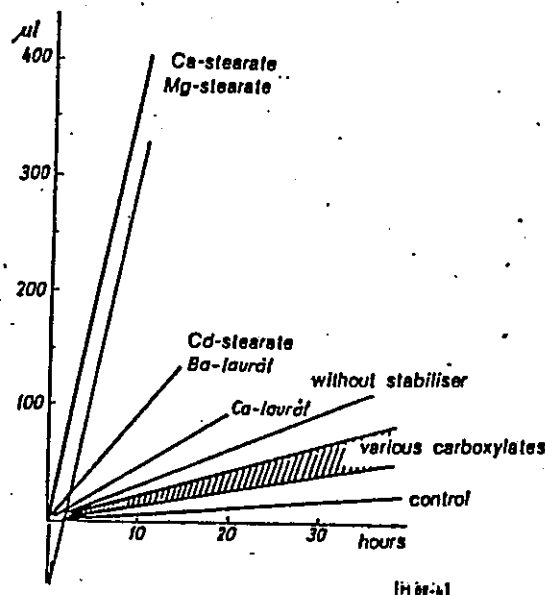


Fig. 4 Biological oxygen demand of DIOP-plasticised PVC containing various stabilisers, determined in the Warburg setup. Biological medium: culture medium + *Pseudomonas aeruginosa*

していくと酸素要求量を増加させる場合と、僅かに減少させる場合がある。ワールブルグの方法以外でも、安定剤はカビやバクテリアの成長を抑制する場合もあれば、加速する場合もあることが知られている。結局、可塑剤だけを調べた人では不充分で、プラスチックの製品での調査が望ましい。

殺菌剤による定定性改良の勧告は多いが、有効性の評価がむづかしい。また、カビとバクテリアは区別すべきであり、使用する殺菌剤は個々に決める必要がある。

Table 3 は著者らの結果で、殺菌剤は DIOP では効果があったが、DOS では実質上効果が認められなかった。

Table 3 Effect of biocides on the biogradation of DIOP and DOS

	DIOP		DOS (? %; Ed.)
	plasticiser losses		
	Pseudomonas aeruginosa	Candida Albicans	Pseudomonas aeruginosa
None	2.6	1.2	69
Stannicide:			
A 0.5% (organotin)	0.5	—	67
B 0.5% biocides;	0.2	—	61
F 0.5% Ed.)	0.6	—	67
Ba metaborate 5%	0.8	0.4	60
Ba borate	1.2	3.2	58.5
Preventol A3, 2%	2.3	1.7	68
Preventol K1, 2%	1.9	—	55.5
Barozid 2%	2.1	0.3	70
Sanitized PD 11/6, 0.2%	1.9	0.6	66.7
Rezoxichinolin 0.5%	3.1	—	70.2
Estabex AB F (arsenic-containing epoxidised oil; Ed.)	4.2	—	72.5

軟質塩ビの生物安定性は、まとめて可塑剤に依存し、安定剤も或る程度影響する。また、カビに対して殺菌剤は効果があるが、土壤バクテリアに対しては、可塑剤と安定剤を慎重に選ぶしかない。

微生物システムとそのポリマーへ及ぼす

効果の評価 P. Rysavy 他 (Czechoslovak Academy of Science)

程度の差はあるが、微生物はポリマーに種々の影響を与える。微生物で活潑な種類としては、好気性、嫌気性バクテリア、放線菌類、カビがある。

微生物は細胞内外の酵素の働きによって、ポリマーに作用する。また土壤中では微生物以外の酵素の作用も受けける。

酵素も種々あるが、ポリマーの微生物分解に関する限り、殆どのポリマーは、加水分解と酸化を受けると考えてよい。

ポリマーの微生物分解での酵素の役割は重要であるが、微生物代謝物の影響も無視出来ない。

土壤微生物は、生化学的能力から見て土壤生態系中最も多様な部分であるが、ポリマー分解の研究

は、バクテリアに比べて、カビと放線菌によるものが多い。たゞ *Pseudomonas* 属は例外で、例えば石油系炭化水素の分解で、*P. aeruginosa* はカビより活性である。またポリマー分解で最高の活性を示す *Aspergillus*, *Penicillium*, *Trichoderma* やよび *Chaetomium* のなかには、ASTM, CSN, ISO で規定・勧告されているものもある。

微生物分解の研究は、土壤微生物以外では、海浜・湖沼・油田・溝水場沈降槽やポリマー工場の排水から得られるものや、或る種の病原菌についてもなされている。しかし、微生物分解の研究では、特定の生態系から分離された或る微生物が、別の生態系でも活性を示すことは期待出来ない。

土壤、水それぞれの生態系を代表する微生物種は多く、生物学的に異なる性質を持っているが、生化学の基礎的性質で重要な相違は見出されていない。

ポリマーの微生物による分解を評価する場合、2段階に分けられる。すなわちサンプルを微生物や酵素の作用にさらすこと、

そして微生物による分解をポリマーの物理性で評価することである。  
<sup>注1)</sup>

評価は時には生物学的判断基準によることもある。基本的な方法のうち、土壤埋没試験は、実際の使用条件下でのポリマーの微生物分解を調べるのに特に重要であるが、土壤や気候の相違には標準化出来ないものもあるので、標準試験の一つに過ぎない。通常は機械的な性質、または試料の重量損失で評価する。

上記試験では標準条件を確保出来ないので、所与の温度や水分に保たれた土壤中にポリマーを入れ培養することによって、この方法は培養容器での条件に近付けることが可能で、その際空気を強制循環させることも出来る。さらに培養中放出されるCO<sub>2</sub>量の測定も出来る。空気の供給や湿度範囲の保持が十分でなかった静置培養法は、沪過器の取付けで改良されポリマーの分解試験に使われている。

自然条件に最も近い hetero-continuous 培養法はポリマーの微生物分解試験にも適している。これら両者とも発生するCO<sub>2</sub>量を測定し反り、ポリマーを含む土壤洗液の

---

注1) 化学的、機械、物理的性質

組成変化の定性的・定量的な追求が出来る。尚嫌気性培養では不活性ガスを循環させる。

ポリマーの分解が起る実際の環境は、固体か液体かの成長媒体中なので、ヘトリー皿による培養が行われている。まず既知量のポリマーを溶媒に溶かし皿に流し込み、溶媒を蒸発させて皿底部に薄いポリマーフィルムを作る。その上に寒天を流し込んで固め、微生物や胞子や菌糸体を接種する。培養後寒天を取除いてポリマーを従来の方法で分析する。ポリマー試料を培養寒天の上表面におくこともある。ポリマー表面でのコロニーの数や大きさ、カビ菌糸体の数を調べると云った通常の方法が用いられる。ポリマー表面の変化は光学顕微鏡や走査電子顕微鏡で見ることが出来る。

液体の成長媒体で接種・培養する場合があり、培養のために十分な空気が供給される。微生物の成長は、媒体の濃度を測ったり、バクテリアや菌糸体の乾燥重量を測定

したり、細胞を数えたりして調べる。発生する  $\text{CO}_2$  や消費される  $\text{O}_2$  の測定には、圧力計を用いる種々の方法がある。 $\text{CO}_2$  や  $\text{O}_2$  の量で微生物分解をしらべることは、広く行われており、 $^{14}\text{CO}_2$  で標識したポリマーを使えばこの方法の信頼性がかなり良くなる。また  $^{35}\text{S}$  のような同位元素も用いられる。

培養で吸収される酸素を測定することは、有機物の微生物酸化を示す古くからある方法で、BODとして知られている。

可塑化PVCの微生物分解は、微生物の継続培養法でしらべられた。この方法は可塑化の異なるPVCの薄いシートを使用し、腐生微生物を醸酵器中で培養する。生物分解でなく単なる抽出による試料の重量減少を知るために、殺菌した醸酵器中にサンプルと成長媒体を入れて、標準試料としている。

微生物の完全な細胞を用いる上述の方法と対照的に、精製した酵素抽出物による方法がある。ポリアミドやポリアミド共重合体は、その構造や性質が蛋白質と

類似しているので、蛋白分解酵素で分解されるとの予想で実験がなされ、培養終了後の沪液中のアミノ結合の切断で生じた端末遊離アミノ基の濃度が測定された例がある。

古典的な方法と別に、各種のクロマトグラフ（ゲル、高圧、液体クロマトグラフィー）を含む新しい手段が、分離酵素によるポリマーの微生物分解程度を特徴づけるのに使われて成功している。

ポリマーの機械的性質の測定以外に、表面状態や電気的性質あるいは質量損失、IRやUV領域での分光分析も、限られた範囲であるが使われる。

高分子化学の立場からは、微生物分解が分子量分布にどの様に影響したのか、分子鎖内で結合の切断が起つたか否かを見出すは要があることを強調したい。

このような研究は今のところなされていないし、機械的性質の測定や分光分析からそのような変化を推定することは困難である。したがって上述のポリマーの微生物分解現象の理解は、未だ

きゆめて概略のものでしかない。

微生物分解を調べるのに、その細胞の特殊な生理学的性質を利用する方法もある。

ホリマーの微生物分解問題解決には、本質的に異なる二つの方向がある。一つは微生物分解に対する抵抗性を大きくしたり、逆に、天然高分子のように分解され易くしたりするため、既存のホリマーの改良や、新しいホリマーを合成する方向で、化学者達が試みている。

もう一つは生理学、遺伝学、微生物の生態学等を基礎に、既存の合成ホリマーの分解の可能性を探る方向である。

前者については微生物分解の標準試験が一応頼りになり、現実の要求に応えている。後者の研究では新しい方法が要求されるが、考案者だけが使う傾向がある。(例えはそれを使うためには、微生物遺伝学の知識が要求される。)

微生物分解をしらべる方法の一つにホリマー試料表面上の菌糸体の成長の中で、バクテリアコロニーの大きさと数を肉眼や顕微鏡

でしらべるのがある。しかし、多數のカビ菌糸体がしばしば炭素源としてもエネルギー源としても使えない無機基質上で成長することから、この方法は他の評価手段と組合せないと意味がない。

或る種の微生物は、その細胞内に代謝に必要な物質を蓄えられるので、ポリマーを炭素源としなくてもポリマーサンプル上でしばらくは成長出来る。

微生物成長の尺度も客観的妥当性の点で不十分である。

また、ポリマー中のモノマー・オリゴマー、加工助剤なども微生物の好適な炭素源なので、データに影響を及ぼす。

或るポリマーの微生物分解され易さが公表文献で食い違ことがあるが、恐らく試料の加工歴、例えば“加工助剤によるもの”であろう。また、培養時の $\text{CO}_2$ 発生や $\text{O}_2$ 吸収がポリマー主鎖の分解によるとは限らず、側鎖のことあれば添加剤によることもある。これらは主鎖に標識炭素を組み込むことで大体

区別される。

複雑な分子、例えはポリマーの分解に微生物と酵素とを併用しても完全には分解しないことがある。もしろ、異なる種類の微生物が順次段階的に作用する例が多い。この働きは土壤中のポリマーの微生物分解でも起つていらうであろう。

微量元素や、アミノ酸、ビタミン、成長ホルモン等が微生物活動に要求されることがあり、必要であれば実験でもこれを考慮しなければならぬ。

しかし、微生物活動を活潑にするため摂取し易い養分を豊富に与えると、急激な繁殖後しばらくして活動が鈍ると云々欠点がある。

ポリマーの分解試験に酵素を使用するのは、それなりの理由があるが、酵素基質は完全な細胞のままで使われないので、長期の培養期間中不活性化することがある。

合成ポリマーに及ぼす微生物作用の限界として、分子の大きさ、高分子の集合状態の他に、有害金属イオン、殺菌剤について 以下に記述する。

E-ヒドロキシカプロン酸は、炭素源として微生物に容易に摂取されるが、その2量体、3量体のものは微生物分解性は低い。同様の傾向は ラクタム、脂肪族炭化水素についても観察されている。炭化水素ポリマーでは、別な方法、例えは"光酸化"で炭素鎖を短くして、微生物分解させる方法がとられようとしている。炭化水素ポリマーの側鎖も、微生物分解性を低くする。

ポリマーの結晶領域、準結晶領域のように緻密な部分には、酵素による滲透や、微生物分解の可能性のある末端基や官能基は接触出来ない。明らかに巨大分子構造は微生物分解を低下させる上で支配的な重要要因である。

軟質PVCや塗料で特に関心を持たれたものに、殺菌剤や有害金属イオンがあり、それらは鉛、銅、砒素、錫系、また硫黄化合物の殺カビ剤である。

現在の遺伝学が、多方微生物分解の研究に将来役立つと思われる。

ノウサギのヒノキ食害に対するアスフアルト乳剤の忌避効果について

原 國 純(愛媛県林業試験場)

ノウサギはスギ・ヒノキなどの植栽苗木の針葉、小枝、樹皮、幹等を損食するため、造林事業に大きな被害を与えていて、その対策には多くの努力が重ねられていて、岐阜県林業センターが、1976年忌避剤としてのアスファルト乳剤の有効性を発表してから、数県の林業試験機関でも同様の試験結果を報告している。この報告は愛媛県での結果の報告である。

試験地の概況として実施場所、立地条件(地況、林況)を下に示す。

1 試験実施場所 愛媛県東子市河之内

2 立地条件

(1) 地況

位 置	標 高	方 位	傾 斜	地 質	土 壤 型
斜面上部	700~750m	主に北西	20~35°	花崗岩	B <sub>p</sub> d

(2) 林況

地 種	樹 種	植 栽 年 月	面 積	ha 当り植栽密度
再造林	ヒノキ	昭和60年3月	7.92ha	3,000本

試験の方法は、林業用に製剤されたアスファルト乳剤(商品名:  
アラマック)を2倍に稀釀し、ヒノキ苗の針葉部をその中に浸漬した  
のち、30~40分風乾する。風乾後1本並びにして仮植した。1本当  
りの薬量は35ccを要した。

8アル(20×40m)の調査区5区を、図1に示すように配置し、  
ノウサギの摂食行動に対して同質性を確保するために各調査  
区の長辺を2等分して処理区と対照区を設定した。

調査は次のようにして行っている。

苗木は昭和60年3月12日に植栽し、同年3月15日と18日に調査

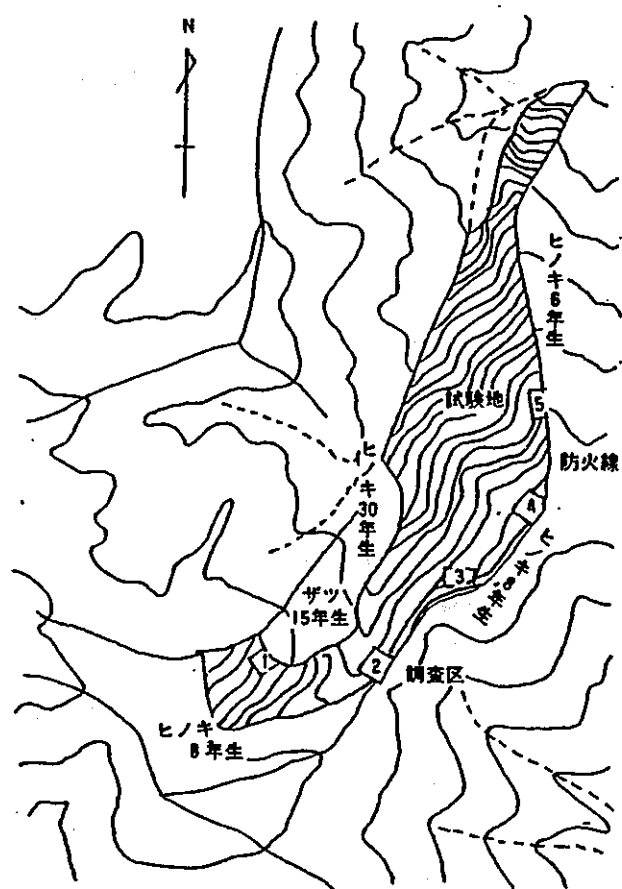


図-1 調査区の配置図

区内の全木にナンバーテープをつけて調査の便をはかる。

1回目の調査は昭和60年5月28日と29日に、2回目は昭和60年9月18日～20日に行った。その際、区内すべての苗木について食害と葉害の状態を調べる。食害は幹の切断、枝葉の食害および幹の剥皮の3項目に分けて記録する。幹の切断は苗木樹高の切断位置を、枝葉の食害は食害量の多少を、幹の剥皮は幹の縦軸および全周にそって剥皮の長さと幅をそれぞれ調べる。

葉害は苗木の枝葉の枯死による形態の変化について調べた。2回目の調査では1回目の項目以外に幹の切断のあった苗木の回復状況を調べた。

調査の結果を表-2(1回目)、表-5(2回目)に示す。

表-2 1回目調査時の食害状況

(単位…本)

調査区	区分	調査本数	健全	食 味								枯	備考
				切+葉+皮	切+葉	切+皮	葉+皮	切	葉		皮		
								少	多				
1	処理 対照	109 118	93 10	3	3 84			11 16	1 4	1 1		15 108	1
2	処理 対照	127 126	123 20	15	60	1	2	3 21	7		1	4 106	
3	処理 対照	123 114	113 46	7	1 36	1		6 12	1 12		2	10 68	
4	処理 対照	115 116	104 19	29	43	2	2	2 19	4		7	11 97	
5	処理 対照	118 123	115 37	22	40	2	1	9	9	1	2	2 84	1 2
計	処理 %	592	548 92.6	0	4 0.7	2 0.3	0	22 3.7	2 0.3	0	12 2.1	42 7.1	2 0.3
	対象 %	597	132 22.1	76 12.7	263 44.1	4 0.7	5 0.9	77 12.9	36 6.0	2 0.3	0	463 77.6	2 0.3

(注) 1. 被害形態…切…幹の切断　葉…枝葉の食害及び切断  
皮…幹の剥皮　葉・少…枝葉の半分以下  
葉・多…枝葉の半分以上

2. 調査年月日…昭和60.5.28

す。表-2によると、対照区の食害率77.6%に対して、処理区のそれはわずかに7.1%であり、忌避効果は顯著であった。更に対照区と処理区の間では食害形態に違いが認められ、処理区では単一食害率が複合食害率よりも大きく、このことは、一度食しても又度食しないということで、忌避剤の効果と考えられる。

枯れについては、対照区、処理区とも各2本認められたが、これらは植枯れと思われ、葉害によるものではなかった。2回目の結果

表-5 2回目調査時の食害状況

調査区	区分	調査本数	健全	食 味								枯	備 考	
				切+葉+皮	切+葉	切+皮	葉+皮	切	葉		皮	計		
									少	多				
1	処理 対照	108 118							1		1 1	1 2	2	
2	処理 対照	127 126							3		1 1	1 4	1	
3	処理 対照	123 114					1					1 0	1	
4	処理 対照	115 116			1 6				16			1 22		
5	処理 対照	117 121										0 0	1	
計	処理 %	590			1 0.2		1 0.2		0		2 0.3	4 0.7	4 0.7	
	対象 %	595			6 1.0		0		20 3.4		2 0.3	28 4.7	1 0.2	

- (注) 1. 被害形態は表-2の注のとおり  
 2. 調査年月日 昭和60.9.18~20  
 3. 処理の枯の内1本は枝葉をわずかに食害されたもの  
 　対照の枯の内1本は地際から切断されたもの  
 4. 切+葉の処理1本は1/3切断、対照6本の内3本は1/2、3本  
 　は1/3切断  
 5. 葉+皮の1本は1/2×8cm  
 6. 皮の処理2本は各々1/2×14cm, 1/4×5cm  
 　皮の対照2本は各々1/4×16cm, 1/3×12cm

を表わす表-5では、1回目以後に発生した新しい食害についての状況がわかる。即ち、新しい食害は対照区で4.7%、処理区では0.7%と少なく、全体的には1回目より食害が激減している。これは夏になって餌が豊富なことと、4月中旬から5月にかけて試験地周辺での17頭のノウサギ捕獲によるものかもしれない。

一方、1回目の調査時に幹切断食害を受けた苗木の、その後の回復状況は、「ほうき状」に芽が出ていて植替が必要と思われた苗木が、対照区で22.6%あったが、処理区では全くなかった。

以上をまとめて、

1. アスファルト乳剤の忌避効果は顯著であった。
2. 対照区では単一食害率よりも複合食害率の方が高く、処理区では逆である。
3. 幹の切断は、処理区では全くなかった。
4. 薬害は全く認められなかった。
5. 植替えが必要と判断された苗木は、処理区では全くなかった。  
としている。

2. アスファルト及びプラスチックの耐候性等に  
関する一般情報

## 熱可塑性プラスチックの機械的特性

### の経時変化(VI) 衝撃値の経年変化に

ついて(2) 小林政治郎他 (大阪工技試)

工業技術院では、プラスチックの耐久性を調べている。この研究もその一つであり、PVC 2 種、ポリプロピレン(PP)、アクリロニトリル・ブタジエン・ステレン樹脂(ABS)、耐衝撃性ポリスチレン(HI-PS)及びポリカーボネート(PC)が 5 年間にわたる衝撃値の経年変化測定結果がまとめられている。

試料は、紫外線などの影響を受けない暗所に定温 (+40°C, +20°C, 0°C, -20°C) で保存する。経年変化の特性値として衝撃値の変化を追っている。機械的特性の変化を衝撃値でしらべることは、プラスチックの劣化を知る上で、有力な手段となるが、衝撃値の測定法や、測定された衝撃値のバラツキなどから、結論は必ずしも

一つになるとは限らない。そのためこの実験でも  
2種類のシャルピー衝撃値、アイゾット衝撃値の  
他に引張衝撃値を測定し、これらのデータについて  
総合評価を行っている。次のようにまとめられ  
ている。

- 1) 5年間にわたり、すべての試料とも色の変化など特徴のある外見上の変化は観察されなかっ  
た。
- 2)  $40^{\circ}\text{C}$ で保存した試料のシャルピー及びアイ  
ゾット衝撃値は、5年後初年度の70%くらいまで減  
少する。より高い温度に保存したものはほど衝撃値  
の減少の割合は大きい。
- 3)  $0^{\circ}\text{C}$  及び  $-20^{\circ}\text{C}$ で5年間貯蔵した試料の衝撃  
値の変化は僅かであった。ある種の試料では、その  
初期の衝撃値より増大傾向を示すものがある。ま  
た、 $0^{\circ}\text{C}$ に保存したある種の試料の衝撃値では、相対  
的に減少割合の大きいものがあった。

4) 2号試験片のシャルヒー衝撃値は、その絶対値及び衝撃値変化の過程が"アイソ"ット衝撃値とほぼ"にかよつたものが多いた。

5) 引張衝撃値は、シャルヒー及び"アイゾ"ット衝撃値に比べて長手方向とその直角方向とでかなり相違する。しかし5年後その差は、大きな減少を示す。

耐衝撃性の評価に、既述のシャルヒー、アイゾット、引張の各衝撃値が使用されているが、耐衝撃性能の評価を一つの衝撃値より判断することは危険であり、今後の検討を要すること、また、材料の実用耐衝撃性能と、測定衝撃値との関連や意義づけ、劣化過程解明のためにりあえず"必要な事項など"に言及している。

熱可塑性プラスチックについて上記5項目のまとめは、全般的な特徴あるいは傾向に着目したものと考えられるが、個々のプラスチックについて詳細に見ると、程度の差や、測定結果の暫定処理のような例が含まれる。以下主としてPVCについて少し詳しくとり上げてみる。

使用した試料は下のTable 1で示され、ここでPVC 1-1は硬質ビニル板JIS 1種1号の、PVC 1-3は同1種3号の略である。この中2つはカレンダーシートをプレス成形したもので、あとの4つはすべて押出成形したものである。

Table 2はPVCの初年度におけるシャルピー及び“アイソン”ツト衝撃値の平均値、標準偏差及び変動係数であり、Table 3(次頁)は引張り衝撃値である。Table 3の表中Type L, Type Sとなるのは、Fig. 2(次頁)に示すサンプルを指している。

Table 1 Plastic materials tested.

Plastics	Colour	Manufacturing process
PVC1-1	Grey	Pressed of Calender Sheets
PVC1-3	Transparent	"
PP	Translucent	Extruded
ABS	Yellow	"
HI-PS	White	"
PC	Transparent	"

Table 2 Initial Charpy and Izod impact values.

Plastics	Lengthwise or crosswise of test specimen	Charpy						Izod		
		Type 1			Type 2					
		$\alpha_{KC}$	$\sigma$	C.V.	$\alpha_{KC}$	$\sigma$	C.V.	$\alpha_{KI}$	$\sigma$	C.V.
		kgf·cm/cm <sup>2</sup>	%		kgf·cm/cm <sup>2</sup>	%		kgf·cm/cm <sup>2</sup>	%	
PVC 1-1	L	10.2	0.8	8.0	6.3	0.2	2.6	6.2	0.4	5.9
	C	9.4	0.4	4.1	6.3	0.3	5.1	6.3	1.0	15.4
PVC 1-3	L	3.8	0.4	11.1	2.4	0.2	6.7	2.4	0.1	0.9
	C	3.2	0.3	8.3	2.0	0.1	5.1	2.5	0.2	1.9

L : Length of specimen is cutting lengthwise from Plate.

C : Length of specimen is cutting crosswise from Plate.

$\alpha_{KC}$  : Charpy Impact Value.

$\alpha_{KI}$  : Izod Impact Value.

$\sigma$  : Standard deviation.

C.V. : Coefficient of Variation.

Table 3 の PVC 1-1, Type L 試料の引張衝撃値欄は Non Break となっていて、大きめで大きいが、シャルピー及びアイゾット衝撃値は小さく、このことは材料の耐衝撃性が衝撃値の測定方法で異なることの説明にもなっている。

PVC の衝撃値(シャルピー、アイゾット)の経年変化を Fig. 3 及び Fig. 4 に示す。1号試験片の衝撃値は全体として漸次減少

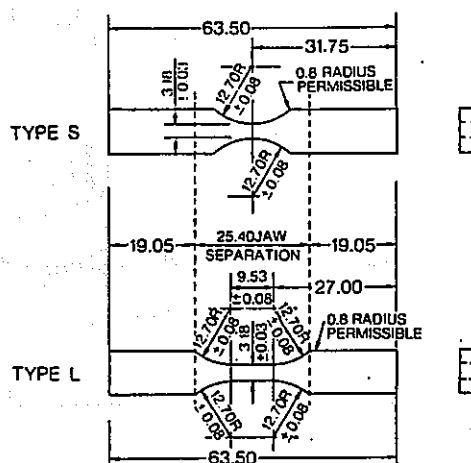


Fig. 2 Dimensions of types S and L tension-impact specimens (Dimensioned in millimeters).

Table 3 Initial tensile impact values.

Plastics	Lengthwise or crosswise of test specimen	Tensile Impact value ( $a_t$ )					
		Type L			Type S		
		$a_t$	$\sigma$	C.V.	$a_t$	$\sigma$	C.V.
		kgf·cm/cm <sup>2</sup>		%	kgf·cm/cm <sup>2</sup>		%
PVC 1-1	L	Non Break			212	26	12
	C	478*	145	30	173	31	19
PVC 1-3	L	197	117	60	72	8	11
	C	115	23	20	74	30	41

$a_t$  : Tensile impact Value (kgf·cm/cm<sup>2</sup>)

$\sigma$  : Standard deviation (kgf·cm/cm<sup>2</sup>)

C.V. : Coefficient of variation (%)

\* : Ductile fracture.

を示すが、平均値に対して、増大、減少の複雑な過程を示す例として、PVC1-1、PVC1-3が挙げら

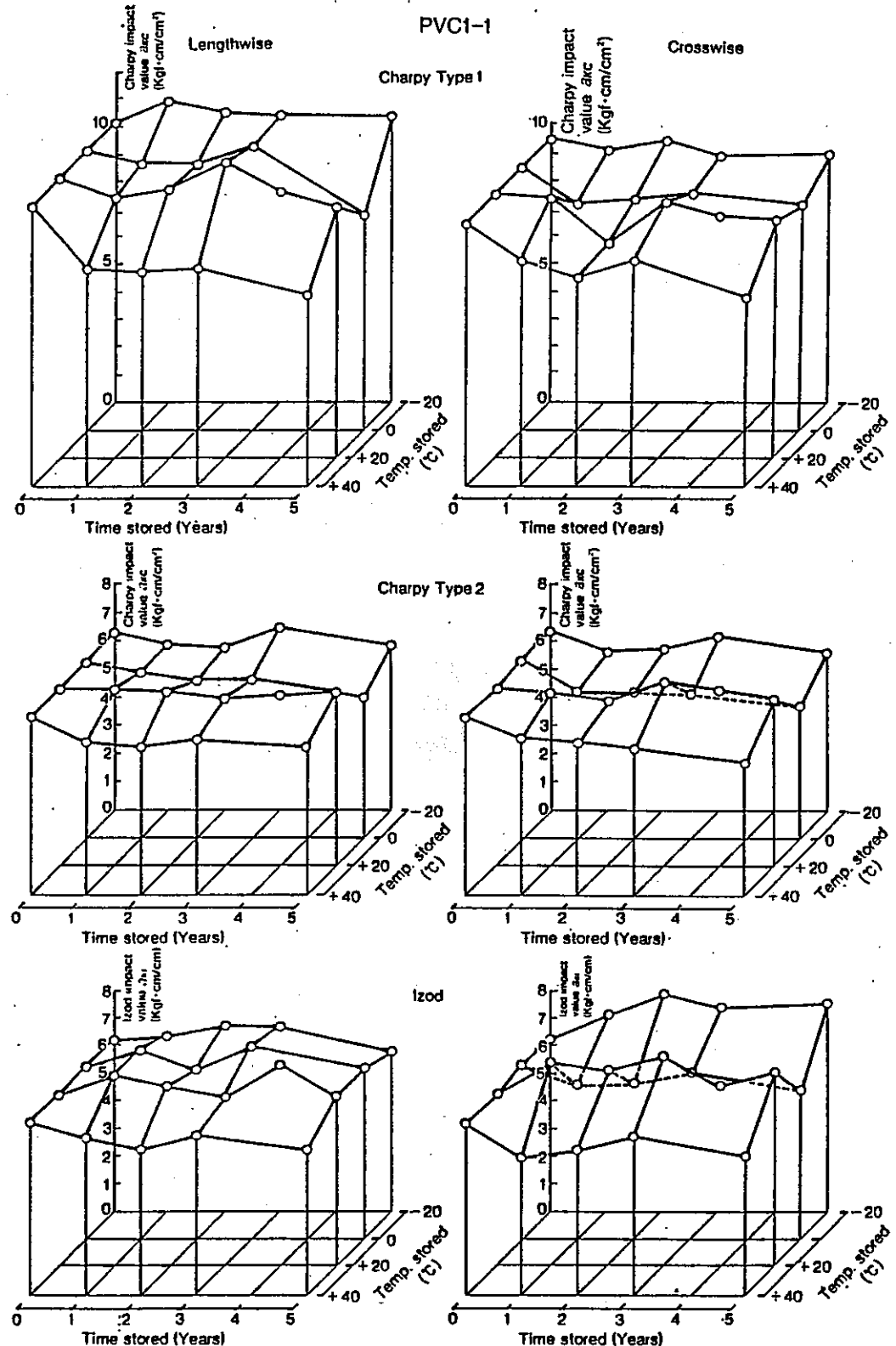


Fig. 3 Impact value vs. Time and temperature stored for PVC1-1.

れている。また、 $-20^{\circ}\text{C}$ に保存した1号試験片の衝撃値の増大は、ABSやPCでも観察されているが興味ある

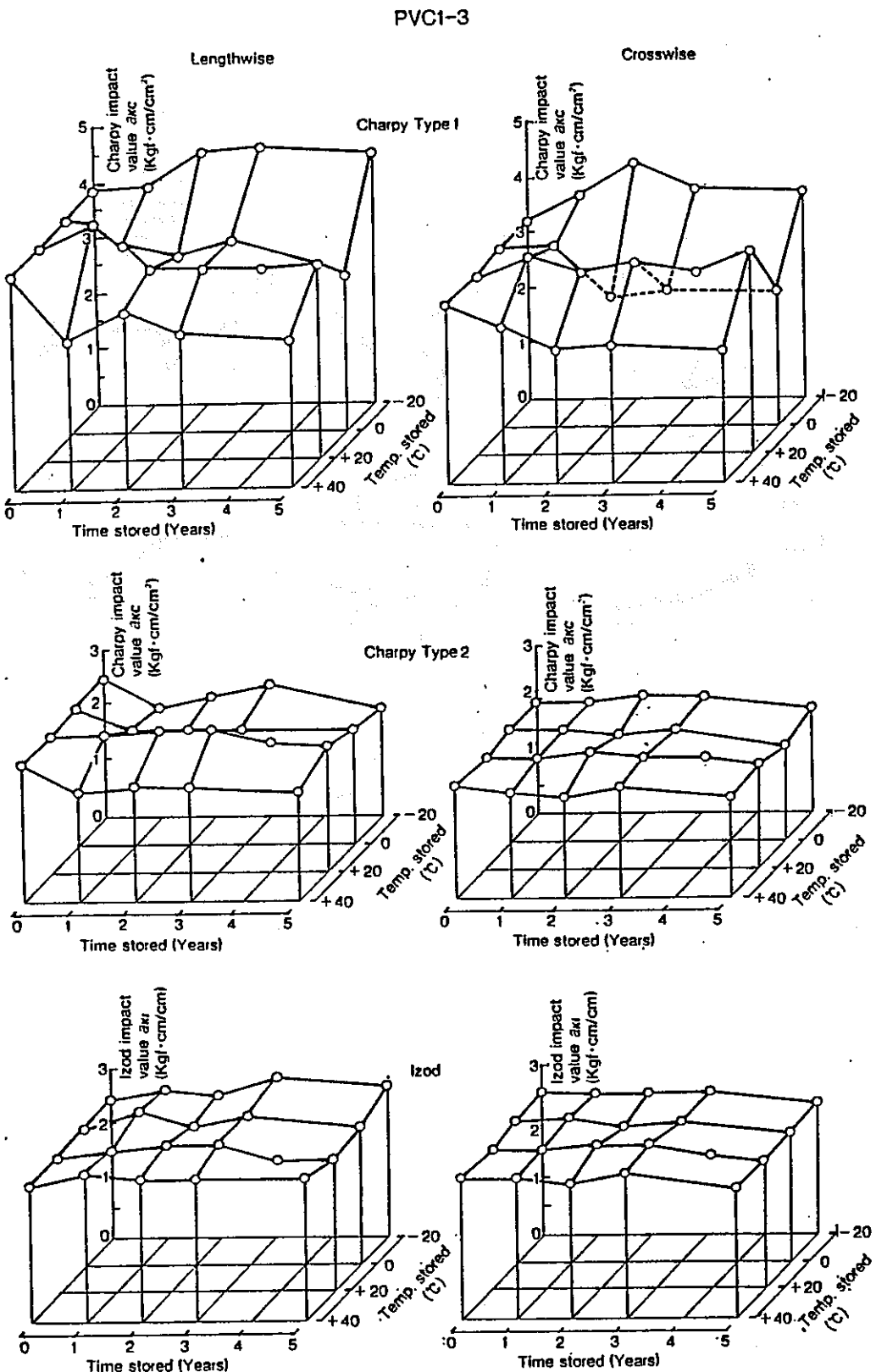


Fig. 4 Impact values vs. Time and temperature stored for PVC1-3.

叢集として指摘されている。さらにPVC1-3の0°C保存試料の衝撃値の低下が著しいことがFig.9にも明らかに示されている。

Fig.11及びFig.13は、それぞれPVC1-3, PVC1-1の初年度及び5年経過後の引張衝撃試験結果で、参考迄に掲げたものである。

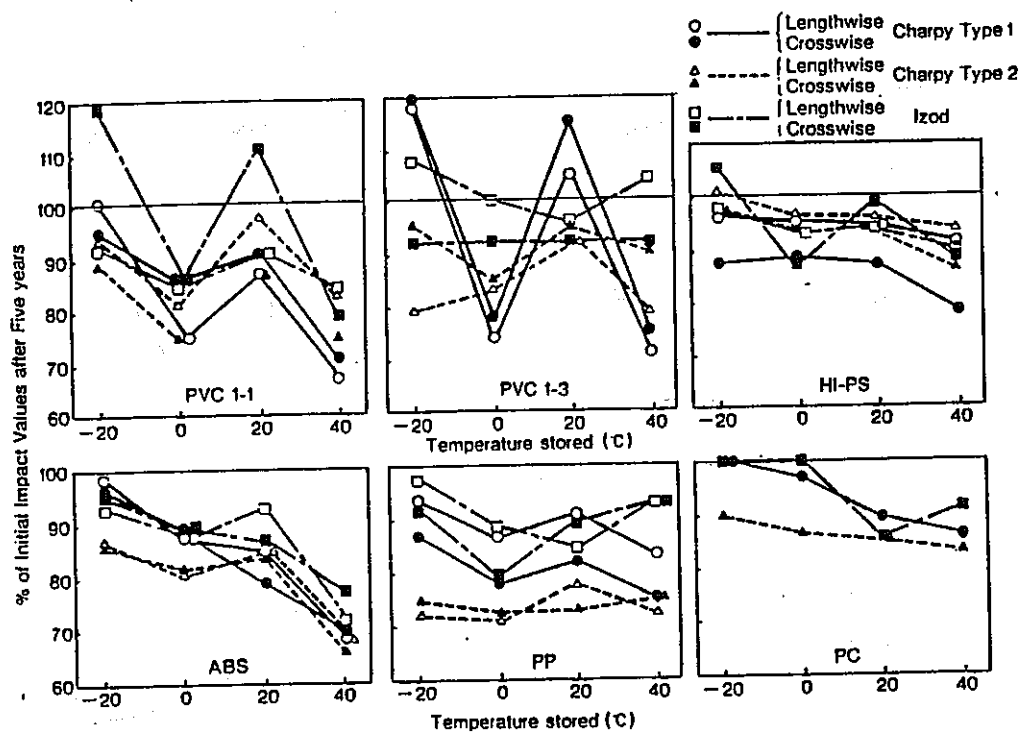


Fig. 9 Temperature stored vs. Percentage of original impact values after five years.

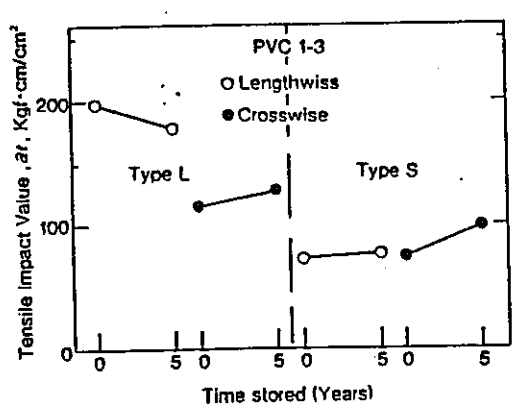


Fig. 11 Tensile impact values vs. Time stored at 20°C for PVC1-3.

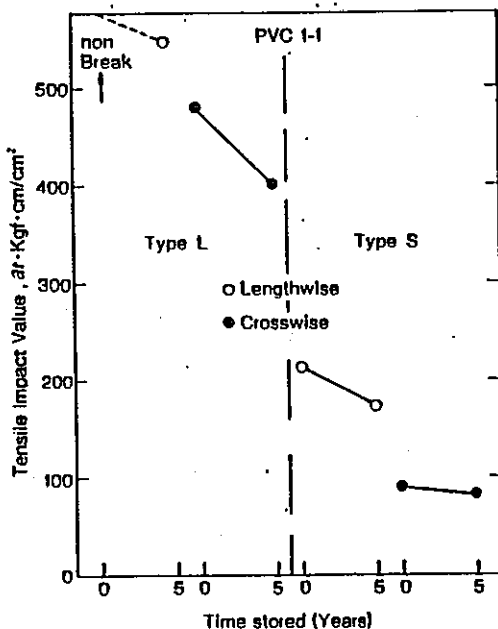


Fig. 13 Tensile impact values vs. Time stored at 20°C for ABS, PVC 1-1

アスファルトテスト結果の相関 Dark WA (Walters Associates)

昨今の粗オイルは、従来のものより重く、より多くの極性芳香族を含む傾向がある。加えて精製業者は Hydro-processing などで残留オイルを留出物に転換しているため、アスファルトは従前より違つた組成のものとなる。

アスファルトの特性を定めるのに抽出テストと物理テストが一般に用いられるが、昨今のアスファルトのテストとしては、これら従前の一般的なテスト方法では時として不十分の場合がある。

之れ故、高性能液体クロエトが用いられ、これが場合によつては、アスファルテン含量、針入度、伸度などより正確な情報を与えている。

Table 1 は、針入度と軟化点の他に、液体クロエトによる炭化水素分、ガス浸透クロエトによる分子量を求めたもので、試料としては、Feed flux、ブローン品、吹込み助剤として  $\text{TiCl}_3$  を用いたもの、一連のブローン品を用いている。

ブローリングにおいて、Feed flux 中の芳香族、極性芳香族

が凝縮して、より高分子量のものとなる。

また、芳香族、極性芳香族は減少し、アスファルテンは倍増する。変化は、他に、重量平均分子量  $MW_w$  と数平均分子量  $MW_n$  の倍増の形で現われる。

TABLE 1—Asphalt samples characterized

Sample	Penetration mm	Softening point, °F	Hydrocarbon group, wt%			Molecular weight			
			Saturate	Aromatic	Polar aromatic	$MW_n$	$MW_w$	$MW_z$	
Flux	16.5	106	53.9	11.4	16.7	18.1	490	700	1,070
Airblown	0.6	234	51.6	7.4	6.0	35.1	700	1,330	2,240
+ $\text{FeCl}_3$	1.1	242	36.0	15.3	6.3	42.5	630	1,060	1,800
Others									
A	1.6	225	68.5	4.7	6.8	20.1	660	1,130	1,840
B	2.3	240	61.8	2.3	4.4	31.5	680	1,240	2,150
C	1.5	227	48.3	4.5	7.0	40.2	630	1,130	1,960
D	2.3	234	74.4	4.1	4.8	18.7	720	1,410	2,440
E	0.8	230	50.3	12.5	8.1	30.1	670	1,200	1,990

Fig. 1 は分子量 490% の重量 % と軟化点の関係、Fig. 2 は分子量 2160% の重量 % と針入度の関係を示す。

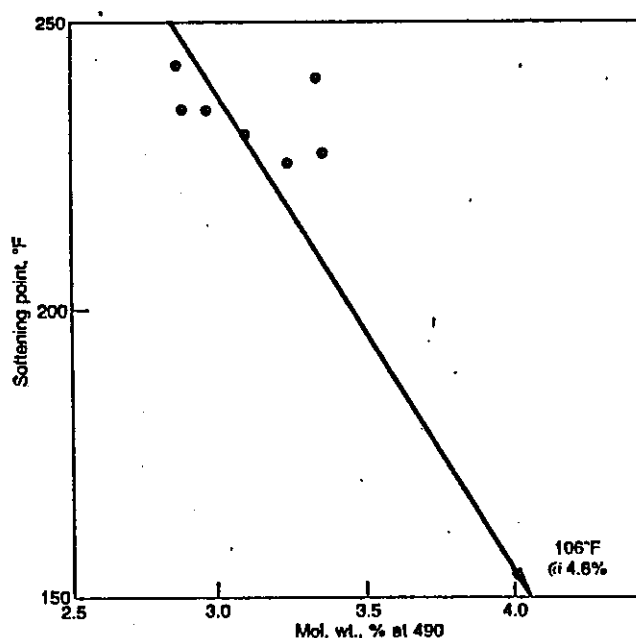


Fig. 1—Lower mol wt materials determine softening point.

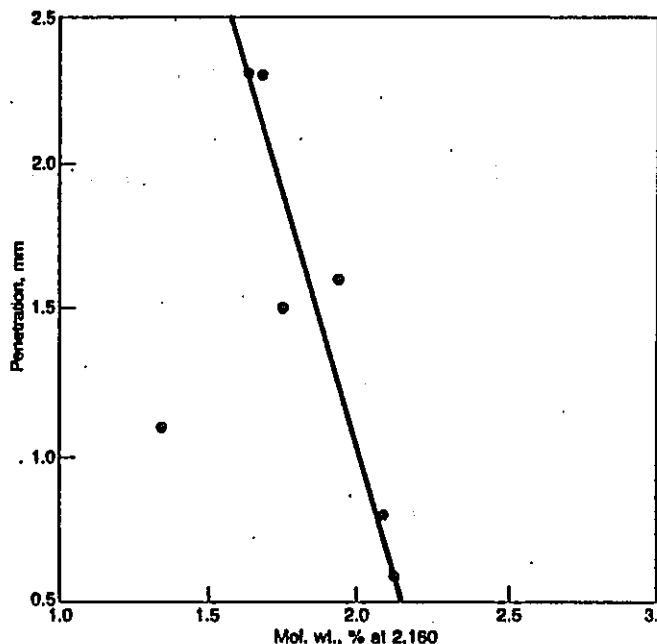


Fig. 2—Higher mol wt materials determine penetration.

要求する特性をもつブローンアスファルトを得るには、  
2つの分子量における材料のバランスが必要のようである。

促進耐候性試験によれば、飽和化合物とアスファルテノの  
比が2~3のブローンアスファルトが良好な結果を示す。<sup>(注)</sup>

---

(注) 耐候性のデータは示されていない。

W-3 J. Appl Polym Sci Vol. 29, No. 2 '84

可塑化、ブレンド、強化によるエポキシ重合体の変性

D. FELDMAN 他 (National Research Council of Canada)

エポキシ樹脂は、比較的高価であるが、塗料、電子部品の実装、接着剤、注形品、複合材等多くの主要産業分野で使用されている。接着技術の進歩によって、種々のエポキシ、変性エポキシ系接着法が考案され、応範を用途に合わせて、それぞれの需要を満たしている。

本研究は、接着剤等として使われるポリマーの耐久性調査の一つとして行われた。

エポキシポリマー(EP)、ジブチルテレフタレート(DBP)、オービニルアルコール(PVA)、オーブ塩化ビニル(PVC)は、すべて市販品を用い、EPの硬化剤として脂肪族アミンを、硝子繊維は 10 - 15 mm の短纖維を用いた。これらを使って、可塑化、ブレンド、強化した変性エポキシ樹脂に対する屋外暴露、

耐化学薬品性、機械的性質、熱変形温度試験を実施し、混合の形態を走査電子顕微鏡(SEM)、分散X線分析、走査示差熱分析(DSC)で観察分析した。

耐候性試験は、1982年1月から4月にかけて100日間モントリオールの汚染地域(工場地帯)で行った。

最低・最高温度は、それぞれ-26°Cと22°Cで標準試料は実験室で22°C、相対湿度20-50%で200日保った。

Table I(次頁)に試料の処方と破断面SEM観察を示す。耐薬品性については、有機溶媒と塩類水溶液で120日間の浸漬試験により調べ、その結果をTable II(次の次の頁)に示す。また、試料の電子顕微鏡写真をFig. 1, 2, 4~9(Fig 1, 2はTable IIと同じ頁に、Fig 4~9は夫々に該当する説明文の最も近い頁に)として示す。Fig. 1と2は、それぞれ未老化と、10%DBP老化との破断面で、未老化は架橋度の小さい連続相中に、高架橋のミセルが分散した

TABLE I  
Results of SEM Observations of Fracture Surfaces of Modified Epoxy Resin

Sample	Amount of modifier (%)	Observations	Sample	Amount of modifier (%)	Observations
EPOXY (EP)	—	Material of fracture surface has rough texture, consisting of two phases: highly crosslinked microgel particles (micelles) embedded in a continuous phase of low crosslink density	EP-PVC	10	In blends containing between 10% and approximately 40% PVC, three types of material occur: pure PVC occurring as discrete particles, PVC mixed with EP resin, and pure EP resin
EP-DBP	2	Morphology of surface material similar to that of unmodified EP resin; observation by SEM did not reveal the occurrence of an additional phase; thus DBP is completely miscible with the epoxy resin	EP-PVC	30	
EP-DBP	4		EP-PVC	40	
EP-DBP	6		EP-PVC	50	Blends of equal proportions of the two components also consist of three types of materials: pure EP phase, particles of PVC containing small proportions of EP, and a solid phase of well-mixed EP and PVC
EP-PVA	10	PVA occurs as a separate phase; good adhesion between the two blend components			
EP-PVC	2	At the lower concentrations (up to 5%) PVC is a separate phase, consisting of particles which are aggregates of approximately spherical granules	EP-GF <sup>a</sup>	1	Fibers well distributed throughout the blend; weak adhesion between glass fiber and resin
EP-PVC	5		EP-GF <sup>a</sup>	2	

\* GF designates glass fiber.

TABLE II  
Data on the Chemical Stability of EP<sup>a</sup>

Chemical	Weight loss		Ultimate tensile strength (MPa)
	g	%	
Water	0.36	0.20	5.28
Air	—	—	5.12
Benzene	0.20	0.13	5.12
Acetone <sup>b</sup>	—	—	—
DMF <sup>b</sup>	—	—	—
NaCl <sup>c</sup> (aqueous solution)	—	—	—
CaCl <sub>2</sub> <sup>c</sup> (aqueous solution)	—	—	—
Methanol	0.18	0.12	2.56

<sup>a</sup> Specimens similar to those used for tensile testing were immersed for 120 days at room temperature.

<sup>b</sup> Samples decomposed after 7 days (in DMF) and 14 days (in acetone).

<sup>c</sup> Adhesive bond has broken under its own weight.

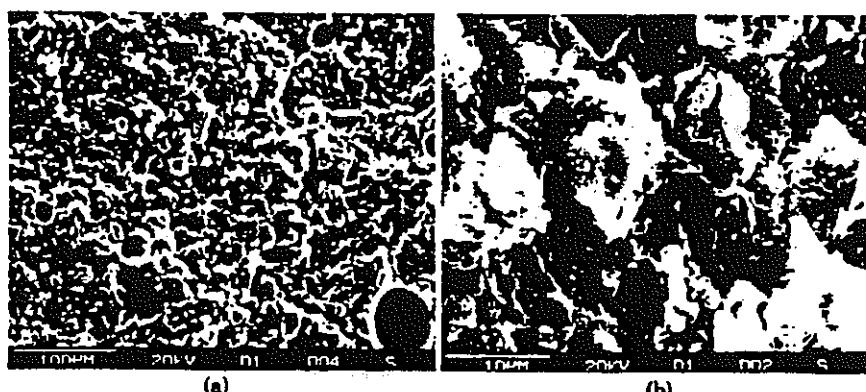


Fig. 1. SEM photomicrographs of fracture surface of epoxide EP resin.

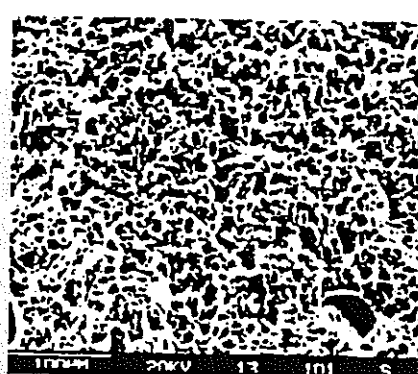


Fig. 2. Fracture surface of EP-DBP blend (10% of DBP).

2相構造であるといふ従来の知見と一致する。Fig. 2か"Fig. 1と殆んど"變らないことから、DBPはEPと完全に混じると言えそうである。Fig. 3のDSC曲線も、この良好な混合を裏付けている。DBPの添加によって、ガラス転移点Tgは低下し、2成分の中間の値をとる。

PVA複性EPでは、硬化EPにPVAを10% 添加すると、PVAはEPと別な相をつくる(Fig. 4 SEM参照)。Fig. 4からは、また、この2

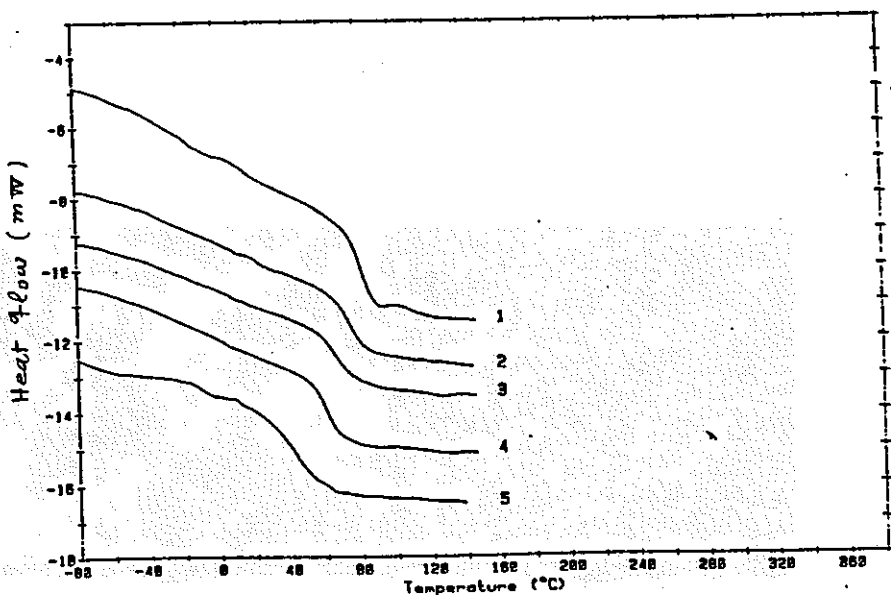


Fig. 3. DSC curves of epoxy (EP) and epoxy-dibutyl-phthalate (DBP) blends: (1) EP, (2) EP-DBP (2%); (3) EP-DBP (4%); (4) EP-DBP (6%); (5) EP-DBP (10%).

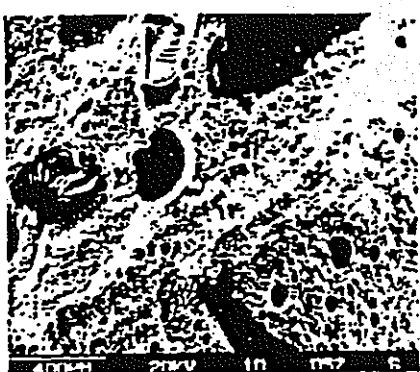


Fig. 4. EP-PVA (10% of PVA).



Fig. 5. PVA particles.

成分がよく接着していることもわかる。DSCからは、両者のTgが"接近"しているため、混合について結論づけることは出来なかった。

PVC変性EPのSEMと分散X線(EDXA)による検討結果は、PVC低濃度(10%以下)では両者は混合しないが、PVC濃度の増加に従ってお互に混合し易くなる。Fig. 6, 7(a), (b), (c), 8は

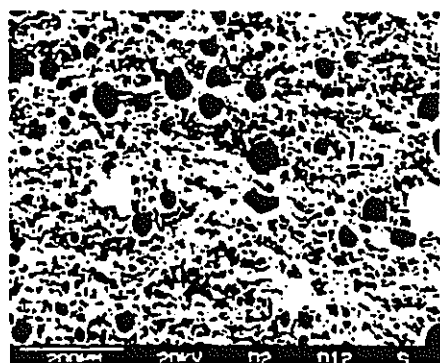


Fig. 6. EP-PVC (2% of PVC).

Fig. 7. EP-PVC (20% of PVC). Region of mixed polymers.

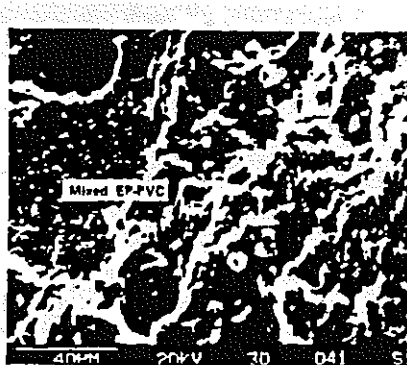
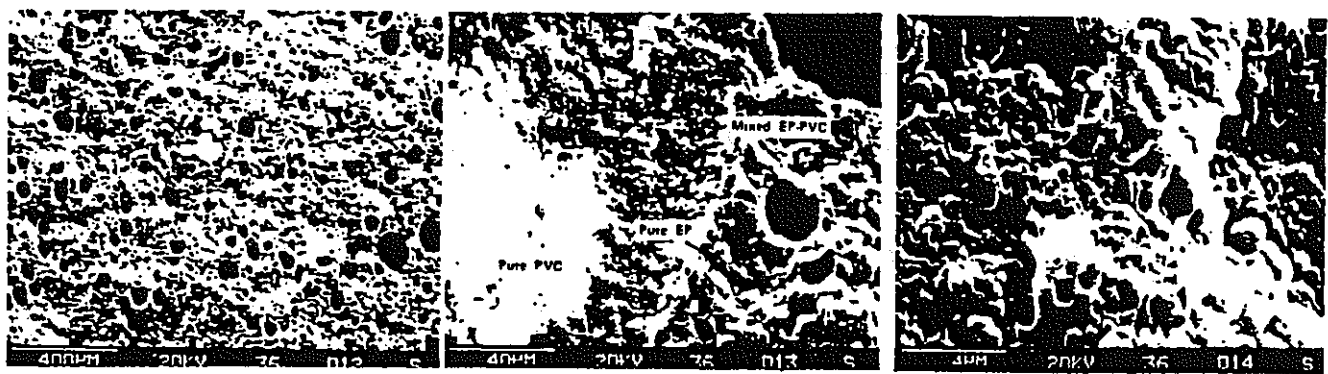


Fig. 8. EP-PVC (50% of PVC).

これを示す SEM 写真である。

Fig. 9 はガラス繊維強化EPの写真で、(a)と(b)とでは倍率が異なる。繊維の分散は良いが、繊維・ポリマー間の接着は弱く、破断面がここに形成されることを示している。

EPの硬化(架橋)に対する添加物、DBP、PVC、ガラス繊維の影響をしらべたものが Fig. 10 (次頁) であり、時間の経過に対する、発熱による温度上昇を示す。Fig. 10 の 5 はガラス繊維の曲線で、ヒークの「ズレ」はガラス繊維の熱伝導率がポリマーより小さいためであろうと説明している。DBP の場合は Fig. 10 の曲線 3, 4 で示されるように、反応は遅くなる。熱変形温度に対する DBP と PVC の影響を、夫々 Fig. 11 (次頁) の曲線 1, 2 に示した。PVC が

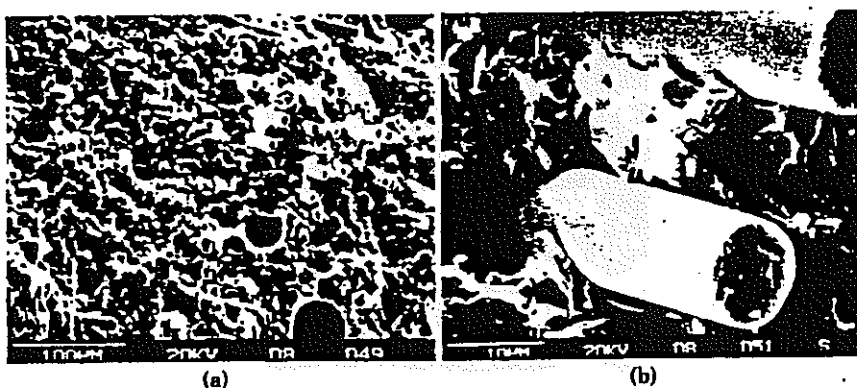


Fig. 9. EP reinforced with glass fibers (2% of GF).

Fig. 10 エポキシ樹脂の硬化温度に対する添加剤の影響

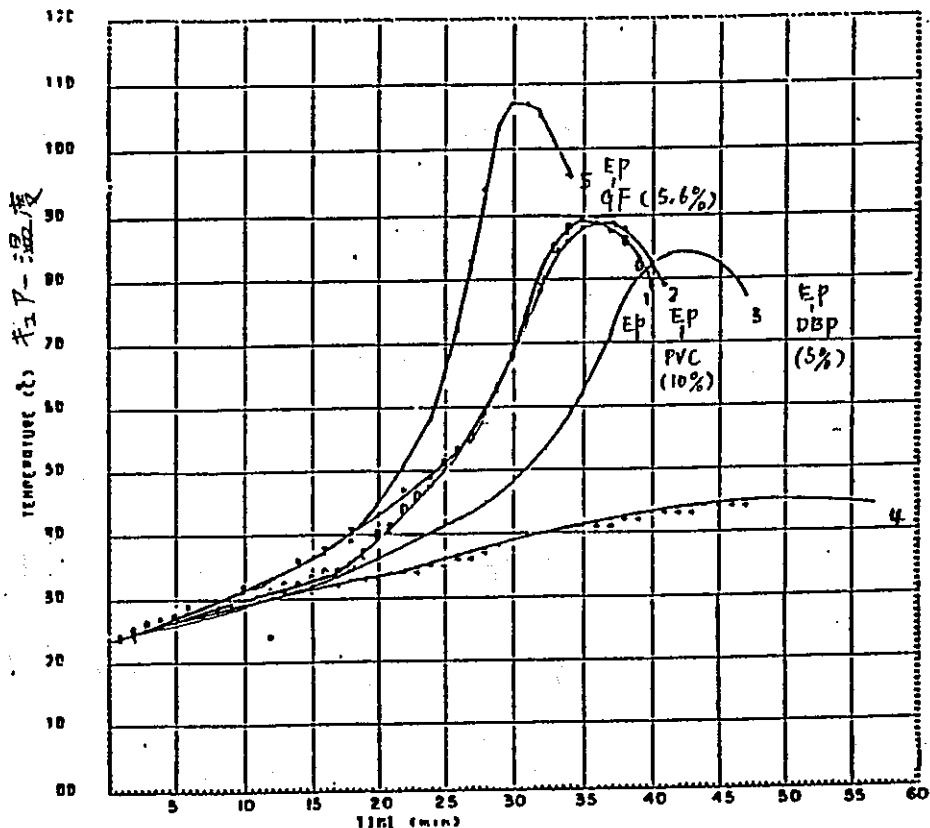


Fig. 10. Effect of additives on the curing temperature of epoxy resin: (1) EP, (2) EP-PVC (10% of PVC); (3) EP-DBP (5% of DBP); (4) EP-DBP (12.6 DBP); (5) EP-GF (5.6%).

Fig. 11 热变形温度に対する添加剤の影響

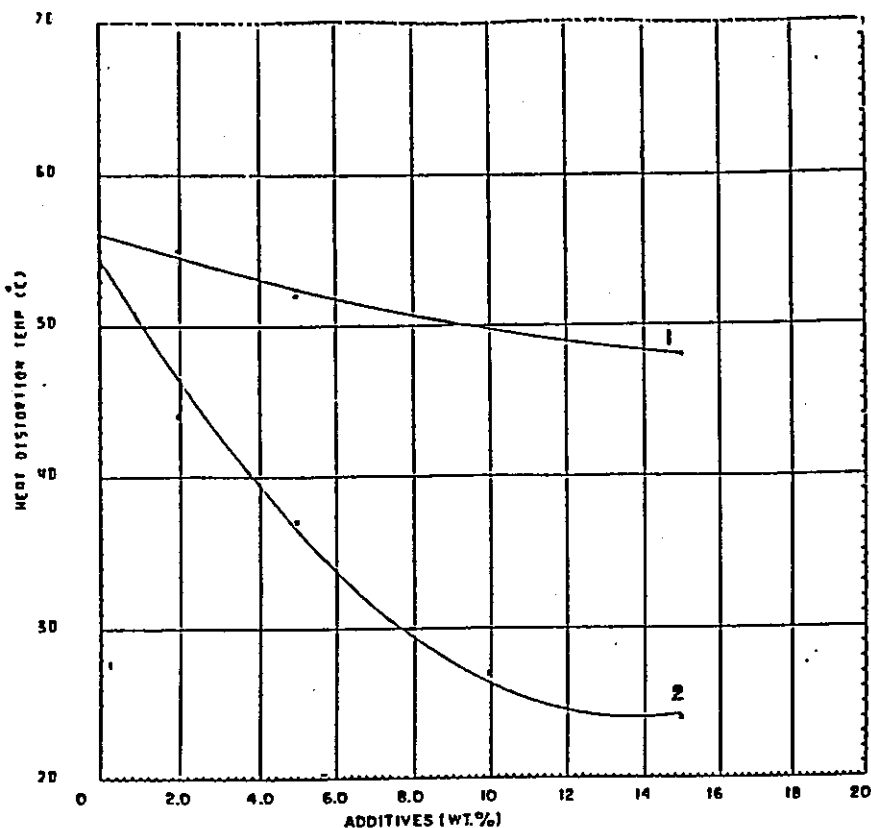


Fig. 11. Effect of additives [(1) PVC or (2) DBP] on the heat distortion temperature.

それ程でないのに比し、DBPの場合の低下は大きい。

Fig. 12 は EP-PVC 系の熱変形温度で PVC の添加量が少  
量の場合での低下が大きい。

Fig. 13, 14 (次頁) は、接着剤としての EP、変性 EP に  
いてしらべたもので、Fig. 13 は基材としてアルミニウム、木材、  
モルタルで EP の接着強度を、Fig. 14 はアルミ基材の変性  
EP (EP-DBP) での接着強度に対する DBP 変性の影響をしら  
べたものである。極限引張り強度が一旦はかなり低下す

Fig. 12 EP-PVC ブレンド中の PVC 濃度と熱変形温度

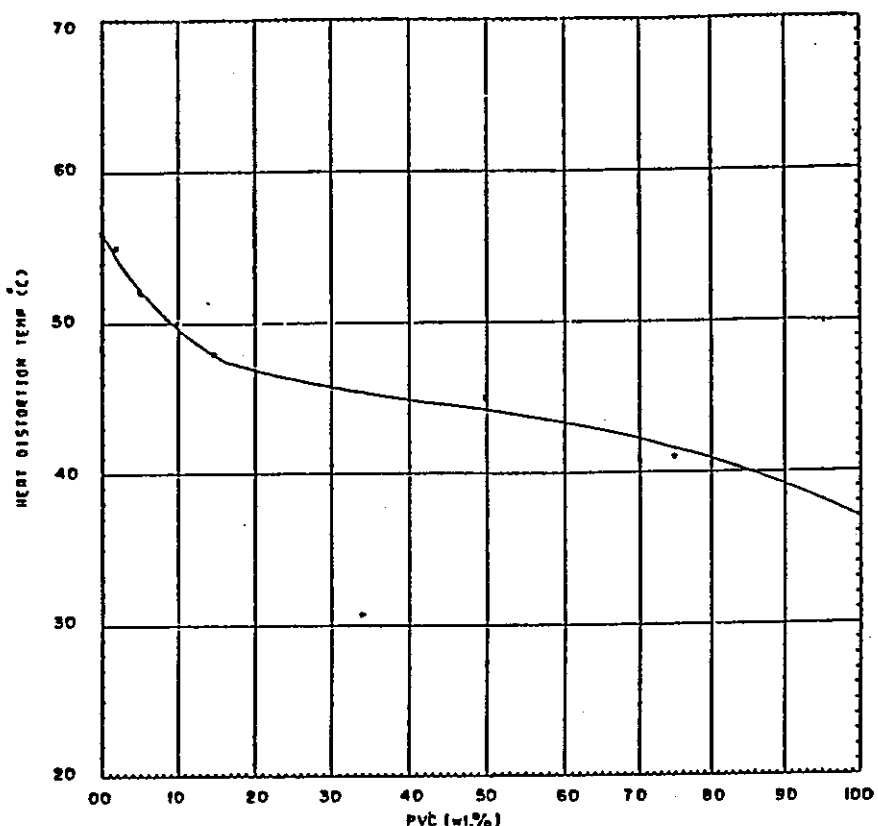


Fig. 12. Variation of heat distortion temperature with PVC concentration in EP-PVC blends.

Fig. 13 極限引張り強度に対する基材の影響

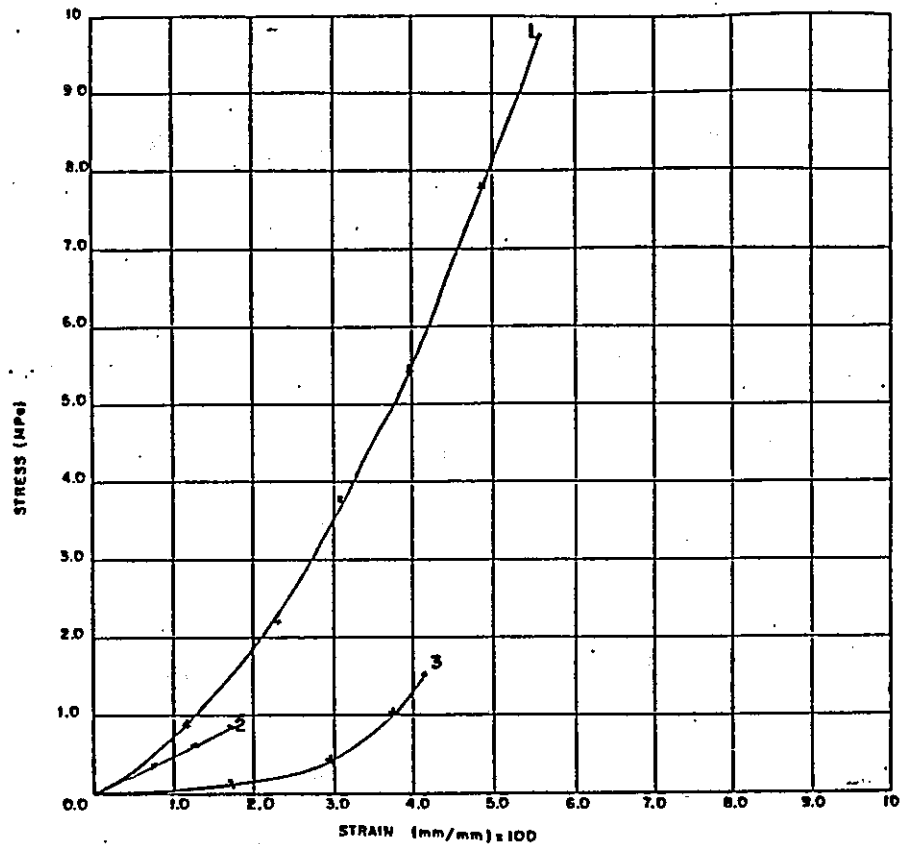


Fig. 13. Effect of substrate on the ultimate tensile strength: (1) EP and aluminum substrate; (2) EP and wood substrate; (3) EP and mortar substrate.

Fig. 14 極限引張り強度に対するEP中のDBPの影響

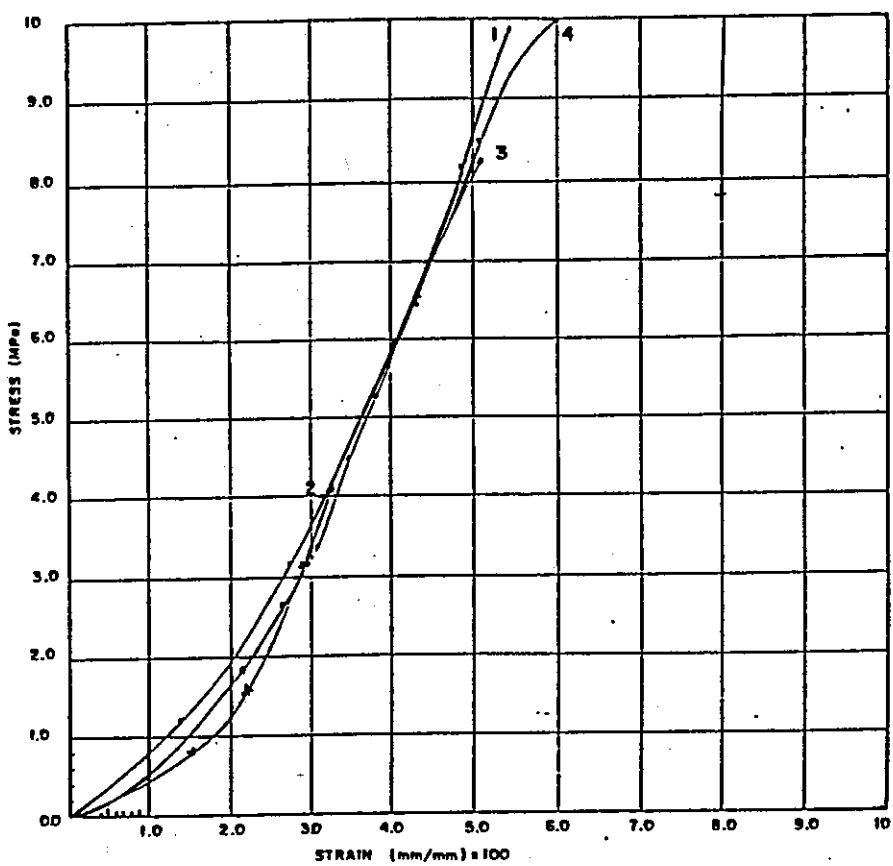


Fig. 14. Effect of DBP on the ultimate tensile strength: (1) EP; (2) EP-DBP (2% of DBP); (3) EP-DBP (4% of DBP); (4) EP-DBP (6% of DBP). Aluminum substrate.

るが、DBPの増加に応じて、応力、歪共に僅かながら未変性のものを上回るようになる。

Fig. 15 は PVC と PVA による変性、Fig. 16(次頁) はガラス織維による強化の場合で、結果は何れも好ましいものではない。

アルミニウムを基材とし、サンドイッチ試料で、エポキシ系接着剤(変性、未変性)の耐候性の調査のため、屋外暴露 100

Fig. 15 EP系ブレンド(EP/PVC 及び EP/PVA)の PVC, PVAの影響

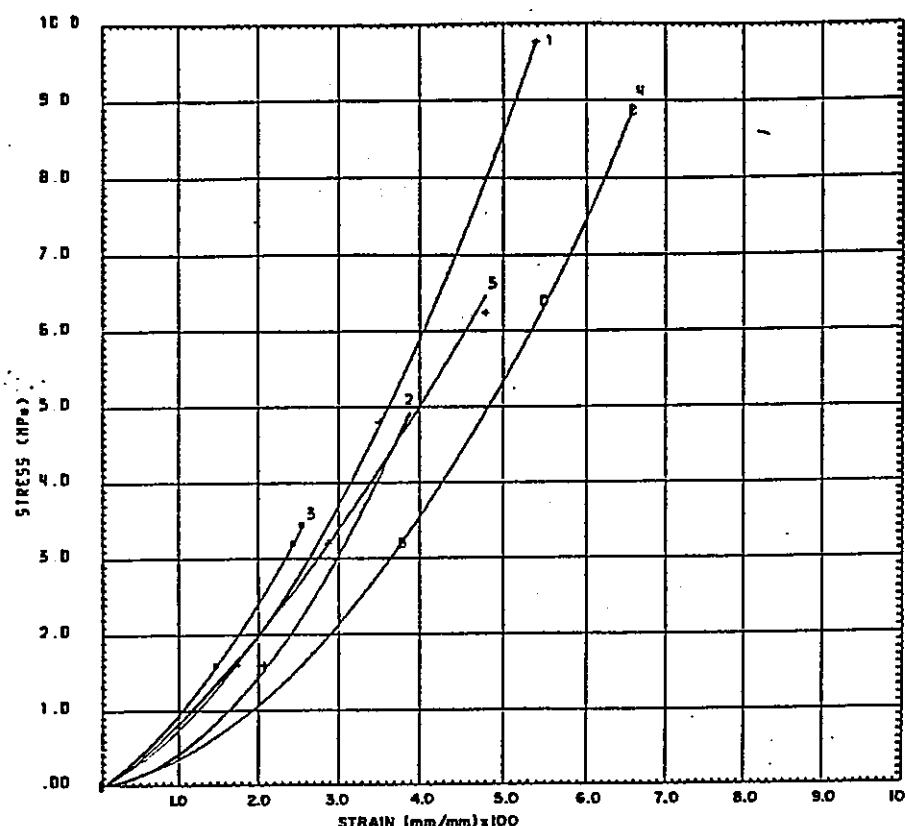


Fig. 15. Effect of PVC and PVA on the strength of EP-based blends: (1) EP; (2) EP-PVC (2% of PVC); (3) EP-PVC (5% of PVC); (4) EP-PVC (10% of PVC); (5) EP-PVA (10% of PVA). Aluminum substrate.

Fig. 16 極限引張り強度に対するガラス繊維強化の影響

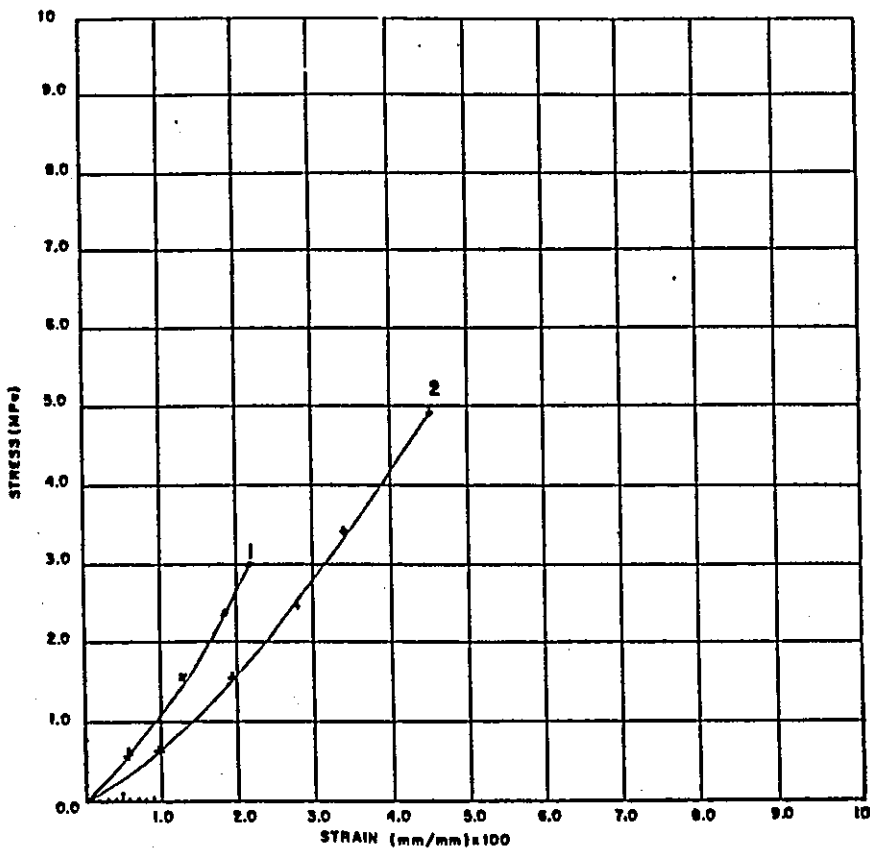


Fig. 16. Effect of glass fiber (GF) reinforcement on the ultimate tensile strength: (1) EP-GF (1% of GF); (2) EP-GF (2% of GF). Aluminum substrate.

Fig. 17 EP 及び "EP系ブレンド" の極限引張り強度に対する屋外曝露の影響

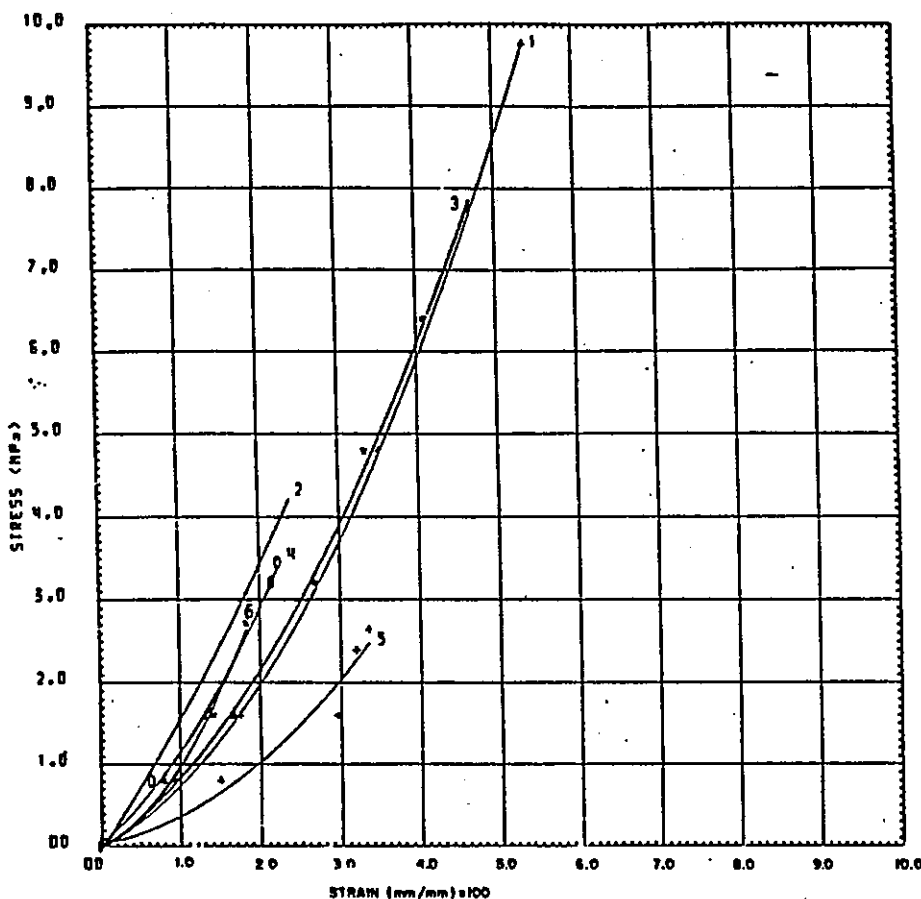


Fig. 17. Effect of outdoor exposure on the ultimate tensile strength of EP and EP-based blends: (1) EP (control); (2) exposed EP; (3) EP-DBP (6% of DBP); (4) EP-PVC (2% of PVC); (5) EP-PVC (5% of PVC); (6) EP-PVC (10% of PVC). Aluminum substrate.

日後の接着強度の変化を、極限引張り強さで調べた。(前頁  
Fig. 17 参照) その結果 未変性EPで強度が約43%に低下  
した。これは結氷-解氷のくり返しで、分子鎖の切斷が起つ  
たためと考えられる。DBP変性の場合、78%で比較的よ  
いが、PVCの場合は、大きく劣化する。

接着剤として硬化したEPは、飲料水、ベンゼンには耐え  
るが、ジメチルホルムアミド(DMF)、アセトン、NaCl水溶液、  
 $\text{CaCl}_2$ 水溶液には弱い。また、メタノールにも余り強くない。

W-4 PB Rep NO. PB-84-118777 '83

## 長期暴露後の廃棄物用いの内張システム

の評価 S. A. Roberts 他 (Malcolm Pirnie Inc.)

産業廃棄物と接触するところに使われるプラスチックシートの内張りについて、実験室、ハイロット規模の試験はかなり行われているが、実際の工場や排水池でのこれら内張りの状態についての報告は余り見当らない。

本調査は、プラスチック製内張りについて研究室での試験法を実装置で確認することと、ライナーの性能に及ぼす有害廃棄物処分での用地固有の影響を把握することを目的としている。

排水池は 1973年に北米東北部に建設された。この排水池は 20ミル(0.5 mm)の塩ビシートで内張りされていたが、1982年内張り更新に伴いサンプル採取が可能となつた。

排水池の概略寸法は、幅55ft、長さ240ft、深さ9ftで、大体南北の向きである。

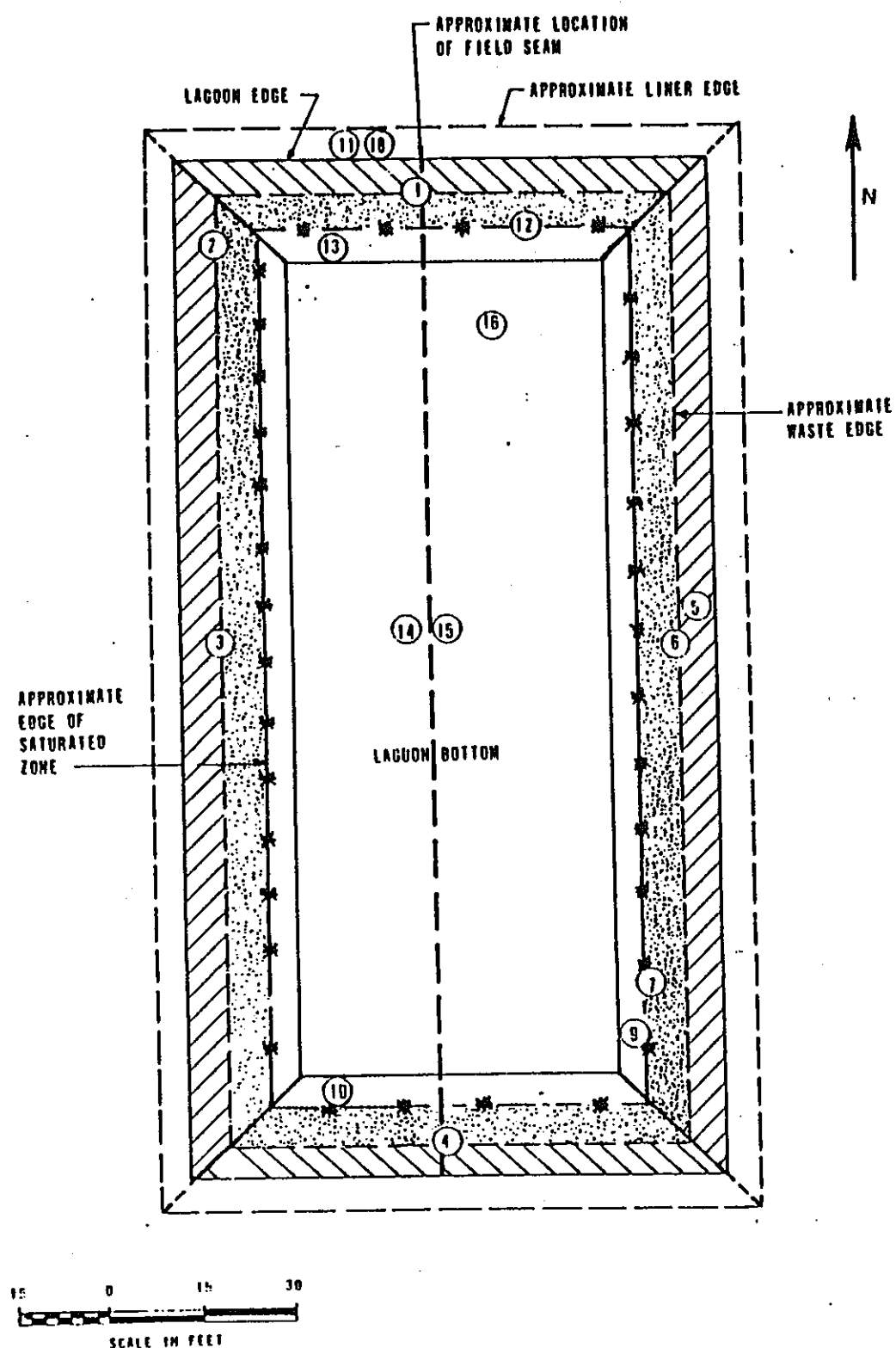


Figure 1 (See figure legends list)

塩ビライナーは加工業者が工場で2分割に組み立てたものを、現地で施工業者が中央部を継ぎ合わせた。落煤で接着したものと思われる。

この池は、沈殿池として使われ、ポンプで送り込まれたスラリー状の廃棄物の固形分は沈降し、上澄は返送されていた。1,2年おきに浚渫したが、その際浚渫機の泥さらい器で、ライナーが破られることがあつたと云う。

廃棄物は、硫酸カルシウムを主体とし、アンモニア、塩化物を含む灰白色微粒の湿ったスラッジである。

池の斜面のライナーに接するスラッジ飽和液の分析値をTable 1に掲げた。

TABLE 1.

GENERAL ANALYSIS OF SLUDGE LIQUID

Item	Amount
pH	8.0 - 9.0
Specific conductance, $\mu\text{mhos}$	15,000 - 60,000
Chlorides, mg/L	4,500 - 5,000
Sulfates, mg/L	15,000 - 20,000
Ammonia, mg/L	1,000 - 7,000

池は、最下位層が“結晶質破砕物”、その上が“漂礫土”及び  
外縁堆積物の部分に設置されている。池の下部が“~~有機物~~泥炭層”  
となっている部分もある。地下水水面は6~8 ftで、池の底部は、  
地下水水面以下となる。

サンプル採取は Matrecon社が開発した方法で行った。  
採取場所を Fig. 1(前々頁)と Fig. 2 に示した。

池の上部のサンプルは直接切り取ることが出来たが、  
下部のサンプルは一旦泥さらい器で取り出してか  
ら切り取った。

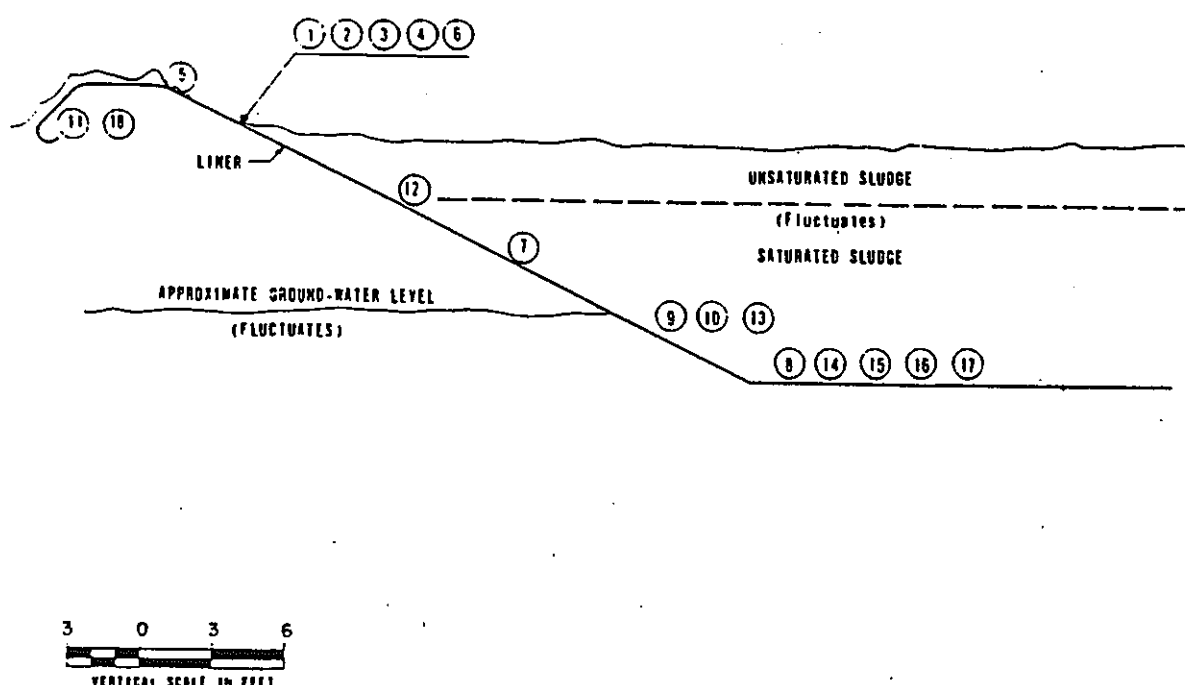


Figure 2 (See figure legends list)

Fig. 1 又に示した個所で採取した 18 個のサンプルから、標準試料相当品、東西南北各面、垂直断面に沿って「犬走り」—底面部、接合部のサンプル 10 個を選び、引張強さ、引裂強度、破裂強度、硬度を調べた。また加熱収縮を測定し、シートの押出方向（高分子鎖の配列方向）をしうべておく。接合部は剪断、引剝し試験を行う。揮発分は 2 段階で除く。先づ  $\text{CaCl}_2$  で水分を除去し、次いで  $\text{CCl}_4/\text{CH}_3\text{OH}, 105^\circ\text{C}$  で有機揮発分を除去する。揮発分除去後、残分を測定する。

日光暴露サンプルは、一般に脆く、乾いている。形の変化から局部的な収縮を起した場合も見出され、引張強さ、引裂強度の値も、この脆さを示している。これは抽出物が少ないと、破断点での伸びが小さいことや硬度の高いことから、可塑剤が減少したためと思われる。脆くなかったのは 排出口附近から採取した試料のみで、この試料は、排出物にさらされたものであり、日光暴露の試料としては、不適である。

スラッジ暴露部のサンプルについては、以下の状況である。

底面では飽和スラッジにさらされ、斜面ではスラッジ面の上下に応じて、飽和あるいは不飽和スラッジにさらされ、斜面上部では界面の移動に応じて日光とスラッジとにさらされる。なお、サンプル採取時気付いたことであるが、飽和スラッジ部のサンプルは下側の土壤の痕跡がつき、不飽和に接しているものが平野に比べ、飽和ではふくれているものがあつたこと、南端斜面の底部に近い土壤に硫化水素臭があつたことを挙げておく。

斜面最上部の2つのサンプル(1と4)は、土壤中のサンプル(11)と似たデータである。抽出物量は少なく、破断点伸びも小さい。 $S-100$ <sup>注1)</sup>の値は、スラッジ暴露中最高値であった。

斜面底部に近いサンプルでの試験では、何れも大体類似した結果となる。すなわち、日光暴露サンプルと較べて、抽出分は多く、硬度は低く、破断点伸びは大きい。

注1) 100%伸びに対する応力(psi)

池底部の異なる場所から採取した試料で、  
水分は 3.42% と 2.49%、有機揮発分は 0.85% と 0.94%  
であり、硬度も等しかった。また、全試料中、  
抽出物量は最も多く、硬度は最も小さい。

土壤中のサンプル(II)は、出来れば標準試料  
としてかたが、池の清掃によるものか、日光  
や、スラッジにさらされたらしい。抽出物が少なく  
注1)(前項)  
S-100が大きいことから或る程度苛酷な条件にさらされたようである。  
したがって標準試料として使之ない。

接合部のサンプルでは、工場で行つたものを、  
異なる場所から数個、現場で行つたもの 1 個につ  
いて試験した。接合はすべて落剤で接着したものと見  
られる。

工場の分は剪断試験が母材の 74 - 99% で接着は  
良好である。現場接着ではきちんと接着されておらず、  
つけ落(部分があつたが)、接着部では母材の 87% の剪断力を  
示し、良好と云ふ。しかし、引剤(強度は工場のものの半分に近い)

結論として、

- 1) 実装置での試験結果は、従来の研究室あるいはハロイロット規模の研究を追認している。廃棄物処分池で使用された塩ビ内張りサンプルの性質は、サンプリング場所やサンプルが何と接触していたかと云った条件で、かなり異なるが、変化の仕方を含めて、従来の実験室データから大体見当がつけられる。
- 2) 日光に対する暴露は、ライナー劣化の大きな要因となる。日光暴露サンプルでは、収縮も見られ、厚みも薄くなっている。この場合物性は劣化し、可塑剤の減少が起っている。しかし、池底部のサンプルは、物性も、可塑剤も、未とのままである。
- 3) Table 6 で廃棄物下に9年間さらされたライナーを、未暴露の20ミルの塩ビシートと比較した。各測定値は釣合っているので、この場合、PVCライナーに対する廃棄物の影響はないといえるが、もとのサンプルが入手出来れば、実験結果の定量的取扱いが出来たであらう。(Table 6 は末尾に掲載)

4). 工場での接着は、長期間の暴露に対して無きずである。左が、現場接着はそのようにはいかなかつた。工場接着の剪断試験では、サンプルの接着端からはがれ水、ライナーの強さを表わしている。しかし、現場接着では接着端の「はがれ」もあるが、接着剤の塗り残し部分も見出された。これらは、現場の接着作業が適切でなかつたことを示すとともに、固い内張りを成功させために現場シールの重要性を強調している。

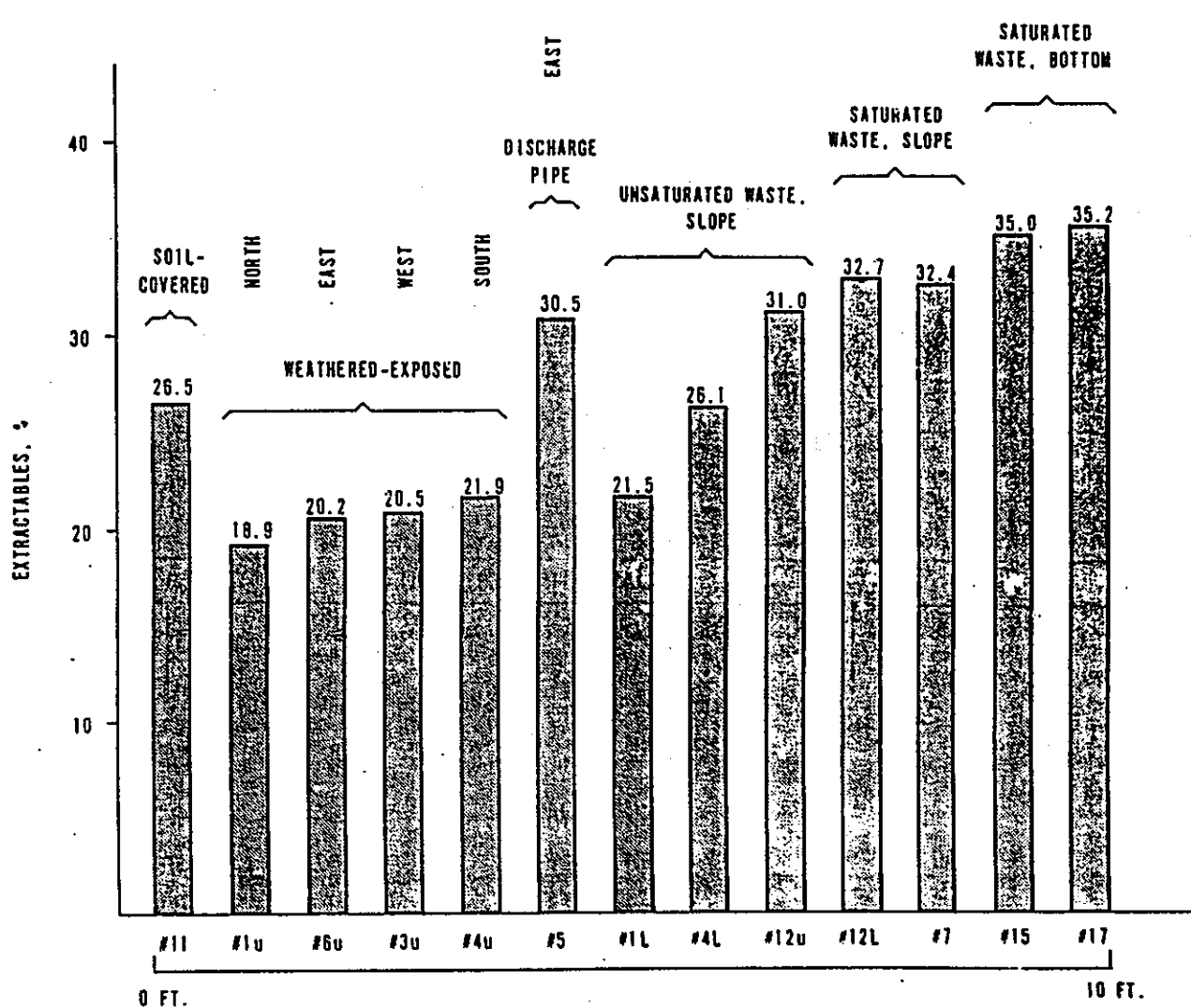


Figure 3 (See figure legends list)

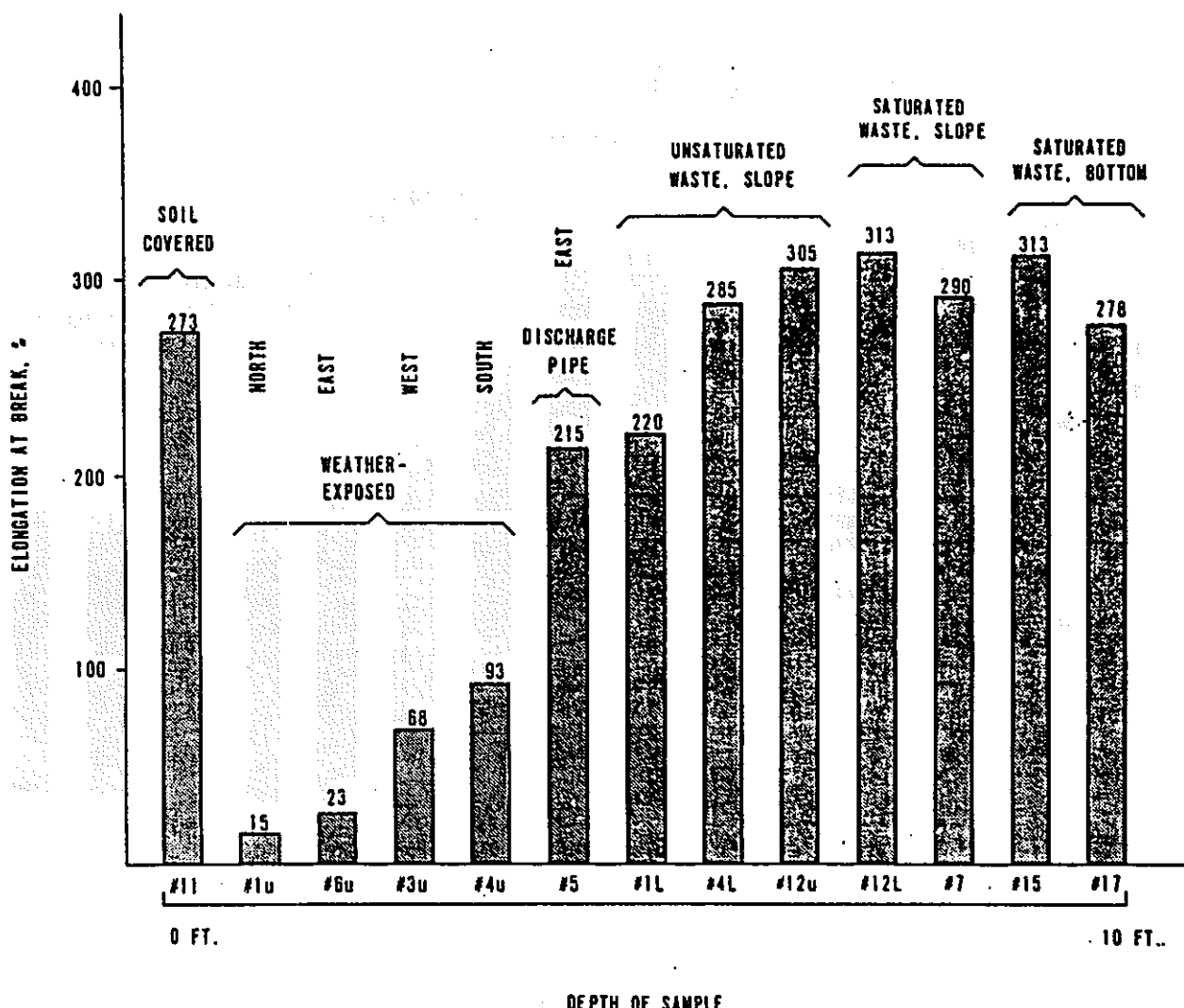


Figure 4 (See figure legends list)

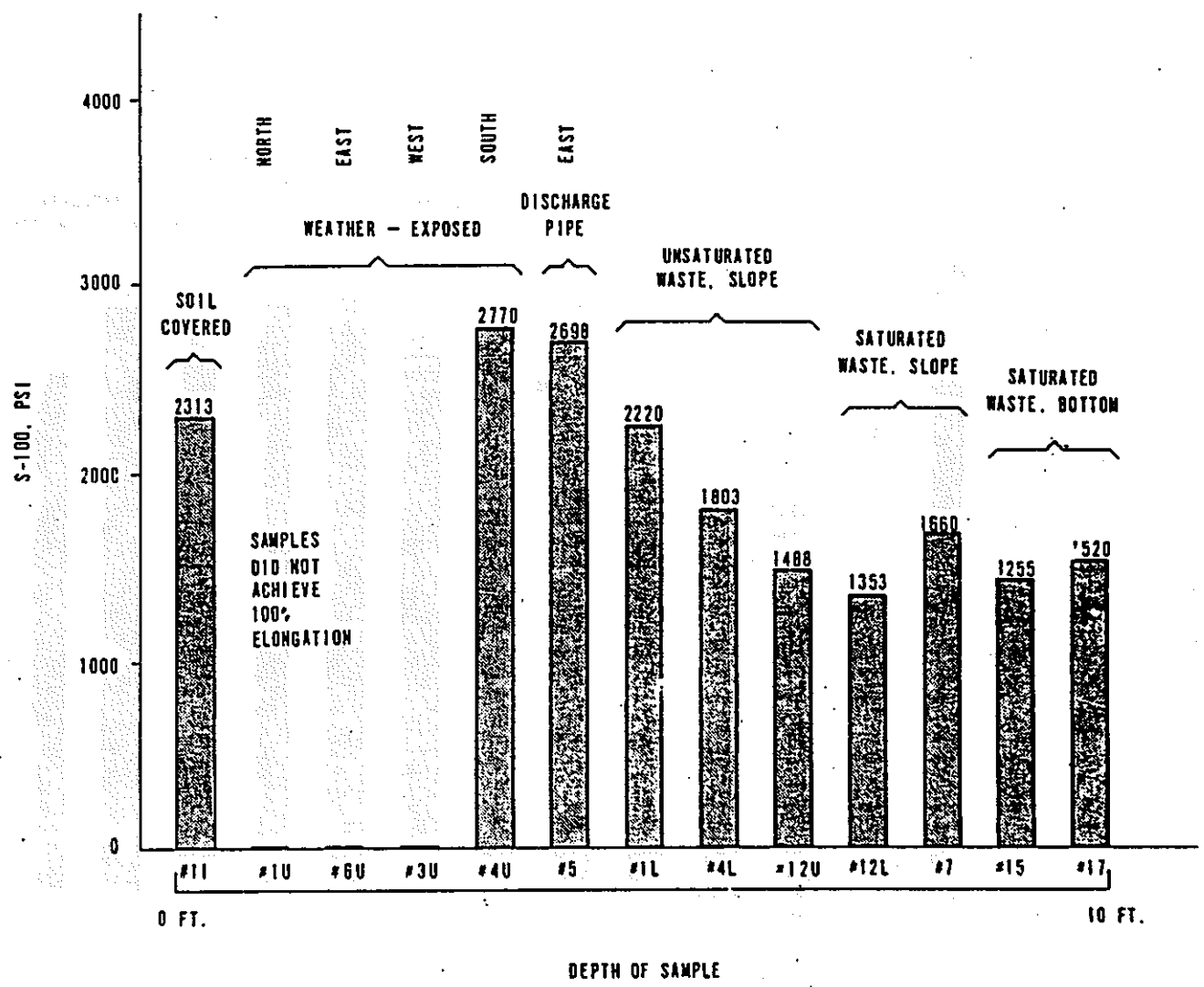


Figure 5 (See figure legends list)

TABLE 6. PROPERTIES OF UNEXPOSED 20-MIL PVC MEMBRANES<sup>a</sup> AND SAMPLES EXPOSED TO SLUDGE ON LAGOON BOTTOM

Physical properties	Unexposed membranes <sup>a</sup>				Exposed membranes	
	#17 <sup>b</sup>	#19	#67	#88	#15	#17
Average thickness, mils	20	22	22	20	20	21
Tensile strength, psi:						
Machine	2,640	2,780	3,020	3,395	2,460	2,760
Transverse	2,520	2,260	2,765	2,910	2,320	2,550
Elongation at break, %:						
Machine	270	330	385	325	310	265
Transverse	290	340	415	335	315	290
Tensile set, %:						
Machine	68	97	192	102	70	60
Transverse	77	105	207	101	80	70
S-100, psi:						
Machine	1,260	1,150	1,250	1,870	1,265	1,625
Transverse	1,130	1,060	1,110	1,600	1,245	1,415
S-200, psi:						
Machine	2,080	1,890	1,820	2,610	1,805	2,280
Transverse	1,850	1,590	1,585	2,190	1,700	1,975
Tear strength (Die C), ppi:						
Machine	350	295	340	465	260	325
Transverse	315	275	295	470	270	295
Puncture resistance:						
Stress, lb	25.8	24.0	27.3	28.6	26.1	32.6
Elongation, in.	0.69	0.71	0.68	0.56	0.69	0.67
Thickness, mils	20	21	22	----	20	21
Hardness, Durometer A points						
5-sec reading	76A	72A	75A	80A	72A	71A

<sup>a</sup> Source: Reference 5, p. 50.

<sup>b</sup> Liner number. Unexposed liner numbers are Matrecon inventory numbers; exposed liner numbers are sludge lagoon sample numbers.

<sup>c</sup> Tests performed are tensile strength, ASTM D412; tear strength, ASTM D624; puncture resistance, FTMS 101B, Method 2065; and hardness, ASTM D2240.

W-5 Pap Int Corros Forum No. 84-355 '84

ハイドロラインの被覆。それは本当にその場のものかの方法なのか I K.E.W. Coulson 他 (NOVA, Canada)

エネルギー探査開発の最前線がひろがるにつれて、ハイドロラインの外面被覆に対する要求は厳しくなりつつある。地中に埋設したり、海中で使用するハイドロラインの外面の腐食を防ぐ最も有効な方法は、保護被覆に陰極防食を組合せる方法であり、これが有効に働くためには、耐久性の被覆を選ぶことが望ましい。被覆は、その環境に左右されるから、予め十分な環境の理解が重要である。

文献や業者の技術資料から被覆の最適化を試みたが不可能だ、左のとて、各種被覆の性能の適切な評価と予測のため、NOVA社自身の研究室評価法をつくった。以下の実験法、試験装置、結果について述べる。これは 1980 ~ 1982 年の期間で実施したものである。

評価に用いたハイフ<sup>®</sup>は、外径 60.3 mm, 290 MPa 級で、公称厚み 3.18 mm である。ハイフ<sup>®</sup>の被覆はすべて被覆材メーカー側で実施している。

評価は下表の 10 種、33 件について行った。建設から稼動が経る迄、ハイフ<sup>®</sup>ラインのおかれた環境から、被覆に要求される性能を分類し、ハイフ<sup>®</sup>ラインの被覆で重要な考え方られる性質を次の 12 項目にまとめた。(次頁)

ハイフ<sup>®</sup>ライン被覆の標準試験法は、ASTM 以外にもあるが必ずしも十分でないので NOVA 社で開発・修正を加えた。これと ASTM のものとを Table 1 に対比した。(次頁)

<u>Coating Type</u>	<u>Number of Systems Tested</u>
Coal tar enamel	コールタール 1
Coal tar/polyester	コールタール ポリエステル 1
Extruded polyethylene	押出ホウテレン 3
Fusion bond epoxy	接着高分子エポキシ 10
Polyethylene tape (Pressure sensitive)	ホリエタレンテープ (感圧テープ) 8
Polyethylene tape (Butyl backing)	ホリエタレンテープ (バーチル) "ム裏打ち" 3
Polyethylene tape (High heat application)	ホリエタレンテープ (高温用) 2
PVC tape	PVC テープ 3
Polyurethane	ホリウレタン 1
Polyurethane/tar	ホリウレタンタール 1
Total of Coating Systems Tested	<u>33</u>

## 八〇个ラインの被覆で重要なと考えられる性質

1. 接着性	Adhesion
2. 化学薬品耐食性	Chemical resistance
3. 電気抵抗	Electrical resistance
4. 柔軟性	Flexibility
5. 硬度 耐摩耗性	Hardness / Abrasion resistance
6. 耐衝撃性	Impact resistance
7. 針入抵抗性(針入度)	Penetration resistance
8. 陰極剝離抵抗性	Resistance to cathodic disbondment
9. 高温安定性	Stability at elevated temperature
10. 土壌应力抵抗性	Soil stressing resistance
11. 吸水抵抗性	Water absorption resistance
12. 耐候性	Weathering resistance

TABLE 1

LABORATORY TESTS USED FOR THE EVALUATION OF  
PIPELINE COATINGS

Properties	ASTM Designation	Designated Test For This Evaluation	Availability of Test Equipment Used	Test Duration
Chemical Resistance	G20-77	NOVA Standard #19066	2	12 months
Cathodic Disbondment	G8-79	NOVA Standard #19053	1	28 days
Cathodic Disbondment (Elevated Temperature)	G42-75T	NOVA Standard #19053	1	15 days
Flexibility	G10-77	NOVA Standard #19077	1	35 mins.
Hardness	D2240-75	D2240	2	15 mins.
Impact	G14-77	G14-77	2	1 hr.
Penetration	G17-77	G17-77	2*	3 to 60 days
Soil Stressing	-	NOVA Standard #19076	1	Ongoing
Water Absorption	D570-63	D570-63	2	24 hrs.
Weathering	G11-79	NOVA Standard #19065	1	1 and 2 years

1. Equipment had to be constructed.  
2. Equipment is commercially available.

\*Equipment for this test was a modification of the Gardner Impact Tester.

化學薬品耐食性は、敷設地以外に、貯蔵、輸送、建設等を考慮し、蒸留水、ディーゼル油、ガソリン、メタノール、鹹水、0.1% NaOH(陰極保護時のアルカリ度)およびメチルエチルケトン(MEK)を使用し、調べた。

これらを密閉容器中に入れ、被覆ハイドのサンプルを、半分は液中、半分は蒸気に暴す。(Fig. 2参照)。1ヶ月後取り出して被覆の状態を調べ次の判断基準(等級)によって判定する。等級1,2は不合格、3,4は合格とする。

サンプル外観検査	等級
被覆の全面破損、ふくれ、完全な剥離、液体の大量浸入	1
被覆の軟化、各所に起ら剥離、液体の少量浸入等有害な結果	2
被覆に多少の影響を及ぼした場合(例えは"半径5mm以内の剥離")	3
被覆に何等の影響が見られなかった場合	4

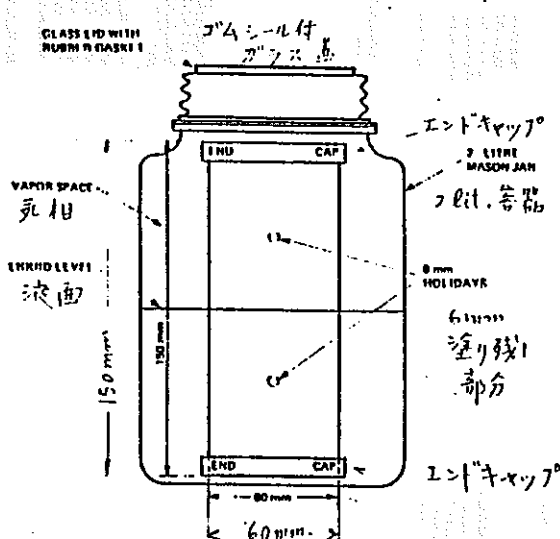


Fig. 2 - Schematic Test Cell of Chemical Resistance

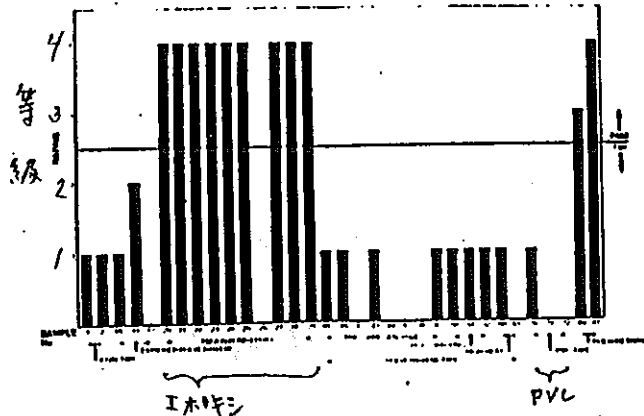


Fig. 3 - Chemical Resistance Test:  
Diesel Fuel

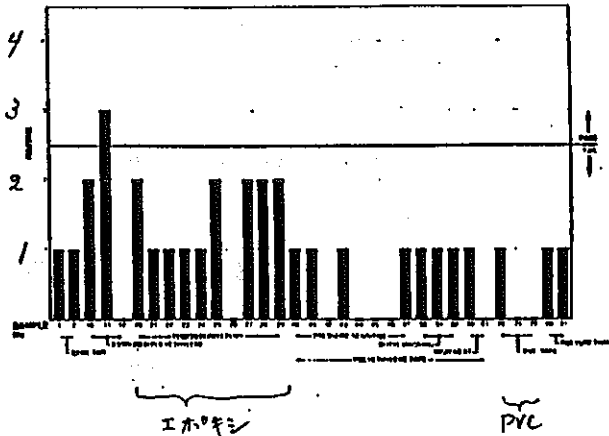


Fig. 7 - Chemical Resistance Test:  
M.E.K.

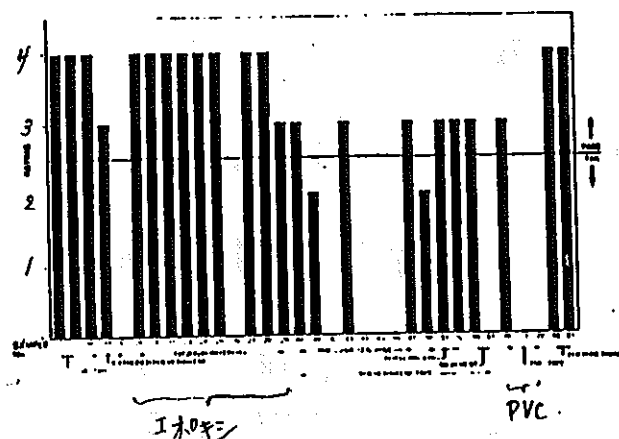


Fig. 4 - Chemical Resistance Test:  
Distilled Water

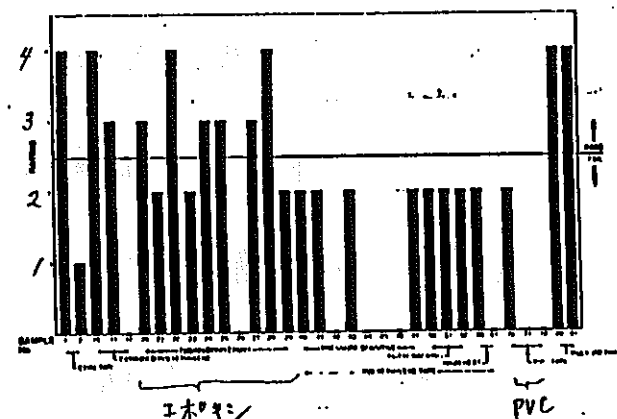


Fig. 8 - Chemical Resistance Test:  
10% NaCl

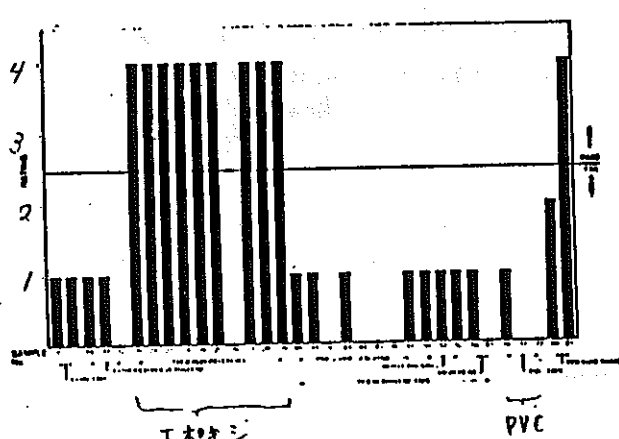


Fig. 5 - Chemical Resistance Test:  
Gasoline

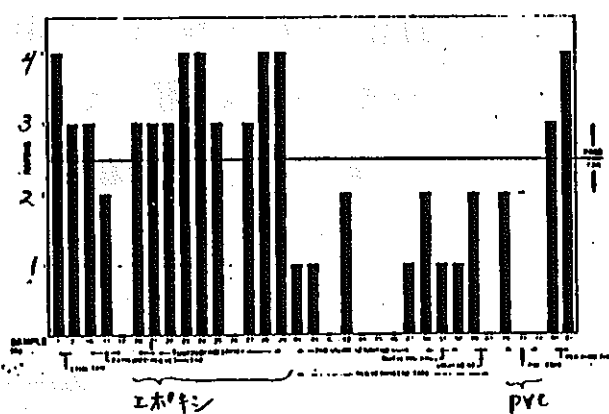


Fig. 9 - Chemical Resistance Test:  
0.1% NaOH

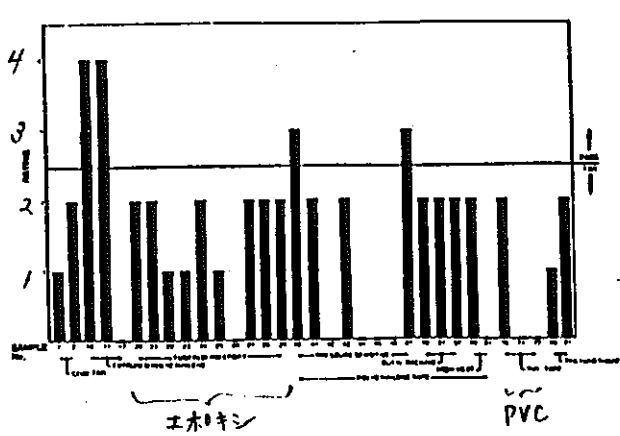
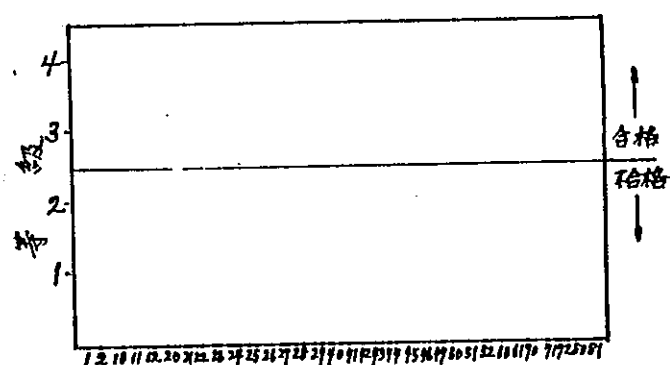


Fig. 6 - Chemical Resistance Test:  
Methanol



1, 2, 3, 10, 11, 12: エボキシ  
20~29: 溶剤エボキシ  
40~61: ポリイソブチレン  
70, 71, 72: PVC  
73, 80, 81: ポリウレタン

結果は Fig.3 ~ Fig.9 にグラフで示した(前頁)。

陰極剝離、高温陰極剝離については省略する。

寒冷地でのハロイド敷設では、冷い現場でのハロイド作業が行われる。その際のハロイド被覆の割れやはがれなどに対する抵抗性の指標が、柔軟性試験である。

Fig.14 の試験機にて、Table 2 の結果を得た(次頁)。

試験温度は  $21^{\circ}\text{C}$  と  $-30^{\circ}\text{C}$  であった。

被覆の硬さは、ショア硬さ試験機(Fig.16)(次頁)により、ASTM に従って、 $21^{\circ}\text{C}$  で測定した。出荷や取扱中受けける摩擦や、引きき傷に対する抵抗性の目安で、Fig.17(次頁)に結果を図示した。

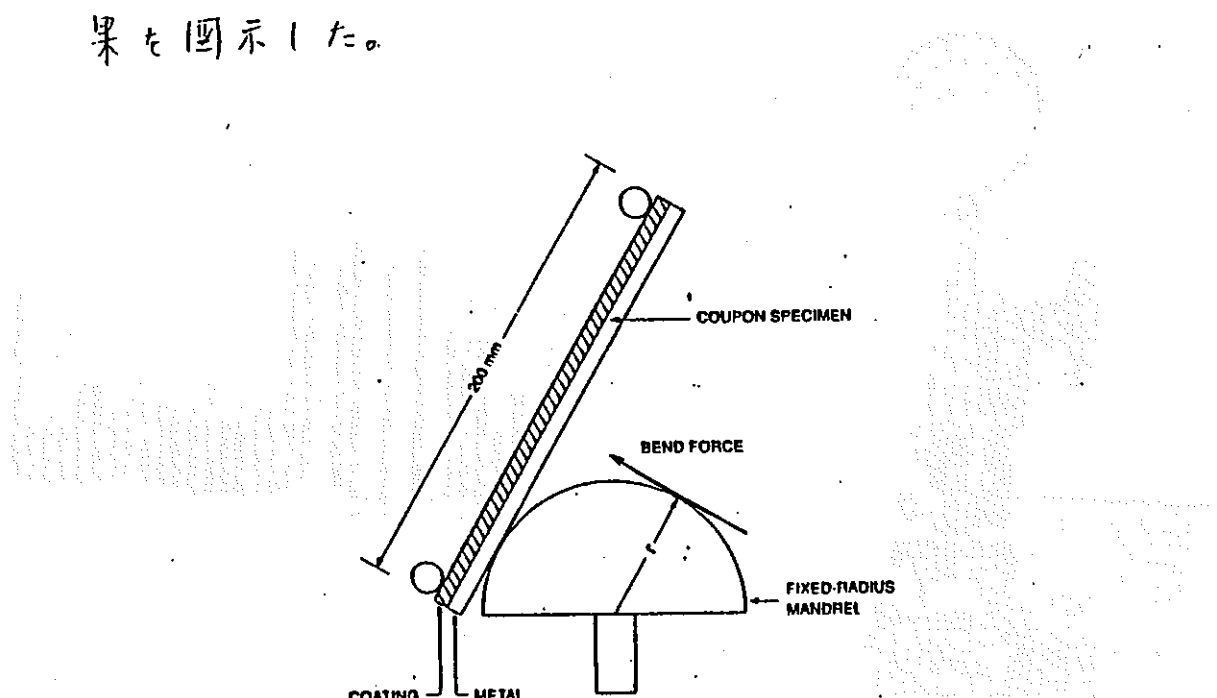


Fig. 14 - Schematic of Bend Machine Head

TABLE 2  
FLEXIBILITY TEST RESULTS  
(Results in Degrees Per Pipe Diameter Length)

Sample Code	Coating System	Test Temperature	
		21°C	-30°C
1	Coal Tar Enamel	2.34°	0.46°
10	Extruded Polyethylene	2.34°	2.34°(1)
11	Extruded Polyethylene	2.34°	2.34°(1)
12	Extruded Polyethylene	2.34°	2.34°(1)
20	Fusion Bond Epoxy	2.34°	2.34°
21	Fusion Bond Epoxy	2.34°	2.34°
22	Fusion Bond Epoxy	2.34°	2.34°
23	Fusion Bond Epoxy	2.34°	2.34°
24	Fusion Bond Epoxy	2.34°	2.34°
25	Fusion Bond Epoxy	2.34°	2.34°
26	Fusion Bond Epoxy	2.34°	2.34°
27	Fusion Bond Epoxy	2.34°	2.34°
28	Fusion Bond Epoxy	2.34°	2.34°
29	Fusion Bond Epoxy	2.34°	2.34°
41	Polyethylene Tape (Pressure Sensitive)	2.34°	0.46°
45	Polyethylene Tape (Pressure Sensitive)	2.34°	2.34°(2)
46	Polyethylene Tape (Pressure Sensitive)	2.34°	2.34°(2)
50	Polyethylene Tape (Butyl Backing)	2.34°	2.34°(2)
51	Polyethylene Tape (Butyl Backing)	2.34°	2.34°(2)
80	Polyurethane	2.34°	2.34°
81	Polyurethane Tar	2.34°	0.46°

(1) Adhesion loss of coating to substrate.

(2) Extensive damage noted on all pressure and handling points.

### ショア 硬さ 試験機

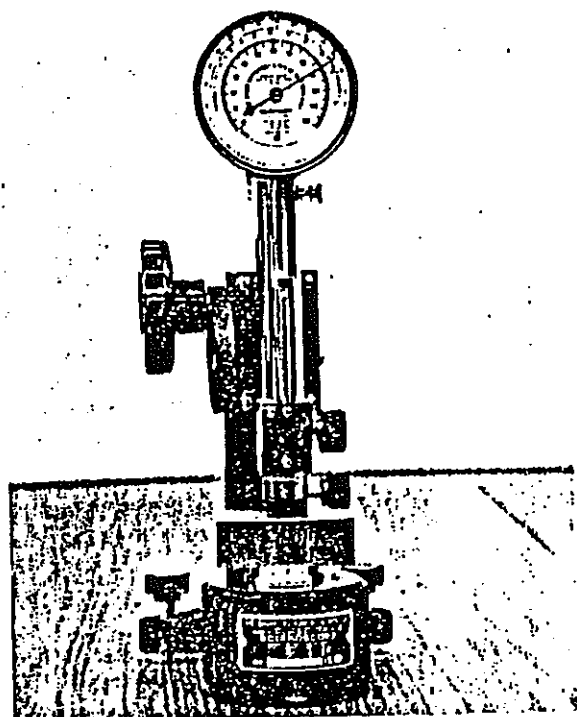


Fig. 16 - Shore Scleroscope  
Hardness Tester

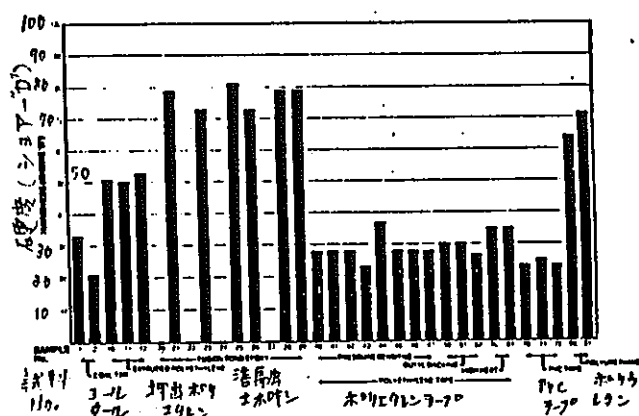


Fig. 17 - Hardness Results

埋戻しの時、石や氷結物が被覆パイプ上に落下して与える損傷に対する抵抗性は、耐衝撃性で評価される。ガードナー衝撃試験機を用い、ASTMによって試験する。試験温度は75, 50, 20, 0, -10, -30, -50 °C の7水準で、結果は19~25図に示した。(次頁)

Fig. 27 は針入度試験の結果である。上記ガードナー衝撃試験機を改造し、ASTMにより試験した。この結果は110 °F 下面の被覆が受けた集中荷重に対する抵抗性の目安になる。

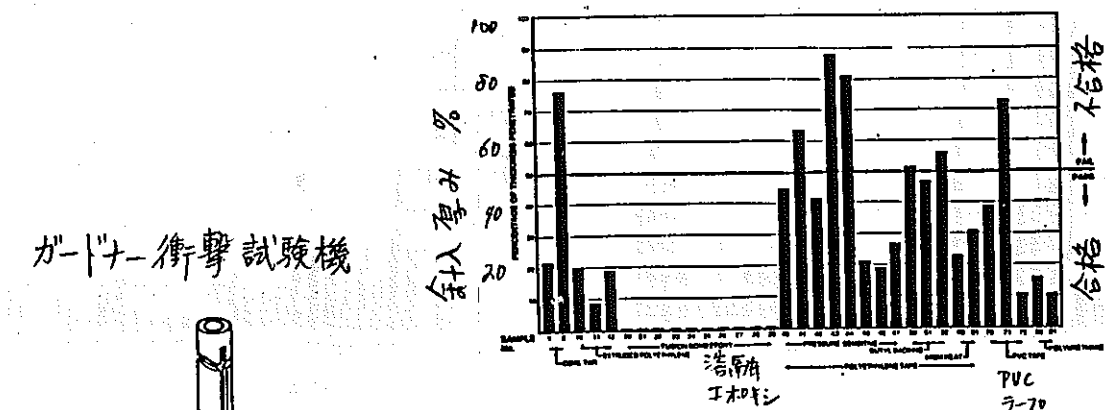


Fig. 27 - Penetration Results

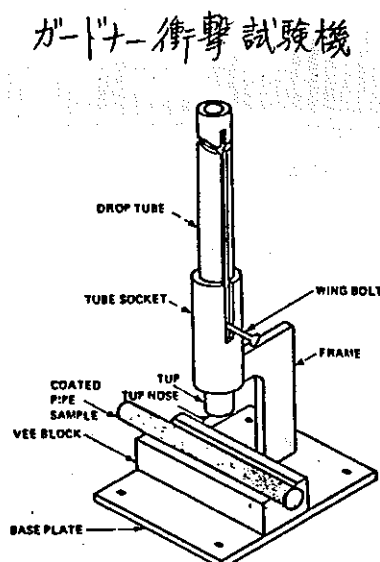


Fig. 18 - Schematic of Impact Testing Equipment

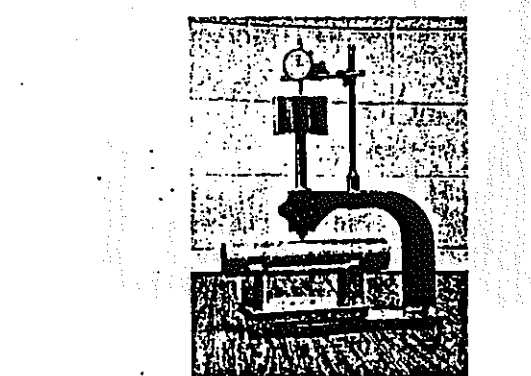


Fig. 26 - Penetration Test Equipment

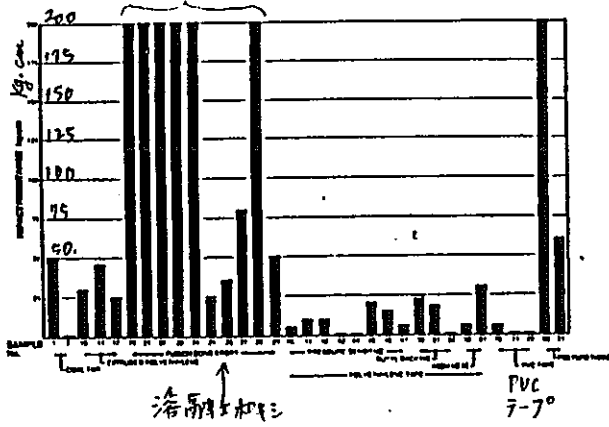


Fig. 19 - Impact Resistance at 75 C

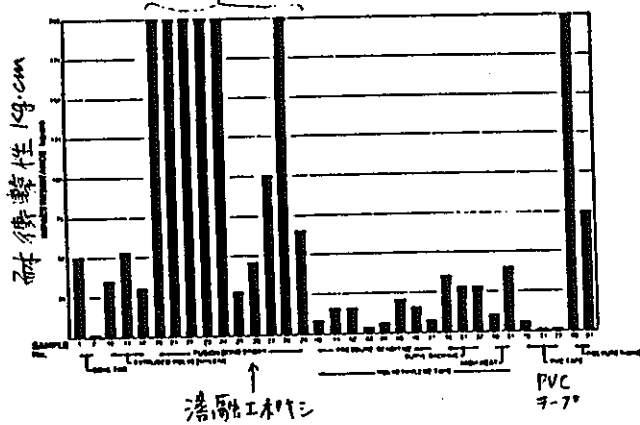


Fig. 20 - Impact Resistance at 50 C

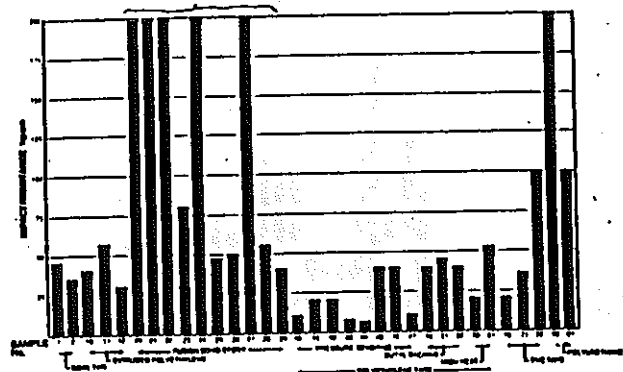


Fig. 21 - Impact Resistance at 20 C

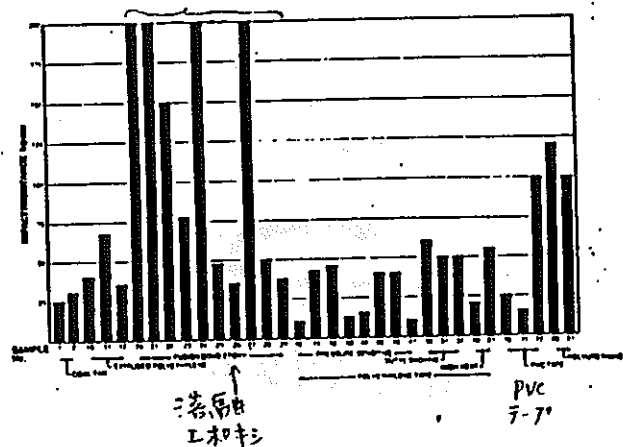


Fig. 22 - Impact Resistance at 0 C

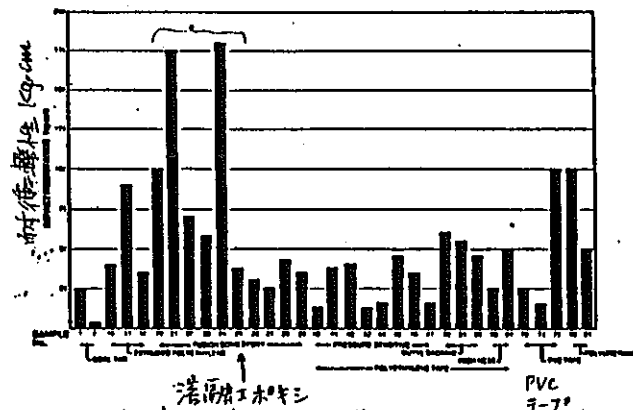


Fig. 23 - Impact Resistance at -10 C

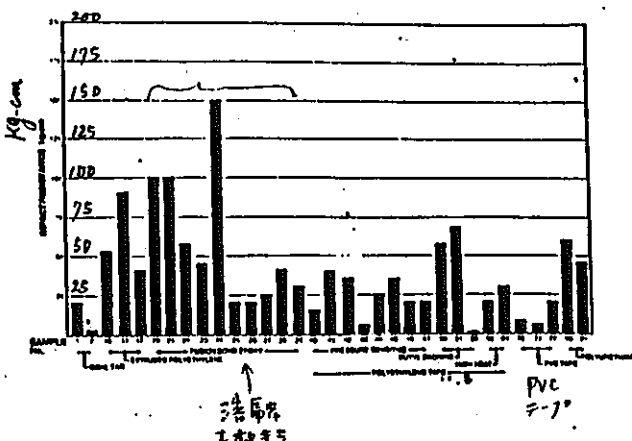


Fig. 24 - Impact Resistance at -30 C

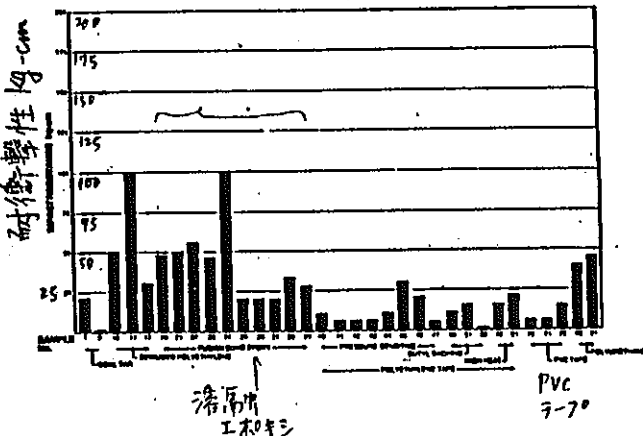


Fig. 25 - Impact Resistance at -50 C

"グラフ 横軸はサンプル No. で"

1,2: ポリウレタン

10,11,12: 押出木口エッジ

20~29: 滑潤土木口

40~61: ポリエチレン70

70,71,72: PVC7-7°

80,81: ポリウレタン

土壤応力と云うのは膨脹性土壤、例えは乾・湿、結・解氷で目立った体積変化を示す粘土が、ハイドロ被覆に強固に付着して、破壊させるもので、この土壤応力を調べることがNOVA社特有の試験法である。

Fig. 28の装置で乾・湿サーキルを12,24回繰り返してTable 3の結果を得た。

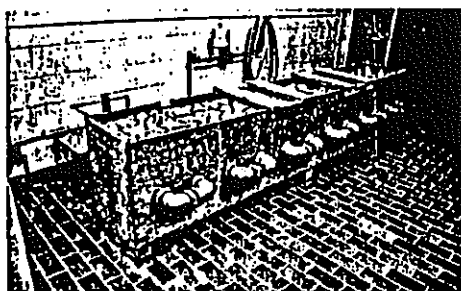


Fig. 28 - Soil Stress Box

TABLE 3  
SOIL STRESSING EVALUATION

Sample #	System	Condition of Sample	
		12 Months	24 Months
1	Coal Tar Enamel	Extreme Deterioration Sample Removed	-
10	Extruded Polyethylene	NC	NC
11		NC	NC
20	Fusion Bond Epoxy	NC	NC
21	Fusion Bond Epoxy	NC	NC
25	Fusion Bond Epoxy	NC	NC
40	Polyethylene Tape (Pressure Sensitive)	HW	W
47	Polyethylene Tape (Pressure Sensitive)	HW	W
50	Polyethylene Tape (Butyl Backing)	NC	HW
51	Polyethylene Tape (Butyl Backing)	NC	HW
80	Polyurethane	NC	NC
81	Polyurethane Tar	NC	NC

Code: NC - No Change  
HW - Minor Wrinkling  
W - Wrinkling With Overlap Loss of Adhesion

ASTMのプラスチックの水分吸収法にてFig.30の結果を得た。この結果と化粧薬品耐食性Fig.4としては、短期と長期で結果の逆転するものがある。著者らは、Fig.4の方が実情に近いと考えている。

ハリケン埋設あるいは敷設前に、長期間屋外貯蔵する場合、被覆の安定性評価のため、耐候性試験が必要である。

NOVA社の試験は、ハリケン貯蔵の可能性がある最暑/最乾、最寒/最湿の地点で屋外暴露試験を行う方法で、この地域はAlbertaの気象アトラスを用いて確認した。

12ヶ月および24ヶ月後、試料の陰極剥離、柔軟性、耐衝撃性を測定した。Table 4(次頁)は被覆グループ毎の平均値である。全体を通じての結果を、被覆の種類毎に要求された最適値に対する合格率で表わす。(次頁下段の表参照)

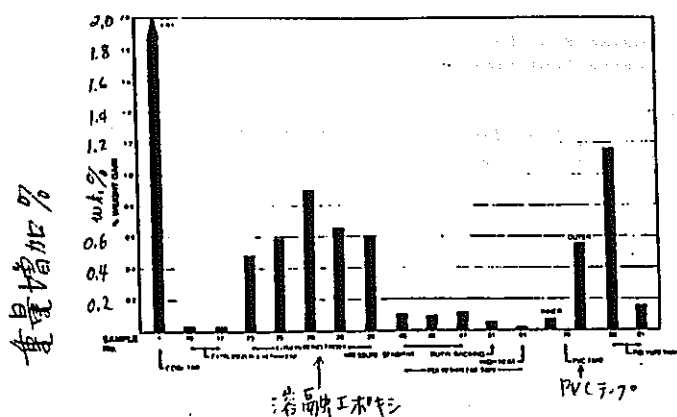


Fig. 30 - Water Absorption Test Results

一見して優れたものがはっきりわかるが、全てのパイプラインの中  
で最良のものが決まると考へることは早計である。被覆は、その  
地域と、使用条件及び経済性を考慮して選ぶべきである。

TABLE 4  
RESULTS FOR EACH GENERIC COATING WEATHERED

Generic Coating Type	Weathering Period	Cathodic Disbondment (Radius-mm)	Flexibility (Maximum Deformation in Degrees Per Pipe Diameter Length)			Impact Resistance (Kg-Cm)					
			21°C	-30°C	75°C	50°C	20°C	0°C	-10°C	-30°C	-50°C
Coal Tar Enamel	Original	6.00	2.34	<0.46	50	50	45	25	25	20	20
	12 Months	6.00	2.34	<0.46	50	45	40	30	25	20	20
	24 Months	3.00	2.34	<0.46	55	50	40	25	25	20	20
Extruded Polyethylene	Original	11.25	2.34	2.34	37.5	44	49	54	65	72	75
	12 Months	5.25	2.34	2.34	31	40	48	65	70	65	70
	24 Months	7.75	2.34	2.34	30	35	43	43	70	63	60
Fusion Bond Epoxy	Original	9.40	2.34	2.34	145	170	140	108	83	65	46
	12 Months	10.77	2.34	1.54	155	153	133	106	103	71	56
	24 Months	11.14	2.34	1.54	182	180	161	167	140	141	140
Polyethylene Tape	Original	23.75	2.34	2.34	14	16	30	42	39	33	15
	12 Months	25.25	2.34	1.82	14	18	36	40	35	29	19
	24 Months	30.25	2.34	1.82	14	23	39	39	40	38	39
Polyurethane	Original	14.50	2.34	2.34	200	200	200	200	175	150	40
	12 Months	15.00	2.34	0.47	200	200	200	200	150	125	35
	24 Months	17.00	2.34	0.46	200	200	200	200	100	100	40
Polyurethane/Tar	Original	3.50	2.34	0.46	60	75	100	100	50	45	45
	12 Months	5.00	2.34	<0.46	35	40	50	50	45	30	40
	24 Months	7.50	2.34	<0.46	35	40	45	55	50	30	40

Coating System	Number of Tests Performed	Number of Tests Passed	Percent Pass Rate
Coal Tar Enamel	26	10	38.5
Coal Tar Polyester	19	2	10.5
Extruded Polyethylene	26	18	69.2
Fusion Bond Epoxy	26	23	88.5
Polyethylene Tape (PS)	26	5	19.2
Polyethylene Tape (BB)	23	4	17.4
Polyethylene Tape (HH)	20	5	25.0
PVC Tape	20	3	15.0
Polyurethane	26	21	80.8
Polyurethane Tar	26	19	73.1

「掘割り」などにハイアフ<sup>ト</sup>  
を敷設するとき柔軟すぎる  
被覆で生ずることがある  
"Belt Burn". ——————→

被覆には或る程度  
の硬度が要求される。



Fig. 15 - Illustrates "Belt Burn"  
During Handling

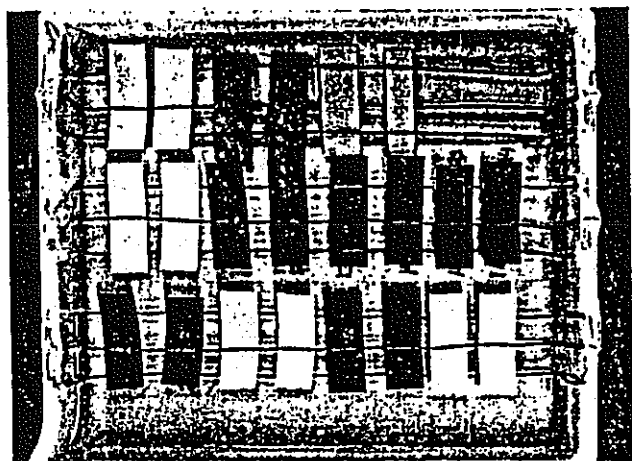
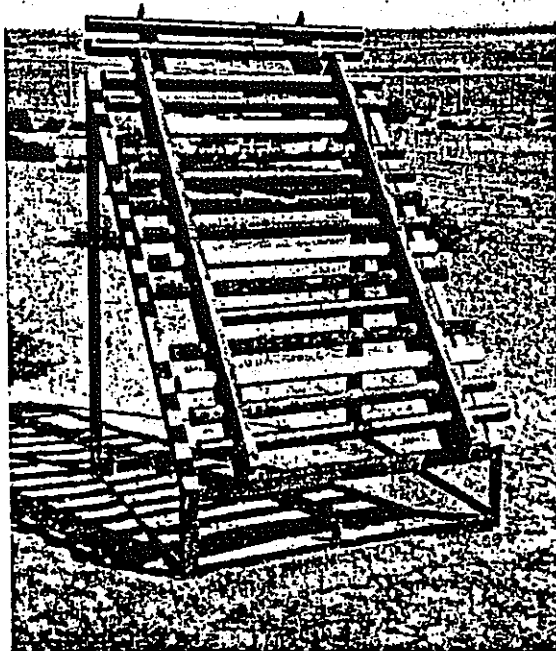


Fig. 29 - Water Absorption Test

吸水(抵抗性)試験装置

ASTM D570-63



耐候性試験装置  
NOVA社試験法。  
期間1年及0.2年

Fig. 31 - Weathering Racks

高分子の光による劣化 生き残りにかける研究開発

大沢善次郎 (群馬大学工学部)

高分子の光劣化に対する基本的な考え方として、地上に到達する太陽光 290 nm 以上の波長領域に対し、高分子構成単位や官能基が光を吸収して劣化が始まる場合と、純粋な化学構造では吸収が考えられなくても、不純物や異種構造が発色団となって光を吸収し劣化が始まる場合との二つに分けられる。

前者として芳香族系ポリアミド、ポリエスチル、ポリスルフォン、ポリカーボネート、ポリフェニレンオキサイドを、後者としてポリオレフィン、ポリビニルハライド、ポリステレン、ポリジエン系の高分子をあげ、後者、とくにポリオレフィンについて多少詳しく解説している。

ポリプロピレンについて、光劣化開始点の種類と推定濃度、量子收率、光分解速度が Table 1 として示されている。

(次頁)

Table 1 PHOTONITIATING SPECIES IN POLYPROPYLENE

INITIATING SPECIES	(mole/einstein)	ESTIMATED CONC (M)	RATE OF PHOTOLYSIS PRODUCT FORMATION (M/sec)
C-T COMPLEXES			
$\{\text{CH}_2-\text{CH}(\text{CH}_3)\} \cdots \text{O}_2$	-0.02	-	$4 \times 10^{-11}$ (free R <sup>•</sup> )
$[\text{---C---}] \cdots \text{O}_2$	0.02	-	
OXIDATION PRODUCTS			
PP-OOH	2 or >2	$-5 \times 10^{-3}$	$-5 \times 10^{-8}$ (caged PPO <sup>•</sup> + OH <sup>•</sup> )
PP-OO-PP	2	$<1 \times 10^{-4}$	$<3 \times 10^{-10}$ (caged PPO <sup>•</sup> )
$-\text{CH}_2-\overset{\text{CH}_3}{\underset{\text{O}}{\text{C}}}-\text{CH}_2-\overset{\text{H}}{\underset{\text{C}}{\text{C}}}-$	0.16	$<1 \times 10^{-3}$	$<1 \times 10^{-8}$ (caged PP <sup>•</sup> )
$-\text{C}-\text{CH}_2-\overset{\text{CH}_3}{\underset{\text{O}}{\text{C}}}-$	0.02	$<1 \times 10^{-3}$	$<1 \times 10^{-9}$ (caged PP <sup>•</sup> + CH <sub>3</sub> <sup>•</sup> )
CATALYST RESIDUES			
Ti(OBu) <sub>4</sub>	-0.02		$-6 \times 10^{-8}$ (free BuO <sup>•</sup> )
TiO <sub>2</sub> (rutile)	$\sim 0.4$	$1.1 \times 10^{-4}$	$\sim 1 \times 10^{-7}$ (free R <sup>•</sup> )
OTHER CHROMOPHORIC IMPURITIES (Fe <sup>3+</sup> , Antioxidant, Unsaturation etc.)			
POLYNUCLEAR AROMATIC		$10^{-3} - 10^{-5}$	

ポリオレフィンの場合、発色団即ち分解開始点は、  
金属化合物(触媒残渣など)、 $\text{ROOH}$ 、 $\text{>C=O}$ 、多環芳香族化合物が極点であるのに対して、ポリ塩化ビニル  
の場合は Table 2 のような不規則構造が存在し、アリル  
位の塩素(Table 2 または Fig. 2 の  $-\text{CH}=\text{CH}-\text{CH}_2-\text{Cl}$ )が  
反応の極点になると考えられている。

Table 2 IRREGULAR STRUCTURES IN PVC

STRUCTURE	No. IN 1000 C's
HEAD TO HEAD $-\text{CH}-\text{CH}-$ $\text{Cl} \quad \text{Cl}$	3 - 3.5
BRANCHING $-(\text{CH}_2)_n\text{Cl}$	
SHORT CHAIN	5 - 6
LONG CHAIN	0.1 - 0.5
UNSATURATED GROUPS	
DOUBLE BOND $\text{C}=\text{C}$	
NMR METHOD	1 - 2.5
	1.2 - 2.5
	1 - 1.5
BROMINE	0.7 - 1.5
PHENOLYSIS	0.2 - 1.0
ALLYLIC Cl $-\text{CH}=\text{CH}-\text{CH}_2-$ Cl	0.6 - 0.8
	0.5 - 2.0
CARBOXYL $\text{C}=\text{O}$	1/100-1000 MEPS

生成したポリエンは増感剤として作用し POOH の分解を促進する。(次頁 Fig.2 参照)

下の Fig.1 は ポリ塩化ビニルフィルムの光酸化実験で、PVC に吸収された光量子の数と PVC フィルム中の C=O 基と POOH の濃度を示したものである。これは著者大次氏が、反応式 Fig.2(次頁) で示される  $\alpha$ -クロルケトン構造の存在と、劣化開始拠点としての重要性を示すために用いたものである。

ポリスチレンの場合も、触媒残渣、添加剤と

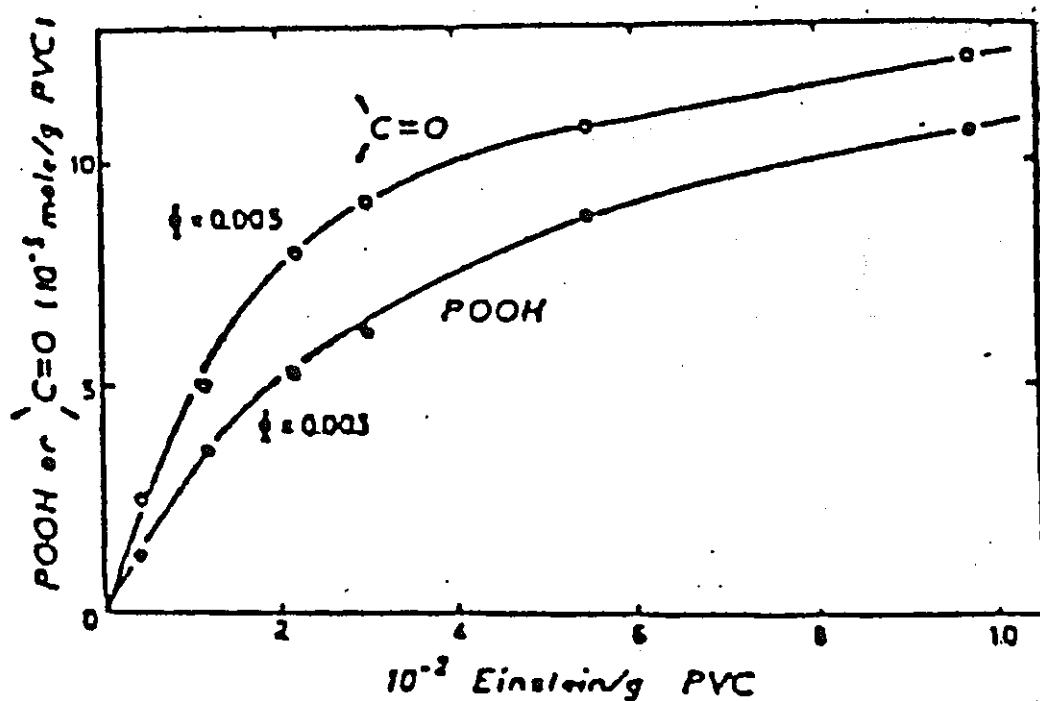


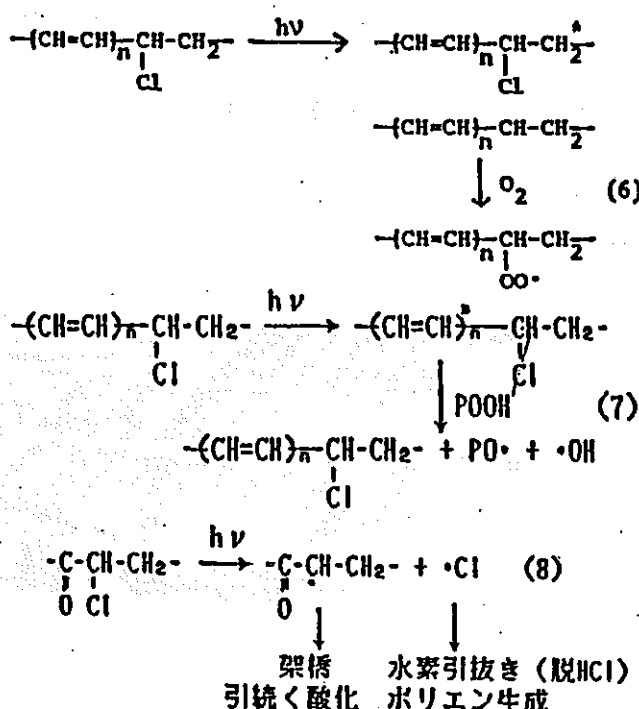
Fig.1 Conc. of C=O and POOH groups as a function of the No. of photons absorbed by PVC in the photo-oxidation of PVC films.

ともに混入する不純物、製造過程で生成するPOOH、芳香族ケトンその他光劣化の開始に重要な役割を果たしているものを挙げて考察を加えている。

3章で試料表面と内部の反応性と題する見出しが、光の透過・吸収・酸素の拡散などの問題に言及しているが、材質はポリオレフィン、ポリスチレンを取扱つたものである。

以上、著者自身の実験結果を含め、頭書の題名に関する解説している。PVCを中心に要約したが、その劣化の具体的対策にはふれていない。

Fig. 2



有機絶縁材料の屋外暴露試験

小山田 満他（株式会社 東芝）

エポキシ樹脂等の有機絶縁材料を屋外に使用した場合は、屋内で使用した場合と比較して劣化が著しく寿命は短くなる。これは、太陽光・雨・風および塵埃等の化学的物理的劣化によるものであり、これらの複合作用によって有機絶縁材料の諸特性が低下する。この変化を把握するため表1の工

表1 エポキシ樹脂組成物

試料記号 組成	A	B	C	D	E	F	G
樹脂	シクロ系エポキシA				シクロ系エポキシB		ビス系エポキシ
硬化剤		HHPA				無水フタル酸	
硬化促進剤		金屬錯塩系				無	
充てん材	無	水和アルミナ +シリカ	水和 アルミナ +シリカ	シリカ	シリカ +シリカ	シリカ	水和 アルミナ

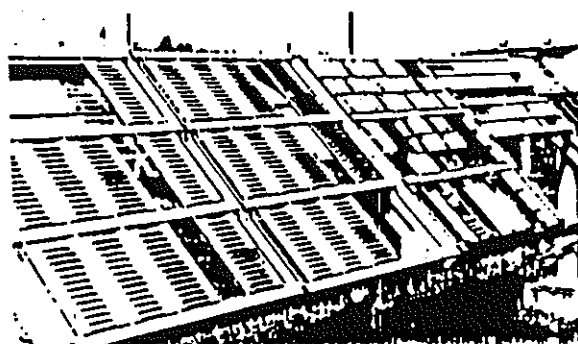


図1 屋外暴露状況

※ 水和アルミナ + シリカ 量比 1:1

ホキシ樹脂組成物を図1(前頁)の暴露台に取付けて、6年間屋外に暴露した。暴露地点は海岸から4km、海拔53.6m暴露面は南向きで水平に対し45度傾斜している。

測定項目は、1)表面粗さ 2)汚損表面抵抗 3)引張り強さ 4)厚さ変化 5)熱変形温度 6)表面状態の観察である。以下この順に結果を説明する。

図7は、万能表面形状測定器による表面粗さの経年変化である。図13の6年目の表面粗さと充てん材の粒度分布や図15(次頁)の充てん材の拡大写真から、表面粗さの差は充てん材の粒径の差によるとしている。

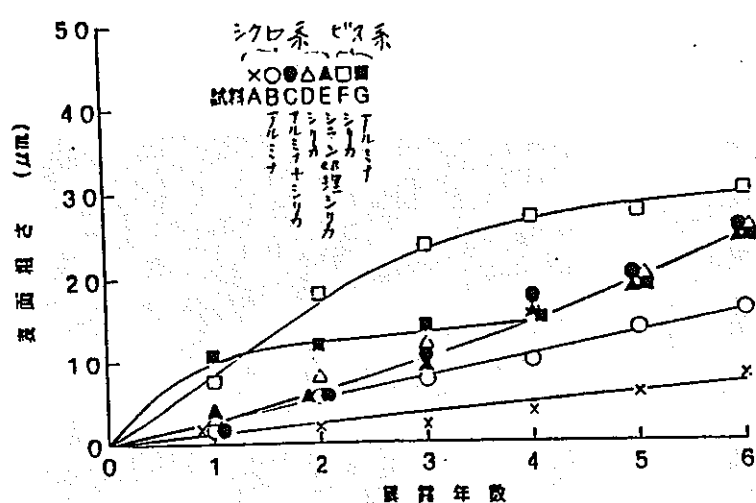


図7 暴露による表面粗さの変化

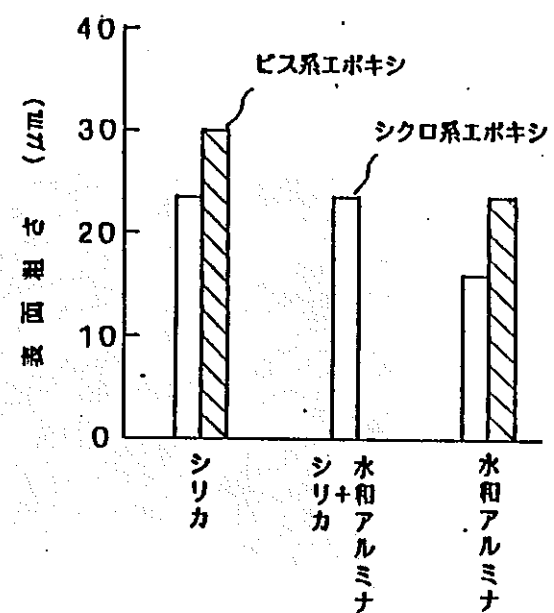


図13 充てん材の違いによる表面粗さ

汚損表面抵抗は、一定条件に調整した試料の傾斜面に汚損液をハケ塗りし、5秒後に測定する。結果は図8(次頁)のように初期無限大だったものが“暴露1年目で20~30K几に低下した。これは暴露によって表面が荒れ、初期の撥水性が失なわれ急激な

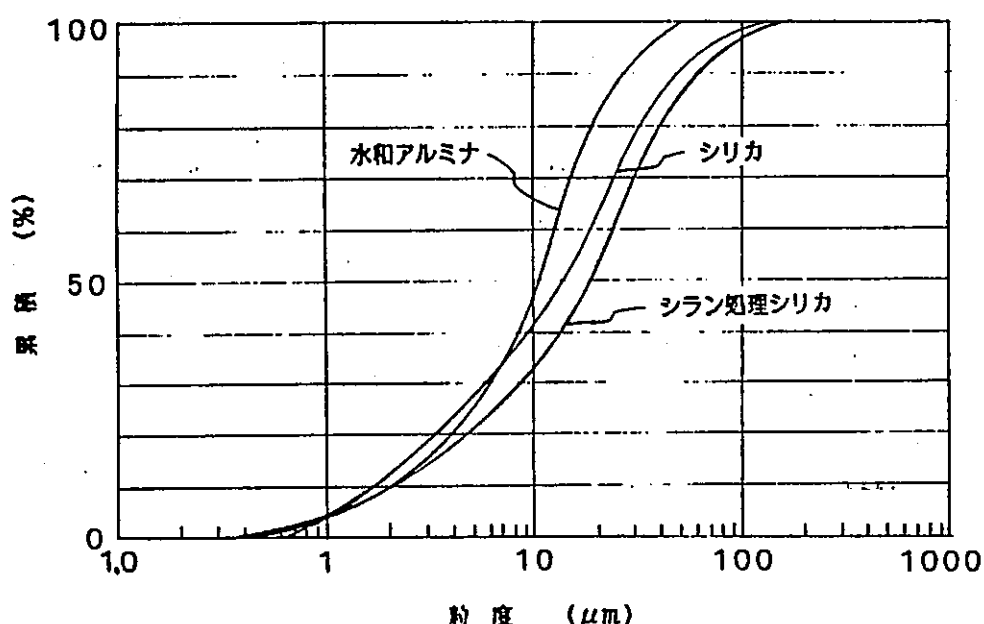


図14 各充てん材の粒度分布

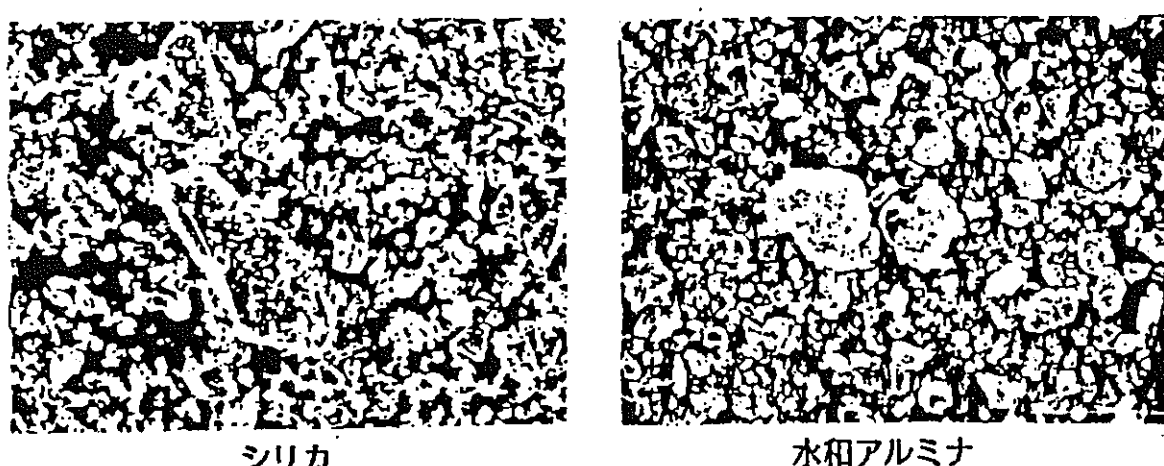


図15 充てん材の拡大写真 ( $\times 200$ )

低下となつたものとしている。しかしその後はほとんど変化がなく、試料間にも大きな差はない。

引張り強さはASTM D638に準じ、クロスヘッドスピードを $5\text{ mm/min}$ にして測定する。この結果を図9に示す。充てん材の有無、充てん材の種類で低下の状況が異なり、特に充てん材の入っていない樹脂のみであると暴露により機械的強度は大きく低

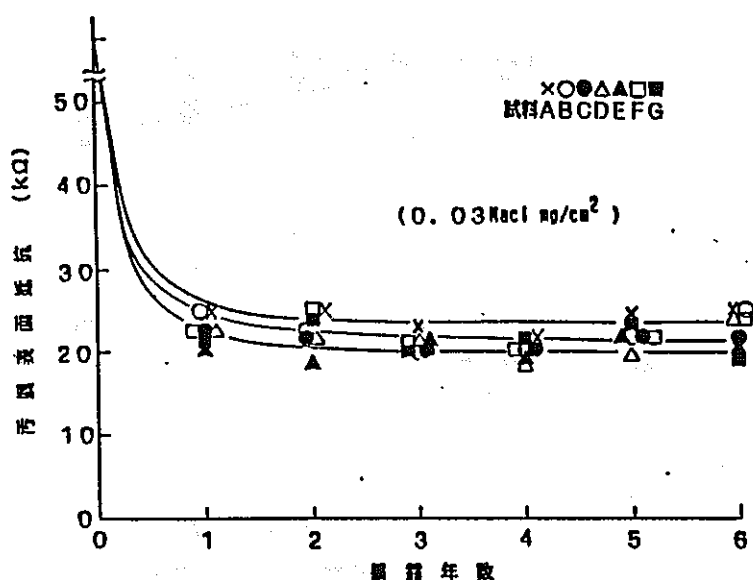


図8 暴露による汚損表面抵抗の変化

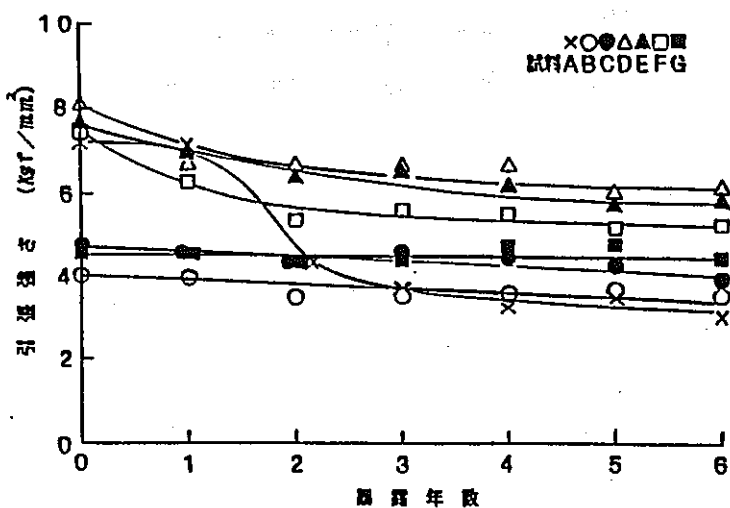


図9 暴露年数による引張強さの変化

下するが、充てん材を入れることで"低下が"抑制されている。

図10は厚さの変化で、シクロ系とビス系の違いや、シラン処理の効果が現われている。

図11に、熱変形温度の変化を示した。暴露による温度低下は、ガ以外はほとんど見られないとしている。

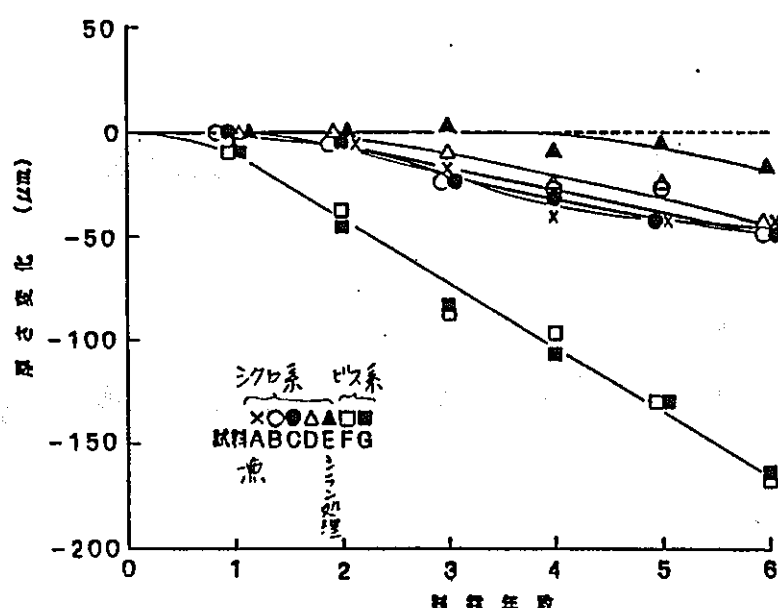


図10 暴露による厚さの変化

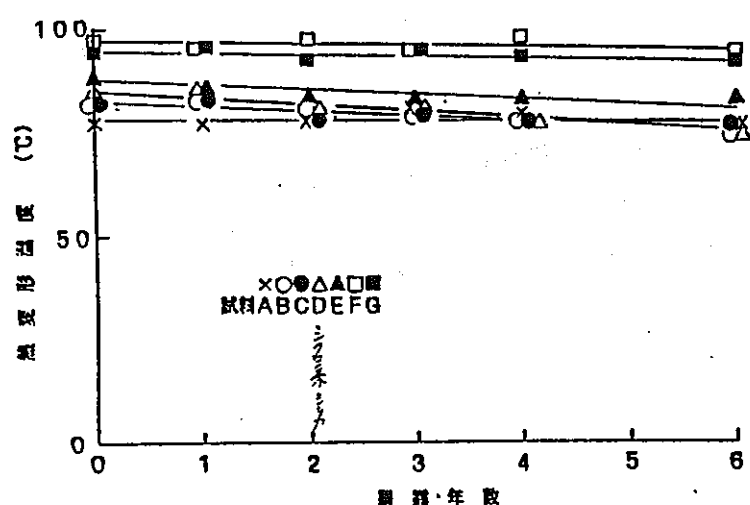
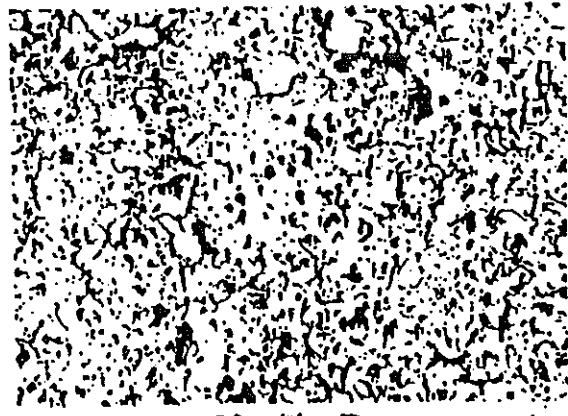


図11 暴露による熱変形温度の変化



シクロ系 試料 A (無充てん)



シクロ系 試料 B 水和アルミナ



シクロ系 試料 C 水和アルミナ  
+シリカ



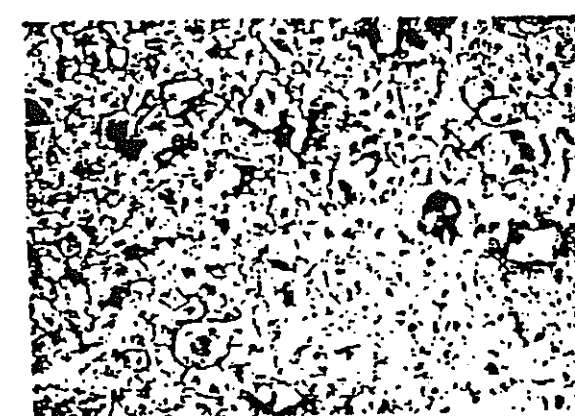
シクロ系 試料 D シリカ



シクロ系(B) 試料 E ランタントリートシリカ



ビス系 試料 G 水和アルミナ



ビス系 試料 F シリカ

図12 各試料の暴露6年目の  
表面状態 ( $\times 200$ )

図12(前頁)は、SEM(走査型電子顕微鏡)による試料暴露面の6年後の拡大写真である。無充てんのA試料にクラックが生じていること、水和アルミナの試料の充てん材脱落による穴が深いことなどが認められ、充てん材がクラックの防止に役立っている、としている。

下の図16は、暴露6年後の試料D,E,Fの厚さと重量減少のヒストグラムである。Dはシクロ系にシリカを充てんした屋外用樹脂組成物、Eはその耐トラッキング性を改良したもの、Fは屋外用である。重量減少はこの報告書作成時、共同実験として、同等組成のものを屋外曝露し、3200

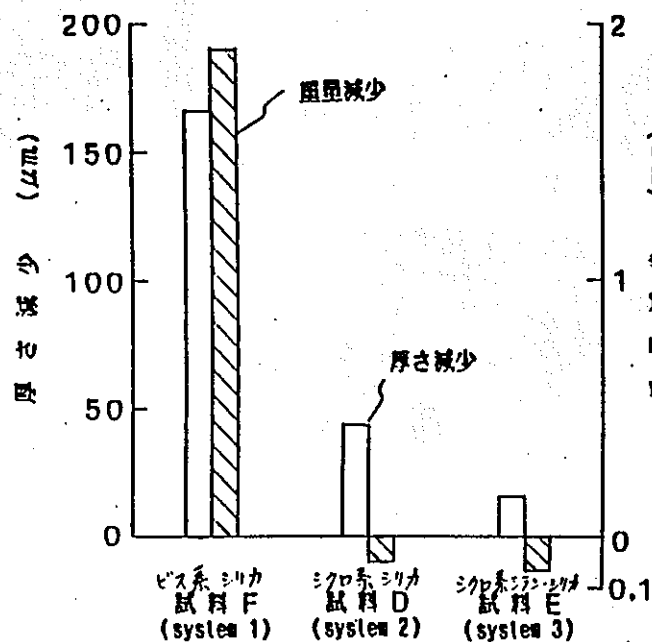


図16 組成の違いによる厚さ減少と重量減少

時間経過後のもので、シラン処理シリカを充てんしたシクロ系エポキシ樹脂組成物は、屋外に暴露しても厚さ減少が少なく、通電暴露による重量減少も少ない。

以上の結果を次のようにまとめてある。

- 1) 屋外暴露による表面の荒れは、充てん材の粒径の大小に依存する。
- 2) 屋外暴露による厚さ減少にシラン処理シリカの効果が認められ、シラン処理シリカを用いると厚さ減少が少ない。
- 3) シリカと水和アルミナを等量混合した試料では、どちらかの充てん材の特性に依存して中間的特性を示さない。
- 4) FOV 特性に關係する汚損表面抵抗は、材料組成の違い・表面粗さの大小にかかわらず、表面が濡れるようになると差が認められない。
- 5) 屋外暴露による機械的強度は、無充てんの場合は時間と共に低下するが、充てん材を入れることにより抑制効果が見られる。
- 6) エポキシ樹脂の耐候性の優劣は、材料の厚さ変化や重量変化に顕著に認められる。
- 7) シクロ系エポキシ樹脂は、ビス系エポキシ樹脂に比べ耐候性が優れている。
- 8) シリカ充てん材のシラン処理は、エポキシ樹脂の耐候性を向上させる。

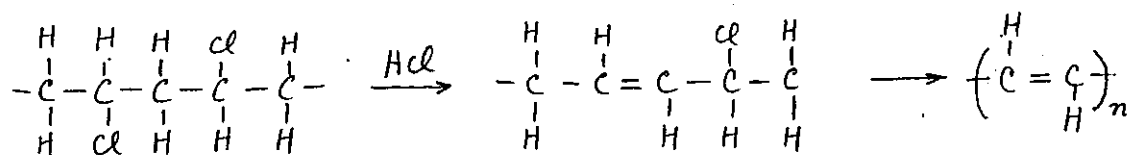
# W-8 Polym Degradation Stab '88

ポリ塩化ビニルの劣化の研究へのレーザRaman

分光法の適用 H. J. Bowley 他 (BP, Great Britain)

ポリ塩化ビニル(PVC)の物理的、機械的性質の劣化で最も重要なのは脱塩化水素で、この反応は、化学的、熱的、光化学的、 $\gamma$ -線照射によってもたらされることが明らかにされている。以下耐候性(ウェザリシグ)と可塑剤、熱安定剤、劣化におけるアミンについて研究結果を報告する。

紫外線(UV)や太陽光に曝されたPVCは、黄色から赤褐色に変色する。この着色は、脱塩化水素により、ポリマー主鎖に長い共役ポリエン結合が生成することによる。芳香族可塑剤がPVCの光脱塩化水素を促進すると云われ、可塑剤中に生成したフリーラジカルがPVCに移って、以下の反応が起る。



PVCの脱塩化水素の程度を決めるのに、共鳴ラマン分光が使えることが知られている。上記共役ポリエンは、着色の原因で、UV/可視光を吸収するので、レーザーラマン分光の共鳴ラマン効果を利用出来る。劣化PVCで、共役ポリエンは拡大され、検出感度0.00001%が確認されている。これはウェザリングの初期の研究に使之るし、共役ポリエンの長さについても情報が得られる。

脱塩化水素反応も重要であるが、その結果起る共役二重結合間の架橋は、PVCの物性に大きな影響を与える。また、架橋反応で、架橋点で長いポリエンの分断が起り、そのため着色の度合は低下する。ラマン分光で、これについて知ることが出来る。

PVCの耐候試験に関する多数の実験で、可塑剤の種類と量、PVCの種類、耐光性試験でのサンプルの傾き、が度数として考えられている。レーザ

一ラマンによる可塑剤についての著者らの結果を、Table 1 に示した。オゾン吸収の大きいもの程、脱塩化水素が起り易いという仮定と一致して、PVCの脱塩化水素は、DOAが最小、BBPが最高である。BBPはまたラジカルを生成し易いことが ESR から、わかつている。

可塑剤濃度も脱塩化水素反応に影響する。Table 2 に示したように、濃度増加とともに脱塩化水素も増える。

TABLE 1  
Dehydrochlorination Levels for Samples of PVC Plasticised at the 60 phr Level and Naturally Weathered in Arizona, USA, for 12 Months

<i>Plasticiser</i>	<i>Dehydrochlorination level (%)</i>
DOA	0.005
DOP	0.016
BBP	>5

TABLE 2  
Dehydrochlorination Levels for Samples of PVC Plasticised with DOP and Naturally Weathered for 12 Months

<i>Plasticiser level (phr)</i>	<i>Location</i>	<i>Dehydrochlorination level (%)</i>
20	South Wales	0.002
20	Arizona	0.011
20	Queensland	0.012
40	South Wales	0.003
40	Arizona	0.014
40	Queensland	0.016
60	South Wales	0.003
60	Arizona	0.016
60	Queensland	0.018
80	South Wales	0.004
80	Arizona	0.019
80	Queensland	0.025
100	South Wales	0.006
100	Arizona	0.024
100	Queensland	0.033

PVCの脱塩化水素が、可塑剤の紫外・可視光の吸収、フリーラジカルの生成、移行によるとの考えは、トリフェニルメタン(TPM)のようなラジカル捕捉剤が脱塩化水素を減少させる効果があると云う事実からも確められている。

芳香族系可塑剤のアルキル側鎖の分歧の影響を調べた結果を、Table 3, 4 に示す。直鎖の場合、親水性の C<sub>6</sub> を別とすれば“ほぼ一定であるが”、分歧の方は、鎖長が長くなると、脱塩化水素量も増す。紫外線照射前後の過酸化物量を調べた結果もあわせて、可塑剤側鎖の分歧は、脱塩化水素量の增加となっている。

TABLE 3  
Dehydrochlorination Levels for Samples of PVC Plasticised with Linear Dialkyl Phthalates at the 60 phr Level after Normal Weathering in Arizona, USA, for 12 Months

Plasticiser	Dehydrochlorination level (%)
C <sub>6</sub>	0.024
C <sub>7-9</sub>	0.013
C <sub>7,9,11</sub>	0.012
C <sub>8-10</sub>	0.014
C <sub>9-11</sub>	0.012

TABLE 4  
Dehydrochlorination Levels for Samples of PVC Plasticised With Branched Dialkyl Phthalates at the 60 phr Level and Naturally Weathered in Arizona, USA, for 12 Months

Plasticiser	Dehydrochlorination level (%)
C <sub>8</sub>	0.016
C <sub>9</sub>	0.055
C <sub>10</sub>	0.380
C <sub>11</sub>	0.510

ポリマーの種類に関する実験結果のTable 6からは、懸濁重合の方が"レベルが低いこと"がわかる。ペーストポリマーは、スフレー乾燥で局部加熱を受け、そこから脱塩化水素が始まるとみえてであろう。

屋外での耐候(特に耐光)試験では、サンプルは従来45°傾けて南向き(北半球)とする。Table 7に示した実験結果は、同じ配合の試料で、水平設置と比較したもので、45°よりも水平

TABLE 6  
Dehydrochlorination Levels for Paste and Suspension PVC Samples  
Plasticised with DOP at the 60 phr Level

Polymer	Location	Dehydrochlorination level (%)
Suspension S125/14	South Wales	0.003
Suspension S125/14	Arizona	0.016
Suspension S125/14	Queensland	0.018
ICI Paste	South Wales	0.004
ICI Paste	Arizona	0.027
ICI Paste	Queensland	0.030
BP Paste	South Wales	0.004
BP Paste	Arizona	0.025
BP Paste	Queensland	0.028

TABLE 7  
Dehydrochlorination Levels for PVC Plasticised with Various Plasticisers  
Inclined at 0° and 45° to the Horizontal in Arizona, USA, for 12 Months

Plasticiser	Inclination	Dehydrochlorination level (%)
L911P	45	0.012
L911P	0	0.021
DOP	45	0.016
DOP	0	0.035
DTDP	45	0.516
DTDP	0	>5
DOA	45	0.005
DOA	0	0.008

にした方が、脱塩化水素量が大きい。これは、0°(水平)の方が短波長(292-350nm)の受光量が多いためと説明出来る。即ち耐光性試験の最も苛酷な条件は、試料の水平設置ということになる。

ラマン分光法は、PVCの熱安定剤に関する研究でも使われる。PVCは80°C以上の加熱で着色するが、加工前熱安定剤を加えておくと、着色は抑えられる。熱安定剤のこの働きは明らかでないが、バリウムとカドミウムのステアリン酸塩を用いて理解を広げようとした。ステアリン酸カドミウム(CdSt)は、短期熱安定性に効果があるが、長期間では突然変色が起る。ステアリン酸バリウム(BaSt)は長期熱安定性は良好だが、短期ではCdStに及ばない。しかしこの両者を混合すると共働作用で短期・長期何れにも効果を表わす。また、BaStの存在で既に着色したホーマーにCdStを加えて加熱すると着色が改善されることが知られている。これはホーリエン結合の減少によるものではなく、補色効果ではないかとされている。

PVCサンプルを160°Cに種々の時間加熱して、Fig. 2の試料11ヶを作り、レーザーラマンで“脱塩化水素”が走っていることを確認する。着色の程度を光学密度(吸光度)で測定し、結果をTable 8に示した。

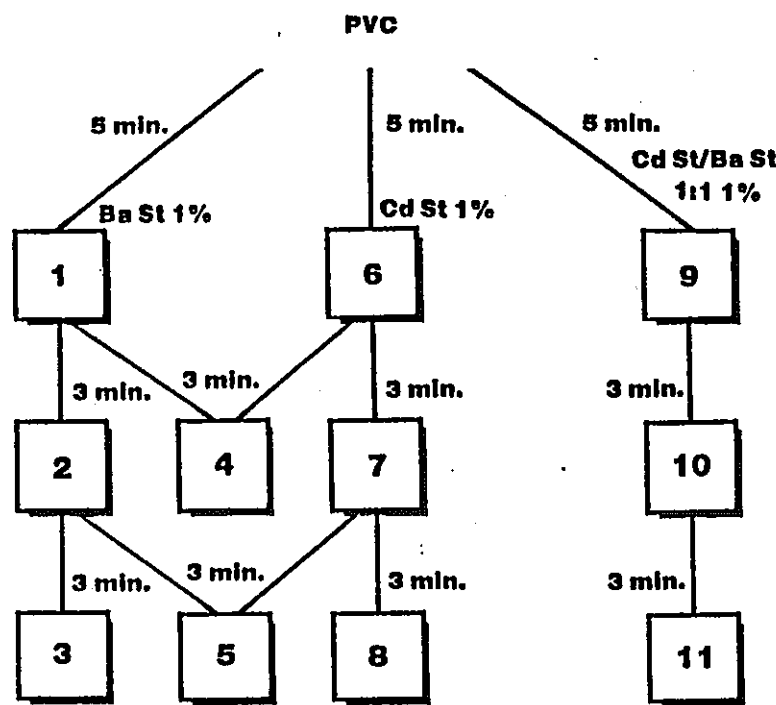


Fig. 2. Thermal treatment of PVC samples in the presence of barium and cadmium stearates (see Table 8).

TABLE 8  
Values of Optical Density and Dehydrochlorination Levels for Thermally Degraded PVC Samples

Sample number	Optical density 500 nm	Dehydrochlorination level (%)
1	0.521	0.05
2	0.599	0.06
3	0.675	0.07
4	0.068	0.06
5	0.082	0.07
6	0.031	0.02
7	0.039	0.02
8	0.045	0.025
9	0.048	0.035
10	0.053	0.04
11	0.060	0.045

この結果は、安定剤の混合によって、脱塩化水素量は殆ど変らないが、ポリエン鎖長の分布状態が著しく変化する。(長鎖ポリエンが減少して着色が目立つて改善される、ことを意味している。)

PVCは燃え難いので、ポリウレタンのような燃え易いポリマーをカバーするのに使われることがあるが、それらの接触部で変形や、硬化などがある。これは可塑剤がなくないためであるが、レーザーラマンによれば、PVCも劣化している。塩基、特に強塩基がPVCを脱塩化水素することは周知で、その後当然架橋反応が起るから、上記の現象に至ると考えられる。

トリエチレンジアミンのようなアミン類は、ポリウレタンフォームの合成触媒で、最終製品にも少量残存している。これらアミン類が、PVCの脱塩化水素にどの程度影響するかを確認するため実験を行い、Table 9(次頁)の結果を得た。この結果は、PVCの脱塩化水素反応は加速さ

れ、遂に架橋に至ることを示している。

このようにレーザーラマン分光は、PVCの劣化を調べるのに極めて敏感な装置であり、さらにこの劣化の開始が光化学的なものが、熱的なものが、あるいは化学的なものかを調べたり、その反応機構や、影響要因を明らかにすることも出来る。

TABLE 9  
Dehydrochlorination Levels of PVC Milled with Various Additives After  
72 h at 80°C

Additive	Dehydrochlorination level (%)
No additive	0.00015
Triethylene diamine	0.53 <sup>a</sup>
DABCO 33-LV	0.28 <sup>a</sup>
Catalyst A1	0.66 <sup>a</sup>
Catalyst A4	0.40 <sup>a</sup>
Triethylamine	0.26 <sup>a</sup>
Dimethylaminoethanol	0.11 <sup>a</sup>
Ammonia	0.005

\* Evidence for cross-linking.

重合過程で変性したPVCからなる配合物の耐候性

T. Gancheva 他 (Electrochemical and Mechanical Institute, Sofia Bulgaria)

PVCコンパウンドの耐候性は、光分解、光酸化そして脱塩化水素を伴う多くの要因が関与した反応であるとされている。特に光酸化に関しては、極めて複雑で、その機構の説明は不充分である。

この実験は、重合過程で少量の可塑剤によって変性したPVCを、未変性のPVCと共に屋外露光して、性質の変化を評価しようとしたものである。

試料として3種の懸滴重合PVCコンパウンドを使用した。1つはK値68の標準品で、未変性コンパウンドAとする。他の2つは0.25%のDOP<sup>注1)</sup>可塑剤で変性したコンパウンドBと、0.25%のDOP-DOA<sup>注1)</sup>1:1の可塑剤混合物で変性したコンパウンドCである。

注1) DOP: デオクチルオクタレート, DOA: デオクチルアシルオート

安定剤として2-塩基性ステアリン酸鉛を用いた。  
試料は透明ガラス板から切り取り、衝撃強度、表面状態、色相変化を、DIN, BDS 規格で測定する。

UV-VIS, IR, MIRスペクトルは Perkin-Elmer 330 あるいは Specord-IR-71 を用いている。ラマンスペクトルは、Microdil-28 により、 $514.5\text{ nm}$  のアルゴンレーザービームを使用する。粘度は Ubbelohde の粘度計で  $25^\circ\text{C}$  で測定し、平均分子量を  $\eta = 2.76 \times 10^4 \times M_v^{0.725}$   $\text{dl/g}$  の式で求める。

耐候性は 1985 年の 5 月から翌年の 5 月迄の間、BDS 規格により実施した。ヨーロッパの平均的気候で実施した。

重合中に導入した少量の可塑剤は、一様でない変化を生成物に与えることが知られている。(Fig. 1)

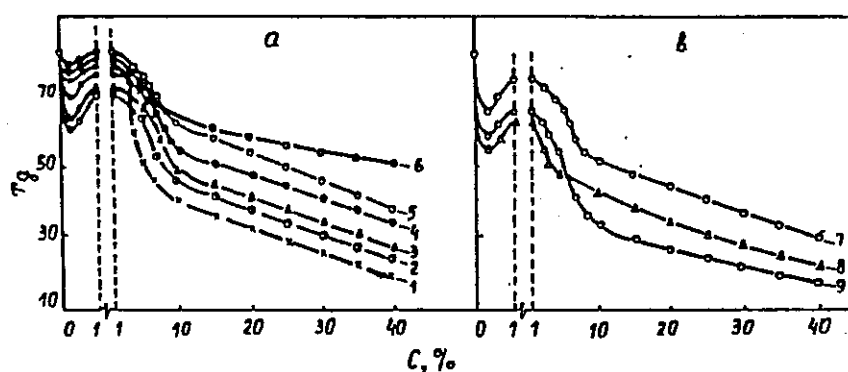


Fig. 1. PVC glass transition temperature variation without stabilizers depending on the plasticizers' concentration: a) Plot 1 - DOA, Plot 2 - dibutylphthalate (DBP), Plot 3 - butylbenzylphthalate (BBP), Plot 4 - DOP, Plot 5 - Meramol (M), Plot 6 - chlorinated paraffin-S-45 (CP-S-45); b) Plot 7 - DOA-DOP, Plot 8 - DOA-DOP-DBP, Plot 9 - DOA-DOP-DBP, BBP, M, CP-S-45.

この実験では、ある程度まとまった量を用いて実験を行っている。

Table 1 から衝撃強度、表面平滑性に、かなりの増加(向上)が見られる。これは、重合時に添加した可塑剤がポリマーの球状粒子間にゆきわたり、非充填部が減り、応力緩和が加速され、その結果耐衝撃性が増加したものであろう。なお上のデータは、耐候性試験以前のものである。

UV-VIS スペクトルからは、ポリエチレン領域について

TAB. 1 PARAMETERS OF PVC COMPOUNDS BASED ON VARIOUS PVC TYPES.

Compound	Para- meter	Sharpy notched impact resist. (N/m)	Surface smooth Ra ( $\mu\text{m}$ )	Tensile im- <u>Longit.</u> <u>transv.</u>	Tensile resist- ance (N/cm) <u>Longitudinal</u> <u>Transversal</u>
Industrial compound for pipes on the basis of PVC-S-68		42,5			
Industrial compound for pipes on the basis of PVC-1		65,0			
Industrial compound for pipes on the basis of PVC-2		78			
Industrial compound for soft electric isolating foil on the basis of PVC-S-68			0,44		
Industrial compound for soft electric isolating foil on PVC-1 basis			0,19		
Hard foil on PVC-S-68 basis		0,31/0,29		5564/4970	
Hard foil on PVC-1 basis		0,21/0,25		5663/5882	
Hard foil on PVC-2 basis		0,14/0,16		5750/5805	

の情報が得られる。

Fig. 2,3 は A, B, C の吸収スペクトルの8ヶ月間の変化を。

Fig. 4 には紫外部 4 波長(275, 300, 320, 350 nm)について耐光性試験による吸光度変化の状況を示した。これらからホリエン鎧の生成、安定剤の分解、放出される HCl × PVC 間で錯体の形成などがわかった。

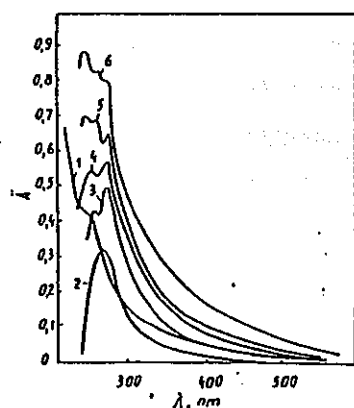


Fig. 2. UV-VIS spectra of Comp. A solution in THF after various periods of weathering: Plot 1 - unweathered Comp. A; Plot 2 - 1 month weathered Comp. A; Plot 3 - 2 months weathered Comp. A; Plot 4 - 5 months weathered Comp. A; Plot 5 - 6 months weathered Comp. A; Plot 6 - 8 months weathered Comp. A.

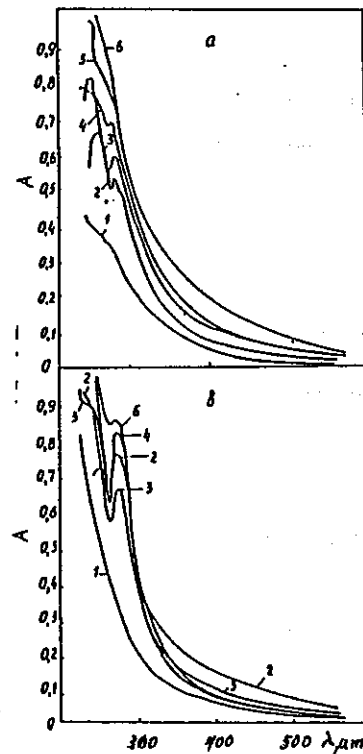


Fig. 3. UV-VIS spectra of Comp. B (a) and Comp. C (b) solution in THF after various periods of time natural aging.  
Plot 1 - unaged compound  
Plot 2 - 1 month aged compound  
Plot 3 - 2 months aged compound  
Plot 4 - 5 months aged compound  
Plot 5 - 6 months aged compound  
Plot 6 - 8 months aged compound

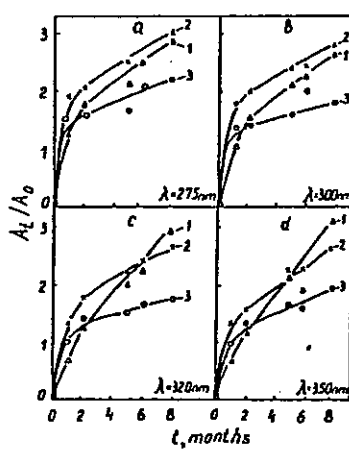


Fig. 4. Relative UV-absorption variation after various periods of weathering time at: a) -275 nm, b) -300 nm, c) 320 nm, d) 350 nm for Comp. A /1/, Comp. B /2/ and Comp. C /3/.

Table 2 は 老化による光透過の変化で、未変性の方が“変化が大きい。

共役2重結合の分析に レーザーラマンが“非常に敏感だ”と云われ、波数  $1511$  と  $640 \text{ cm}^{-1}$  の強度比を定量化的手段とした。ピ-7  
面積を  $S$  として、結果を Table 3 に示した。

TAB. 2 LIGHT TRANSMISSION COEFFICIENT  $K \frac{a_t}{a_0}$  VARIATION AT PVC  
COMPOUNDS AGEING.

Ageing time months	Comp. A		Comp. B		Comp. C	
	$K_{400}$	$K_{714}$	$K_{400}$	$K_{714}$	$K_{400}$	$K_{714}$
1	0,71	0,92	0,39	0,81	0,73	0,92
2	0,42	0,78	0,25	0,79	0,28	0,77
5	0,06	0,53	0,07	0,57	0,21	0,78
6	0,04	0,44	0,06	0,54	0,21	0,72
8	0,03	0,36	0,04	0,49	0,18	0,72
10	0,0	0,27	0,03	0,48	0,16	0,59

TAB. 3  $R \frac{S_{\lambda}}{S_{640}}$  VALUES FOR COMP.A, COMP.B AND COMP.C EVALUATED FOR  
IRRADIATED AND NONIRRADIATED SURFACES.

Type of material	$R_{1430}$		$R_{1511}$	
	irradiated/nonirradiated	irradiated/nonirrad.	irradiated/nonirrad.	irradiated/nonirrad.
Comp. A	0,44		0,34	
Comp. A - 1 month	1,81	0,97	2,41	1,06
Comp. A - 2 months	-	-	4,15	1,67
Comp. A - 4 months	-	-	-	3,70
Comp. B	0,64		0,39	
Comp. B - 1 month	1,95	0,57	2,85	0,74
Comp. B - 2 months	-	-	3,75	3,18
Comp. B - 4 months	-	-	-	2,27
Comp. C	0,47		0,41	
Comp. C - 1 month	0,77	0,90	1,03	0,99
Comp. C - 2 months	-	-	3,15	1,55
Comp. C - 4 months	-	-	-	4,02

Fig. 5 は コンハーヴィド C のラマンスペクトルに関するデータである。

IRスペクトルの結果を Fig. 6, Fig. 7 として示した。前者で CO 基、OH 基、C=C 結合の吸収が類似の形で変化するが、大きさは B, C の方が小さい。後者からは CO 基が、A の場合照射面で 2 ヶ月後、B, C では非照射面で 2~4 ヶ月後に生成すること、及び B, C の変化が

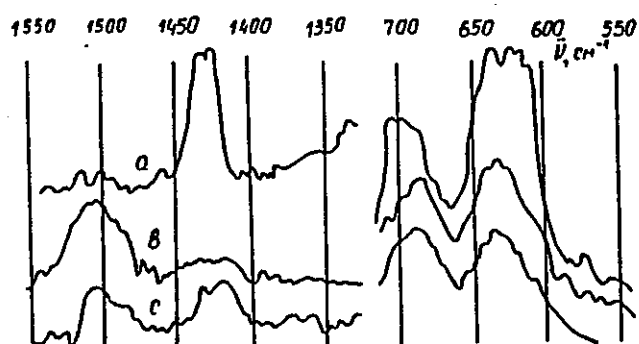


Fig. 5. Raman spectra in the areas  $1550-1350 \text{ cm}^{-1}$  and  $750-550 \text{ cm}^{-1}$  for Comp. C: a) before ageing and after one-month ageing, b) of the irradiated surface and c) of the nonirradiated surface.

Fig. 6. Sorption variation at: a)  $1730 \text{ cm}^{-1}$ , b)  $3400 \text{ cm}^{-1}$ , c)  $1540 \text{ cm}^{-1}$  depending on the weathering duration. Plot 1 - Comp. A, Plot 2 - Comp. B and Plot 3 - Comp. C.

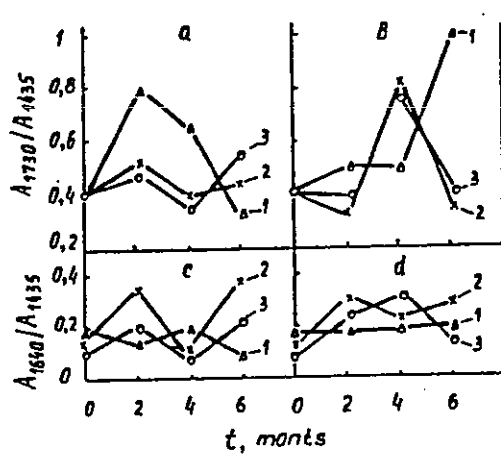
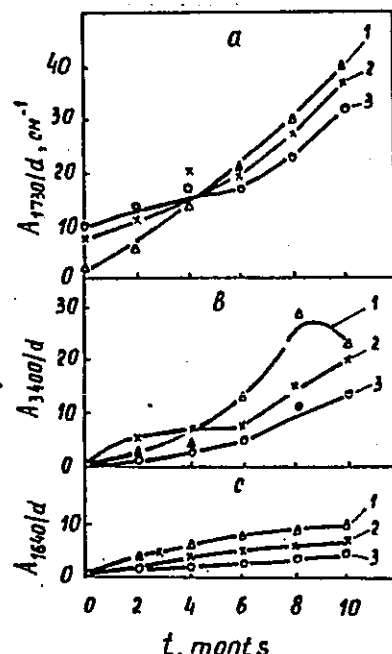


Fig. 7. Relative sorption variation of the CO-groups (a,b) and C=C bonds (c,d) evaluated by means of multiple internal reflection spectroscopy (MIR-IR-spectroscopy) on the (a-c) irradiated and (b,d) nonirradiated surface; Plot 1 - Comp. A, Plot 2 - Comp. B and Plot 3 - Comp. C.



非常に似ていることは、構造の変化によることが"出来る。

C=C結合については、Aでは殆ど"変化せずB,Cが"周期的変化を示しており、二重結合がAでは主として内部に生成し、B,Cではそれが"抑えられていることと結び付けられる。

耐候性試験による色相の変化をFig. 8として示した。10ヶ月後のデータはB,Cの方がAよりも色の変化が小さい。

粘度測定の結果をTable 3に示す。(次頁) A,B,C何れの場合も、コンパウンド化により、固有粘度 $\eta$  (極限粘度)は一旦上昇するが、耐候性試験の経過に伴ってAでは2ヶ月以降、ゆるやかに低下し、ポリマーの分解が進んでゆくことを示している。Bはほど一定値を保ち、Cは1ヶ月以降の低下が最も少ない。 $\eta$ の増加は主鎖の分歧によるものと考えられる。

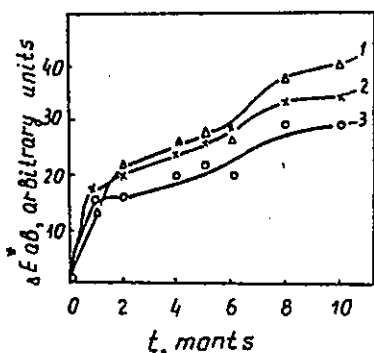


Fig. 8. Total colour variation  $\Delta E_{ab}^*$  depending on weathering duration:  
Plot 1 - Comp.A, Plot 2 - Comp.B  
and Plot 3 - Comp.C.

今までのことをまとめると次のようになる。

重合時少量の可塑剤で変性したPVCコンパウンド2種と、未変性コンパウンドについて比較した。分子スペクトルにより試料の内部と表面との劣化過程の反応機構を推定した。

ウエザリングによる色相の変化と、UV吸収、IR吸収の変化とを関連づけた。

ラマンスペクトルから推定される  $n=13$  の鎖を持つ共役二重

TAB. 3 CHARACTERISTIC VISCOSITY  $\eta$  AND  $M_v$  VALUES FOR ALL PVC TYPES AT WEATHERING.

Type material	$\eta$	$M_v$
1	2	3
PVC A (powder) K=68	0,097	38274,0
Comp.A (from samples)	0,101	40467,9
Comp.A - 1 month aged	0,0935	36382,3
Comp.A - 2 months aged	0,096	37730,9
Comp.A - 5 months aged	0,0885	33726,3
Comp.A - 6 months aged	0,0845	31641,9
PVC (powder)-B K=67	0,0834	31075,2
Comp.B-(from samples)	0,0895	34253,1
Comp.B - 1 month aged	0,0858	32367,3
Comp.B - 2months aged	0,0886	33778,9
Comp.B - 5 months aged	0,0870	32940,4
Comp.B - 6 months aged	0,0852	32004,1
PVC (powder) <sup>o</sup> K=70	0,094	36650,9
Comp.C (from samples)	0,102	41021,6
Comp.C - 1 month aged	0,093	36114,2
Comp.C - 2 months aged	0,097	38274,0
Comp.C - 5 months aged	0,1015	40744,5
Comp.C - 6 months aged	0,1005	40191,8

結合の量は、最初の2ヶ月間照射面でも、非照射面でも増加する。

粘度測定による平均分子量  $\bar{M}_v$  は、耐候性試験で、未変性コンハウンドの場合が最大の減少を示した。

この変性によって、シャルヒーノッチ付衝撃値の増加、平面平滑性の向上、ウェザリング10ヶ月での変色抵抗性の増加を確認した。

### 3. 低レベル放射性廃棄物管理における 固化体 の微生物分解率に関する情報

RB-1 US DOE Rep. NO. NUREG/CR-4200 '85

## 低レベル廃液固化体の生物分解試験

P. L. Piciulo 他 (Brookhaven 国立研究所)

NRC の "Technical Position on Waste Form" (TP) 廃棄物固化体に関する技術的見解は、廃棄物が生物分解に対して抵抗性を有するものでなければならぬことを規定している。

以降に述べる結果は、試験した特定の低レベル廃棄物固化体が、生物分解抵抗性を持つかどうかを明らかにするためのものではなくて、TPに記された試験法がその試験法として適切かどうかを決めることが目的である。

模擬試料として、硝酸と硫酸ソーダの蒸発缶釜残、混床イオン交換樹脂、粉化したイオン交換樹脂を選び、これらをセメント、アスファルト、ビニルエステル-ステレン(VES)で固めて試験に供した。この試料は、発電所からの廃棄物の代表としてとりあげたのではないが、固化剤と模擬廃棄物との組合せも、TPの試験法評価の基礎試料したい。

試料の大きさは圧縮試験の都合で、直径5cm、高さ10cmの直円筒形で、これを以下1×2と呼ぶ。この試料の上・下各1ヶ、中間から2ヶ、合計4ヶの6mm厚さの薄片を切り出して「薄片試料」とする。この調整は160mlのテーパー付試料瓶を用い、作製試料の寸法は正確に測る。上記試料とは別に、実験に用いた各成分について、夫々単独に微生物分解試験を行い、その結果を本試験の結果から結論を導く参考とする。

固化体は実験前すべて殺菌する。殺菌剤としてVESとアスファルトには昇汞(HgCl<sub>2</sub>)溶液を、セメントにはエチレンオキサイドを用いる。カビの接種はASTM21、バクテリアはASTM22によった。カビやバクテリアが成長した試料については有機溶媒で洗浄後再試験を行っている。洗浄はエタノールとメタノールを用いた。

Table 2.1はASTM記載のカビ成長判断基準である。生物分解

Table 2.1

Rating of Fungal Growth(1)

Observed Growth on Specimens	Rating
None	0
Traces of growth (less than 10%)	1
Light growth (10 to 30%)	2
Medium growth (30 to 60%)	3
Heavy growth (60% to complete coverage)	4

後の  $1 \times 2$  試料で、ASTM C39-72による圧縮強度試験を行つてゐる。

アスファルト固化体のカビに対する試験結果を、Table 3.1 に示す。硝酸以外では全部にカビを生ずる。硝酸塩は、殺カビ剤として役に立ちそうである。

Table 3.2 は VES 固化体の結果である。カビが生じたのは、硫酸ソーダ/VES の固化体と薄片だけで、それも洗浄後はカビが成長しない。

セメントでは カビが生じたものは、1つもない。

Table 3.1

Results of ASTM G21 Test for Determining the Resistance of Asphalt Solidified Wastes to Fungi<sup>a,b</sup>

Waste Stream	$1 \times 2$ Form <sup>c</sup>	Wafer
<u>Boric Acid</u>		
Initial Test	0 0 0	0
<u>Sodium Sulfate</u>		
Initial Test	1 1 1	1
Retest	0 1 1	NA
<u>Bead Resin</u>		
Initial Test	4 3 4	2
Retest	1 1 2	NA
<u>Powdered Resin</u>		
Initial Test	1 2 2	1
Retest	0 0 1	NA

<sup>a</sup>NA means not applicable.

<sup>b</sup>Numbers indicate observed growth on specimen. See Section 2.3.

<sup>c</sup>One entry is given for each of the replicate  $1 \times 2$  specimens tested.

Table 3.2

Results of ASTM G21 Test for Determining the Resistance of VES Solidified Wastes to Fungi<sup>a,b</sup>

Waste Stream	$1 \times 2$ Form <sup>c</sup>	Wafer
<u>Boric Acid</u>		
Initial Test	0 0 0	0
<u>Sodium Sulfate</u>		
Initial Test	2 1 2	2
Retest	0 0 0	NA
<u>Bead Resin</u>		
Initial Test	0 0 0	0
<u>Powdered Resin</u>		
Initial Test	0 0 0	0

<sup>a</sup>NA means not applicable.

<sup>b</sup>Numbers indicate observed growth on specimen. See Section 2.3.

<sup>c</sup>One entry is given for each of the replicate  $1 \times 2$  specimens tested.

バクテリアに対する結果として、アスファルトの場合をTable 3.4に示した。1×2では洗浄後でもバクテリアは成長するが、薄片では硫酸ソーダだけに成長が見られる。

Table 3.5 はバクテリアのVES固化体に対する表である。若干説明出来ない点があるが、固化体表面でのバクテリア成長は可能であり、内部では表面と違っているとの結果になる。セメントでは、バクテリアの成長したものはない。

生物分解が固化体の圧縮強度に影響を及ぼすかどうかを調べるため、アスファルト(Table 3.7)、VES(Table 3.8)、

Table 3.4

Results of ASTM G22 Test for Determining the Resistance of Asphalt Solidified Wastes to Bacteria<sup>a</sup>

Waste Stream	1 x 2 Form <sup>b</sup>	Wafer
<u>Boric Acid</u>		
Initial Test	+++	-
Retest	+++	NA
<u>Sodium Sulfate</u>		
Initial Test	+++	+
Retest	+++	NA
<u>Bead Resin</u>		
Initial Test	+++	-
Retest	+++	NA
<u>Powdered Resin</u>		
Initial Test	+++	-
Retest	+++	NA

<sup>a</sup>NA means not applicable, + indicates that material supports growth; while, - indicates no growth.

<sup>b</sup>One entry is given for each of the replicate specimens tested.

Table 3.5

Results of ASTM G22 Test for Determining the Resistance of VES Solidified Wastes to Bacteria<sup>a</sup>

Waste Stream	1 x 2 Form <sup>b</sup>	Wafer
<u>Boric Acid</u>		
Initial Test	-++	-
Retest	NA ++	NA
<u>Sodium Sulfate</u>		
Initial Test	+++	+
Retest	+++	NA
<u>Bead Resin</u>		
Initial Test	+++	-
Retest	+++	NA
<u>Powdered Resin</u>		
Initial Test	- - +	-
Retest	NA +	NA

<sup>a</sup>NA means not applicable, + indicates that material supports growth; while, - indicates no growth.

<sup>b</sup>One entry is given for each of the replicate specimens tested.

セメントについて 固化体の圧縮試験を行った。標準試料は、カビ・バクテリアを接種培養していない以外は、テストしたものと同じ処理をしてある。

アスファルト、VES、セメントそれぞれについて データやバラツキなどの相違が見られるが、いずれの場合も、影響はないと結論している。

さて始めに帰って、TPがすすめる標準試験法は ASTM21 と ASTM22 である。敏感な試験法で、固化体の表面と薄片とで 分解性が異なることを示した。しかし上の2つの試験法では、生物分解の速度を定量化することが出来ない。これら の 試験で十分な抵抗性が示されない場合には、固化体の長期間

Table 3.7

Results of Compression Testing Asphalt Solidified Wastes

Waste Stream	Load at 10% Deformation (MPa)	
	ASTM G21	ASTM G22
<u>Boric Acid</u>		
Test	0.61 ± 0.04	0.56 ± 0.05
Control	0.59 ± 0.04	0.54 ± 0.06
<u>Sodium Sulfate</u>		
Test	0.47 ± 0.02	0.46 ± 0.07
Control	0.44 ± 0.02	0.44 ± 0.04
<u>Bead Resin</u>		
Test	0.58 ± 0.02	0.60 ± 0.02
Control	0.59 ± 0.02	0.60 ± 0.01
<u>Powdered Resin</u>		
Test	0.77 ± 0.02	0.88 ± 0.02
Control	0.753 ± 0.002	0.88 ± 0.03

<sup>a</sup>Average and standard deviation of replicate samples are given.

Table 3.8

Results of Compression Testing Vinyl Ester-Styrene Solidified Wastes<sup>a</sup>

Waste Stream	Load at 10% Deformation (MPa)	
	ASTM G21	ASTM G22
<u>Boric Acid</u>		
Test	11.4 ± 0.3	11.3 ± 0.4
Control	11.0 ± 0.1	11.0 ± 0.3
<u>Sodium Sulfate</u>		
Test	11 ± 1	12 ± 1
Control	10.2 ± 0.4	11.5 ± 0.5
<u>Bead Resin</u>		
Test	16.0 ± 0.1	16.5 <sup>b</sup>
Control	15.9 ± 0.4	16.4 <sup>b</sup>
<u>Powdered Resin</u>		
Test	13.6 ± 0.6	13.5 ± 0.5
Control	13.6 ± 0.4	13.4 ± 0.3

<sup>a</sup>Averages and standard deviations of replicate samples are given.

<sup>b</sup>Only two samples were tested. The value given is the average of the results.

"の劣化状況を見積るため 分解速度等動力学的実験を行い、埋設地の条件下の分解状況を定量的に把握する必要があると云う課題が残っている。

## ビ"チューメンの生物分解試験

R.E. Barletta 他 (Brookhaven 国立研究所)

### 概要

中低レベル廃棄物ビ"チューメン固化体の長期安定性を予測するため、ブローンビ"チューメンについて、土壤、水分、試料表面積、微生物の種類の影響を調べた。

微生物の代謝によって発生する  $\text{CO}_2$  の測定から、土壤中の分解速度は、平均  $5.5 \times 10^{-4} \text{ cm}/\text{年}$  となる。これは蒸留ビ"チューメンについての他の測定者の結果に近いものである。

### 緒言

中低レベル廃棄物固化材として提案されているビ"チューメンは、炭化水素であるから、他の例えはセメントに比べ、微生物により分解されやすい。ビ"チューメンヒタールの微生物分解についての従来のレポートから定性的に

1. 微生物の作用は好気性条件で最も起きやすい。
2. 分解は通常の水により種々の条件下で起きる。
3. ビ"チューメンを分解する細菌・菌類の種類は数多い。
4. ビ"チューメン成分によって分解速度は異なるようである。

5. ビューメンは分解して結局気体( $H_2$ ,  $CH_4$ ,  $CO_2$ 及 $O^{\prime\prime}H_2S$ )と有機液体になる。

6. 放射性核種の放出に關し、ビューメン固化体を微生物が侵すための影響は殆どない。

と云つたことが“わかっている。

規定によれば、廃棄物は少なくとも300年間安定性を保たなければならない。

安定性とは、微生物の侵食も含め、処分地での廃棄物が受けける種々の圧力に対する抵抗性を意味している。試験方法と安定性についての容認基準は「Technical Position on Waste Form」(TP)として記述されている。このTPによると、ASTM21とASTM22による2つの培養基試験が勧告されていて、この試験で何らかの感受性が観察された場合、さらに分解速度を求める試験をするのがよいとされる。それには、BarthaとPramerが開発した少量の試験片を用いる $CO_2$ の発生速度測定による。

このBartha-Pramer試験を改良し、土壤の種類、水分、温度及び試料の大きさが、試験結果に及ぼす影響を調べる。

ため NRC がスポンサーとなって一連の実験が行われた。

この結果は、Bowerman らによって発表されている。しかし、これらも上述のパラメーターの影響については定性的な範囲を出ていない。このデータを分析してブローンビューメンの分解速度を定め、併せて各組毎の実験条件 それぞれについて、その不明確さを評価した。その結果、ビューメンの分解速度に影響を与える幾つかの要因について的一般的な記述と、さらにこの分野での追加の研究の方向を示すことが出来た。

### 実験

Bowerman らによる実験方法とデータをここに要約する。

実験条件を Table I として示す。各実験のサンプル量は約

Table I. Experimental conditions for degradation experiments. Samples consisted of 4 nominal 1-cm x 1-cm-sized cylinders except where noted.

Expt. No.	Medium	Microbe	Surface Area (cm <sup>2</sup> )	Pre-test Moisture (Weight Percent)	Length of Test (days)
1	Barnwell soil	gen. soil	30 + 3	2.6 + -	177
2	Upton soil	gen. soil	30 + 3	5.1 + 2.6	197
3	Upton soil	Pseudomonas	30 + 3	5.1 + 2.6	35
4	Richland soil	gen. soil	30 + 3	5.2 + 0.3	197
5	Barnwell soil	gen. soil	30 + 3	5.6 + 0.2	196
6	Barnwell soil	gen. soil	30 + 3	18.3 + 0.4	181
7	Barnwell soil	gen. soil	20 + 2 <sup>a</sup>	5.6 + 0.2	192
8	Barnwell soil	gen. soil	134 + 13 <sup>b</sup>	5.6 + 0.2	206
9	agar	Pseudomonas	30 + 3	- + -	54
10	agar	fungi	30 + 3	- + -	59

<sup>a</sup>Nominal 2-cm x 2-cm cylinder.

<sup>b</sup>1-mm-thick sheet.

7gで、容積も一定であるが、表面積はサンプルの形状によつて異なる。各サンプルの表面積の変動は、約10%と見積られた。

土壤と養分を含む寒天との2種を培養基として用い、低レベル廃棄物処分地である Barnwell からのものも2つ含まれる。土壤は水分を調節し、野外の湿った状態と同じ状態にして用いる。養分としては炭素源以外の基本的な栄養はすべて含まれる。

土壤実験の多くは、その土着の微生物をそのまま用いたが例外として実験3では、土壤をγ線殺菌した後、*Pseudomonas aeruginosa* を接種した。寒天培養基のものは ASTM G21あるいは ASTM G22 を参考に接種している。

実験方法は次のとおりである。ビニューメンサンプルを寒天あるいは土壤と一緒に Bratka-Pramer フラスコに入れ、栄養分と微生物を含み、ビニューメンを含まないものをコントロール(標準試料)とする。大気中のCO<sub>2</sub>はアスカライトチャージで除去する。実験装置を Fig. 1 として図示した。(次頁)

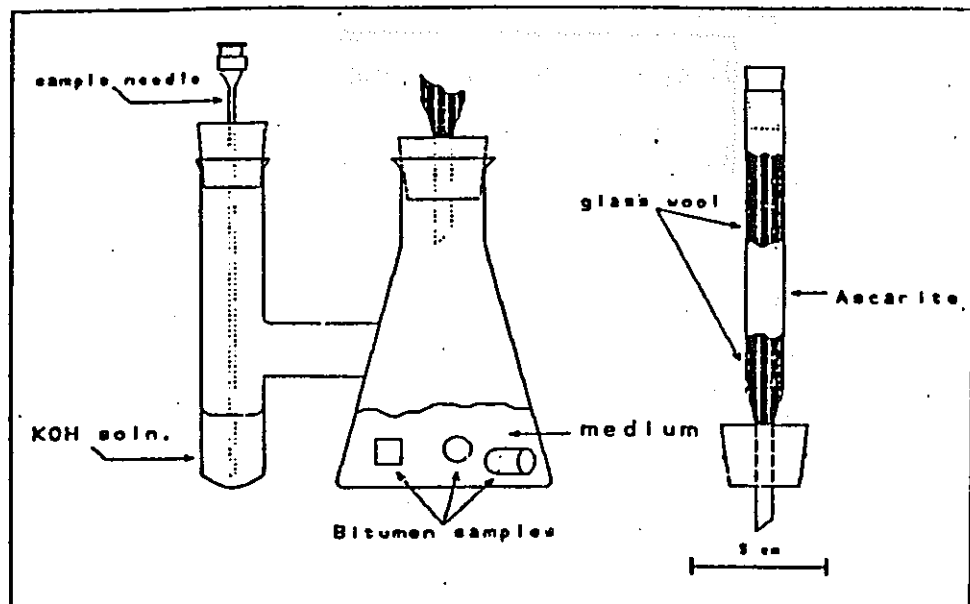
コントロールやサンプルから放出される  $\text{CO}_2$  の量は、プラスコの側管中の 0.1N KOH 滴液の滴定で求める。この KOH 滴液を一定時間毎に取り出し、塩酸規定液で滴定して  $\text{CO}_2$  の増加量を計算した。

### 結果と考察

放出される炭酸ガスの総量を増加量の合計として求め、それに対して最小自乗法により回帰直線を引く。

Richland 土壤中のビチューメンから放出される  $\text{CO}_2$  累積量をたどったもの（実験 4）を Fig. 2 (次頁) として例示した。  $\text{CO}_2$  放出のビチューメンに関する正味量は、サンプルとコントロールとの間で差引することで得られる。次いで分解速度（直線の勾配）を、

Figure 1. Experimental apparatus used in Bartha-Pramer experiments.



ビチューメンの時間消費速度に換算する。この結果を Table II(次頁)として示す。Table II の速度欄での数値の変動は、表面積測定のあいまいさと  $\text{CO}_2$  放出量のサンプル間のバラツキによる。Table II のデータから各々の条件を変えた場合、ビチューメンの安定性に対する条件変化の影響の大きさを評価することが出来る。

微生物の種類による影響は、実験 2 と 3 あるいは 9 と 10 の速度を比較すると判る。実験 2 は土壤に土着の菌によるものであり、実験 3 は土壤を殺菌した後特定の菌種 *Pseudomonas aeruginosa* を接種したものである。平均速度を比べると土着の菌は接種したものより約 10% 速かにビチューメンを分解する。9 と 10 の実験は露天中での微生物の相違によ

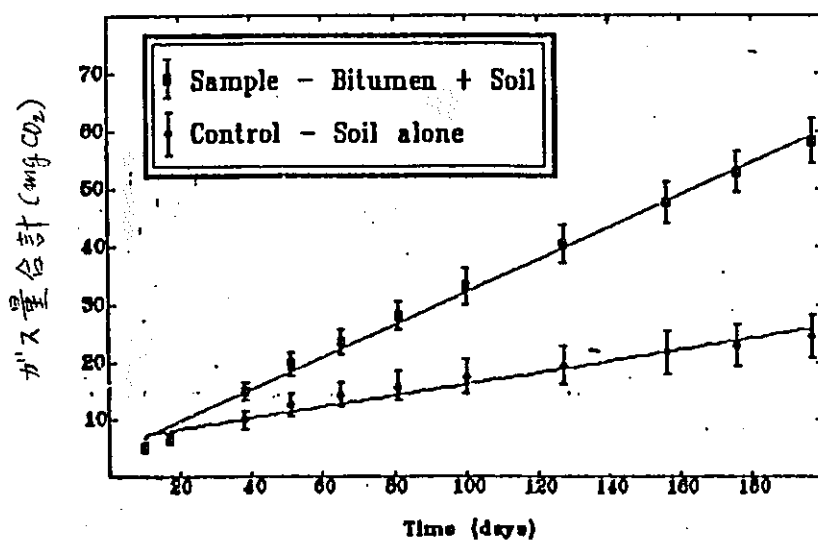


Figure 2. Cumulative  $\text{CO}_2$  released from bitumen in Richland soils vs time.

る影響を示している。実験9の單一種のバクテリアと、  
 10の5種の菌類混合物とでは、後者の方が“分解速度は有意  
 に大きい。また寒天中での実験9と10とを、土壤中の実験  
 と比べると、培養媒体の効果を見ることが出来る。養分  
 を含む寒天は理想的な培地であることがわかる。実験  
 3と9とでは、土壤の方が小さく、差はほぼ1木行も異なる。  
 実験条件の範囲が“広いにも拘らず”分解速度の変動は  
 驚く程小さい。例えば“Fig. 3(次頁)で、初期水分5.6%の Barnwell  
注1)  
 1×1サンプルを例外とすれば、分解速度は初期土壤水分  
 に対してほぼ一定である。この分解速度の平均値は  
 $(5.5 \pm 2.3) \times 10^{-4} \text{ cm/年}$  となった。これから、55ガロン(約200l)  
 入りビチューメンについては、300年後容積が約1%変化する

Table II. Degradation rates of blown bitumen based on cumulative  $\text{CO}_2$  released in modified Bartha-Pramer test. Experimental conditions are defined in Table I.

Expt. No.	Rate (cm/yr)
1	$5.78E-04 \pm 1.2E-04$
2	$3.65E-04 \pm 5.6E-05$
3	$2.11E-04 \pm 1.4E-04$
4	$5.96E-04 \pm 2.5E-04$
5	$1.05E-03 \pm 1.3E-04$
6	$4.58E-04 \pm 8.1E-05$
7	$6.37E-04 \pm 1.6E-04$
8	$5.43E-04 \pm 6.5E-05$
9	$2.44E-03 \pm 4.1E-04$
10	$5.56E-03 \pm 6.2E-04$

注1) 直径1cm、高さ1cmの直円筒型サンプル

ことになる。そして、この "ローンビチューメン" の平均分解速度は、Abdullah と Pederson の 蒸留ビチューメンの "ロック" についての  $6 \times 10^{-4} \text{ cm/年}$  とかなり一致している。Fig. 3 は 分解速度とサンプルの大きさとの関係を表す図であるが、この図で分解速度は単位面積当たりに換算されている。もし分解速度が "ビチューメン" の表面律速とすると、5.6% の Barnwell のビチューメンの分解速度はすべて同じになると考えられる。図からシートサンプルと  $2 \times 2$  サンプルは実験誤差範囲内で一致するが、 $1 \times 1$  サンプルが有意に高い値となった理由は明らかでない。

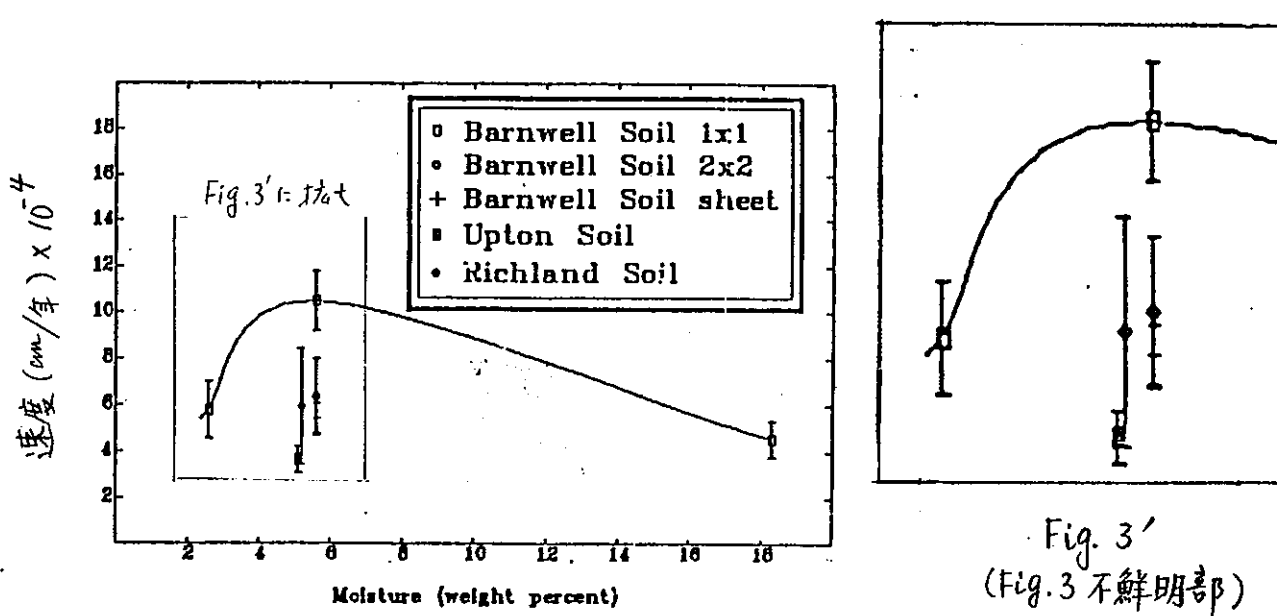


Figure 3. Mean degradation rate of bitumen in various types of soil versus initial soil moisture. Data connected by spline fit represents bitumen samples in Barnwell soil in which the soil moisture content has been intentionally varied.

## 結論

$\text{CO}_2$ 発生を手持トリとして測定したビ"チューメンの分解速度に対する  
る、ここで"とりあげた環境要素の影響は意外に小さいもの  
であった。この方法の限界の一つとして微生物分解の結果が  
間接測定によるしかないことが挙げられる。また $\text{CH}_4$ の発生  
を伴う嫌気性分解は全く測られなかった。規制のため分  
解速度を見積る手段として、この方法は役に立つが、炭酸ガ  
スの発生を廃棄物固化体の長期にわたる状況と関連づけ  
る追加実験が望ましい。さらに重要なことは実際あるいは  
模擬の放射性廃棄物を含むビ"チューメンの微生物分解  
速度を測定し、これら放射性廃棄物が分解を助長するか  
抑制するかその影響を明らかにすべきである。

放射性廃棄物ビニユーテン固化体に対する微生物の作用

Buckley LP (カナダ原子力調査会社)他 2名

カナダの Chalk River 原子力研究所では、低レベル放射性廃棄物の固化材料としてビニユーテンを選択している。

ここでは、ビニユーテン固化体の核種封じ込め能力に対する微生物存在の影響を検討した。

Fig.1, Fig.2 は ビニユーテン固化サンプル(酸化させたビニユーテンを  $^{60}\text{CO}$ ,  $^{137}\text{Cs}$  を含む  $\text{NaNO}_3$  とコンベインしてつく)を、予備テストで見出した微生物が繁殖しやすい条件と接触させ、 $^{60}\text{CO}$  (Fig.1),  $^{137}\text{Cs}$  (Fig.2) の放出を累積放出率 (cumulative fraction) まで 10% ポットし、微生物を加えず

注)

$$f = \frac{\sum a_n}{A_0} (V/S)$$

as a function of the total time of leaching,  $\sum t_n$ , where

$a_n$  = radioactivity leached during the leachant renewal period, Bq

$A_0$  = radioactivity initially present to specimen, Bq

$S$  = exposed surface area of specimen,  $\text{cm}^2$

$V$  = volume of specimen,  $\text{cm}^3$

$t_n$  = duration of leachant renewal period, days.

場合の結果と比較したものである。

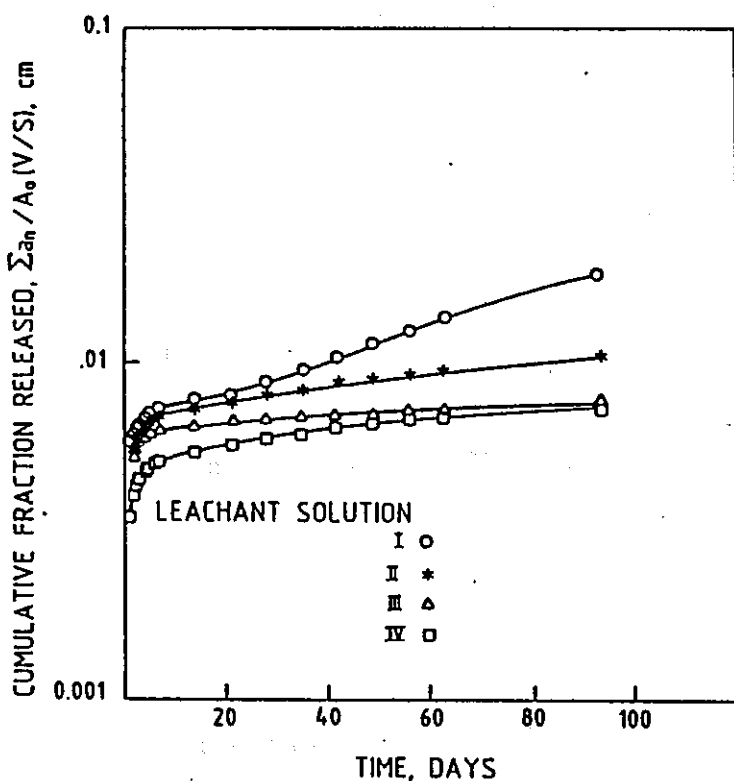


FIGURE 1. Co-60 releases from bituminized waste in different leachant solutions (leachant solutions described in Table IV).

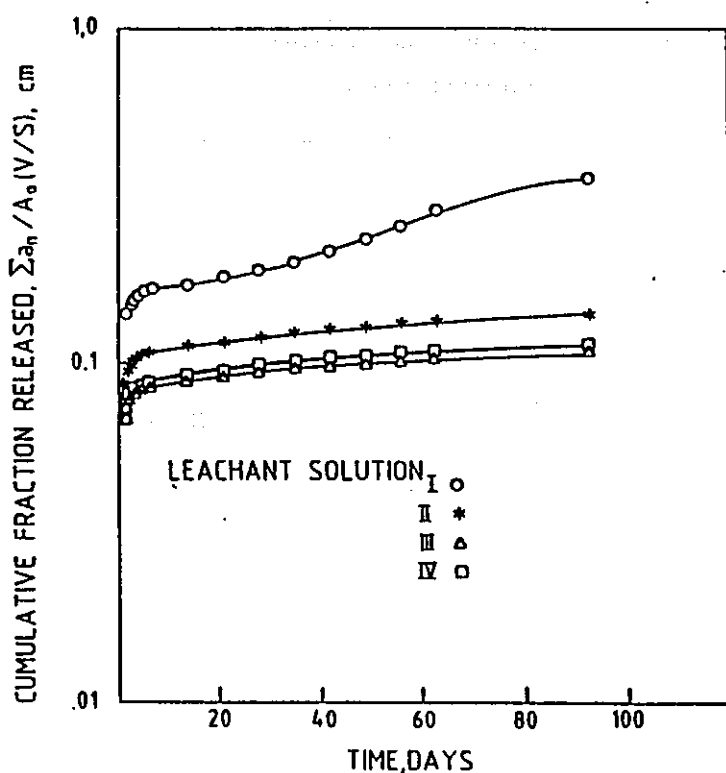


FIGURE 2. Cs-137 release from bituminized waste in different leachant solutions (leachant solutions described in Table IV).

図から判るよう<sup>に</sup>、<sup>137</sup>Csの放出は<sup>60</sup>Coより高く、培養物を接種した試料(III, IV)<sup>注</sup>、接種しない試料(I, II)<sup>注</sup>間に有意差はない。すなわち、ピクルートン処理された固化体への微生物の作用効果はないよう<sup>に</sup>みえる。

Table I はすまうに、Fick の拡散則  $\{f = 2(Dt/\pi)^{\frac{1}{2}} + \dots\}$  で近似させて、核種透過の拡散係数  $D$  と  $t=0$ における  $y$  軸の切片も求めているが、①栄養分を含む

注)

	Experimental Leach Solutions
Leachant I	distilled, demineralized water
Leachant II	distilled demineralized water, mineral salts <sup>1</sup> , microbial nutrient media <sup>2</sup>
Leachant III	distilled demineralized water, mineral salts, microbial nutrient media and Culture D <sup>3</sup>
Leachant IV	Shallow saline water, mineral salts, microbial nutrient media and Culture D

(1) mineral salts

(2) microbial nutrient media 0.3 wt% malt extract, 0.3 wt% yeast extract, 0.5 wt% peptone.

(3) 固定化水素産生菌、シートモイヤ菌

#### Mineral Salt Solution for Culture Growth

Compound	Quantity
MgSO <sub>4</sub>	0.2 g
CaCl <sub>2</sub>	0.029 g
KH <sub>2</sub> PO <sub>4</sub>	1.0 g
K <sub>2</sub> HPO <sub>4</sub>	1.0 g
(NH <sub>4</sub> ) <sub>2</sub> SO <sub>4</sub>	1.0 g
FeCl <sub>3</sub>	0.2 g saturated solution
distilled water	1000 mL

浸出液(II~IV)においては、 $^{137}\text{Cs}$ と $^{60}\text{Co}$ の間で、 $\pm$ は有意差なし、 $\pm$ については有意差あり、②浸出液工(蒸留水)における移動の様子は、他の場合と大きく違っている。微生物塙の有無が放出に影響しているとしている。

TABLE 1  
Diffusion Coefficients Derived for Bituminized Waste

Leachant	Fitted Parameters for Co-60 Release	
	D, $\text{cm}^2/\text{s}$	$a$ , cm
Distilled Water (I)	$2.16 \times 10^{-11}$	$-1.78 \times 10^{-3}$
Mineral Salts (II)	$2.43 \times 10^{-12}$	$5.36 \times 10^{-3}$
Mineral Salts & Microbes (III)	$5.84 \times 10^{-13}$	$4.53 \times 10^{-3}$
Ground Water & Microbes (IV)	$9.75 \times 10^{-13}$	$4.27 \times 10^{-3}$

Leachant	Fitted Parameters for Cs-137 Release	
	D, $\text{cm}^2/\text{s}$	$a$ , cm
Distilled Water (I)	$6.57 \times 10^{-11}$	$1.32 \times 10^{-3}$
Mineral Salts (II)	$2.25 \times 10^{-13}$	$9.35 \times 10^{-3}$
Mineral Salts & Microbes (III)	$8.21 \times 10^{-13}$	$6.22 \times 10^{-3}$
Ground Water & Microbes (IV)	$1.62 \times 10^{-12}$	$7.84 \times 10^{-3}$

その他、追加実験として、核種の移動、とくに地下貯蔵を想定して種々の埋め戻し(Backfill)材について分布係数の測定を行ったが、これら埋め戻し材への核種の吸着は、微生物の存在により影響されたかった。

## 核廢棄物管理の観点からアスファルトの微生物による

劣化についての調査 Bobell C E (カルフォニア大), Molecke  
(サンディア研, 核廢棄物実験計画)

ここでは、アスファルトの化学的・物理的性質、化学的安定性、微生物劣化の証明方法および文献に基づく微生物活動の極限環境などが紹介されている。

### 1. 微生物劣化の証明方法

アスファルトは水に不溶であるため、その微生物による劣化を調べるには、特殊処理により反応を促進しないと何ヶ月も何年もかかることがある。この特殊処理には2つの主要処理方法があり、以下に示す。

(1) 厚く切ったアスファルトを粉碎または pulverize (微粉状に) して無数の小片とする (-75°C 以下で pulverize し易い)。

Pulverize したものは栄養媒 (通常、アスファルト粒を分離しておくため砂、珪藻土、ベントナイトなどを含む) に分散するまで冷凍する。

(2) アスファルトを石けん、粘土、粉碎ガラスなどの不活性固体と混合するため、最低量のベンゼンまたはクロロホルムに80°Cで溶解する。ブレンダ中で完全に混合の後、121°C(溶剤を追い出す)でオートクレーブ滅菌するため混合物を培養プラスコに移す。

劣化の判定法には次のようなものがある。

(1) アスファルトの極く薄い膜をガラス板にコートする。

ミネラル塩媒体に定温培養した後、顕微鏡にてアスファルト上にバクテリアが成長したか、アスファルトが微生物活動によって穿孔しているか調べる。

(2) アスファルトの薄膜でワイヤーをコートする。このようにして調整した絶縁ワイヤーをミネラル塩媒体(バクテリアを種付けた)中で定温培養し、周期的にキャパシタスや導電率などを調べる。

(3) その他

- ・アスファルトを含むミネラル塩媒体中の微生物細胞の増加
- ・CO<sub>2</sub>量(完全に酸化されたアスファルトCの量)

- $O_2$  摂取量 (酸化された C 化合物の量)
- アスファルト外観の変化 (薄膜上のピッティングまたはその消失)

## 2. 微生物活動の極限環境

### (1) 温度

55~60°C 以上では、比較的少ない種類の微生物種のみが生存できる。それらの例として次のようないべく報告されている。

93.5~95.5°C の温泉中に浸したガラススライドにバクテリアが多數成長

2,000~4,000m 深さの周囲温度 60~105°C の油井コアから硫酸還元バクテリアが採取された。

### (2) 圧力

大抵のバクテリアは、100~400 atm の静水圧下で生理学的に活性である。

高圧  $O_2$ ,  $CO_2$  などは 5~10 atm で静菌 (発育阻止) または殺菌作用をもつ (この事実は、深層地質隔離では岩石表土閉じ込め圧のため重要な意味をもつ)

### (3) 遊離O<sub>2</sub>

遊離O<sub>2</sub>がない場合に、アスファルトが微生物によく侵食されるかどうかまだ判っていませんが、もしある種の嫌気菌がアスファルトを侵すとすれば、それは好気菌による劣化よりはるかに緩慢である。

### (4) 塩分

微生物は種類により浸透圧や塩分所要量が大きく異なる。

飽和塩溶液(食塩飽和溶液の浸透圧は約210 atm)で生長するものは高度好塩菌と呼ばれるが、かかる菌が死海、死潟、干涸、岩塩堆積、Great Salt湖注)で繁殖または生理的に活性であることが、何人の研究者により報告されている。

### (5) 酸化還元電位

Eh -450~850 mV の自然条件や実験室で微生物は生長する。

鉄酸化還元バクテリア 60~850 mV

硫酸還元バクテリア -450~50 mV

### (6) pH

ある研究者が調べたところでは、対象としたバクテリア82種の中、8種がpH 2.5以下またはpH 10.0以上で生長可能である。

注) 塩濃度 300~336 g/l

- 例 S(硫酸)を硫酸塩に酸化するバクテリア pH 0.5  
*Acontium velatum*, セルロースを劣化する菌 pH 0.1  
*Bacillus circulans*, *Rhizobium leguminosarum* pH 11.0  
*Streptococcus faecalis* pH 11.1

### 3. アスファルトの微生物による劣化例

アスファルト固化体の微生物劣化に直接関係するデータ、文献には  
案際のところ存在しないとして、一般的な劣化例が幾つか紹介され  
ている。

例 アスファルト酸化バクテリアによるハイウェイ舗装アスファルトの  
劣化（ある場所では、バクテリアとして *Mycobacterium*, *Flavo-*  
*bacterium*, *Pseudomonas*, *Micrococcus* が見出されている）

埋設槽のアスファルト被覆の劣化 (*Pseudomonas*, *Coryne-*  
*bacteria*, *Actinomycete*)

土壤中に埋設されたアスファルト質屋根材 (*Pseudomonas*,  
*Chromobacterium*, *Bacillus*)

その他、*Mycobacterium ranae* は、30°Cにおいて 4ヶ月以内で  
アスファルトのレオロジー的性質を変えること、同じバクテリアと *Nocardia*

*coeliaca*は種々のアスファルトの粗粒粘度を1.5~6.8倍に増した  
ことが引用されている。

これらの劣化、変質の例がされて、微生物と、その生長に必要な  
ミネラルが存在し、湿分がある貯蔵条件下で、アスファルト被覆  
は、20~30年位で微生物により破られる可能性があるとしている。

なお、アスファルトの種類については、ブローンアスファルトか  
蒸留アスファルトより耐性があること、塩素化アスファルトについて  
は、その微生物の生長抑制性につき別途調査の必要性があると  
している。

RB-5 NUREG/CR-3798 '84

模擬低レベル廃棄物の焼却灰を含むセメントおよびビューナン  
廃棄物固化体の特性 Buschbom J H Jr 他 (ペルトースウェ  
スト所)

低レベル廃棄物焼却灰処理のためのセメント、ビューナン  
固化体の浸透性評価に用いられるNRCのデータベースをつくるために  
行われた実験である。

アッシュとしては、イオン交換樹脂と紙、プラスチック、木、エム、  
布などを用いる一般的な屑の焼却灰が用いられ、実際の低レベル  
廃棄物中の核種をシミュレートするため、非放射性のCs, Sr, Co,  
Iを添加している。

また、固化体試料は工業スケールの装置でつくり、テストはNRC  
のTechnical positionに基づいて実施した。

圧縮強度は、両固化体とも、50PSIをらくらくパスしており、  
 $10^8$  ラドの照射、31回の燃サイクルでも強度劣化はみられない  
がった (Table 13). また、ビューナン固化体では、照射に

より強度上昇がみられるが、これは分子の架橋が起こるためとされている。

Table 13. Compressive Strength Values for Cement and Bitumen Waste Forms.

Condition	Compressive Strength, psi <sup>(a,b)</sup>		
	Cement	Bitumen	
As-Received	1413 ± 93 (5)	134 ± 1 (4) 119 ± 4 (5)(c)	
Leached	2066 ± 160 (4)	126 ± 3 (3)	
Irradiated	1366 ± 207 (3)	145 ± 2 (2)	
Thermal Cycled	1323 ± 176 (5)	131 ± 7 (5)	
Large Scale 1 Top	1424	124	
Middle	--	122	
Bottom	2350	127	
Large Scale 2 Top	1400	108	
Middle	--	127	
Bottom	2700	127	

(a) The values are averages of the number of samples in parentheses. The numbers following the "±" are one standard deviation from average.

(b) 1 psi =  $6.98 \times 10^3$  Pa.

(c) Samples were prepared by pressing at 3000 psi instead of 7000 psi.

ANSI 16.11に基づいたCSとSrの溶出指數をTable 11,12に示す。

溶出指數Lは、 $L = -\log(D)$  (D:拡散係数)が求められるが、

注)  $a_n/A_0$ ; the incremental leaching rate,  $(a_n/A_0)/\Delta t_n$ ; and the cumulative fraction leached,  $\sum_{j=1}^n a_j/A_0$  be calculated where  $a_n$  = quantity of element release during the leaching interval n  
 $\sum_{j=1}^n a_j$  = total quantity of element released over the entire leaching time t  
 $A_0$  = initial quantity of the element in the specimen  
 $\Delta t_n$  = duration of the n leach interval

An effective diffusion coefficient, D ( $\text{cm}^2/\text{sec}$ ), is then calculated.

$$D = \frac{\pi}{4} \left[ \frac{a_n}{A_0} \times \frac{V}{S} \times \frac{1}{t_n^{1/2} - t_{n-1}^{1/2}} \right]^2 \quad (1)$$

where V = volume of specimen ( $\text{cm}^3$ )

S = geometric surface area of the specimen ( $\text{cm}^2$ )

Technical position = 規定値を  $\ln 3$  最低値 6 及び  $\ln 3$ 。

TABLE 11. Cesium Diffusion Coefficients and Leachability Index

Test	Bitumen			Cement		
	Diffusion Coefficient Mean	St. Dev	Leachability Index	Diffusion Coefficient Mean	St. Dev	Leachability Index
IAEA	Not Determined			7 E-8*	2 E-8	7.2
Equilibrium	4 E-13*	2 E-13	12.4	4 E-8*	1 E-8	7.4
ANS 16.1						
As-formed	1 E-13	1 E-13	13	5 E-8*	1 E-8	7.3
Irradiated	6 E-14	1 E-13	13.2	3 E-9	3 E-9	8.6
Thermal cycled	2 E-13	4 E-13	12.6	2 E-9	3 E-9	8.6
Pre-compressive strength	1 E-14	1 E-14	14	1 E-9	2 E-9	9.0
Barnwell groundwater	5 E-14	2 E-13	13.3	2 E-9	2 E-9	8.8

\* Average of 2, 3, 4, 7, 18, 49 and 91 day values.

TABLE 12. Strontium Diffusion Coefficients and Leachability Index

Test	Bitumen			Cement		
	Diffusion Coefficient Mean	St. Dev	Leachability Index	Diffusion Coefficient Mean	St. Dev	Leachability Index
IAEA	3 E-13	4 E-13	12.6	1 E-9	7 E-10	9.0
Equilibrium	3 E-13*	1 E-13	12.6	8 E-10*	4 E-10	9.1
ANS 16.1						
As-formed	1 E-13	1 E-13	13	2 E-9	5 E-10	8.7
Irradiated	2 E-14	3 E-14	13.7	5 E-11	3 E-11	10.3
Thermal cycled	7 E-14	9 E-14	13.2	3 E-11	5 E-11	10.5
Pre-compressive strength	5 E-15	6 E-15	14.3	2 E-11	3 E-11	10.6

\* Average of 2, 3, 4, 7, 18, 49 and 91 day values.

各種処理による影響は、ピューテンの場合にはみられますが、軽微である。

ASTM G21, 22による微生物関連のテストでは、ピューテン固化体にバクテリアおよび菌類の成長はみられなかった (Table 14)。

Table 14. ASTM Biodegradation Test Results for Fungi

Organism	Test Material	ASTM Rating (a)	Comments
<u>Aspergillus niger</u> (ビタニ質分解酵素産生菌)	cellulose bitumen	1 or 0 1 or 0	Very slight indication of growth. Difficult to score
<u>Chaetomium globosum</u>	cellulose bitumen	4 1 or 0	Difficult to score for bitumen but weak growth, at best
<u>Aureobasidium pullulans</u> (黒色酵母)	cellulose bitumen	1 or 0 1 or 0	Poor growth on both positive controls and bitumen
<u>Gliocladium virens</u>	cellulose bitumen	2 0	No growth on bitumen
Mixed Spores (b)	cellulose bitumen	2 0	No growth on bitumen

(a) Rating scale 0-4 with 0 indicating no growth and 4 indicating heavy growth.  
 (b) Spores from all four fungi used as inoculum.

微生物の代謝産物の影響を調べるテストでは、*Penicillium notatum* 菌を接種した場合、セメント、ピューテン固化体とも CaとSiの放出が認められ、これらの差では劣化が起る可能性があることが示された (ピューテンの例; Fig. 11)が、実験では微生物が成長できるよう pHが緩衝機能にあるのに付し、実際

の処理場所では、このような状態は見ていないので、ASTMのテスト結果にみられる如く、微生物の成長はまゝやつと考えられる。

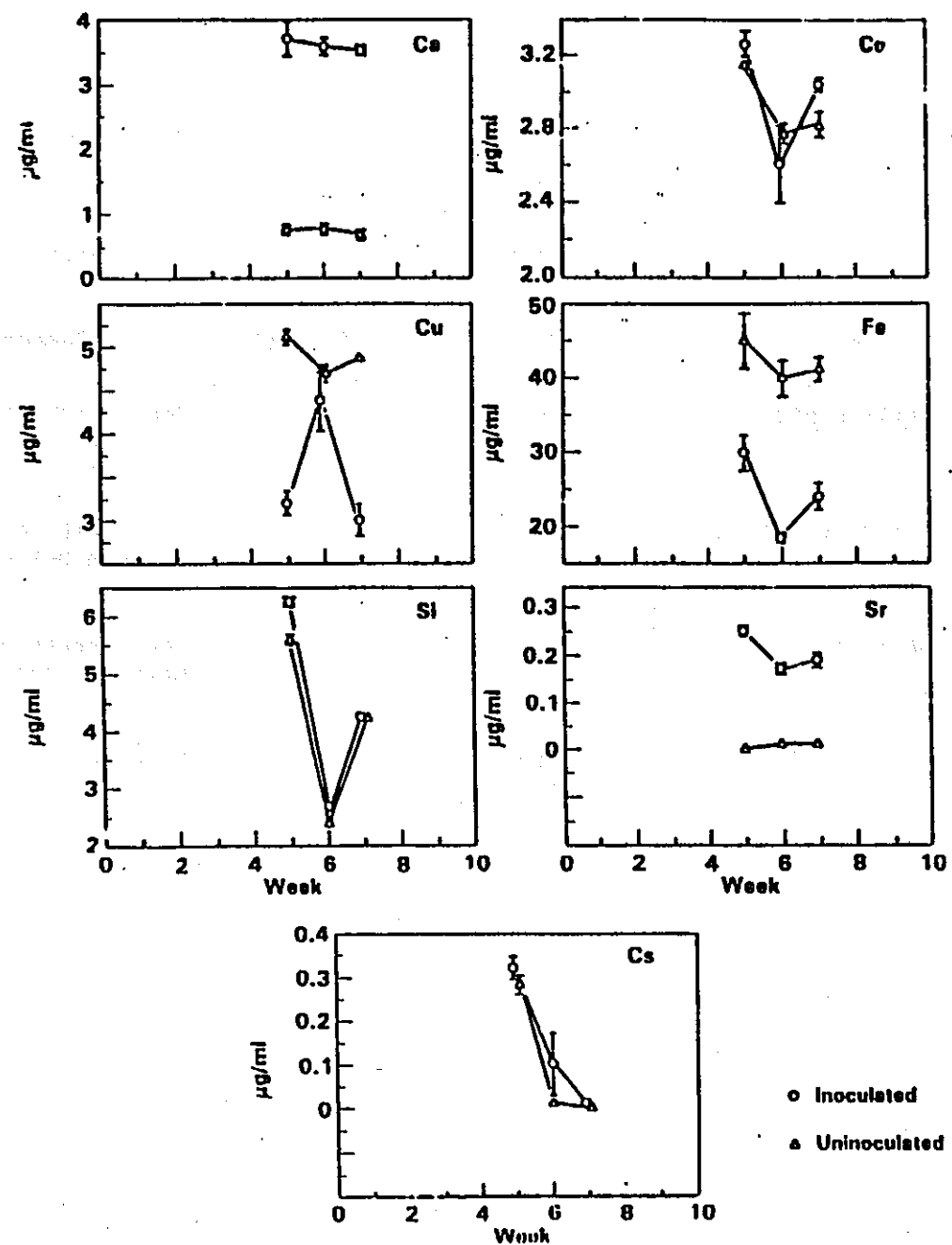


Figure 11. Releases from bitumen in systems with and without Penicillium notatum

RB-6 BNL-tr-1037 (PB 84-108919) '84

最終貯蔵所、サイロ部に於ける微生物作用

ビチューメンの生物分解の研究方法と予備実験 1

R. Roffey 他 (Defense Research Institute, Sweden)

放射性廃棄物の閉じ込めに関連するビチューメンの微生物分解については ゆがっていようとこうが少なく、ビチューメンは好気性微生物で分解されることは明らかにされているが、嫌気性分解については明らかではない。好気性の場合、 $0.025 \text{ mm}/3\text{年}$ とか、 $3 \times 10^{-7} \text{ cm}/\text{日}$ の速度とかか記されている程度である。

低レベル廃棄物のビチューメン固化体が微生物分解されると、 $\text{CO}_2$ 等の酸性ガスを生じる。これが水に溶け pH を低下させ金属性容器を腐食し  $\text{H}_2$  ガスが発生する。その結果 貯蔵所に過度の圧力が発生したり、ひびが入ったり、放射性物質が漏れたりする危険がある。

現在貯蔵されている原子炉廃棄物は、いづれ  
一ヶ所にまとめられるであろうが、この最終貯蔵所  
は海面水準下で教室の地下室からなる。低レベル廃棄  
物  $10 \text{万 m}^3$  の貯蔵容量があり、Fig. 2 に示す 4 種で  
構成されている。図の 1 がサイロ部であり、4 基で廃  
棄物  $7 \text{万 m}^3$  相当分貯蔵できる。鉄筋コンクリート製で、  
廃棄物のコンクリート固化物や、ビチューメントラムなど  
をこの中に入れ、区分毎にセメントを流し込む。

このサイロと別にコンクリート貯槽(図の 2)、岩窟(3,4)  
がある。

廃棄物は、水の津化から生ずるものと、固形のものとの

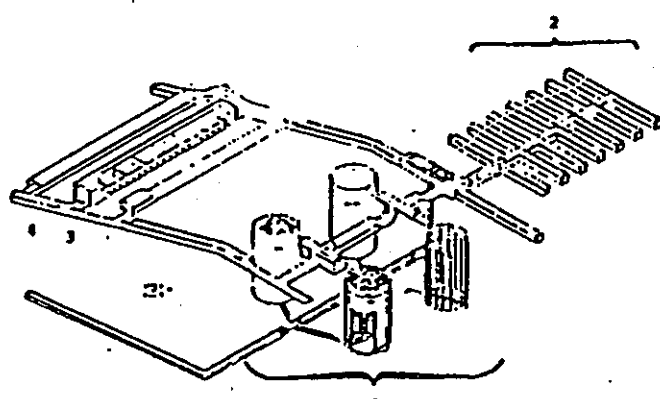


Figure 2. Layout of the final repository (SFR) for low and medium-level radioactive waste. (1) four silo repositories, (2) concrete tank repository; (3) rock cavern HLW; (4) rock cavern LLW.

2種に大別される。前者はイオン交換樹脂で、半流動性であるが、セメントやビチューメンで固化される。後者は不揮発性のハイドロ熱材、保護具などと、圧縮物や、焼却灰として、ドラム・箱に入れられる。廃棄物が一杯になると隙間を碎石等でうづめ密閉し、水を注入する。<sup>注1)</sup> 注水後30-300年で満水となり、内圧約5気圧、温度はセメントの水和で40~50°Cとなるであろう。

長期にわたる安全性を考える上で、廃棄物から生ずるガスの組成は重要である。以下サイロ部についても少しく述べる。

サイロにはコンクリート固化物、ビチューメン・ドラム、フィルタードラムを入れ、シール後、水を満たす。水はコンクリート壁に浸入し、pH 12.5の $\text{Ca(OH)}_2$ 飽和液となる。酸素は水に溶解する。

サイロ部でのガス発生は、以下の4通りが考えられる。1. 放射線分解 2. 熱分解 3. 腐食 4. 有機物の微生物

---

注1) 集文は次のようである。

When the repository has been sealed, it will then be filled with water, a process that takes 30-300 years, and the pressure ....

分解。3と4はサイロ部各所の周囲の条件で左右され、2は起らなないと思われる。

放射線分解で生成物が発生する期間は約20年で、イオン交換樹脂の分解で、 $H_2SO_4$ 、アミン、アシモニア、 $N_2$ を生じ、酸素が消費される。 $(H_2O + \frac{1}{2}O_2 \rightarrow H_2O_2)$

Table 4, 5, 6 (次頁)は、20年間にサイロ部、コンクリート固化体、ビューメンドラムで、放射線によって生成消費する物質の推定量をまとめたものである。コンクリート固化体周辺でのpH低下はわづかで、溶存酸素の大部分は残存しており、鉄があれば多分腐食される。微生物分解は、イオン交換樹脂とそれに隣伴する有機化合物が受けうる可能性がある。

ビューメンドラムでは、pHは変化し、イオン交換樹脂の沈降で局部的なpH変化もある。また金属ドラムの鉄は腐食し、ビューメント、イオン交換樹脂を含む有機物が微生物分解される可能性がある。

TABLE 4. PRODUCTS FORMED AND CONSUMED DURING RADIOLYSIS IN THE VARIOUS AREAS OF THE SILO REPOSITORY [10]. KEY: (a) concrete molds; (b) bitumen drums; (c) filter drums; and (d) O<sub>2</sub> consumed, moles.

	コンクリート固化体 (a) Betongkällan	ビターメタル Bitumenfat (b)	フィルターファル Filterfat (c)
H <sub>2</sub> SO <sub>4</sub> (kg)	1919	2015	-
H <sub>2</sub> SO <sub>4</sub> (mol)	1,9×10 <sup>3</sup>	2,1×10 <sup>3</sup>	-
(CH <sub>3</sub> ) <sub>3</sub> NH(kg)	6370	7073	-
H <sub>2</sub> (Nm <sup>3</sup> )	253	707	-
SO <sub>2</sub> (Nm <sup>3</sup> )	-	71	-
SO <sub>2</sub> (mol)	-	3,2×10 <sup>3</sup>	-
CO <sub>2</sub> (Nm <sup>3</sup> )	112	51	-
CO <sub>2</sub> (mol)	5,0×10 <sup>3</sup>	2,9×10 <sup>3</sup>	-
CO(Nm <sup>3</sup> )	19	20	-
CO(mol)	6,7×10 <sup>2</sup>	8,9×10 <sup>2</sup>	-
N <sub>2</sub> (Nm <sup>3</sup> )	20	30	-
Förbr. O <sub>2</sub> (mol)	3,6×10 <sup>3</sup>	2,8×10 <sup>3</sup>	7,9

サイロ各所で  
放射線分解に  
より生成・消費  
される物質  
の推定量

TABLE 5. SUMMARY OF THE AVAILABLE OXYGEN AND RADIOLYSIS PRODUCTS IN CONCRETE MOLDS IN THE SILO PART. THE WASTE IS CAST IN CEMENT IN THE CONTAINERS. KEY: (a) factor; (b) amount; (c) iron; (d) ion exchanger; (e) in the concrete water; (f) initial value; (g) radiolysis; (h) formed during a 20-year period; and (i) O<sub>2</sub> consumed.

項目	量	
Faktor (a)	Mängd (b)	
Void	4000 m <sup>3</sup>	
(c) Järn 鉄	2300 ton	
(d) Jonbytare 活性化水素	2380 ton	(e) 初期の値
Ca <sup>2+</sup>	6,8×10 <sup>6</sup> mol (i betongvattnet)	
O <sub>2</sub>	3,7×10 <sup>3</sup> mol (--)	
Prod. H <sub>2</sub> SO <sub>4</sub>	1,9×10 <sup>3</sup> mol (radiolys) (g)	20年間の生成量
Prod. CO <sub>2</sub>	5,0×10 <sup>3</sup> mol (--)	
Prod CO	6,7×10 <sup>2</sup> mol (--)	Bildat under 20 År
(i) Förbr. O <sub>2</sub>	3,6×10 <sup>3</sup> mol (--)	(h)

セメント部分  
における  
コンクリート固化体  
中の放射線  
分解生成物と、  
利用出来る酸  
素。

TABLE 6. SUMMARY OF THE AVAILABLE OXYGEN AND THE RADIOLYSIS PRODUCTS IN THE BITUMEN DRUMS. THE WASTE IS CAST IN BITUMEN. KEY: (a) factor; (b) amount; (c) iron; (d) ion exchanger; (e) in the concrete water; (f) initial value; (g) radiolysis; (h) formed during a 20-year period; and (i) O<sub>2</sub> consumed.

項目	量	
Faktor (a)	Mängd (b)	
Void	1100 m <sup>3</sup>	
(c) Järn 鉄	1000 ton	
(d) Jonbytare 活性化水素	2160 ton	(f) 初期の値
Bitumen 油脂	7000 ton	
Ca <sup>2+</sup>	1,76×10 <sup>6</sup> mol (i betongvattnet)	
O <sub>2</sub>	1,0×10 <sup>3</sup> mol (i betongvattnet)	
Prod. H <sub>2</sub> SO <sub>4</sub>	2,1×10 <sup>3</sup> mol (radiolys) (g)	20年間の生成量
Prod SO <sub>2</sub>	3,2×10 <sup>3</sup> mol (--)	
Prod CO <sub>2</sub>	2,3×10 <sup>3</sup> mol (--)	Bildat under 20 År
Prod CO	8,9×10 <sup>2</sup> mol (--)	
(i) Förbr. O <sub>2</sub>	2,8×10 <sup>3</sup> mol (--)	(h)

セメント部分  
ラム中の  
放射線分  
解生成物  
と利用可  
能な酸素

Table 7 にサイロ部の各所で発生する不活性ガスの計算例を挙げておく。これは National Nuclear Power Agency の見積りである。

有機物の微生物分解で発生するガスは、素材、周囲の環境、微生物個体群で決まる。生成ガスは主に  $H_2$ 、 $CH_4$ 、 $CO_2$ 、 $H_2S$  など、 $CH_4$  と  $H_2S$  とは嫌気性条件下で生成する。 $H_2$  を最終生成物とする微生物反応が多い。例えば、ビケニーメンの炭化水素は先づ脂肪酸となり、続いて  $\beta$ -酸化で次式のように  $H_2$  を生成する。炭素数が奇数の場合は  $H_2$  の他に  $CO_2$  も生成する。同時に生じ

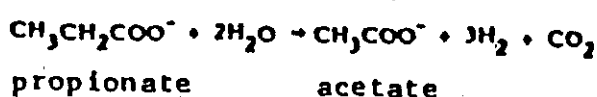
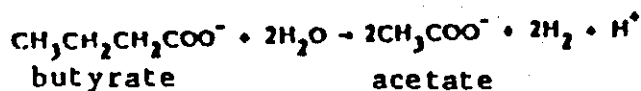


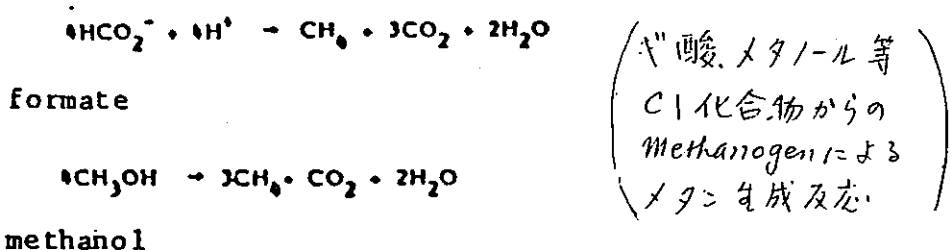
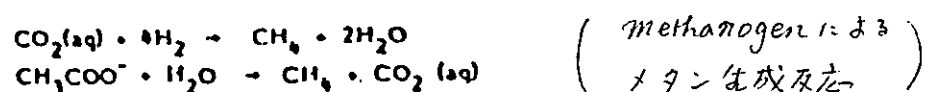
TABLE 7. SUMMARY OF THE AMOUNTS OF INERT GAS IN THE SILO PART, CALCULATED TO THE YEAR 2200. KEY:  
 (a) process; (b) year; (c)  $Nm^3/hear$ ; (d) radioysis;  
 (e) biological activity; (f) basic corrosion;  
 (g) acid corrosion; and (h) total.

Process (a)	Year (b)	(c) $Nm^3/hear$					2200
		2010	2020	2030	2110	2120	
(d) Radioysis	30	13	6	-	-	-	-
(e) Biological activity	-	-	-	-	-	-	-
(f) Basic corrosion	-	10	10	10	10	10	10
(g) Acid corrosion	-	500	500	500	500	500	500
(h) Total	30	223	216	210	200	190	180

サイロ部で発生する不活性ガス量の推定

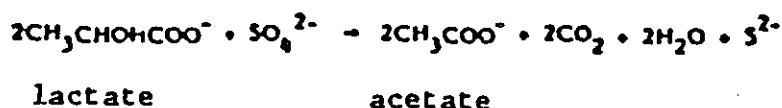
放射線分解 (d)  
 微生物作用 (e)  
 一般的腐食 (f)  
 酸による腐食 (g)  
 合計 (h)

た 酢酸塩は、代謝作用で還元されメタノールあるいは $\text{CH}_4$ と $\text{CO}_2$ となる。炭水化物、セルロースも酢酸で $\text{H}_2$ を生成する、しかし一方 $\text{CH}_4$ や $\text{H}_2\text{S}$ の生成反応で $\text{H}_2$ が消費される。 $\text{CH}_4$ の生成にはバクテリアの一種 Methanogen が関与している。酢酸塩やC1化合物からも $\text{CH}_4$ が生成する。



$\text{CO}_2$ は $\text{H}_2$ 発生につながる金属腐食をもたらすことから、特に関心があり、既述のように 1) 酢酸塩から $\text{CH}_4$ の生成時 2) 脂肪酸の $\beta$ -酸化、3) 有機物の酸化で、数種の生成反応がある。好気性でも嫌気性でも生成する。

$\text{H}_2\text{S}$ は硫酸塩還元バクテリアによってつくられる。一例として乳酸塩で硫酸を還元する反応を示した。 $\text{H}_2\text{S}$ 水溶液



は pH を低下させるが、嫌気性環境で硫酸塩還元菌が腐食を速めることは周知である。

範囲を炭化水素に限定して考えると、原油やビチューメンの組成で優勢となる微生物が決まり、微生物分解を受け易い石油製品もある。

炭化水素の微生物分解に関する多くの文献によれば、複数種の微生物が同時に働き、また、好気性条件が殆どである。

水分は微生物の成長に不可欠で、貯蔵原油中の水分 0.1~1% は微生物の成長に十分な量と云える。また栄養分として窒素や磷も必要で、分解速度に影響する。それ以外の栄養分も適度に含むことが多い。

塩分許容濃度は微生物個体群で異なる。また微生物の多くは圧力に強いが加圧により代謝速度は減少し、約 20 MPa 以上では死滅する。

温度は重要要因で多くの微生物活動の適温は +25~30°C であるが 0°C 以下 70°C 以上でも原油分解が観察されている。し、5°C の時に對し 15°C では分解速度は 4 倍になると言ふ。

pHの最適値は、バクテリアが約7、カビはそれより低い。微生物類は通常、環境適応性が良い。

石油の炭化水素の分解が、微生物により酸素なしで引起されると云うのはかなり疑わしく、たゞ之嫌気性分解が起つたとしても、分解速度は遅いとするのが現在の通説である。

金属の微生物腐食は、次のように起る。先づ金属表面の養分や酸素を周辺から除き、金属表面に濃淡電池をつくる。(Fig. 3) コロニーの中心に嫌気性の条件が出来、嫌気性の硫酸塩還元バクテリアの成長を容易にする。嫌気性条件下で強腐食性の  $H_2S$  が作れるようになる。

微生物による金属表面での酸素濃度  
電池形成の模式図

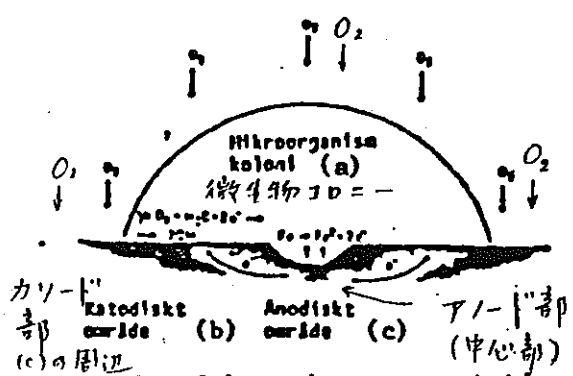
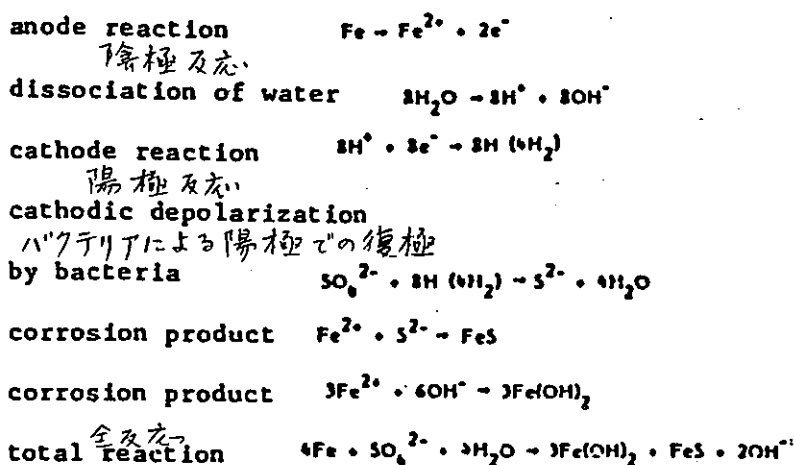


Figure 3. Schematic representation of how an oxygen concentration cell is formed on the surface of a metal during the growth of a microorganism colony.  
KEY: (a) microorganism colony; (b) cathodic zone; and (c) anodic zone.

なる。さらに金属表面で原子状水素を除去し、反応速める。  
 von Wolzogen Kühr と van de Vlugt は、この反応は、生物学的過程と電気化学的過程との両者が参加して成り立っているとした。(下図)



上の反応では Fe/S は 4/1 であるが、他に 0.9/1 と 48/1 の間の値が報告されている。

個々の反応は、その反応が進行する媒体に依存する。Tiller と Miller は、これを次のようにまとめた。

(a). 硫酸塩還元菌により水素が消費され、陽極反応が制限される。

(適当な酵素系を持つ他の微生物が、参加することもあり得る。)

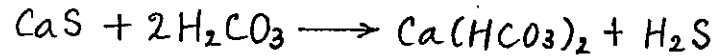
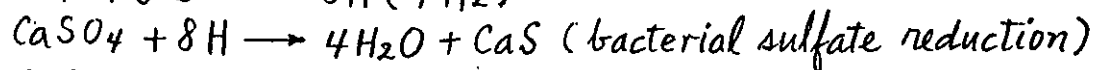
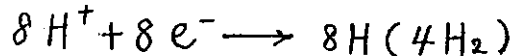
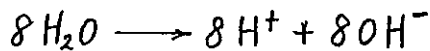
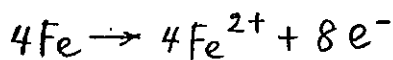
(b). 洗浄した硫化鉄による陽極の復極

(c). 過剰の Fe(II) イオンの存在で硫化物保護フィルムの形成が妨げられる。

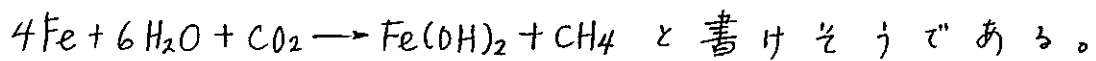
(d). 硫化物イオンによる陽極反応の促進効果、そして

(e). 空気電池を形成する。

もし上の反応で  $\text{CO}_2$  があると次の反応で消費され、

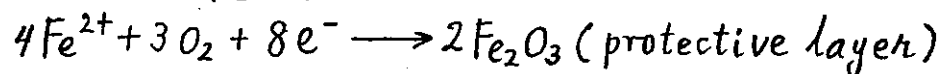
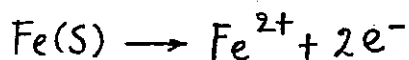


$\text{H}_2$  発生につながる pH 低下は減少する。  $\text{CO}_2$  は嫌気性の  $\text{CH}_4$  生成でも消費され、その場合腐食反応は



メタンバクテリアと硫酸還元バクテリアとは、一般に類似環境で見出されるので、両者は競合関係にある。

腐食で協力関係にある好気性の微生物も存在し、イオニ還元バクテリアは保護層としての  $\text{Fe}_2\text{O}_3$  を、次の反応



"還元して除く。

正常な代謝で無機・有機の酸を生成して腐食作用を及ぼす微生物は多數ある。*Thiobacillus* 属は 硫黄や硫黄化合物を酸化して硫酸とし、pHをかなり低下させる。また自ら攻撃し易いように金属表面の保護層を劣化させて腐食を速めることも出来る。

結局、多くの微生物が金属を腐食する。最終貯蔵所に於ける気体生成反応を解明することは極めて重要であるが、現状では予想される腐食反応や速度を筋道立てて導くことは出来ない。

SKBF/KBS の後援で 微生物によるビチューメンの分解実験を 1983 年春から開始した。好気性条件下にビチューメンを分解する微生物を分離することが目的で、嫌気性条件下でビチューメンを分解出来る微生物の分離実験にも着手した。

最初の段階は、油を含む培地から、ビチューメン

分解能のある微生物を濃縮することである。

もとになる培地は、下記 5 種類のサンプルを用意した。

1. 研究室内に設置したモデル装置による水と油。航空機燃料油の中で起った微生物変化を調べた。
2. Karlskrona の浜辺の土壤。(土壤に加熱油 No.5 = E<sub>0</sub>5 を加えた) Karlskrona 浜辺の土壤による E<sub>0</sub>5 の分解を調べた。
3. E<sub>0</sub>5。
4. 1. のモデル装置の沈殿物。
5. デンマークの Risø, Bodil mose Pedensen の土壤とアスファルト。

上記のサンプルを Table 8 (次頁) の最小必要量組成培養液 (MM-2) の入ったフラスコに入れる。炭素源は E<sub>0</sub>5 (加熱油 No.5) である。

次に、5 つの培地を、室温で約 1 週間、十分な養分

を含む基板上で培養する。得られたバクテリアコロニーをきれいにはがし、上記培養基の入った新しいフラスコに移しておく。(培養基A)

これらバクテリア培養物について、<sup>14</sup>C-ヘキサデカンを分解して<sup>14</sup>C-CO<sub>2</sub>とする能力を調べた。Table 9(次頁)の結果が得られた。

分解を示した培養物は、唯一の炭素源であるビターメン<sup>注2</sup>と最小必要量組成培養液(MM-2, Table 8)とも含むフラスコに移した。(培養基B)

TABLE 8. COMPOSITION OF MINIMAL MEDIUM MM-2.  
KEY: (a) component; (b) concentration; and (c)  
buffer.

成分 Komponent (a)	濃度 (b) Konzentration
Na <sub>2</sub> HPO <sub>4</sub> /KH <sub>2</sub> PO <sub>4</sub> buffer(pH 7.0)	10 mM
NH <sub>4</sub> NO <sub>3</sub> (c)	6.2 mM
(NH <sub>4</sub> ) <sub>2</sub> SO <sub>4</sub>	3.8 mM
MgSO <sub>4</sub> ·7H <sub>2</sub> O	0.8 mM
CaCl <sub>2</sub> ·2H <sub>2</sub> O	140 μM
FeCl <sub>3</sub> ·6H <sub>2</sub> O	1.1 μM
MnSO <sub>4</sub> ·H <sub>2</sub> O	1.2 μM
NaCl	4.8 mM
Fe <sub>2</sub> (SO <sub>4</sub> ) <sub>3</sub> ·7H <sub>2</sub> O	0.50 μM
MnCl <sub>2</sub> ·4H <sub>2</sub> O	0.45 μM
Co(NO <sub>3</sub> ) <sub>2</sub> ·6H <sub>2</sub> O	0.21 μM
ZnSO <sub>4</sub> ·7H <sub>2</sub> O	0.07 μM
CuSO <sub>4</sub> ·5H <sub>2</sub> O	2.0 μM
(NH <sub>4</sub> ) <sub>6</sub> Mo <sub>7</sub> O <sub>24</sub> ·4H <sub>2</sub> O	8 nM
pH	7.0

注2) MM-2は最小必要量組成培養液

ビキューメンを炭素源とし、室温で十分な養分を与えて、  
フレートスミア法(生存菌数の計数)を用い、バクテリアの成長  
を調べた。

有意の成長が見られたのは、僅か2例であり、他の  
2例では、成長の可能性が認められる程度であった。  
ガス発生は、5地点から採取したサンプル中の

TABLE 9.  $^{14}\text{C}$ -HEXADECANE DEGRADATION. THE CULTURES WERE INCUBATED FOR 24 HOURS IN A CAST VESSEL WITH  $^{14}\text{C}$ -HEXADECANE AS THE ONLY CARBON SOURCE. THE CASES FORMED ARE FIRST TRANSFERRED TO A VESSEL WITH A SCINTILLATION LIQUID AND THEN TO A VESSEL WITH PHENETYLAMINE. THE REMAINING HEXADECANE IS ABSORBED IN THE SCINTILLATION LIQUID AND THE CARBON DIOXIDE IN PHENETYLAMINE. THE DEGRADATION WAS CALCULATED AS THE % OF  $^{14}\text{C}$ -CPM IN PHENETYLAMINE FROM THE SUM OF  $^{14}\text{C}$ -CPM IN PHENETYLAMINE AND THE SCINTILLATION LIQUID.  
KEY: (a) culture; and (b) degradation, %.

	Kultur (a)	Nedbrytning % (b)	
カル チャ ー (培 養 物)	I	8,3	$^{14}\text{C}$ -ヘキサデカン
	I:1	1,2	の分解率
	I:2	1,5	
	I:3	0,5	
	II:1	1,1	
	II:3	2,7	
	IIb:1	5,6	
	IIb:3	71,1	
	IIc	91,1	
	IId	47,7	
	III	0,4	
	IV	0,9	
	IV:1	1,5	
	IV:2	2,3	
	IVb:1	1,2	
	IVb:2	5,6	
	Vb:2	1,7	
	Vb:3	24,6	
	Vb:11	91,8	
	Vb:12	8,0	
	Vb:13	14,3	
	Vc	1,0	

注3)

濃縮されたもとの培養基A及びビ"チューメンの入った

注3)

フラスコに移した培養基Bについて調べた。

上下に小管を有する培養管を用い、この小管中の気泡が、ガスの発生を示す。MM-2 培養液に、ビ"チューメンと、0.3% ブ"イヨン溶液とビ"タミンを加え、37°Cで培養した。3つのサンプルに気泡が観察された。そこで、これらを MM-2 とビ"チューメンを含む新しい培養管に移したところ、ガスの発生は見られなかった。

このことは、これらの培養物には、ビ"チューメンを  $\text{CO}_2$  に完全分解するバクテリアが存在していないことを示している。その代り  $\text{CO}_2$  以外の代謝生成物が蓄積していることになる。さきに見られたガスの発生は、ブ"イヨン溶液中に含まれた別の炭素源によるものであろう。

---

注3) 培養基A、培養基Bともに前々頁参照

RB-7 TE-014Q/86/W0003 (DOE-RW-87.110)'87

## 放射性廃棄物中の有機化合物に関する研究 の現状

G. H. Norris (Taywood Engineering Ltd. UK)

この報告書は、放射性廃棄物中の有機物の影響  
に関する研究の現状を概説すること、その上で今後  
の方向を勧告することである。

安全性を確保することは最も重要で、そのためには放射性  
核種の貯蔵所外への移動を抑えることが"大切"である。  
有機物が存在すると、それは放射性核種と錯化合物を  
つくり易動性を増すと云われている。このため  
放射性廃棄物中の有機物の影響について若干の研究  
がなされている。

これらの研究は、カプセル化した放射性廃棄物が環境  
に拠がらないようにするため、錯体の溶解や移動の  
原因究明に集中している。即ちイオンの大き  
さ、pH、イオンの荷電、Eh、核種周辺の物理的・化学的

性質と言つたものである。

最近の研究は廃棄パッケージ中の有機物と放射性核種との相互作用に集中している。錯体あるいは化学的複合物は、もとの有機化合物以外にそれらの分解生成物との間で形成される可能性もある。

この報告は DOE の要求に対する暫定報告書で、中レベル廃棄物 (ILW) 中での上記研究の文献検索を行い、概観したもので、特に、ILW のセメント固化体について注意を払った。概観した報告から今後の実験についての提言を行つた。

文献検索による研究の現状を対象とする物質、フルトニウム汚染物質 (PCM) の分解、錯化剤、バクテリアの影響、コロイドの役割との5つに分けて説明する。

ILW中に存在する有機物は、普通の機械油から分析特有の試薬まである。しかし有機物分解研究は、

可燃性PCMに関する余般的な記載の中の一部として、  
注1)  
"グローブ"ボックス中の操作で発生する固体重合体に集中  
している。

スラッジは、炉の操業や燃料の再加工等で生じるが<sup>注2)</sup>有機物  
を含むことがあり、これらは文献としても報告されている。

次にPCMの分解で、英國の場合可燃性PCM成分の  
特性は十分確認されていながら、PCM組成の範囲は  
非常に広く、異なる原子力施設では当然として、同一  
施設内でも、ドライ毎に異なっている。

可燃性PCMを多量成分と、少量成分とに大別し、多量成  
分に属するものは：可塑化PVC、ポリエチレン、ハイ  
パロニ、ネオゴレン、セルロース、ラテックス。  
少量成分として：ハースペックス、PTFE、  
ポリカーボネート、ポリスチレン、ポリプロピレン、  
無可塑PVC、エポキシ樹脂、ナイロン、  
ポリメチルベンテン、ベーグライト、その他ポリマー、と等  
げることが出来る。

注1) "solid polymeric materials"については具体的に記載されていない。

注2) Fletcher A Metal "The 1985 UK radioactive waste inventory" 1986  
DOE/RW/86/087 を参考文献として示している。

上記量を目安とした分け方は必ずしも放射性核種の変化と関連したものではなく、少量成分でも分解して相当量の錯化剤となる場合があるので留意する必要がある。

問題とする核種の溶解性や易動性に影響する有機物を扱った報告で、多くがEDTA、ピコリニン酸、酢酸、クエン酸等の既知の錯化剤と関連づけて易動能力を評価しようとしている。しかし、有機物が直接ではなく、もしろ分解生成物である可能性がある。その例として、錯化剤でないセルロースを含む廃棄物中の放射性核種の溶解性が増加していることが観察されている。これはセルロースが分解し、分解生成物が錯化剤になっているということを説明している。しかし、この推論の証明は未だなされていない。

放射性核種の溶解性増加と関連して可燃性PCMからの分解生成物が発生する可能性がしらべられた。

有機化学やポリマー分解に関する知識を基礎に解説されつつあるが、分解生成物を同定するには、さらに多くの研究が必要である。

最近の研究結果によると、可燃性PCMの成分にセルロースを含む場合と、含まない場合ではセメント固化物からのフタルトニウムの溶解量があり、含む場合には約1000倍にもなるという。さらにセルロースを含む場合のそれよりパッケージ中のフタルトニウム吸着は減少しているようである。

固化体がEDTA等既知の錯化剤と共に力加セル化される場合、当然それらの影響を考慮しなければならない。 $10^{-4}M$ のような低濃度の錯化剤は、フタルトニウムの溶解に殆ど影響しないが、より高濃度で、約100倍の係数で溶解度が増加する。モノサッカライトとジサッカライト(またはその分解生成物)についても公知の錯化剤と同程度にフタルトニウムの溶解度を増加させることが明らかにされている。

セルロースはセメント基材のような強アルカリ性条件で加水分解によりマルトース(ジサッカライト)やグルコース(モノサッカライト)を生じることが

あり、アルミニウム溶解性増加の説明の一端となるが、未だ化学的機構は確認されてはいない。

バクテリアの活動は、pH 10~13の高アルカリでは抑制され、その影響は考える必要はないと言ふことが"1985年当時迄の方々の考え方であった。しかし最近の研究によると、バクテリアは厳しい逆境下でも生存出来るといえる形跡が"かなりあるため、活動が抑制され影響を考えなくてよいとする事は出来ない。

放射性廃棄物の処分に対しては、バクテリアの作用と、その作用も考慮に入れて安全性を確保するため、今後の研究が"必要である。この線に沿って DOE の QC 研究所と Warwick 大学で研究を進めている。

ヨウ素を多く含む系の表面積は非常に大きい  
注3)ため、放射線核種の吸着が起り易く、そのため廃棄物中の水性媒体を通じて核種の移動が容易になる。既にセメント化した ILW 中のヨウ素の特性と、放射性核種の易動性での役割を確かめる研究

---

注3) 吸着: sorption; 吸着や吸収、等の過程が含まれる。

を始めており、核種を種に成長したコロイド、あるいは核種のコロイド粒子によるとり込みは、恐らく、セメント基材への放射性核種の吸着を減少させらるため、溶解性/易動性が増加することになると考えている。

放射性廃棄物中に含まれる有機物についての資料についてしらべると、英國の研究では、これに関する情報の核心的部分とも云うべきものが不足していることがわかる。その点 可燃性PCMは例外で、その中の有機物は既に十分確認され、出所もよくわかっている。  
DOE/NIREX 共同執筆の英國放射性廃棄物目録の著者達も、廃棄物中の有機物確認の問題には特に言及していないが、各種廃棄物の物理的・化学的特性についてはさらに多くの情報が必要なことを強調している。

DOE/NIREX 1986年の目録には、錯化剤および一般の有機化合物(セルロース、PVC、ポリエチレン等)が、夫々

<sup>注4)</sup>  
の量及び%込みで記載されると思われる。QC研究所  
は、錯化合物生成の観点から、汎用有機化合物の  
分解生成物に関する情報を、メーカーの発行する資料や  
科学技術文献から収集しようとしている。

放射性廃棄物中の有機化合物の影響については  
使えるデータが少いため、誤りのない処理法を選  
ぶためには、多くの包括的な作業が要求される。  
研究は下記5つの表題に分けられる。

- <sup>注5)</sup>
1. 有機廃棄物と調節マトリックス
  2. 有機化合物の錯化合物生成能力と易動化能力
  3. 放射性核種の移動あるいはガス発生につながる  
可能性評価のため、有機物の分解生成物の調査
  4. 放射性廃棄物除去を目的とする追加処理の検討
  5. 有機物の微生物分解の結果 ガス発生や放射性核種  
の移動をもたらす微生物の影響についての研究  
分析法として、赤外分光分析(IR)、質量分析と組  
合せたガスクロマトグラフィー(GC/MS)、高性能

注4) 本章文には何を基準に%を出したのかは記されていない。引用文献は  
DOE/NIREX inventory 1986(当時未刊)

注5) conditioning materialsについて具体的な記載はない。

液体クロマトグラフィー(HPLC)が、その有機物とその分解生成物の分析で最も有力な手段と考えられ、特にこれらを組合せることで構造や化学组成の手掛りまで得られる。選んだ種々の有機物については i) 加熱、ii) 化学反応 iii) 放射線分解の影響について実験によって調べる必要がある。細菌分解の影響については、Warwick/Harwell などによる共同作業にて、計画される予定である。

劣化促進のため、昇温して実験することがある。昇温の際急速に過熱され、異常な化学反応や、生成物を生じることがあるので加熱実験は、限られた場合にしか使われない。しかし、貯蔵所の最高・最低温度に相当する加熱の、有機物に対する影響は調べておくかねばならない。

別に、異なる有機化合物間、廃棄物中の有機成分と無機成分、pH 10以上の高 pH 環境でのセメントマトリックスと有機廃棄物間での化学的相互作用を調べる実験を行う必要がある。

化学的要因は、ILW中の有機物分解で、少なくとも、放射線分解と同程度の重要性が認められ、調査の大部分を、これに当てるべきである。実験はまず個々の有機物が貯蔵所のpH条件下での分解過程と分解生成物を確認することから始めて、セメントのようなマトリックス材まで実験を拡張し、分解生成物の形と量に変化がないかを調べる。

実験は、実験室温度以上の  
①劣化促進温度、  
②廃棄物が野外で遭遇する代表的温度で、実施する。  
分解生成物が反応溶液のpHに影響を及ぼす場合は、  
廃棄ドラム内でpH低下による放射性核種の溶解性  
と易動性の増加につながるであろう。分解生成物  
の安定性を調べることは次の理由でも意味がある。即ち  
分解生成物のため、放射性核種の溶解性が著しく増加  
するような場合でも、廃棄パッケージや貯蔵所の寿命を  
考之ると、それ程長い期間にわたって分解生成物が  
大きな影響を持ち続けないとの予測も可能となる。

セルロースは、分解された時、最も問題を提起しそうなことが確かなので、Harwell研究所の多量成分(前出)混合物と共に、最初にとりあげるべきである。時間と装置に余裕があるなら小量成分(前出)混合物も実験するといい。

化学実験で得られた知見は、放射線分解からの知見と比較し、まとめることが望ましい。両者の実験は類似しているが、後者では $\gamma$ 線或は $\alpha$ 線暴露がパラメーターとして余分に存在する。放射線分解では、特に $\gamma$ 線照射の場合、pH値が低下することが知られており、pH低下によって、放射性核種が溶解し易くなる。セメント固化ドームの場合では、殆ど確実にpH値は元の高い値に戻る。しかし、pH低下の原因となる酸の性質や量をおさえて核種移動のプロセスを作り上げることが重要である。

廃棄物のハッケージと貯蔵所とで、異なるチームに

よって、別個に、微生物作用の影響をしらべる実験を計画すべきである。

廃棄物中の有機物とバクテリアの相互作用で、さらに別の有機化合物が生じることもある。化学実験や放射線分解実験で溶解性についてしらべる場合、これらの化合物を考慮しなければならない。

研究グループ間で協力して、放射性核種の溶解性を増加または減少させる固体及び液体化合物の確認と併せ、その安定性をしらべる実験を行い結果をまとめることからデータから、放射性核種全体の溶解性と易動性に対する分解生成物の重要性を評価することが出来て、特にこれら有機物の最良処方法の査定に用いられることが出来る。

この報告書には記載しなかつたが、有機物について、廃棄物貯蔵ドライerdeのガス発生に関する調査が進められていて、次の実験を選ぶ根拠となる。

下の表は、作業範囲の拡大あるいは支援によって、何等かの成果を期待出来る分野である。

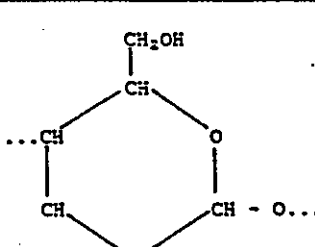
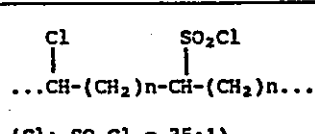
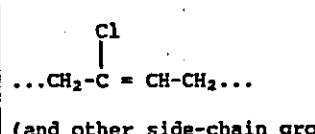
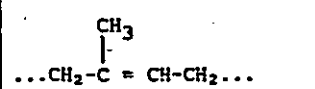
- i) 放射性核種の易動性と関連させて 各種のポリマーの分解に対する温度の影響 及び 分解生成物の調査
- ii) セルロース系物質に或る程度重点をおいて、有機物間の相互作用、その他有機物を含むマトリックス材(セメント)との相互作用
- iii) 有機物の放射線分解と、その化学的影响
- iv) ガス発生及び放射性核種の易動化に関連するバクテリアの作用

研究の各段階での情報を交換することで、上の研究に従事するグループが励まされると思うが、この情報交換をさまたげるのは： a) 商業上の配慮(例えは"スポンサーが民間のとき") b) 研究所間で研究の現況や計画を示すことに対する遠慮(一部は次のCにも共通している)。 c) 資金提供を期待した競争意識。である。

下の表は、放射性廃棄物中に含まれる有機物（本文中に記載した）のうち ポリマーの数種について、そのポリマー構造の繰返し単位と、分解生成物とを一覧表としたものである。

#### APPENDIX

##### SOME POLYMER STRUCTURES AND POSSIBLE DEGRADATION PRODUCTS

Name (Chemical name)	Repeat Unit 繰返し単位	Degradation Products 分解生成物
<u>CELLULOSE</u> セルロース		carboxylic acids, sugars, CO, CO <sub>2</sub> , H <sub>2</sub> O  カルボン酸 砂糖 CO CO <sub>2</sub> H <sub>2</sub>
PVC (polyvinylchloride) PVC	...CH <sub>2</sub> -CH(Cl)...	HCl, smaller hydrocarbons  HCl, 低分子量炭化水素
<u>POLYTHENE</u> (polyethylene) オレフィレン	...CH <sub>2</sub> -CH(H)...	H <sub>2</sub> , smaller hydrocarbons  H <sub>2</sub> , 低分子量炭化水素
* <u>HYPALON</u> (chlorosulphonated polyethylene) ハイパロン	 (Cl: SO2Cl = 35:1)	HCl, smaller hydrocarbons, SO <sub>2</sub>  HCl, SO <sub>2</sub> 低分子量炭化水素
* <u>NEOPRENE</u> (polychloroprene) ネオプレン		HCl, smaller hydrocarbons  HCl, 低分子量炭化水素
<u>LATEX</u> (natural polyisoprene)		CH <sub>4</sub> , smaller hydrocarbons  CH <sub>4</sub> , 低分子量炭化水素

(\* Trade name)

## 低レベル廃棄物形態の安定性テスト

P.L. Piciulo 他 (Brookhaven 国立研究所)

NRCは10CFR Part 61でB級とC級の廃棄物に対して300年以上にわたる構造安定性を要求している。

また、NRCは、廃棄物発生側向けに、手引きとして“Technical Position on Waste Forms”(TP)「廃棄物固化体に関する技術的見解」を作成した。これによれば、廃棄物固化体は、上記TPに記載された試験終了後もなお10CFR Part 61.56に示された諸性質を保持していなければならぬ。例えば、圧縮強度は、試験終了後少なくとも0.34 MPa以上となっている。そこで、このTPに記された試験の中から、熱安定性と生物分解に対する抵抗性との二つを取り上げて、これらが試験方法として十分で適切なものかどうかを評価した。すなわち、以下の実験は、規定された試験法の妥当性を評価することを目的としている。

実験は原子力発電所の廃棄物を模擬した固化体で実施した。実験法の詳細等は引用文献3,4によっている(原報参照)。

模擬廃棄物として、蒸発缶濃縮物に含まれる硝酸と硫酸ソーダ、それに粒状と粉末状のイオン交換樹脂を選びこれら夫々をセメント、アスファルト、ビニルエステル-ステレン樹脂(VES)で固めて固化体を作成する。

試料の形状・寸法は圧縮試験の都合上 ASTM 39-27の要求に合わせた。熱安定性試験は、ASTM B553-79を基準とした。同一試料8ヶのうち4ヶを金屬缶に封入し、熱安定性用とする。次の加熱・冷却サイクルを全試料について30回繰り返す。 $22 \pm 2^{\circ}\text{C}$  1時間 →  $60 \pm 2^{\circ}\text{C}$  1時間(炉中) →  $22 \pm 2^{\circ}\text{C}$  1時間 →  $-40 \pm 3^{\circ}\text{C}$  1時間(冷凍庫中)。

生物分解試験として ASTM G21と ASTM G22の2つの方法を用いた。前者はカビ類、後者はバクテリアに対する抵抗性の試験である。試料は上記規模の固化体と、それから切り取った薄片で、それにASTMの方法

で微生物を成長させた。試料表面の浮化にはメタノールかエタノールを用いている。

圧縮試験はセメントの場合 ASTM C39 を用いたが、アスファルトと VES では、軸方向 10% の変形時の荷重を見掛けの強度とした。

熱安定性試験で、アスファルト試料は変形して底面や容器との接触部で前かがみの形となり、硝酸のアスファルト固化体では、前かがみの形となった上、表面が劣化した。この変形は熱サイクルによるものと結論づける。

VES 固化体では見られなかつたが、試片上に液滴を生じ、缶内面にも液体が凝縮していた。この液体は pH 5 以下を示すが、熱サイクルで放出される液体に大気中の  $\text{CO}_2$  が溶解したものであろう。硝酸、硫酸ソーダ、粉末状樹脂の VES 固化体試料では、容器の腐食が見られた。

試験後の試料について、圧縮試験を行い、熱サイクルは、アスファルト、VES いずれも圧縮強度に影響を与えない、との結果を得た。

生物分解試験について、アスファルトの場合を、Table III に示す。固化体表面では、硼酸以外はすべてカビ・バクテリアの成長が見られた。薄片でのバクテリアは固化体表面の場合と異なり、硫酸ソーダにのみ成長した。アスファルト固化体の表面と内部では分解され易さが異なる、と考えられる。

Table IV (次頁) は VES の場合である。バクテリアでの結果から、その成長に、廃棄物が影響を及ぼす可能性があることが察せられる。

セメント固化体の場合、カビもバクテリアも、成長出来たものは 1つもない。

Table III  
Results of Biodegradation Tests on Asphalt Solidified Wastes<sup>a</sup>

Waste Stream	ASTM G21b,c		ASTM G22c,d	
	Form	Wafer	Form	Wafer
<u>Boric Acid</u>				
Initial Test	0 0 0	0	+++	-
Retest	NA	NA	+++	NA
<u>Sodium Sulfate</u>				
Initial Test	1 1 1	1	+++	+
Retest	0 1 1	NA	+++	NA
<u>Bead Resin</u>				
Initial Test	4 3 4	2	+++	-
Retest	1 1 2	NA	+++	NA
<u>Powdered Resin</u>				
Initial Test	1 2 2	1	+++	-
Retest	0 0 1	NA	+++	NA

<sup>a</sup>NA means not applicable.

<sup>b</sup>Numbers indicate observed fungal growth on specimen. 0 indicates no growth, 4 indicates heavy growth.

<sup>c</sup>One entry is given for each of the replicate specimens tested.

<sup>d</sup>+ indicates that material supports bacterial growth; while, - indicates no growth.

分解後の圧縮強度を Table V に表示する。アスファルトと  
VES で試験前後に変化が見られない。セメントでは  
微生物活動が認められないから強度変化もないと考える。

Table IV  
Results of Biodegradation Tests on VES Solidified Wastes<sup>a</sup>

Waste Stream	Form <sup>d</sup>	ASTH G21 <sup>b</sup> Wafer	Form	ASTH G22 <sup>c</sup> Wafer
<u>Boric Acid</u>				
Initial Test	0 0 0	0	- + +	-
Retest	NA	NA	NA + +	NA
<u>Sodium Sulfate</u>				
Initial Test	2 1 2	2	+ + +	+
Retest	0 0 0	NA	+ + +	NA
<u>Bead Resin</u>				
Initial Test	0 0 0	0	+ + +	-
Retest	NA	NA	+ + +	NA
<u>Powdered Resin</u>				
Initial Test	0 0 0	0	- - +	-
Retest	NA	NA	NA +	NA

<sup>a</sup>NA means not applicable.

<sup>b</sup>Numbers indicate observed fungal growth on specimen. 0 indicates no growth; 4 indicates heavy growth.

<sup>c</sup>+ indicates that material supports bacterial growth; while,

- indicates no growth.

<sup>d</sup>One entry is given for each of the replicate specimens tested.

Table V  
Results of Compression Testing of Solidified Wastes<sup>a</sup>  
(units MPa)

	Asphalt <sup>b</sup>		VES <sup>b</sup>		Cement	
	ASTH G21	ASTH G22	ASTH G21	ASTH G22	ASTH G21	ASTH G22
<u>Boric Acid</u>						
Test	0.61 ± 0.04	0.56 ± 0.05	11.4 ± 0.3	11.3 ± 0.4	26 ± 15	22 ± 18
Control	0.59 ± 0.04	0.54 ± 0.06	11.0 ± 0.1	11.0 ± 0.5	23.6 <sup>c</sup>	23 ± 9
<u>Sodium Sulfate</u>						
Test	0.47 ± 0.02	0.46 ± 0.07	11.0 ± 1	12.0 ± 1	35 ± 8	8 ± 4
Control	0.44 ± 0.02	0.44 ± 0.04	10.2 ± 0.4	11.5 ± 0.5	40 ± 24	9 ± 2
<u>Bead Resin</u>						
Test	0.58 ± 0.02	0.60 ± 0.02	16.0 ± 0.1	16.5 <sup>c</sup>	27.5 <sup>d</sup>	ND
Control	0.59 ± 0.02	0.60 ± 0.01	15.9 ± 0.4	16.4 <sup>c</sup>	28.4 <sup>d</sup>	ND
<u>Powdered Resin</u>						
Test	0.77 ± 0.02	0.88 ± 0.02	13.6 ± 0.6	13.5 ± 0.5	ND	ND
Control	0.75 ± 0.01	0.88 ± 0.03	13.6 ± 0.4	13.4 ± 0.3	ND	ND

<sup>a</sup>Average and standard deviations of replicate samples are given. ND means no data.

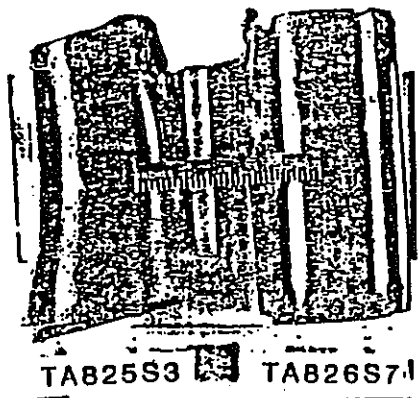
<sup>b</sup>Compressive strength was determined as the load at 10% axial deformation.

<sup>c</sup>Average of two results.

<sup>d</sup>Only one sample.

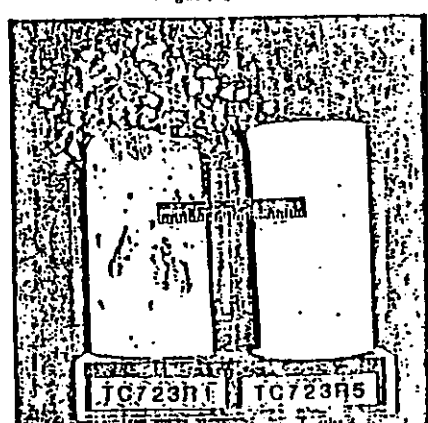
結論として、TPの熱安定性試験は、適切と思われる。生物分解の抵抗性は敏感な試験法で、生物分解され易いものとそうでないものを区別するにはよいか、分解速度や程度についての知見が得られない。この試験に不合格のとき 10 CFR Part 61 の安定性要求を満たさないと考えず、安定性に関する追加情報を、発生側は提出すべきである。

Fig.1 蒸発缶底硫酸ソーダアスファルト固化体  
(左)サンプル Figure 1 (右)標準試料



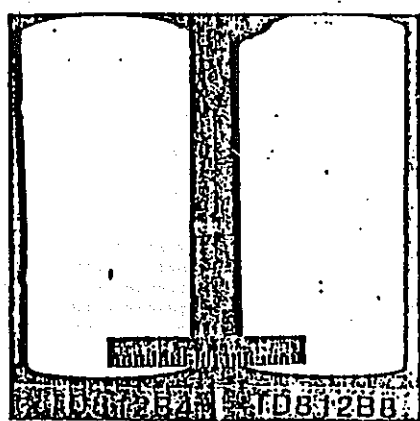
Typical test specimen (left) and control specimen (right) of asphalt solidified sodium sulfate evaporator bottoms.

Fig.3 粒状イオン交換樹脂廃棄物セメント固化体  
(左)サンプル Figure 3 (右)標準試料



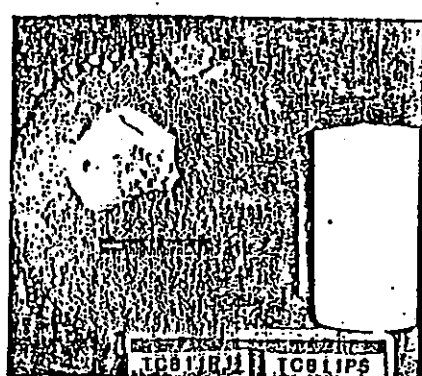
Typical test specimen (left) and control specimen (right) of cement solidified bead ion-exchange resin waste forms. Note: specimens were photographed top side down.

Fig.2 蒸発缶底硝酸VES固化体  
(左)サンプル Figure 2 (右)標準試料



Typical test specimen (left) and control specimen (right) of VES solidified boric acid evaporator bottoms.

Fig.4 粉末状イオン交換樹脂廃棄物セメント固化体  
(左)サンプル Figure 4 (右)標準試料



Typical test specimen (left) and control specimen (right) of cement solidified powdered ion-exchange resin waste forms.

RB-9 US DOE Report No. CONF-8409115 '84

固化体試験方法の現状 Lawroski H (エシコン電力研)

'83-12-27以後、米国では新規置される該地層処分場は、NRCが改正10CFR-Part 61の規制を受ける。この規制では、適切な固化体の使用と処分場の安定性を求めている。

'83-5月 NRCは固化体について BTP(Branch Technical position)を出版した。これは廃棄物を出すものへの手引書で、内容は 10CFR-Part 61より厳しいものとなっている。

凝固プロセスとしては、セメント、グラ・バインダ、エンベイロ・ストン、ピキューン、それに HICs (High Integrity Containers 高性能容器)を用いるプロセスが許容されるものとされているが、固化体の安定性を裏証できる試験結果の提出を求めている。

安定性試験方法を表1 に示す。

なお、HICsについては、300年以上安定状態にあるよう、設計や製造することを求めている。

NRCのBTPは、学術的には有用であるが、大部分が埋設

表1 固化体の安定性試験

試験項目	試験方法	規制値
①圧縮強度	ANSI/ASTM C39(セメント) ANSI/ASTM D1074(ビンゴー)	$\geq 50 \text{PSI}$
②照射特性	想定される最大レベルを照射 (最小 $10^8$ ラド)	照射後、①の圧縮強度を満足すること
③微生物汚染	ANSI/ASTM G21(ポリマーの菌類に対する抵抗性) ANSI/ASTM G22(7%スチックの耐ベクティニア性)	$\geq 50 \text{PSI}$
④溶出性	ANSI/ANS 16.1	試験サイズは①と同じ
⑤浸漬	90時間以上の浸漬	$\geq 50 \text{PSI}$
⑥耐熱性	ANSI/ASTM B553 section 3	試験サイズ、形状①と同じ。 $60^\circ\text{C} \sim -40^\circ\text{C}$ 30サイクル後 $\geq 50 \text{PSI}$
⑦含水量	ANS 55.1	$\leq 0.5 \text{ vol\%}$ pH 4~11

サブの条件(溝の状態等)を代表しているので、埋設廃棄物の世界では通用せず、固化体特性試験方法についての最詳備が必要である。

RB-10 EUR-8663

## 低および中レベル放射性廃棄物固化体の特性評価

Samuell R A J(英國原子力局)他

歐州原子力共同体の開発行動計画('80~'84)"放射性廃棄物の管理と処分"行動No.1の下で、前年度に実施された研究結果の報告である。本研究には6つの国の10の研究室が参加している。

PWR, BWR, GCR および再処理からの廃棄物を含む代表的な10の固化体と各国で開発にある7つの固化体(Table 1, 参照)が用いられた。固化媒体としては、セメント、ポリマーとビニロン、およびガラスのマトリックスで、固化体特性の保護の観点から、廃棄物マトリックスの適合性、照射効果、浸出性、微生物侵食、膨張と収縮、時硬(経時変化)過程および熱効果などが調べられた。

計画の目的は、比較データ、予想のためのモデル化と基礎的メカニズムについて理解を得ることにあがれた。

計画の中で、アスファルト固化体およびプラスチック固化体の劣化に関する2つの計画の概要を以下に紹介する。

*Table 1*    The Reference Waste Forms

No.	Reference Waste Form	Lead Laboratory
1	BWR evaporator concentrates/cement or pozzolana cement	Casaccia
2	PWR evaporator concentrates/cement or pozzolana cement	Cadarache
3	PWR evaporator concentrates/polyester or epoxide	Cadarache
4	Ion exchange resin/polystyrene	Cadarache
5	Ion exchange resin/polyester or epoxide	Cadarache
6	Magnox fuel pond water sludge/cement	Harwell
7	Reprocessing concentrates/bitumen	Mol
8	Reprocessing concentrates/cement	Karlsruhe
9	Reprocessing sludges/bitumen	Cadarache
10	Incinerator slags	Mol

*Table 2*    Additional Waste Forms

No.	Waste Form	Lead Laboratory
11	Ion exchange resin/cement	Cadarache
12	Sodium sulphate/bitumen	Risø
13	Research centre concentrates/bitumen	Mol
14	Solid waste/bituminised cement	Cadarache
15	Research centre concentrates/bitumen	Cadarache
16	Ion exchange resin/bitumen	Cadarache
17	Ion exchange resin      polyester or vinyl ester	Harwell

## 1. 微生物学的侵食との結果

—ピューテン固定体への土壤微生物の影響 Alexandre D (佛  
原子力局) —

### 1) 実験方法

生物的分化評価の通常の方法は、ピューテンに土壤中で見出される菌群の培養(菌)を接種する。具体的には、サンプルを不活性培地(生物学的活性の土壤から得た混合培養(菌))と接種し、栄養塩の液を絶えずスプリンクラーした(例えば管中におく)。

この方法の大きな欠点は、その影響が生物的分化よりはるかに大きく、生物的分化効果をすばやくおぼててしまう浸出現象をもたらすことである。

そこで、長期間経て始めて現れるであろう分化現象を現出させるより、むしろ、現実の貯蔵所の条件に似せて、サンプルと接触する土壤中の生物学的活動をモニターリング条件下で試験するのが好ましいと考え、サンプルは、暗く恒温・恒湿に保たれたガラス槽中の生物学的活性の土壤中にあがれた。

## 2) サンプル

テストした固化体は、不活性の揮発廃棄物固化体で、貯蔵の実際の条件を割り出し、自己放射による分解効果を考えて予めγ線照射が行われた。線量は貯蔵完了時の線量すなわち  $10^9$  ラド相当であるが、線量率  $2.8 \times 10^6$  ラド/hrは廃棄物に含まれる核種のそれを大幅に超過している。

## 3) 土壤

実際の貯蔵サイト (La Hague) からのもので、石炭質、結晶性で有機物に乏しく生物活性がほとんどない。この土に 1:1 で garden peat を加え、破碎、節分 (15 mm mesh) して使用する。

## 4) 実験装置

20 l のガラス槽 (Fig. 1) を使う。湿度を一定に保つため、底から 5 cm の位置にステンレスのクリップを置き、木綿布でカバーし、槽底の水が毛細管でこの布に上がり、その上の土を温めらせる。固化体は土の 9 cm の層におかれ、土で完全に覆う。

蓋には、水と空気泡を規則的に供給する管、好気菌のため空気を導入するタップ及びガスの抜け口または空気出口のため

3つの孔がある。好気のテストのために、すべてのタップを開き、槽の底と土の表面に空気を想則的に導入する。嫌気的ためには、タップを開じ、不活性雰囲気がArガスの想則的なパーティクル保持される。

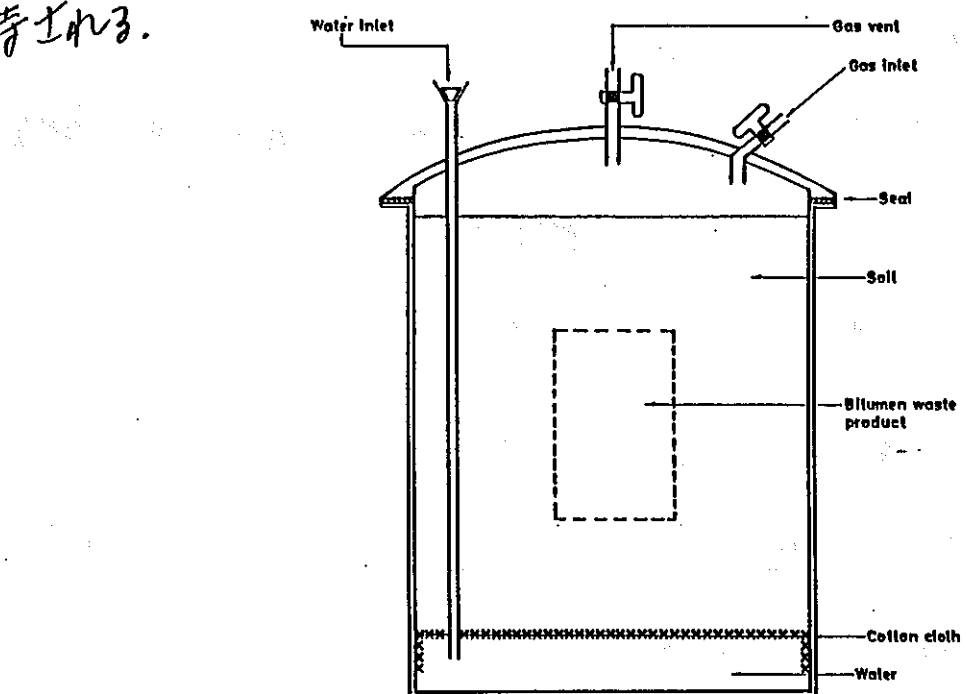


FIG.1 DETAILS OF GLASS ENVIRONMENTAL CHAMBER

### 5) 土壌の微生物学的分析

土の全般的な生物学的activityを評価するため、ATP(Adenosine triphosphate)の量を測定する。ATPは生きている有機体のエネルギーを貯蔵・輸送する分子で、生きている細胞に特徴的なものである。

特定の酵素、ルシフェリンーエラーゼ<sup>(注1)</sup>、に接触すると、ATPはそのエネルギーをフォトトーターで測定されるフotonの形で放出する。

---

注1) 発光素 ルシフェラーゼの触媒作用の基質 注2) 発光酵素

Hagueの土壤と、それをピートとの混合物についての分析結果を  
次表に示す。

	La Hague soil	La Hague soil + peat
ATP, μmoles/g of dry matter	$1.8 \times 10^{-5}$	$2.4 \times 10^{-5}$
Total organisms	$3.1 \times 10^7$	$5.7 \times 10^6$
Number of organisms/g of dry matter		
Azotobacters	$4.7 \times 10^3$	$3.2 \times 10^2$
Clostridia	$0.9 \times 10^2$	$3.2 \times 10^3$
Nitrosating bacteria	93	191
Nitrifying bacteria	41	$3.2 \times 10^3$
Ammonizing bacteria	$4.6 \times 10^5$	$5.7 \times 10^5$
Nitrate-reducing bacteria	$4.7 \times 10^2$	$3.2 \times 10^4$
Aerobic cellulolytic bacteria	-	-
Anaerobic cellulolytic bacteria	$1.2 \times 10^3$	$2.6 \times 10^5$
Fungi	$1.0 \times 10^4$	$1.3 \times 10^4$
Actinomycetes	$7.2 \times 10^5$	$6.3 \times 10^6$
Algae	-	-
Iron bacteria	-	-

かかる分解は、微生物が土のサンプルと接触し、固化体サンプルの表面に発達してから6ヶ月にわたり繰返される。

## 2. 基石漠的半浸出機構

—ポリマー中ににおける核種の拡散 Tassigny C De (佛原子力局)—

この研究では、半導の熱硬化性樹脂マトリックス中ににおける種々の核種の拡散係数の迅速決定法が開発されている。<sup>注3)</sup>

### 1) 拡散セルの構造

熱硬化性樹脂中の拡散は非常に遅いため、ある時間内に有意の結果を得るには極端な薄膜をつくる必要がある。

フラットな膜の両サイドを異なる電解質濃度の溶液中に浸すと濃度の高い溶液から低い溶液へ膜を通しての電解質の通過速度が測られる。

薄膜は切削研磨法およびモルティング法により作られるが、前者では min. 0.3 mm. 後者では 0.15 mm 厚の膜が得られる。

### 2) 拡散セル

Fig. 1 のように膜は膠でつける。セルの内容積は約 45 cm<sup>3</sup>.

トレーサ液を入れ、Pt線を通したら、エボキシ接着剤でシールし、装置全体を leak-tight にするため Perpex disc のトップに厚さが

<sup>注3)</sup> 拡散係数が判っていると、経時とともに放出され易い核種の量が計測できる。

約2cmにささすようにポリエスルを注入。最後にセルをトレーザーの移動を測る浴液中におく。

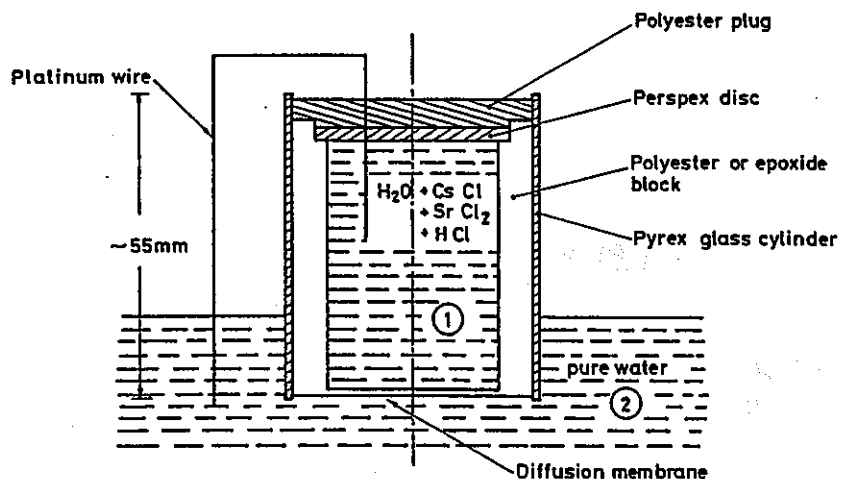


FIG. 1 DIFFUSION CELL - ACCORDING TO REF. 22

### 3) 扩散係数の决定

Fig. 2,3 は、ポリエスルおよびエポキシ膜を通して扩散する  $Cs^+$  の量を求める。これらの高分子中の  $Cs^+$  の扩散係数は約  $7 \times 10^{-13} \text{ cm}^2 \text{s}^{-1}$ 、水の扩散係数は約  $3 \times 10^{-9} \text{ cm}^2 \text{s}^{-1}$  である。

これらの結果は非常に長時間掛けて得られるものであるが、永久扩散システムからの 1 つのイオンの扩散係数はおおむね 7 〜 77 の法則に従う。Fig. 4 の  $\theta_0$  の値から、次の式より扩散係数  $D$  を求めることができる

$$\theta = \frac{e^2}{6D} \quad e: \text{膜の厚さ}$$

$D \approx 10^{-10} \text{ cm}^2 \text{s}^{-1}$  で、膜厚 0.1 mm では実験期間は数日を

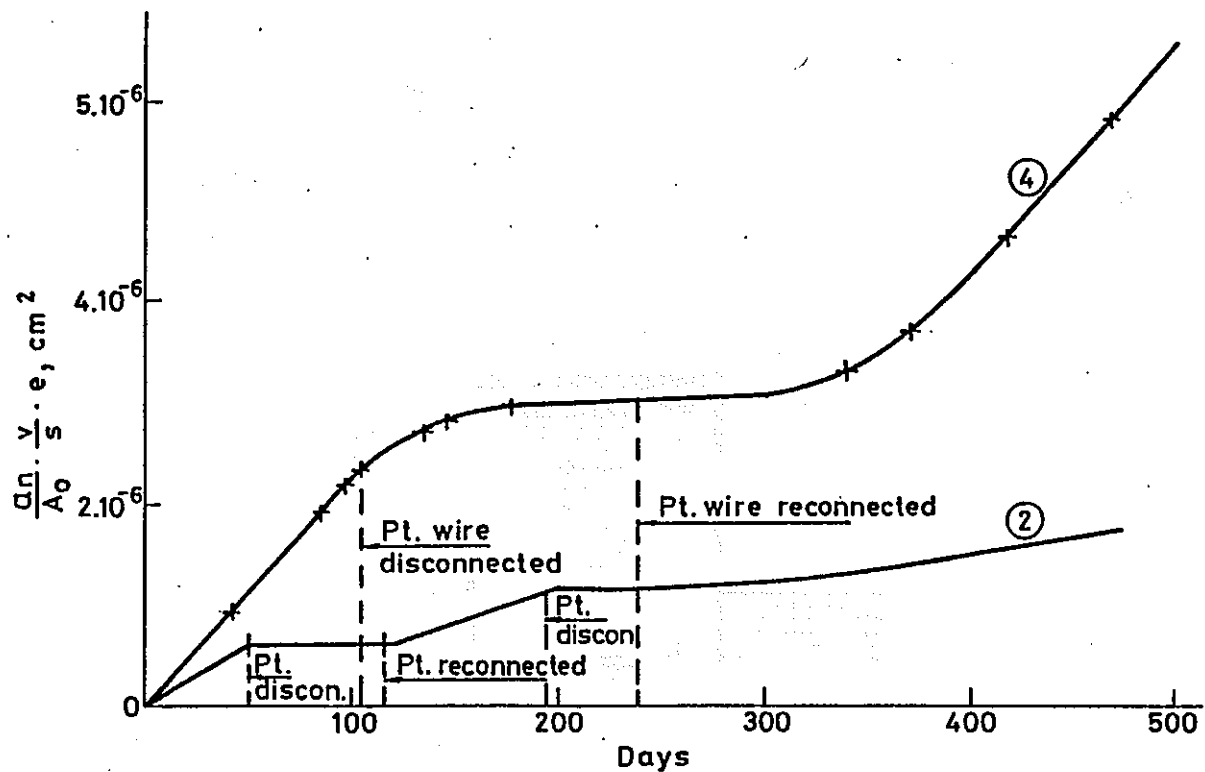


FIG.2 DIFFUSIVITY OF Cs FOR POLYESTER 4. NS 532 WALL THICKNESS =  $0.030\text{ cm}$ .  
 POLYESTER 2. NS 533 WALL THICKNESS =  $0.051\text{ cm}$ .  
 (ACCORDING TO REF. 22)

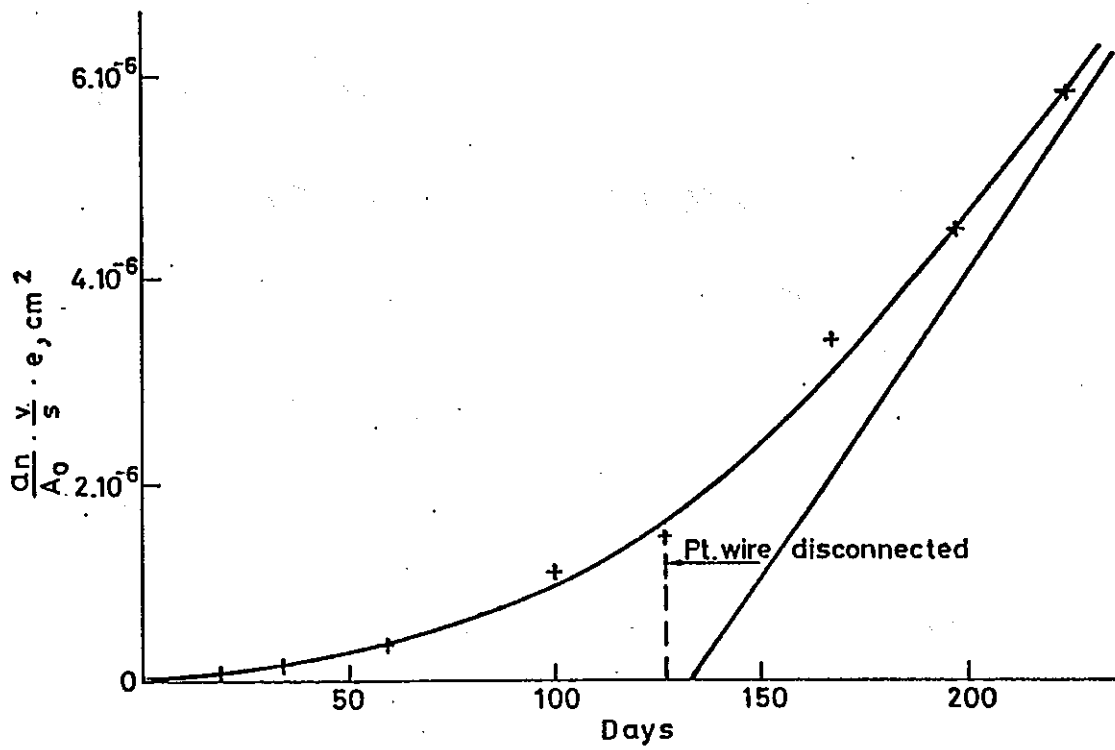


FIG.3 DIFFUSIVITY OF Cs FOR CIBA-GEIGY EPOXY XF 431  
 XF 348 WALL THICKNESS =  $0.007\text{ cm}$ .  
 (ACCORDING TO REF. 22)

要する。Fig.3は膜厚70μmであるが、この場合 $\text{Cs}^+$ の定常拡散速度は僅か200日で得られている。

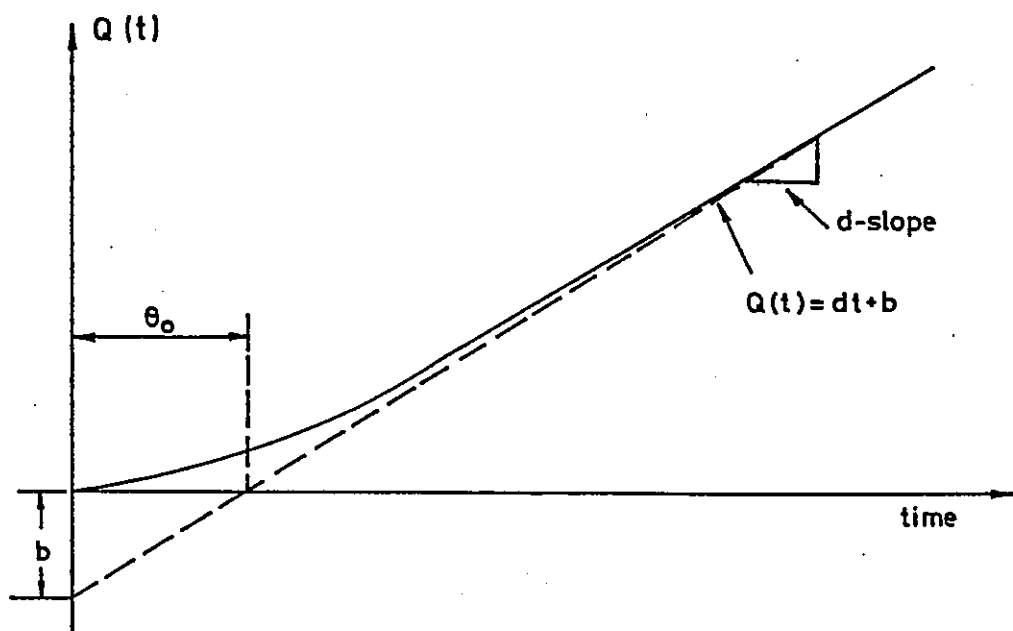


FIG.4 - ACCORDING TO REF. 22.

$$\theta_0 = \frac{e^2}{6D}$$

4. 低レベル放射性廃棄物管理における固化体  
の耐候性等に関する情報

低レベル廃棄物固化体性能評価のためのフィールドライシーター注)設備 Walter M B 他 (ベテルパシフィック・システムズ社)

商用原子炉から出る低レベル廃棄物は、1962以後、認可された  
漢地層埋設サイトにて処分されている。現在、3つのサイトがあり、  
2つは乾燥した西部(ワントン州リッケラント近くのハンフォード、  
ネバダ州ピアティ), 1つは湿った南東部(サウスカロライナ州バン  
维尔)にある。低レベル廃棄物管理では、商用原子炉から出る  
液状廃棄物を固化處理して、上記処理サイトのいずれかへ船  
で運ぶのが現在一般的なやり方である。

漢地層埋設サイトにおける固化体の安定性を予見するには、  
廃棄物の周囲の土壤液中の汚染物濃度についての知見が必要で  
ある。この土壤液濃度は、通常、源泉項(source term)とされ、  
固化廃棄物中の核種濃度、浸出液生成速度、浸出液中の溶解  
化学種濃度、浸出液が土壤と接触するときに起こる溶解反応及び  
廃棄物の周囲の土壤中の水流速度のよう主要因によってきます。

---

注) 土壤中を透する水を測定し、水に溶出した物質を測定する  
装置

DOEは、浅地層埋設サイトにおける低レベル廃棄物(LLW)固化体の安定性を定量的に把握する研究計画をスタートさせている。

この計画の一歩が、フィールドスケールの固化体の浸出テストを行うのに用いられるライシーターの建設である。ライシーターを用いると固化体からの放射能の移動または移動に影響するファクターの測定も可能である。

本報告の目的は、DOEのLLW管理計画の一環としてPNLによってハンフォードサイトに建設されたフィールドライシーター設備の説明である。

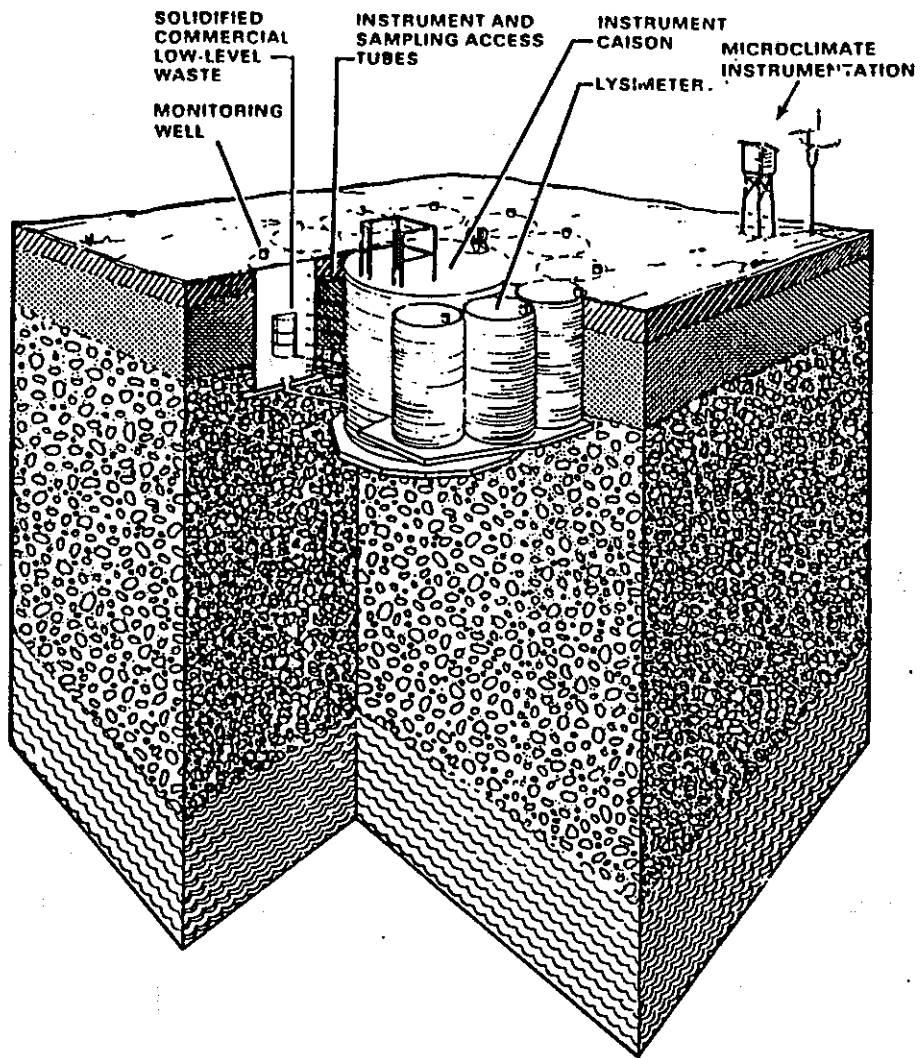
## 1. 構造

フィールドライシーター設備は、直径4m深さ4mの中央計測ケーン回りに置かれた10个の直径1.8m深さ3mの有底ライシーターシリーズ(Fig.3)。建設は'83年末に終り、計測は'84年から始まる。

中央計測ケーンには、すべてのデータとサンプリル收集装置があり、土壤と固化体の選択的サンプリングが出来ます各ライシーター中のサンプリングポートにアクセス出来る。各ライシーターからの浸出液は中央ケーンに集まり測定、サンプリングされる。

## 2. 計測設備

微気象学的計測のために、次の機器が設置されている。<sup>(注)</sup>



**FIGURE 3.** Conceptual Drawing of the Field Lysimeter Facility for the Special Waste Form Lysimeters-Arid Program

全天日射計(短波太陽放射  $0.2\sim4.5\mu\text{m}$ )

サーミスター、熱電対(地表面上  $\sim2\text{m}$  の伝熱)

風力計、風向計(風速、風向)

湿度センサ(相対湿度)

乾湿球温度計

ライシーターを通しての水の物質移動の最大ファクターである

注) 試験内は被計測項目

サイトにおける周囲の降水量は tipping bucket rain gauge で測られる。

土壤物理的計測には、熱電対と湿度プロックが設置され、熱および湿度勾配がモニタируется。他に suction candle (30cm 長さの porous ceramic tube) が、固化体の周りにおいて化学分析用の土壤-水サンプルを周期的に集める。

### 3. データ収集

モニタリングは、連続遠隔によるものと、フィールド技術者による現地データ収集の2つの方法で行われる。前者には2台の自己計測器が微気象学的・土壤物理学的データを記録し、それを磁気テープ。自己計測器のメモリーに記憶しておいて、サイト外のコンピュータから付き電話線アクセスで遅時永久貯蔵化が計られている。

後者には、中性子線プローブによる湿度データ収集がある。

### 4. ベースラインデータ

ライシーター中の土壤に関するものとしては、水分保持、導電率、粒度分布 (Table 2~4)、固化体に関するものとしては、

ノルマントンによる固化体パッケージ中の中性子測定  
固化体中の核種の濃度 (Table 5) がある。

TABLE 2. Water Retention Characteristics of the Field Lysimeter Facility Soils  
(All samples packed to 1.6 g/m<sup>3</sup> density; water content, cm<sup>3</sup>/cm<sup>3</sup>)

Sample	Saturation	Hanging Water Column					Pressure Plate		
		5 cm	10 cm	20 cm	50 cm	100 cm	100 cm	1020 cm	1530 cm
L1	0.465	0.463	0.457	0.249	0.073	0.071	0.10	0.048	0.043
L2	0.462	0.461	0.435	0.197	0.083	0.069	0.11	0.048	0.044
L3	0.389	0.386	0.368	0.144	0.088	0.072	0.09	0.049	0.045
L4	0.395	0.394	0.375	0.158	0.086	0.071	0.10	0.050	0.046
L5	0.389	0.374	0.363	0.153	0.082	0.069	0.11	0.050	0.046
L6	0.347	0.347	0.335	0.119	0.075	0.071	0.12	0.055	0.047
L7	0.397	0.389	0.382	0.145	0.089	0.077	0.08	0.045	0.044
L8	0.400	0.392	0.388	0.144	0.080	0.076	0.09	0.050	0.046
L9	0.409	0.405	0.397	0.209	0.097	0.081	0.09	0.051	0.049
L10	0.382	0.380	0.370	0.162	0.094	0.082	0.09	0.049	0.049

TABLE 3. Hydraulic Conductivities of the Field Lysimeter Facility Soils

Sample	Hydraulic Conductivity (cm/s)
L1	2.19E-03
L2	2.80E-03
L3	2.50E-03
L4	2.02E-03
L5	2.22E-03
L6	2.66E-03
L7	2.92E-03
L8	2.15E-03
L9	2.35E-03
L10	2.43E-03

TABLE 4. Particle-Size Analysis of the Field Lysimeter Facility Soils

Sample	Soil Type (%)		
	Sand	Silt	Clay
L1	90	9	1
L2	91	7	2
L3	91	7	2
L4	92	6	2
L5	93	5	2
L6	92	6	2
L7	93	5	2
L8	93	5	2
L9	95	3	2
L10	96	3	1

TABLE 5. Radionuclide Concentrations in the Waste Forms (mCi)

Lysimeter Number	Waste Type	Solidification Agent	$^{54}\text{Mn}$	$^{60}\text{Co}$	$^{134}\text{Cs}$	$^{137}\text{Cs}$
1	Boric acid concentrate	Masonry cement	0.0920	$0.491 \pm 0.055$	$6.0 \pm 1.5$	11.3
2	Evaporator concentrate	Portland Type III cement	$4.2 \pm 1.3$	89.0	<10.0	$14.6 \pm 5.4$
3	Evaporator concentrate and ion exchange resin	Portland Type III cement	$7.0 \pm 1.6$	134.0	<7.4	$37.8 \pm 6.7$
4	Evaporator concentrate and ion exchange resin	Vinyl ester- styrene	$3.15 \pm 0.95$	$111.3 \pm 0.6$	<12.0	<11.0
7	Boric acid concentrate	Masonry cement	0.100	$0.545 \pm 0.075$	$7.1 \pm 1.8$	13.2
8	Evaporator concentrate	Portland Type III cement	$5.3 \pm 1.3$	90.4	$1.53 \pm 0.74$	$16.5 \pm 5.4$
9	Evaporator concentrate and ion exchange resin	Portland Type III cement	$7.00 \pm 0.63$	$154.0 \pm 12.0$	$2.34 \pm 0.27$	$19.4 \pm 1.7$
10	Evaporator concentrate and ion exchange resin	Vinyl ester- styrene	$4.4 \pm 1.0$	$131.2 \pm 0.5$	<6.3	<20.0

RW-2 RISO-M-2273

'82

## アスファルト表面に堆積した放射能の

### 風化作用と汚染除去 L. Warming (Risoe National Lab., Denmark)

表面上に堆積した放射性物質による汚染レベルは半減期で示されるように或る速度で減少する。戸外ではこれに風化作用による津化が加わり、また汚染除去手段をとることも出来る。その成否は、表面状態と放射性核種に依存している。

Galeによれば 土壌中の Cs-137 の風化作用は、次式で表わされる。

$$W(t) = A \exp(-\lambda_1 t) + (1-A) \exp(-\lambda_2 t)$$

A は汚染の風化による移動・消失部分、 $\lambda_1$  は比較的短い半減期に相当する部分に対応し、 $\lambda_2$  は長期部分に対応している。

Ritchie は汚染したアスファルト表面での暴風雨の影響を調べた。アスファルト表面は、

$30 \mu\text{l}/\text{cm}^2$  の水を含むことが出来るので、 $3 \text{mm}$  以上の降水量がないと、雨水が“吸収されずに表面を流れれる状態（以下ランオフ）にならないことを見出した。

Table 1 はデンマークにおける降雨強度である。表から雨が降ったとしても、 $3 \text{mm}/\text{h}$  以上の確率は、僅か 3% に過ぎず”ランオフによる効果は期待出来そうにない。

原子炉事故を想定して、問題となる核種を

TABLE 1 : Precipitation intensities for the period 1970-1975,  
1978. In total 61300 h. (Gy80).

Time (h)	Precipitation intensity (mm/h)	Percentage of precipitation time	Percentage of total time
1(max)	21.4	0.02	0.002
3	> 16	0.07	0.005
5	> 15	0.11	0.01
6	> 12	0.14	0.01
10	> 10	0.23	0.02
13	> 9	0.29	0.02
16	> 8	0.36	0.03
21	> 7	0.48	0.03
34	> 6	0.77	0.06
44	> 5	1.00	0.07
67	> 4	1.52	0.11
131	> 3	2.97	0.21
287	> 2	6.5	0.47
814	> 1	18.4	1.33
4415	> 0.1	100	7.2
4128	< 2	93.5	6.73

Table 2 と 3 とに示した。Cs, Ru, Ba の寄与が大きい。  
実験としては Rb-86, Ru-103, Ba-140 が適している。

ルビ"ジウム-86 は セシウムと同族で 挙動も非常に似  
ている。半減期 18.7d、 $\gamma$ 線放射定数、 $\Gamma = 0.05 \text{ R/h m}^2/\text{Ci}$   
である。Ru-103 は Ru-106 の第二世代で Ru-106 の代り  
に用いる。39.4d,  $\Gamma = 0.275$ 。Ba-140 の 第二世代は  
La-140 である。40.3d,  $\Gamma = 1.170$  となっている。

TABLE 2 : BWR 2 - Event. Pasquill F, m, wind velocity 5m/s,  
deposition velocity : 2 cm/s. (Me81).

NUCLIDE	Dose contribution in %		
	0-7d	0-30d	0-30y
Ru-106	2	4	8
I-131	21	19	2
I-132	33	20	2
Cs-134	4	8	17
Cs-137	3	4	63
Ba-140	19	32	5

TABLE 3 : BWR 3 - Event. Pasquill D, wind velocity 10m/s,  
deposition velocity : 2 cm/s. (Me81).

NUCLIDE	Dose contribution in %		
	0-7d	0-30d	0-30y
Ru-106	3	7	21
I-131	5	6	1
I-132	69	54	9
Cs-134	2	4	13
Cs-137	1	2	49
Ba-140	5	10	2

注1)  $\gamma$ -exposure constant ;  $\gamma$ 線放射定数

実験条件としてまず試験の対象としたアスファルト地域の特性について述べる。Fig. 1はRiso半島の一部である。実験は1-4の番号を付した地域で行い、アスファルト敷設後の至過年数はTable 4(次頁)の通り1週間から24年までとある。No.1はビルの隣接地、2と3とは広い開放地、4は10m木立の並木道で、また1,2は駐車場、

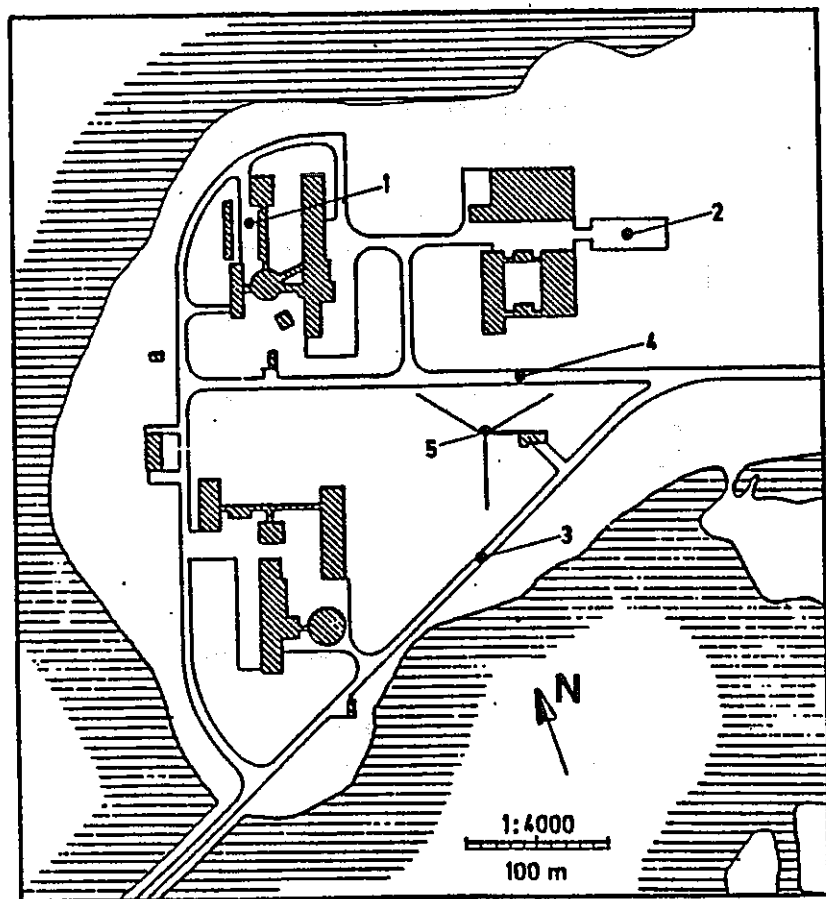


FIG. 1.: Map of Riso's peninsula with the experimental areas indicated (1-4). 5 is the meteorological tower from where all meteorological data are obtained.

3,4は道路である。道路の最大勾配は3E-3ラジアン、路傍に水が流れるように湾曲している。

気象条件、特に降雨については既にTable 1として掲げた。種々の条件下での実験とするため、模擬堆積物の散布を2年間乞期間にわたって行った。

Table 5のNo.4は氷雪を伴う冬期の実際条件で実施したものである。

乾燥あるいは降雨条件での堆積をシミュレーションすることは、非常に難しい。放射性物質を水に溶かし、それをアスファルト表面に、1l/minの水量(1mmの降水量に対応)で散水したところ、濡れたかランオフは起らなかった。この方法は実際の乾燥下あるいは降雨下での堆積いづれとも云えないが、2,3日後の状態はどちらにも相当している。

TABLE 4 : Age of asphalt areas.

Area no.	Age
1	20y
2	3y
3	24y
4.1	24y
4.2	1w
4.3	1y

汚染変化の追跡のために、 $\gamma$ 線放射能を測定した。  
汚染地域のアスファルト上に5~8ヶの点で目印を  
つけ、その点上1mの位置で測った。  
測定頻度は 核種、天候などの他の実験条件に  
依存した。測定機器による誤差を限定するため、異  
なる2つの機器で 同一点の測定をした。天候のデータ  
は 実験地域に近い Risø 測候所から入手した。  
得られたデータについては 次のように考へている。  
汚染地域の面積は 3~10  $m^2$ で、測定はすべて真上  
で行っている。exposure rate の減少は そのものの崩壊  
移動・消失とによると見做す。この移動・消失は 表面  
でのランオフ、表面への滲透または再浮遊であろう  
。アスファルト中に入り込むと、アスファルト  
が放射能を遮蔽して exposure rate は予想より速かに低  
下すると推測した。

風化と 汚染除去法の研究が主目的であるが、  
汚染地域を通過する交通の影響にも注意を払うこと

も重要である。

Table 5 に 金集験結果を 其験の年代順で並べた。  
 Gale の式で用いる平均値の計算では 10 日以下の実験を  
 除外した。移動・消失部分と風化半減期との関係を Fig 2(次頁)  
 に示す。移動・消失部分の大きい地域での風化半減期

TABLE 5 : Results of weathering and fire-hosing.

Exp. no.	Area	Nucl.	Weathering			Fire-hosing		
			Removed %	Observ period d	Tw d	Removed %	Age d	
1	1	Rb86	67	5	3	25	21	
2	2	Rb86	60	27	21	-	-	
3	3	Rb86	32	54	70	11	25	
4	4.1	Rb86	66	22	14	-	-	
5	2	Rb86	29	2	4	60	2	
6	4.2	Rb86	22	2	6	-	-	
			57	19	15	-	-	
7	3	Ru103	30	35	50	-	-	
			22	30	75	20	137	
			35	65	95	20	30	
		Rb86	18	50	200	25	65	
			19	30	100	5	179	
			27	30	65	15	21	
8	3	Rb86	14	37	187	21	28	
			12	24	140	-	-	
			14	10	49	5	37	
			14	10	49	7	10	
			8	4	33	9	10	
9	3	Ba140	20	32	70	40	4	
			44	8	37	-	-	
			0	22	-	50	8	
		Rb86	7	8	76	-	-	
10	4.3	Rb86	17	18	66	30	8	

Average removed  $29\% \pm 18\%$

Average half life Tw

$79d \pm 55d$

は短く、何もながった地域ではほとんど"移動・消失"が"起つて  
いなさい。

Table 6 と 7 (何れも次頁) は、データを地域と核種に分  
けて分析したもので、道路表面への依存性は見られるが、  
核種への依存性は予想外に小さい。Gale の式の常数  
として、 $A = 0.29 \pm 0.18$  及び  $\lambda = 8.8 \times 10^{-3} / d$  を与えると  
 $T_w = 79 d \pm 55 d$  となる。但し、比較的短期間の実験  
では、長期風化(第2項)はわからないので、長期風化による  
半減期は Gale の 23 年に等しいと仮定している。

雨は、風化にとって最も重要な要因である。  
3 mm/hr 以下の軽い雨は、主としてアスファルト表面

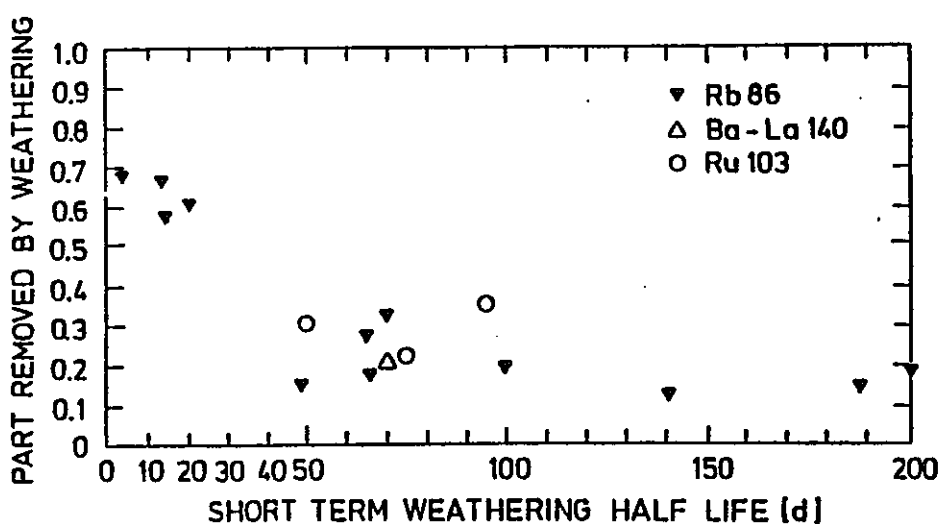


FIG. 2.: Weathering efficiency plotted against the weathering half-life.

で”の化粧反応をなすけるが”表面から殆ど”何も移動させない。しかし汚染後間もなく強い雨( $20 \text{ mm/h}$ 以上で計 $3 \text{ mm}$ 以上)が降ると、放射性物質は $15\%$ 程度除去される。Table 8 ～ No. 3 (Fig. 1) 地点での強雨

TABLE 6 : The weathering half lives dependence of nuclides and asphalt areas, (d),  $\pm$  experimental deviations; in bracket: number of observations.

Area	1,2,4.1, 4.2,4.3	3	All
Nuclide			
Rb86	$29 \pm 25$ (4)	$107 \pm 61$ (8)	$81 \pm 63$ (12)
Ru103			
Ba-La140	-	$73 \pm 18$ (4)	$73 \pm 18$ (4)
All	$29 \pm 25$ (4)	$96 \pm 53$ (12)	$79 \pm 55$ (16)

TABLE 7 : The weathering efficiency dependence of nuclides and asphalt areas, (removed activity in %),  $\pm$  experimental deviations; in bracket: number of observations.

Area	1,2,4.1, 4.2,4.3	3	All
Nuclide			
Rb86	$50 \pm 22$ (4)	$19 \pm 7$ (8)	$29 \pm 20$ (12)
Ru103			
Ba-La140	-	$27 \pm 7$ (4)	$27 \pm 7$ (4)
All	$50 \pm 22$ (4)	$21 \pm 8$ (12)	$29 \pm 18$ (16)

TABLE 8 : Effect of a heavy rainshower. The areas are listed according to their relative position on road "3".

Nuclei	Removed(%)	Age(d)
Ru103	10	50
Rb86	11	13
Rb86	15	6
Ru103	7	15
Ru103	15	10
Rb86	15	27

Average removed: 12%

による汚染除去効果を例示した。

汚染至過日数の異なる6地点についてのデータは、明らかに汚染除去が起つていることを示している。

汚染地域での風や交通は 放射性物質を浮遊させる。これを調べるために汚染地域の風下の地点も含め、数箇所の大気試料を採取した。検出された Rb の量は極めて小さく ( $10 E-10 \text{ Ci/m}^3$  以下)、従って再浮遊は、放射性物質の移動には殆ど影響がない。Riso の Health Physics Department の実験も同様のことを確めている。

実測と計算との比較で、放射性物質が表面に滲透するのを確かめることは出来なかったので、表面での移動だけが起ると仮定するのが合理的である。

交通は それ程遠くまでとはいいかないが、道路沿いに物質を移動させる。汚染道路地域通過直後及び  $100m$ 、 $1000m$  通過地点での靴、自転車及び自動車タイヤの汚染レベルを測定した。靴と自転車タイヤでは  $100m$ 、自動車タイヤでは  $1000m$

地点で汚染は見出されなかった。また、この道路での汚染の広がりを調べたところ、通行の下流側5~10mに、或る程度の汚染が見られるが、30m地点では、ほとんど見出されなかった。従って、車等の移動に伴って、持ち出される分と、持ち込まれる分とが埋合せになり、交通による物質の移動は余り重要でないことになる。さらにまた、交通による汚染の広がりは、天候、道路の表面状態および堆積後の時間経過に依存するところが大きい。

汚染除去のため 種々の方法を試みたが、消防ホースによる注水が最も有効かつ現実的であることがわかった。注水は集中ビームのCホースを用い、地域の広さに応じて、例えば7m中の道路に対し3本のホースで交互に注水した。水量は $200\text{ l/min}$ 、清掃速度は100および $200\text{ m/h}$ である。

結果は Table 5(既出)第3欄に表示されている。汚染後注水迄の経過期間と除去率との関係を Fig.3(次頁)に示した。

Rb-86 の注水による除去量は、もとより堆積から注水迄の時間に依存しているらしい。これは Fig. 2 の風化半減期と除去率との関係と対応し、Rb とアスファルト間で、Fig. 2 の場合と同じ化学反応が“起つた”ことによるものである。

Ru-103 に対する注水効果は、汚染至過期間に関わりなく、3 回とも約 20% の除去率である。第 2 回目の注水も効果がない。

Ba-La-140 の場合、Rb 以上に動き易いと思われるが、実験はただ 1 回だけであり、観測結果のバラツキが大きく結論が出せない。

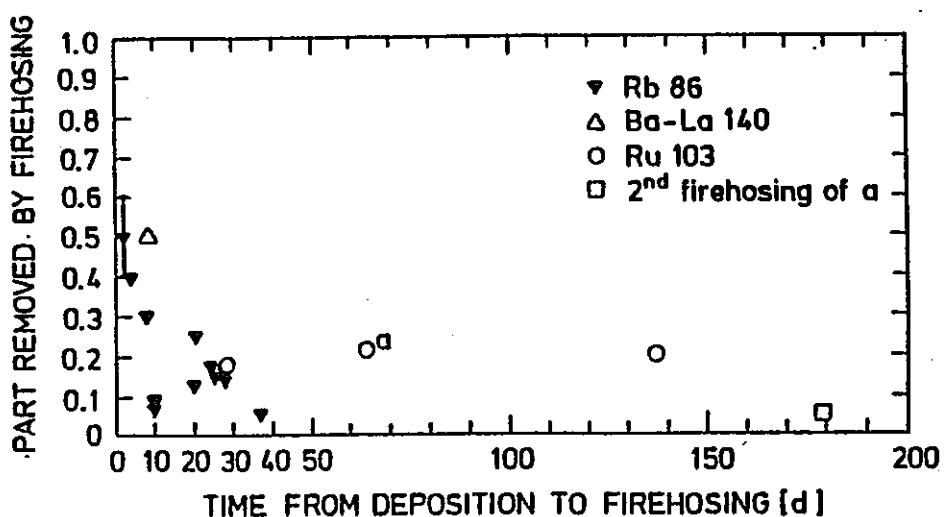


FIG. 3.: Efficiency of fire-hosing plotted against age of contamination.

カリ肥料にイオン交換による Rb 除去の改良を期待して  
4 地域でその水溶液を散布した。しかし 濃縮に関する  
効果も、風化の促進も見られなかった。

家庭用掃除器で真空掃除を実施した例があるが、  
有力な除去法とは考えられない。

以下に結論をまとめる。

原子炉の事故で放射性物質が放出され アスファルト  
表面に堆積した場合、それらは物理的な崩壊よりも  
風化のために速かに消失するであろう。風化による  
移動・消失量は雨期で 60% 以上であるが、堆積後、  
乾燥状態では 5% 以下で殆ど 移動・消失しない。

風化の半減期は、堆積時非常に多雨の時期であ  
れば、きわめて短かく、乾燥している時期では長  
い。風化の計算は、通常次式で表される。

$$W(t) = A \exp(-\lambda_1 t) + (1-A) \exp(-\lambda_2 t)$$

この実験で  $A$  は約 30%、短期半減期は凡そ 80 日、  
あるいは  $\lambda_1 = 3.2/\text{年}$  と見積られる。 $\lambda_2 = 7.5 \times 10^{-3}/\text{年}$

注2)

は文献から得られる。

消防ホースによる注水は、特にルビージウム(セシウム)に対して効果があり、数週間至過後よりも堆積直後の方がよい。

実験結果によれば、ルビージウム/セシウムは数週間至過するとアスファルト表面にかなり強く結合するが、~~バリウム~~ラジウム及びルテニウムは表面と化学反応していないようで動き易い。

---

注2) Gale, H.J. et al: Weathering of Cesium-137 in Soil. Nature 201 (1964) 257

RW-3 RISO-M-2473 '84

コンクリート表面にたい積した放射能の  
風化作用と汚染除去 L. Warming (Risoe  
National Lab., Denmark)

ウェザリングとは、ここでは天候、交通、通常の道路掃除のような戸外条件の作用によって、汚染表面から(放射)線量が減少することを意味している。

以前アスファルト道路上に沈降した核分裂生成物に関する一連の実験を報告した(Warming 82)。

かなり以前に Gale らは土壤中の Cs-137 のウェザリングについての観測結果から、exposure rate を

$$X(t) = X(t=0) \cdot \exp(-\lambda t) \cdot W(t)$$

と表した。ここで  $\exp(-\lambda t)$  は放射性核種の崩壊、  
 $W(t)$  はウェザリング関数で、 $W(t) = A \cdot \exp(-\lambda_A t) + B \cdot \exp(-\lambda_B t) + \dots$ 、  
 $A + B + \dots = 1$ 、 $\lambda_A, \lambda_B$  は夫々  $A, B, \dots$  に対するウェザリング崩壊定数である。

長期実験が不可能の場合の適切な方法はウェザリング

を短期と長期との2つに分けて扱う。  $A+B=1$  とし、入Aだけ求める。入Bについて Gale は土壤中の Cs の入Bが約  $7 \times 10^{-3}$ /年であることを見出しているが、これはウザリング半減期ではほぼ 100 年に相当する。これから記述する実験でも入Bを決めるることは出来ない。事故の成行をしらべる場合には、Gale の値を用いても、 $\lambda_B = 0$  としてよい。

1983年から1984年にかけて2組の実験を行った。どちらも汚染地域は Fig. 1 の 4ヶ所である。第1回目(実験番号)

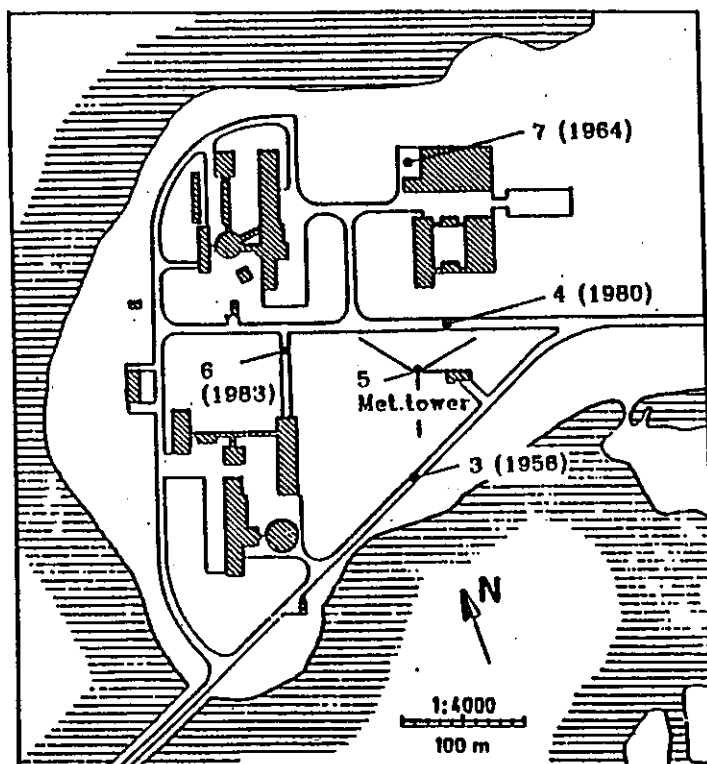


Fig. 1. Map of the Riss peninsula with the experimental areas indicated. 3 and 4 are asphalt roads (old and new, respectively), 6 is a new concrete road, 7 is an old concrete loading area and 5 is the meteorological tower from where we obtain information about precipitation.

11a-d) は、ほとんど交通のない新・旧コンクリート表面、および適度の交通量がある新・旧アスファルト表面で行った。第2回目の実験(12a-d)は、2つの新しいコンクリート表面と、古いコンクリートとアスファルトの表面で行った。この組合せで、まず"ルビ"ジウム(Rb)およびセシウム(Cs)のコンクリート上と、アスファルト上とのウェザリングの差の評価が出来る。

実験法は基本的に前報(Warming 82)と同じで、汚染物質も Rb-86 を用いた。線量測定は道路上 1m の定位置で、始めの数週間は週5回、その後は週1回測った。線量の測定値に "バックグランド" と Rb-86 および Cs-137 の崩壊による補正を施し最初の汚染線量との比をとる。

Fig. 2-9 は 相対線量を示してある。No. 11 は僅か 72 日間の実験で、この期間内に短期ウェザリングは終了しないことがわかったので、No. 12では、線量が "バックグランド" に殆ど接近する迄期間を延長した。

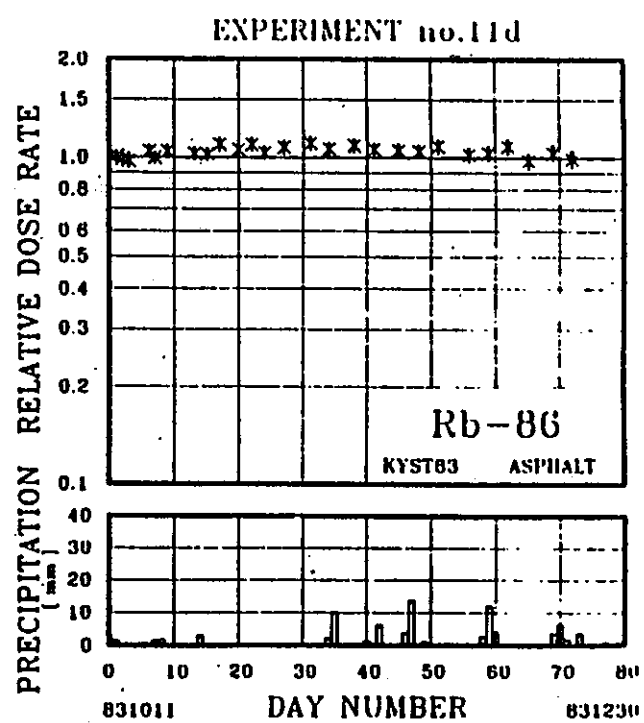
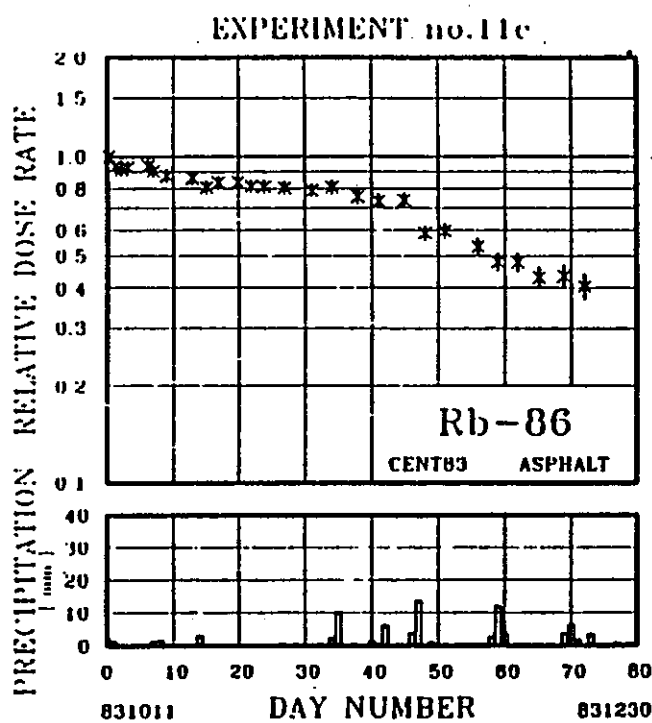
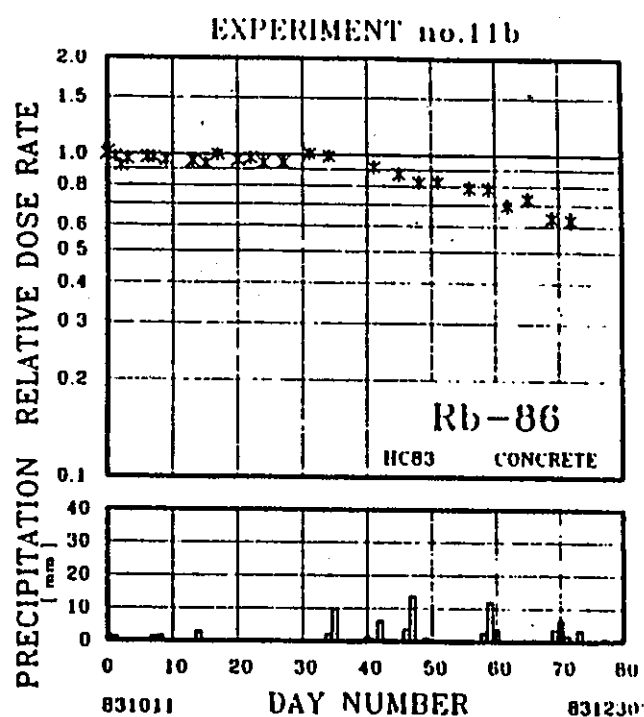
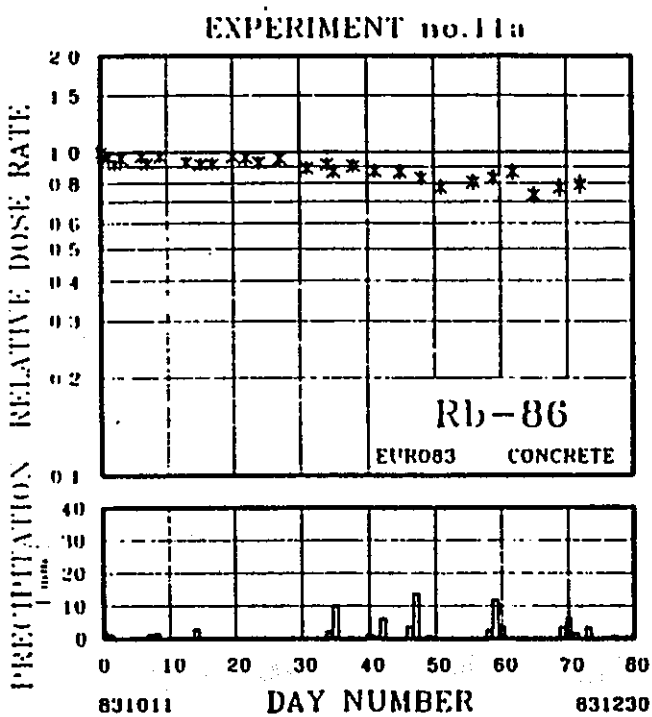
測候所の降雨データを、Fig. 2-9 の下欄に示した。2つの実験期間の降雨状況に共通している点は、最初の30-40日間、雨が殆どないことである。

既報の実験 (Warming 82) では汚染は比較的表面に固定されていたが、今回は多少異なっている。非常に古い道路の 11d と 12d 以外では幾分強い雨が降り始めると、線量比は明らかに減少した。

Table 1 に線量の減少と風化定数を示すが、測定値を統計的に処理するには少々過ぎる。

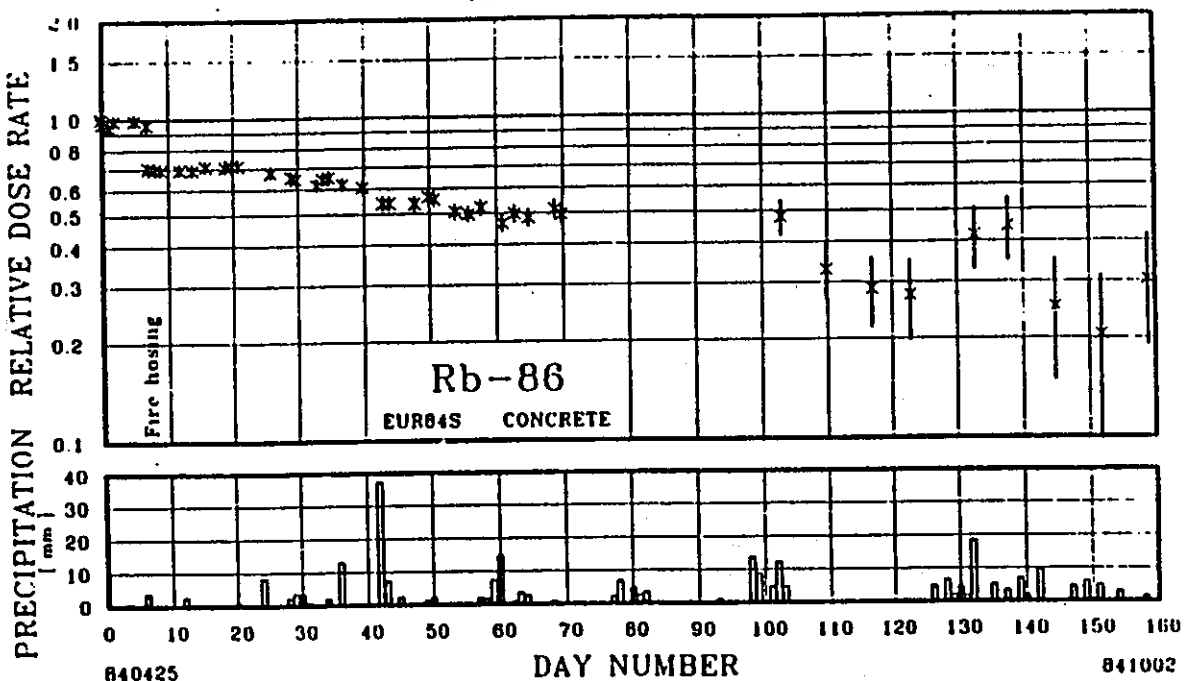
Exp. Area No.	Surface No.	Surface Material	Age of Surface y	"A" Weathering Fraction	Weathering Half life d	$\lambda_A$ Weathering Constant $d^{-1}$
11a	6	Concrete	0.1	>.25	205	$3.4 \cdot 10^{-3}$
11b	7	Concrete	19	>.35	140	$5.0 \cdot 10^{-3}$
11c	4	Asphalt	3	>.60	60	$12 \cdot 10^{-3}$
11d	3	Asphalt	27	0	"	0
12a	6	Concrete	1	.54	107	$6.5 \cdot 10^{-3}$
12b	6	Concrete	1	.60	100	$6.9 \cdot 10^{-3}$
12c	7	Concrete	20	.40	84	$8.3 \cdot 10^{-3}$
12d	3	Asphalt	28	0	"	0

Table 1. The observed dose reductions and short term weathering half lifes. The area numbers correspond to those given on fig. 1.



**Fig. 2-5.** The change in the relative dose rate due to weathering  $W(t)$ , as obtained in the first set of experiments (october to december 1983). Each figure shows the data for one area together with the rainfall in the observation period.

EXPERIMENT no. 12a



EXPERIMENT no. 12b

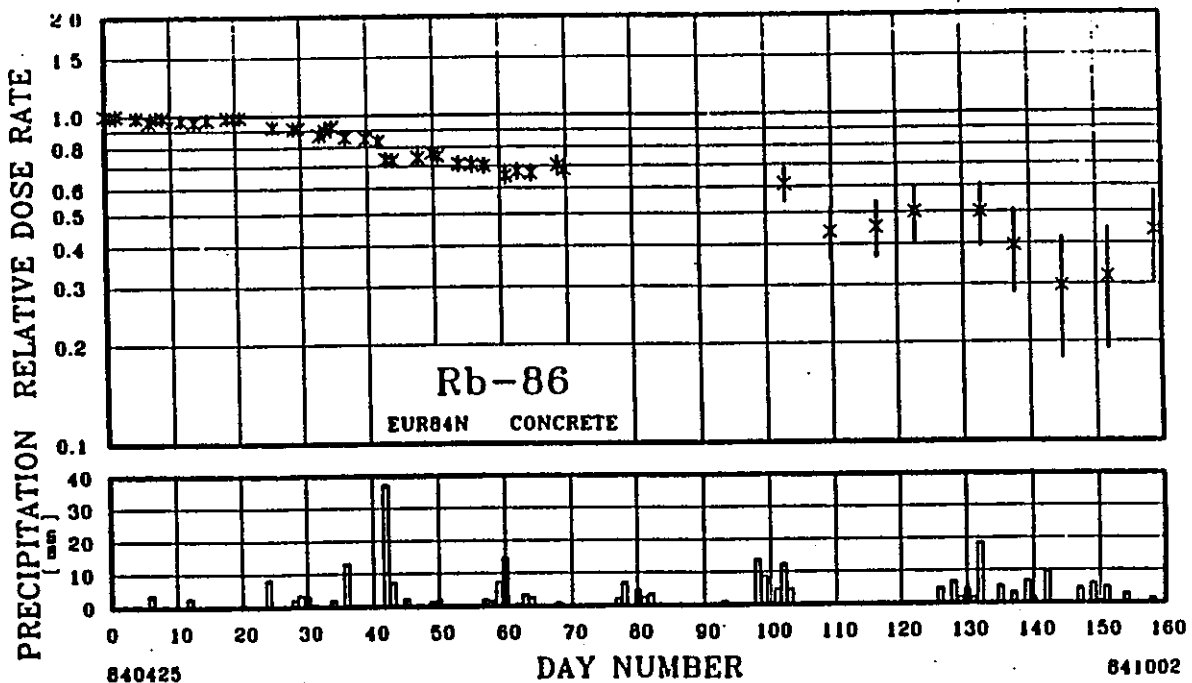
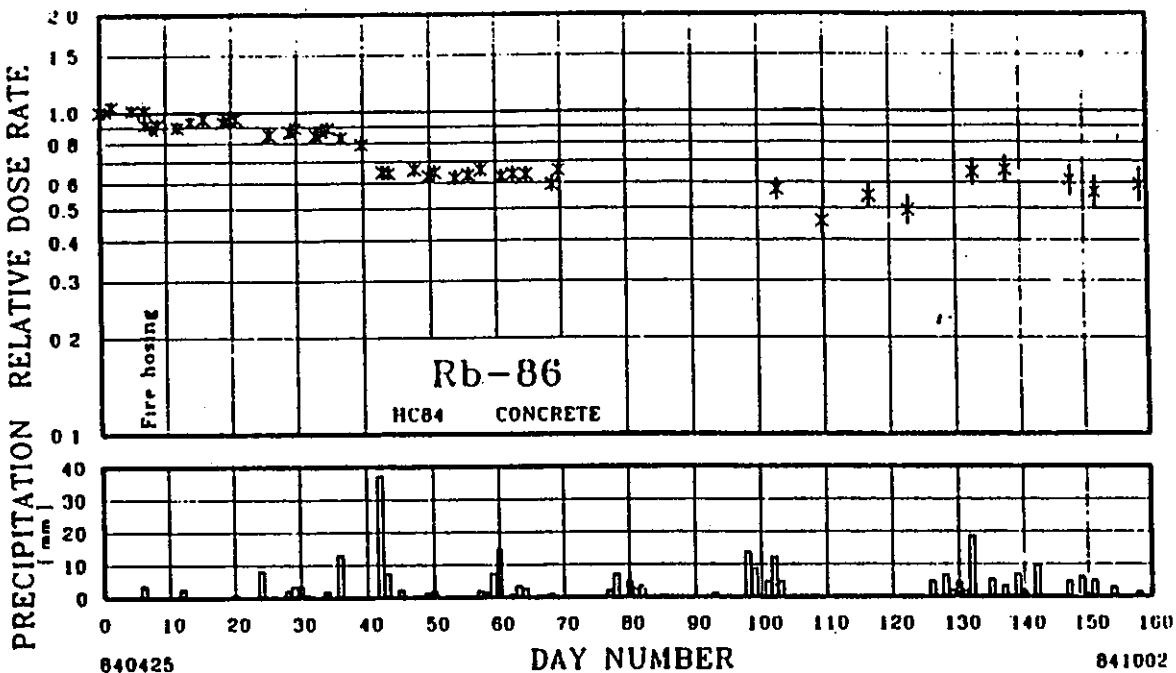


Fig. 6-7. The change in the relative dose rate due to weathering,  $W(t)$ , as obtained in the second set of experiments (april to october 1984). Each figure shows the data for one area together with the precipitation in the period. In experiment 12a the area was firehosed on the seventh day.

EXPERIMENT no.12c



EXPERIMENT no.12d

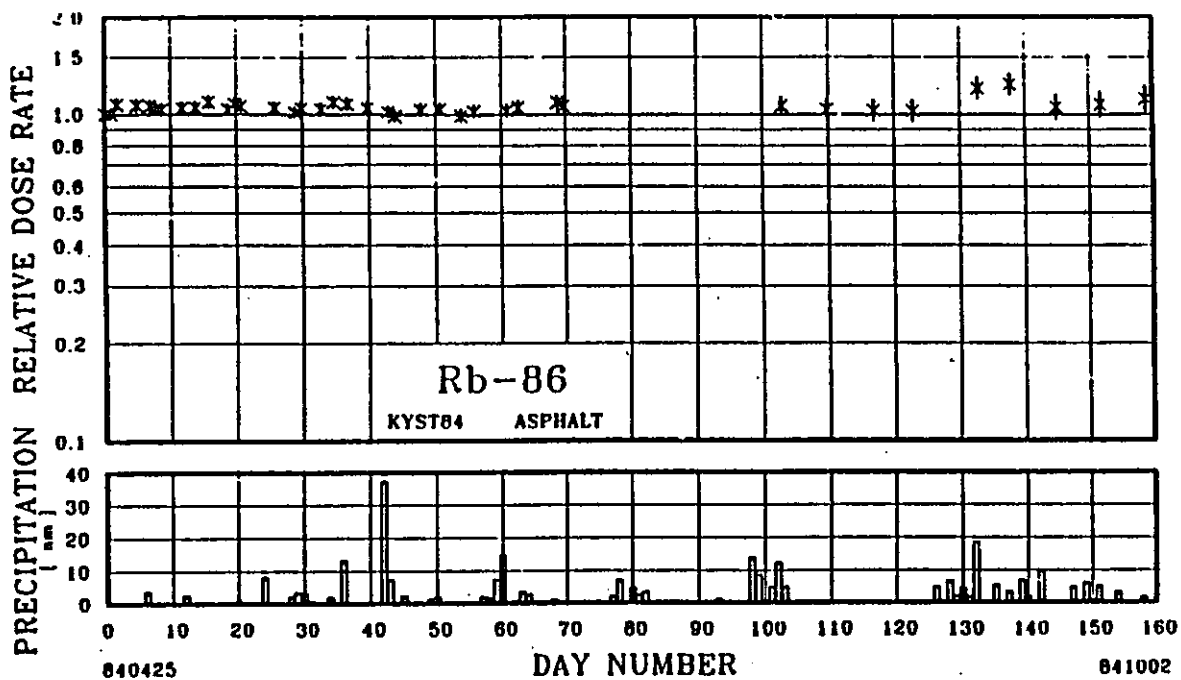


Fig. 8-9. The change in the relative dose rate due to weathering,  $W(t)$ , as obtained in the second set of experiments (april to october 1984). Each figure shows the data for one area together with the precipitation in the period. In experiment 12c the area was firehosed on the seventh day.

コンクリート 2 地域に対して、消防ホースによる注水で汚染の除去を試みた結果を 線量減少として Table 2 に示した。Table 1 の 12a と 12b を比較すると、A 係数と ウエザリング定数( $\lambda_A$ )との数値は、夫々非常に近い。これは 12a の注水が「その後の ウエザリング」に何等影響しなかったことを示している。

結論は、次のようになる。先行の一連の実験同様、今回も結果の変動が大きく、しかもデータはコンクリートでわづかに 5 個、アスファルトでは 3 個であることから、結論をまとめることは慎重にならざるを得ない。新コンクリート表面は、新アスファルト表面同様、古いものよりも汚染物質をはじめ性質に富む。1 年至過のコンクリート

Exp. no.	Area no.	Age of Contamination	Decontamination Factor
12a	6	7d	1.3
12c	7	7d	1.1

Table 2. Results of Forced Decontamination by Firehosing.

注1)

は、最大で 60% が "100 日の半減期で" ウエザリングにより取り去られた。新アスファルトの場合、半減期 60 日で 60% が除かれる。

古いコンクリート表面 (11b と 12c) は、相応する古いアスファルト表面 (11d と 12d) よりも A 係数が大きい。後者は全くウエザリングの徴候を示さない。消防ホース注水によるコンクリート表面汚染の強制除去は、非常に効果的であるとの結果は得られなかった (線量減少 25% 以下)。しかし、注水はその後のウエザリングに影響を与えない。これは多分コンクリート表面の水が、アスファルトの場合と異って、表面と Rb および Cs 間の化学反応を助長しないためと思われる。

---

注1) 原文は以下のとおり。half life を半減期とするに止めた。

For 1 year old concrete a maximum of 60% of the contamination is weathered away with a half life of 100 days. For young asphalt 60% is removed with a half life of 60 days

## 5. あとがき

各種データベースを用いた機械検索及びそれに引き続くマニュアル抽出の結果、①アスファルト及びプラスチックの微生物分解等に関する一般情報については17件、②同材料の耐候性等に関する一般情報については34件、③アスファルト固化体及びプラスチック固化体の微生物分解並びに④同固化体の耐候性についてではそれだけ15件と7件、計73件の主要技術情報が収集できた。①項のうち、微生物以外の生物による侵食等に関するものは2件のみであった。

主要情報を内容別にみると、①及び②項については、プラスチックに関するものが、③および④項については、アスファルト固化体に関するものが多い。

なお、固化体の長期的健全性については、評価するに十分なデータが整備されておらず、評価方法も未だ確立されていないよう思われる。

## 付 錄

### 1. アスファルト及びプラスチックの微生物分解等に関する一般情報

#### (1) A ランク情報

C80213368

##### B-1 合成高分子の生分解

Biological degradation of synthetic polymers.

KÜSTER E (Univ. Giessen, FRG)

B612A (0570-4898) Appl Polym Symp NO.35 PAGE.395-404 '79

(J) (A1) (EN) (USA) (表 1 参 61)

可塑剤、安定剤、染料及びその他の添加物は微生物の攻撃に弱い、高分子と微生物の化学的、物理的作用の関係を広く検討。微生物、菌、バクテリヤのあらゆる種類はプラスチック表面上で成長し、望ましくない害を与える。

C88192864

##### B-2 可塑化PVCの生物分解とその防止

The biodeterioration of plasticized PVC and its prevention.

BESSEMS E (Akzo Chemie America, NJ, USA)

C979B J Vinyl Technol VOL.10, NO.1 PAGE.3-6 '88

(J) (B2) (EN) (USA) (写図 3 表 2 参 4)

微生物は標題重合体(I)中の可塑剤を炭素源として使い、水や酸素のような好都合な生育条件があると成長が促進される。浸出実験に用いた水の温度は I 薄膜表面でのかびの成長速度に明らかに影響する。可塑剤はタイプによりかびの作用の受けやすさに差があり、数種の群に分類できる。薄膜表面での微生物中ではかびが優勢。I の製造時に添加する殺菌剤は防かび作用を持たねばならない。10,10'-オキシビスフェノキシヒ素(II)は防かび性が大きく、非常に低濃度でも薄膜表面でのかびの成長を防ぐ。IIの膜表面へのマイグレーションは、主として、薄膜製造時の処方で決まる。IIの推奨使用量は I の用途に応じて決めるべきである。

VH02050K (678.019.3/.6)

可塑化；ポリ塩化ビニル；微生物分解性；軟質材料；可塑剤；水；酸素；増殖；成長促進；温度依存性；薄膜；高分子膜；かび；成長速度；殺菌薬；防腐剤；殺菌作用；成長阻害；物質移動

J79071794

B-3 プラスチックの分野における微生物による障害の実態について II

井上真由美(井上微生物災害研)

F500A ポリマー・ダイジェスト VOL.31, NO.6 PAGE.42-50 '79

(J) (B2) (JA) (JPN) (写図10参 2)

1) 材質別の微生物災害の現状, 2) 微生物災害の防止対策に関して紹介。1) は A1 はく, A1 はくと紙・プラスチックのはり合せ材, アクリルコーティング材・接着剤・コーティング剤, シリコン樹脂, エポキシ樹脂, フタル酸樹脂, ポリアミド樹脂, アルキド樹脂などについて解説。2) は殺菌剤の応用について, 留意事項と, 使用実例, 菌のこわさを説明

NK020500 (678.019.3)

微生物分解性; 劣化; アクリル樹脂; シリコーン樹脂; エポキシ樹脂

C79112835

B-4 可塑化PVCの生物分解に及ぼす土中微生物の影響 (全訳)

Effect of soil microorganisms on the biological degradation of plasticised PVC.

WOLKOBER Z, GYARMATI I, FARKAS P

D216B Int Polym Sci Technol VOL.5, NO.4 PAGE.70-73 '78

(J) (A1) (EN) (GBR) (写図 4表 3参 37)

軟質PVCをベースとする合成物質の耐生物安定性は特定の可塑剤, 安定剤の添加量に依存した。耐土中バクテリア性を高めるためには可塑剤と安定剤の選定が重要であると強調 原報 Muanyag Gumi (ハンガリー) 14 (10) (77)

NK020500 (678.019.3)

ポリ塩化ビニル; 微生物分解性; 可塑剤; 安定剤; 土壤微生物

C85022523

B-5 微生物システムとそのポリマへ及ぼす効果の評価

Biological systems and assessment of their effects on polymers.

RYSAVY P, BRODILLOVA J, POSPISIL J

(Czechoslovak Academy of Science)

D216B (0307-174X) Int Polym Sci Technol VOL.11, NO.5 PAGE.T.19-T.22 '84

(J) (B1) (EN) (GBR) (参 23)

土壤、水、廃棄物および大気中に存在する好気性、嫌気性微生物が合成有機高分子化合物の分解や劣化に及ぼす効果を、温度、湿度、大気成分などの条件の下で考察した。また、ポリマの劣化の状況を観察する方法、ポリマの構造と劣化のしやすさについて概説

YH02050K (678.019.3/.6)

好気性菌；嫌気性菌；水；土；大気；廃棄物；高分子反応；微生物分解；劣化；温度依存性；水分依存性；湿度；成分；化学組成；分子構造；文献展望；プラスチック

#0002 J88111831, L88301254

B-6 ノウサギのヒノキ食害に対するアスファルト乳剤の忌避効果について

原国紘（愛媛県林試）

Z694A (0288-3740) 森林防疫 VOL. 37, NO. 8 PAGE.145-149 '88

(J) (A1) (JA) (JPN) (写図 2表 6參 12)

愛媛県東予市河之内のヒノキ林において、アスファルト乳剤のノウサギに対する忌避効果の試験を行った。対照区の食害率77.6%に対し、処理区は7.1%で、忌避効果は顕著であった。対照区では複合食害率が高かったのに対し、処理区では単一食害率が高かった。幹の地際切断は対照区のみでみられた。葉害は全くなかった

FF02010T (634.0.1/.2)

ウサギ；ヒノキ；忌避作用；野生動物；食害；アスファルト乳剤；葉害；苗木；鳥獣害；鳥獣駆除剤

## (2) Bランク情報

C81083529

### B-7 ポリ塩化ビニルの可塑剤の生物分解

Биоразрушение пластификаторов в ПВХ.

R206B (0554-2901) Plast Massy NO.12 PAGE.13-15 '80

(J) (A1) (RU) (SUN) (写図 3参 4)

ポリ塩化ビニル中の各種の低分子量ポリエステル、高分子量ポリエステル系可塑剤の微生物分解性を検討した。エヤータンク中でのポリ塩化ビニル中の可塑剤の微生物分解性の順序はそれら可塑剤の移行性と一致する。微生物に対する栄養性は低分子量ポリエステルより高分子量ポリエステルの方がすぐれているが、移行性は低分子量ポリエステル>高分子量ポリエステルなので、ポリ塩化ビニル中の可塑剤の微生物分解としては低分子量ポリエステル>高分子量ポリエステルとなる

YH05050F (678.049.1/6)

ポリ塩化ビニル；可塑剤；ポリエステル；高分子剤；微生物分解性；移動；重合体；添加剤

[マイグレーション；重合体用添加剤]

C85082795

### B-8 ポリマの光化学分解と表面の微生物分解

Photochemical degradation and biological defacement of polymers - I.

GABRIELE P D, GEIB J R, PUGLISI J S,  
REID W J (Ciba-Geigy Corp., New York)

C596B Polym Sci Technol VOL.26 PAGE.61-70 '84

(C) (A1) (EN) (USA) (写図 3参 10)

ステレンターポリマ、ポリプロピレン、熱可塑性ウレタンフィルムについて、0.5%のビス(2,2,6,6-テトラメチル-4-ピペリジニル)セバケートや2(2'-ヒドロキシ-5'-メチルフェニル)ベンゾトリアゾール等の光安定剤を用いて、フロリダで4年間ほど太陽光暴露した。表面が光分解されなくなり、そのため微生物の繁食も防げた

YH05040U (678.048)

安定剤；酸化防止剤；耐光性；太陽光；曝露試験；光分解；微生物分解性；

抗微生物作用；ABS樹脂；ポリウレタン；ポリプロピレン；

プラスチックフィルム；表面性状；紫外線吸収剤；重合体；添加剤

ピペリジン誘導体/1；脂肪族カルボン酸/1；カルボン酸エステル/1；

ベンゾトリアゾール誘導体/2；フェノール誘導体/2

[重合体用添加剤；第二アミン；第三アミン]

C84232695

B-9 エポキシポリマ表面の微生物による破壊

Разрушение поверхности эпоксиполимеров микроорганизмами.

ЗАЙЦЕВ Ю С, БОБРОВ О Г, СТРОГАНОВ В Ф, ШОЛОГОН И М, КУНИН В И

R206B (0554-2901) Plast Massy NO.5 PAGE.26-27 '84

(J) (A1) (RU) (SUN) (参 7)

120~200°Cでイソメチルテトラヒドロ無水フタル酸, ルイス酸型潜在触媒硬化させたビスフェノールA型エポキシ樹脂の30×30×0.2cm試験片をPseudomonas55%, Bacterium15%, Bacillus10%, Sacrina2%, Funqi imperfecti 13%からなる腐生微小植物を2~3g/1含む暴氣タンクに60日浸せきした。その間グリセリン, フェノール, N, Pを含む栄養液を添加し, 全体のpHを7~8.5に保持し, 一定量の空気を吹込んだ。20日後の目視では一枚のみに表面汚染がみられたが, 比色計による機器測定ではすべての表面に微生物による異常がみられた。しかし厳密な評価には自動化を行って, 微生物も単一種を使用した長時間試験の必要がある

YH02050K (678.019.3/.6)

エポキシ樹脂; 微生物分解性; 浸せき試験; 表面性状; 破壊; 微生物汚染;

C84292769, K84101182

B-10 光酸化ポリアルキレンの微生物分解性

Biodegradability of photooxidized polyalkylenes.

CORNELL J H, KAPLAN A M, ROGERS M R  
(U.S. Army Natick Research & Development Center,  
Massachusetts)

C467A (0021-8995) J Appl Polym Sci VOL.29, NO.8 PAGE.2581-2597 '84

(J) (A1) (EN) (USA) (写図10表 5参 24)

代表的なポリオレフィンフィルムを, 石英水銀アーク, けい光灯, キセノンアーク, 太陽光を含み種々の強度とスペクトル分布を有する光源からのUV照射に暴露した。暴露されたフィルムはポリエチレン, ポリプロピレン, 増感ポリエチレン。オリゴマ分を高分子量重合体から分離し微生物学的に検討。オリゴマ分は微生物の成長をささえたが, 高分子量重合体は最小の成長を与えるか成長を与えるなかった。ポリオレフィンの光酸化分解はそれ自体微生物による漸進性攻撃を誘引しなかった。重合体中に最初から存在するオリゴマは光酸化で生成したものにより増大した。これらのオリゴマは重合体マトリックスから分離時に成長をささえた

YH01020W (678:628.4)

分解性高分子; 微生物分解性; 高密度ポリエチレン; ポリプロピレン; 光酸化; 光分解; オリゴマ; 分子量分布; プラスチックフィルム;

C86042899

B-II エポキシポリマのバイオ劣化 文献紹介

Биоповреждение эпоксиполимеров (обзор).

СТРОГАНОВ В Ф, МИХАЛЬЧУК В М,

БОБРОВ О Г, БИЧУРИНА Н А

R206B (0554-2901) Plast Massy NO.11 PAGE.32-34 '85

(J) (B1) (RU) (SUN) (参 45)

エポキシ樹脂は接着性, 耐食性, シーリング性等の特徴のため幅広い用途に使用されているが, 使用条件下での生物的および非生物的劣化要因のうち, 特に水と微生物(バクテリヤ, 菌)の影響が重要である。特に比較的高温, 高湿, 大量の有機物の存在する熱帯地区での使用時に劣化が激しい。既存の文献からみるとエポキシ樹脂のバイオ劣化は複雑な物理-化学および生物学プロセスで, 種々の環境要因に影響される。重要なものは有機物分解生成物, 微生物の生活排出物とそれらの樹脂への吸着であり, ポリマ初期構造と微生物生活排出物の吸着, 構造変化とそのメカニズムの関係を明らかにする事である

YH02050K (678.019.3/.6)

エポキシ樹脂; 微生物分解性; 劣化; 反応機構; 文献展望; レビュー;  
熱帶試験

C86012712, K86011200

B-12 工業と医学における合成ポリマの生分解知見の利用

Use of knowledge of biodegradation of synthetic polymers in engineering practice and medicine.

POSPISIL J, BRODILLOVA J, RYSAVY P

(Czechoslovak Academy of Sciences)

D216B (0307-174X) Int Polym Sci Technol VOL.12, NO.6 PAGE.T.79-T.82 '85

(J) (B2) (EN) (GBR) (参 16)

合成ポリマの生分解についての知識の応用についての解説。生分解によるポリオレフィン・PVC廃棄物の処理, 炭化水素ポリマの生物分解抵抗性の非生物的低下法, 生分解性充てん剤による炭化水素ポリマの液化の促進, 主鎖及び側鎖にヘテロ原子を含む生分解性合成ポリマ等の項目について述べた  
YH01020W (678:628.4)

プラスチック; 微生物分解性; 高分子廃棄物; 生化学的廃棄物処理;  
ポリオレフィン; ポリ塩化ビニル; 充填剤; 分解性高分子; 医用高分子  
[機能性充てん剤]

J86031135

B-13 プラスチックの微生物抵抗性試験とその評価の重要性

井上真由美（井上微生物災害研）

F500A (0386-3700) ポリマーダイジェスト VOL.38, NO.2 PAGE.68-72 '86  
(J) (B2) (JA) (JPN) (写図 2参 4)

かび抵抗性試験法については各国で種々の規定が制定されているが、いずれも完全無欠とは言い難く、被試験製品、材料の使用目的、使用期間を確かめて、上記規定のすべてを実施し、判定するのが望ましい。上記の内、BS 2011 Part2.1. J.1977の内容の要旨を紹介、説明

YH02050K (678.019.3/.6)

プラスチック；微生物分解；生物腐食；耐食性；かび；腐食試験；試験片；  
BS規格；培地；プリント基板；黒色こうじ菌；Paecilomyces属；

Penicillium属；Trichoderma属；不完全糸状菌類；抗かび作用  
[Scopulariopsis属]

J86111306

B-14 プラスチックを侵すカビ II 今後の重要課題について

井上真由美（井上微生物災害研）

F500A (0386-3700) ポリマーダイジェスト VOL.38, NO.9 PAGE.82-87 '86  
(J) (B2) (JA) (JPN) (写図 2)

プリント記線板に使用するエポキシ樹脂とガラス繊維積層板に発生するカビ、ポリエチレン製品などに発生するカビについての実例を紹介し、ソ連国家規格GOST 9049-75による試験法、井上微生物災害研究所創案によるカビ抵抗性試験法を述べ、これによる塗装面、プラスチック製品の試験法の実施およびその成果を説明

YH02050K (678.019.3/.6)

プリント基板；プリント配線；エポキシ樹脂；積層材料；ガラス繊維；  
強化プラスチック；複合材料；かび；微生物分解；ポリエチレン；  
GOST規格；耐食性；腐食試験；Paecilomyces属；黄色こうじ菌；  
黒色こうじ菌；Chaetomium属；Penicillium chrysogenum；  
Trichoderma属

C88042761

B-15 可塑化PVCの微生物劣化とその防止

The biodeterioration of plasticized PVC and its prevention.

BESSEMS E (Akzo Chemie America, NJ, USA)

H492A Soc Plast Eng Annu Tech Conf VOL.45th, NO.45th PAGE.632-635  
'87

(C) (A1) (EN) (USA) (写図 4表 2参 5)

屋根やプールライナなど水と接触する場所に使用されるPVCフィルムが、かびで攻撃されて侵される問題を検討するために、可塑剤の種類や温度の効果を調べた。PVC：可塑剤=60:40の配合で作った2種のフィルムを20°Cおよび45°Cの温度下で8週間さらし、かびの生長を調べたところ、45°Cの方が大きく、また可塑剤の8種類で生長の大きいものと小さいものに層別された。ついで防かび剤の使用が有効なことが認められた

YH02050K, YH05070B, YH07100Z (878.019.3/.6, 678.04 OTHERS, 678.743)  
可塑化；ポリ塩化ビニル；軟質材料；微生物分解；屋根材；水泳プール；  
被覆材；プラスチックフィルム；可塑剤；かび；温度依存性；防かび加工；  
抗かび薬

K88052299

B-16 実験室及び野外の土壤-植物系におけるビス(2-エチルヘキシル)[<sup>14</sup>C]フタラートの運命

Fate of bis(2-ethylhexyl) [<sup>14</sup>C] phthalate in laboratory and outdoor soil-plant systems.

SCHMITZER J L, SCHEUNERT I, KORTE F  
(Gesellschaft für Strahlen- und Umweltforschung mbH  
München, Neuherberg, DEU)

C251A (0021-8561) J Agric Food Chem VOL.36, NO.1 PAGE.210-215 '88

(J) (A1) (EN) (USA) (写図 1表 5参 55)

PVCの可塑剤として繁用される標題の化合物(I)の<sup>14</sup>C標識物の、種々の実験室と長期間の野外条件下における物質収支、土壤中の移動性、分解と変換、及び作物中への取り込みについて調べた。植物による取込みは少ない。土壤中でIは容易にCO<sub>2</sub>にまで分解される。変換生成物としてはフタル酸及びフタル酸モノ2-エチルヘキシルが生成

SB05040W (614.7 OTHERS)

ポリ塩化ビニル；高分子可塑剤；微生物分解；土壤微生物；農作物；植物；  
取込；農薬代謝；農薬代謝産物；炭素14；放射性トレーサ法；土壤汚染  
フタル酸/1；カルボン酸エステル/1；ヘキサノール誘導体/1

B-17 #0001 E88220207  
マイクロカプセル化防鼠剤を応用した新防鼠電線  
小原秀雄, 金光谷和彦 (三菱電線工業)  
G953A (0285-6204) 生産と電気 VOL. 40, NO. 7 PAGE. 30-34 '88  
(J) (B2) (JA) (JPN) (写図 7表 3参 6)  
最近完成されたマイクロカプセル化防鼠剤を電線に適用して従来品の改良を検討し、新防鼠電線を開発した。防鼠剤として従来からシクロヘキシミド (CHI) が用いられているが、CHIは単独では熱安定性は良いが、PVCと共に存在すると極端に熱安定性が低下するので、カプセル化されたCHIをPVCに混入したものを使っている。詳細を報告した。  
NA05020S (621.315.1/3)  
電線; 鳥獣害; 防災; ネズミ類; 混合剤; ポリ塩化ビニル; マイクロカプセル;  
ケーブル; 食害  
シクロヘキシミド/1

## 2. アスファルト及びプラスチックの耐候性等に関する一般情報

### (1) Aランク情報

J84011098

#### W-1 熱可塑性プラスチックの機械的特性の経時変化 VI 衝撃値の経年変化について 2

小林政治郎、植村幸生（大阪工技試）

F250A (0472-142X) 大阪工業技術試験所季報 VOL.34, NO.3 PAGE.172-184 '83

(J) (A1) (JA) (JPN) (写図14表 3参 5)

紫外線などの影響をうけない暗所で、試料を温度+40° C, +20° C, 0° C及び-20° Cの4条件下で保存した6種類の熱可塑性プラスチック (PVC1-1, PVC1-3, PP, ABS, HIPS, PC) について、その衝撃特性を5年間にわたり測定し、各種衝撃値の経年変化をしらべ、結果及び特徴について検討を行った

YH02050K (678.019.3/.6)

耐久性；年変化；耐寒性；低温強さ；低温試験；熱劣化；衝撃強さ；低温脆性；ポリ塩化ビニル；ポリプロピレン；ABS樹脂；ポリスチレン；ポリカーボネート；引張強さ；高温強さ；HIPS

C84022328, S84010323

#### W-2 アスファルトテスト結果の相関

Asphalt tests are correlated.

DARK W A (Walters Assoc., Mass.)

D303A (0018-8190) Hydrocarbon Process VOL.62, NO.9 PAGE.104-105 '83

(J) (B2) (EN) (USA) (写図 3表 1参 17)

アスファルトの針入度は低分子量含有量と相関関係にあり、軟化点は高分子量含有量と関係づけられることを指摘。空気吹込みアスファルトの好ましい耐候性はアスファルト中の飽和化合物とアスファルテンとの比が2~3のアスファルトである。アスファルトのタイプ分析は液体クロマトグラフィーにより、分子量はゲル浸透クロマトグラフィで決定出来る

YF02020X (665.6.004.12)

アスファルト；分子量；含有量；化学組成；相関；軟化点；吹込；空気；

耐候性；比率；液体クロマトグラフィー；ゲル浸透クロマトグラフィー；

針入度試験；試験

脂肪族炭化水素/1

C84112806

W-3 可塑化, ブレンド, 強化によるエポキシ重合体の変性

Modification of epoxy polymer by plasticizing, blending, or reinforcing.

FELDMAN D, CORIATY E (Concordia Univ., Canada); BLAGA A (National Research Council of Canada)

C467A (0021-8995) J Appl Polym Sci VOL.29, NO.2 PAGE.515-531 '84  
(J) (A1) (EN) (USA) (写図17表 2参 15)

エポキシ重合体 (EP) を DBP, PVC, PVA の添加, 及びガラス繊維強化で変性した。 EP と DBP (10%まで) は混和し, 硬化 EP 中の 10% の PVA は分離相をつくった。EP - PVC ブレンド体では PVC 10%までは非混和性であり, PVC 濃度の増大と共に混和性が増大した。EP への DBP の添加で熱変形温度が著しく低下し, 少量の DBP (4%まで) を含む EP は未変性重合体に比べて低い接着強度を有した。DBP の濃度の増大と共に引張強度は未変性 EP より高かった。EP の PVC, PVA, ガラス繊維とのブレンドは引張強度に不利益な効果を与えた。100日の屋外暴露は引張強度の劣化をひきおこした

YH070401, CG02022M (678.686, 541.64-16:532.7)

可塑剤; 添加物効果; 強化プラスチック; ガラス繊維; 構造接着剤; 合成樹脂接着剤; ポリビニルアルコール; エポキシ樹脂; ポリマブレンド; ポリ塩化ビニル; 電子顕微鏡観察; 破面検査; 耐候性; 引張強さ; 相分離; 相溶性; 熱変形; X線回折; 微細構造; 重合体; 添加剤  
フタル酸/1; カルボン酸エステル/1; ブタノール/1

[重合体用添加剤; DBP]

C84142678

W-4 長期暴露後の廃棄物囲いの内張システムの評価 (film)

Evaluation of a waste impoundment liner system after long-term exposure.

ROBERTS S A (Malcolm Pirnie Inc., New York);

NELSON N A, HAXO H E JR (Matrecon Inc., California)

P999A PB Rep NO. P B - 84 - 118777 PAGE.172-187 '83

(T) (A1) (EN) (USA) (写図 5表 6参 5)

硫酸カルシウムスラリーを含むスラッジ廃棄物のラグーンで9年間使用した20mmのPVC内張を18地点よりサンプリングし、組成分析、物理的分析（引張強、せん断強さ、硬度等）を実施した。テストの結果、スラッジに覆われた部分のPVCはほとんど劣化していないが、大気に露出した部分は変質現象が認められ、約30%も性能が低下していることが分かった

YH02050K (678.019.3/.6)

スラリー；スラッジ廃棄物；貯蔵用構造物；ライナ；ポリ塩化ビニル；プラスチックフィルム；劣化；耐候性；環境試験

硫酸カルシウム/1

A86030091, G86030774, M86030620

W-5 パイプラインの被覆。それは本当にその場しのぎの方法なのか I

Pipeline coatings, is it really a cover-up story?

COULSON K E W, TEMPLE D G (NOVA, Canada)

D794A Pap Int Corros Forum NO. 84 - 355 PAGE.23p '84

(C) (A1) (EN) (USA) (写図31表 4参 8)

現在得られるどの種類の被覆がパイプラインの外部の腐食の防止に最も適しているかを知るためにカナダのNOVA社でははん用被覆剤の性能の実験室的評価プログラムを作製し、パイプライン材の運送、建設および運用時を模した条件で試験を実行もしくは計画した。その概念、実際の試験方法および得られた結果の紹介と考察

WB03040M, WC08060U, RA07090J (620.197, 678.026.3, 624.05:621.643)

パイプライン；防食；保護；プラスチック被覆；塗装；ポリエチレン；

ポリウレタン；テープ；ポリ塩化ビニル；ピチューメン塗料；

エポキシ樹脂塗料；ポリウレタン塗料；性能試験；環境シミュレーション；

耐化学性；陰分極；境界層剥離；柔軟性；衝撃強さ；吸水；浸透；耐候性；

土圧

J87011125

W-6 生き残りにかける研究開発 高分子の光による劣化

大沢善次郎（群馬大 工 応用複合材研施設）

F101A (0451-2014) 化学工業 VOL.38, NO.1 PAGE.93-100 '87

(J) (B2) (JA) (JPN) (写図13表 2参 29)

汎用高分子の光酸化に対する基本的な考え方について述べ、高分子の2種類の光劣化機構（異種構造や不純物が発色団になるもの、および構成単位が発色団となるもの）、劣化に対する発色団の影響度、光劣化開始に関する発色団の推定濃度、量子収率および光分解生成物の生成速度、ポリオレフィン、ポリ塩化ビニル、ポリスチレンなどの事例、試料表面と内部の反応性などについて説明

YH02050K, CG03010A (678.019.3/.6, 541.64:542.92)

発色団；プラスチック；光劣化；光化学反応；光酸化；量子収量；光分解；

分子構造；ポリオレフィン；自動酸化；耐候性；ポリプロピレン；

ポリスチレン；ポリ塩化ビニル；研究開発；反応性；反応速度

ヒドロペルオキシド/1

E88100130, J88051302

W-7 有機絶縁材料の屋外暴露試験

小山田満、元木光夫、清水敏夫、後藤一敏（東芝）

Z908A 電気学会絶縁材料研究会資料 VOL. E I M - 88, NO.1-8 PAGE.49-58 '88

(J) (A1) (JA) (JPN) (写図16表 1参 1)

試験の結果を以下のようにまとめた。エポキシ樹脂組成物の屋外暴露による表面の荒れは充填材の粒径の大小に依存する。屋外暴露による厚さ減少にシリカ処理シリカの効果が認められる。シリカと水和アルミナを等量混合した試料では、どちらかの充填材の特性に依存して中間的特性を示さない。シクロ系エポキシ樹脂はビス系エポキシ樹脂に比べ耐候性がすぐれている

NA04030W, YH06020F (621.315.6, 678.03:621.3)

エポキシ樹脂；曝露試験；屋外；耐候性；汚損；充填剤；有機材料；絶縁材料；温度依存性；引張強さ

C88253149

W-8 ポリ塩化ビニルの劣化の研究へのレーザRaman分光法の適用

The use of laser Raman spectroscopy to study the degradation of poly(vinyl chloride).

BOWLEY H J, GERRARD D L (BP Research Centre, Middlesex, GBR); BIGGIN I S (BP Chemicals Ltd., South Glamorgan, GBR)

E404B (0141-3910) Polym Degradation Stab VOL.20, NO.3/4 PAGE.257-263 '88

(J) (A1) (EN) (GBR) (写図 2表 9参 30)

可塑化ポリ塩化ビニル(I)の天然曝露を低温/多湿, 高温/多湿, 高温/乾燥という気象条件の異なる場所で実施し, レーザRaman分光法によりIの脱塩化水素レベルを分析した。フタル酸ジオクチルなどの芳香族可塑剤やフタル酸ジアルキルなどの脂肪族可塑剤を添加した系の曝露の結果, UV劣化の主反応である脱塩化水素の過程で可塑剤が重要な役割を果す結果を得た。Iの安定性に及ぼすアミン類や熱安定剤の効果についても検討した。

YH02050K (678.019.3/.6)

ポリ塩化ビニル; 可塑化; 耐候性試験; 曝露試験; Raman分光法;

Ramanレーザ; 脱塩化水素; 可塑剤; 光劣化; 紫外吸収スペクトル;

鎖長効果; 热安定剤; 热安定性; 热劣化; 耐候性; 屋外試験

アジピン酸/1; カルボン酸エステル/1,2; オクタノール/1,2;

フタル酸/2,3; ブタノール/3; ベンジルアルコール/3; ステアリン酸/4,5;

カルボン酸塩/4,5; バリウム化合物/4; カドミウム化合物/5

C88281699

W-9 重合過程で変性したPVCからなる配合物の耐候性

On the weathering of modified PVC based compounds during the polymerization process.

GANCHEVA T, GENOVA P, MARINOVA A (Electrotechnical and Mechanical Inst. "V. I. Lenin", Sofia, BGR)

D557A (0003-3146) Angew Makromol Chem VOL.158/159 PAGE.107-123 '88

(J) (A1) (EN) (CHE) (写図 8表 3参 20)

試料としてPVC, 可塑剤のフタル酸ジオクチル(DOP)含有PVC, DOPとアジピン酸ジオクチル(1:1)含有PVCを用いて, 各種特性と耐候性を調べた。可塑剤添加PVCではガラス転移温度が10~12°Cで低下するが, 耐衝撃強さが50~80%向上し, 屋外曝露時のUV吸収速度が低下し, 色相の変化も10~30%小さくなる。IRスペクトルで酸化機構を考察した。

CG03010A, YH05050F (541.64:542.92, 678.049.1/.6)

ポリ塩化ビニル; 添加物効果; 可塑剤; 曝露試験; 耐候性; 衝撃強さ;

光酸化; 光分解; ガラス転移点; 紫外吸収スペクトル; Ramanスペクトル;

粘度; 反応機構

フタル酸/1; カルボン酸エステル/1,2; アジピン酸/2

## (2) Bランク情報

C84032659

### W-10 ポリ塩化ビニルにおける屋外暴露の化学機構

The chemical mechanisms of outdoor weathering in polyvinyl chloride.

SUMMERS J W, RABINOVITCH E B (BF Goodrich Chemical Co., OH)

C979B J Vinyl Technol VOL.5, NO.3 PAGE.91-95 '83

(J) (B1) (EN) (USA) (写図 6表 6参 20)

日光がPVCコンパウンドにどのように吸収されるか,どの結合が弱くて破断しやすいか,黄変ついで白化,酸化および表面侵食の機構を論述し,PVC劣化を制御する技法,特に酸化チタンが酸化の原因となると共にPVC劣化を防護するかについて解説。太陽エネルギーを吸収し,化学分解を起こしやすい弱い構造は,それまでの熱劣化に関連する不飽和構造である。他のポリマーと同様に,PVCは酸化するが,酸化と同時に脱離するHClによって,その機構と外観は複雑になる。酸化生成物が白化および表面侵食を起こす。酸化チタンではアナターゼとチョーキング性ルチルの混合物が白色PVCに有利であり,着色PVCにはチョーキング性のないルチルが望ましい

YH02050K (678.019.3/.6)

ポリ塩化ビニル; 屋外試験; 曝露試験; 耐候性; 耐光性; 開裂反応; 光化学反応; 酸化; 反応機構; 光劣化; 太陽エネルギー; 热劣化; 白亜化; ルチル; 脱ガス; 文献展望  
酸化チタン/1; 塩化水素/2

J84101247

### W-11 高機能化特殊A B S系樹脂(日本合成ゴム)

河合正明(日本合成ゴム合成樹脂本部)

F254A (0555-7887) プラスチックス VOL.35, NO.9 PAGE.83-87 '84

(J) (B2) (JA) (JPN) (写図 2表 6)

日本合成ゴム(JSR)の高機能ABS樹脂を説明。JSR-AES(耐候性樹脂),JSR-XT(超耐熱樹脂),JSRエクセロイ(耐高衝撃超耐熱アロイ),JSR-NFおよびJSR-NC(塩ビアロイ型および添加型の自己消火性難燃樹脂),JSR-Conductor(電磁しゃへい材),JSR-KA(ふっ素樹脂との複合材料)の特性・用途

YH07150C (678.5/.8)

ABS樹脂; 機能; 耐候性; 耐熱性; 衝撃強さ; ポリマブレンド; ポリ塩化ビニル; 耐火性; 電磁しゃへい; ふっ素樹脂; 複合材料; 特性; 利用; 機能性高分子

B84101182, J84091378, M84183400

W-12 自動車外装用塩ビ材料の色調と耐候性設計 II

滝本正博（豊田合成技術部）

G354A (0018-1951) 品質管理 VOL.35, NO.5 臨増 PAGE.546-549 '84

(J) (A1) (JA) (JPN) (写図 2表 3)

ウェザーメータで3~6か月を要する暴露試験に代って、耐候性が即座に検索できるシステムを完成したが、ここではその後蓄積したデータによって、1) 顔料配合組成と耐候性の関係、2) 屋外暴露と促進試験による結果の違い、を解析した。1) については重回帰式による推定方法を検討し、2) の解析により両者の結果に重大な差が生ずる可能性を明らかにした

QG03060R, YJ03010F, YH06050M, KB04030W (629.113.011.5/.6, 667.6, 678.06:629.11, 658.56:519.2)

自動車外装；ポリ塩化ビニル；顔料；耐候性；曝露試験；促進試験；屋外試験；多重回帰分析；彩度；色相；明度；色度図；色彩調整；調合；誤差解析；色差

C84262851

W-13 軟質PVCの耐候劣化性をモニターするためのセミミクロぜい性テスト

A semimicro brittleness test to monitor weathering of plasticized PVC.

SEARS J K (Monsanto Co., Missouri)

C979B J Vinyl Technol VOL.6, NO.2 PAGE.57-62 '84

(J) (B2) (EN) (USA) (写図 9表 2参 11)

ASTM D1790の改良によって、軟質PVCの屋外暴露時のぜい化温度  $T_b$  の変化を追跡し、組成変化のプロフィルをつくる方法を説明するもので、特定の暴露試験の終わりにおけるぜい化温度の変化の測定に対しても有用である。特徴としては、セミミクロ量の試験で結果が得られるように、“Masland”衝撃ハンマを用いること。3種の軟質ビニル試料についての試験結果および、劣化のプロフィルを示す

YH02050K (678.019.3/.6)

軟質材料；ポリ塩化ビニル；脆性；劣化；耐久性；耐候性；可塑化；脆化；温度；屋外試験；曝露試験；温度測定；衝撃試験；ASTM規格；化学組成；高分子反応；測定データ

A85010804, J85011041

W-14 フィラーによる塩ビ窓わくの強化と耐熱性の改善

相馬勲, 小川弘正, 田中裕子 (大阪工技試)

Z850A 日本産業技術振興協会技術資料 NO.130 PAGE.47-54 '83

(J) (A1) (JA) (JPN) (写図 9表 4)

塩ビの物性改善が可能な無機フィラーとしてゾノライト (けい酸カルシウム) を取上げ, 力学的性質, 热的性質, 热分解・燃焼, 热安定性・耐候性に関する充てん効果を示した

YH05040B (678.06:624/625)

ポリ塩化ビニル; 充填剤; 添加物効果; けい酸カルシウム; サッシ; 耐熱性; 機械的性質; 热特性; 热分解; 燃焼; 热安定性; 耐候性

J85010964, M85013311

W-15 農業用ポリ塩化ビニルフィルムの耐候性

宮路宏一 (三菱モンサント化成ビニル)

F278A (0037-9875) 紡織学会誌 VOL.40, NO.7 PAGE.P.479-P.482 '84

(J) (B2) (JA) (JPN) (写図 5表 3)

農地の強度, 光線透過性, 防曇性などの屋外暴露による低下とその防止方法の現状を解説

YH02050K, FB03040V (678.019.3/.6, 631.23)

ポリ塩化ビニル; プラスチックフィルム; 農業; 温室; 栽培; 耐候性; 促進試験; 強度; 光透過; J I S

J85010971

W-16 プラスチック材料の耐候性

野中のり仁 (三菱樹脂平塚工場)

F278A (0037-9875) 紡織学会誌 VOL.40, NO.7 PAGE.P.493-P.503 '84

(J) (B2) (JA) (JPN) (写図27表 9参 23)

屋外暴露による劣化と耐候性試験方法及び塩ビ, ポリエチレン等を主体とするはん用プラスチックの劣化データの実例を上げ, 耐候性改良方法について討論

YH02050K (678.019.3/.6)

プラスチック; 耐候性; 曝露試験; 促進試験; ポリ塩化ビニル; ポリエチレン; ポリスチレン; 強化プラスチック; ガラス繊維

E85040097, J85021321

W-17 C I G R E 国内分科委員会（ポリマーの屋外適用）の共同実験中間報告

船越功（富士電機総研）；吉田宏（東芝）

Z911A 電気学会放電研究会資料 VOL. E D - 84, NO.74 - 82 PAGE.11-20  
'84

(J) (A1) (JA) (JPN) (写図15表 6参 3)

C I G R E T G15-06-04では、ポリマを屋外に適用する際に問題となる耐候性について、有効な加速試験法を見出すことを目的に、国際的な共同実験を行っている。日本は北欧2国と共にメリーゴーランド試験を担当している。

国内4社で行ったメリーゴーランド法の中間結果について報告した

NA04030W, YH06020F (621.315.6, 678.06:621.3)

固体誘電体；高分子；絶縁破壊；絶縁試験；日本；耐候性；促進試験；放電開始電圧；エポキシ樹脂

E85040097, J85021321

W-18 C I G R E 国内分科委員会（ポリマーの屋外適用）の共同実験中間報告

船越功（富士電機総研）；吉田宏（東芝）

Z911A 電気学会放電研究会資料 VOL. E D - 84, NO.74 - 82 PAGE.11-20  
'84

(J) (A1) (JA) (JPN) (写図15表 6参 3)

C I G R E T G15-06-04では、ポリマを屋外に適用する際に問題となる耐候性について、有効な加速試験法を見出すことを目的に、国際的な共同実験を行っている。日本は北欧2国と共にメリーゴーランド試験を担当している。

国内4社で行ったメリーゴーランド法の中間結果について報告した

NA04030W, YH06020F (621.315.6, 678.06:621.3)

固体誘電体；高分子；絶縁破壊；絶縁試験；日本；耐候性；促進試験；放電開始電圧；エポキシ樹脂

J85071267

W-19 エポキシ樹脂塗料 I

端直明（旭電化工業）

F391A (0023-2564) 高分子加工 VOL.34, NO.5 PAGE.253-257 '85

(J) (B2) (JA) (JPN) (写図 1表 3)

まずエポキシ樹脂の熱硬化性樹脂における位置づけを行い、塗料用素材としての利点や塗料化する手段についてまとめた。つぎにエポキシ樹脂の分類を行い、特殊エポキシ樹脂とされる耐熱性、難燃性、耐候性及び可とう性を有する樹脂の構造や用途をまとめた。またエポキシ樹脂硬化剤の ISO 分類（案）を示し、主なグループの特徴と用途をまとめた

YJ03040M, YH07040I (667.621, 678.686)

エポキシ樹脂塗料；エポキシ樹脂；ビヒクル；分類；橋かけ剤；耐熱性；耐火性；耐候性；柔軟性；密着性；耐食性；耐化学性

C86252786, M86183147

W-20 熱サイクル耐性が必要な複合材料用のエポキシ継手と母材

Epoxy joints and matrices for composites that must endure thermal cycling.

DVORKO I M (Lensoviet's Inst. Technology, USSR); MARCETTI M, MAURA G, RINALDI G (Univ. Roma)

E239D (0379-2285) ESA J (Eur Space Agency) VOL.9, NO.3 PAGE.351-359 '85

(J) (A1) (EN) (FRA) (写図 7表 3参 15)

宇宙用として用いるエポキシ系の接着材や複合材料に関し、ポリアミン系の硬化剤をフェノール及びホルムアルデヒドとの反応を利用した改良により、常温で硬化した場合でも短時間で良好な橋かけ度を達成できた。容易な加工条件下で、熱サイクルを掛けた場合でも寸法安定性の高いエポキシ材を実現

YH060701 (678.06:629.7)

宇宙飛行体；構造材料；複合材料；エポキシ樹脂；合成樹脂接着剤；橋かけ剤；橋かけ度；熱サイクル；耐候性；材料試験；測定データ

フェノール/2；ホルムアルデヒド/3

[ポリアミン]

A86120874, C86172612

W-21 安全保障ロールシャッタ

The rolling insulating security shutter.

KEUP T G (Prime Marketing Group Inc., Florida)

K860227 Plast Prod Des Why PVC PAGE.19-29

(C) (B2) (EN) (USA) (写図 4参 5)

米国では'60年代に主として東西海岸地区で導入された。耐候性の硬質PVCをスラットに、軟質PVCをトラックのウェザストリップや底面スラットに用いる。年間、25～30億ドルの工業規模になると目算されている。これに用いるPVCの配合、デザインおよび規定、規制について解説

YH06040B, RB03050S, RA060300 (678.06:624/625, 69.026/.029, 691.1)

巻込み戸；アメリカ；耐候性；硬質材料；ポリ塩化ビニル；軟質材料；

スラット；処方；耐火性；安全基準；規制

J86121510, M86233643

W-22 ACMの信頼性

野村晋(東レ)

F168A (0454-1138) 高分子 VOL.35, NO.7 PAGE.676 '86

(J) (B2) (JA) (JPN) (写図 2参 7)

先進複合材料 (ACM) の信頼性に関し、炭素繊維の材料としての信頼性について検討。長期間の使用に関して懸念される耐候性、耐薬品性、及び疲労特性は現段階では一応のレベルに達しており、ACM成形品の信頼性をさらに高めるためには、最適設計、成形加工、成形品検査などの各分野の今後の進歩によるところが大きいと展望

YH080701, YM03050G (678.06:629.7, 677.4/.6.066)

複合材料；信頼性；炭素繊維；品質管理；エポキシ樹脂；耐候性；耐食性；疲れ；航空機

G87040757, J87031355

W-23 塗装金属製品の促進劣化試験

矢島勝司、外川靖人、松下静夫(製品科研)

Y050A 金属表面技術協会講演大会講演要旨集 VOL.74th PAGE.184-185 '86

(C) (A2) (JA) (JPN) (写図 5表 2)

溶融亜鉛めっき鋼板にラミネート法塩化ビニル系樹脂、ゾル法塩化ビニル系樹脂、アクリル系樹脂、ポリウレタン系樹脂、メラミン系樹脂、ポリエステル系樹脂の塗料を塗付することで作成した試験片の屋外暴露試験2年間の結果およびデューサイクルサンシャインウェザ試験の結果を報告し、両者間での対応の問題について述べた

WB03020Q, YJ03020Q (620.193.001, 667.61)

表面処理鋼板；亜鉛めっき；溶融めっき；塗装；合成樹脂塗料；

ポリ塩化ビニル；アクリル樹脂塗料；ポリウレタン塗料；

ポリエステル塗料；メラミン樹脂；屋外試験；曝露試験；促進試験；劣化；

塗膜；耐食性；耐候性；腐食試験；耐候性試験

A87040607

W-24 大気汚染とポリ塩化ビニル被覆布の老化現象

Luftverschmutzung und Alterung PVC-reicher Gewebebeschichtungen.

FREY R (Univ. Stuttgart, DEU)

A221A Bautenschutz Bausanierung VOL.9, NO.3 PAGE.46-52 '86

(J) (B2) (DE) (DEU) (写図 7)

損傷のプロセス、建材としての特性（耐候性、水の影響、光透過のメカニズム、晶化特性）、試験方法（供試体、ルミネセンス法、経年試験）、試験結果（時効硬化、光の透過率の減少とメカニックな特性の後退、塩ビ表層の亀裂と下地への損傷）を解説

RA060300, RB01020X (691.1, 69.059)

ポリ塩化ビニル；プラスチック被覆；損傷；被覆布；屋根材；耐候性；劣化；大気汚染；材料被害；被覆材

N87062844

W-25 コストパフォーマンス 外面防食用エポキシ粉体被覆鋼管

大塚健純（住友金属工業）

G858A (0385-9894) 配管技術 VOL.29, NO.3 PAGE.87-91 '87

(J) (B2) (JA) (JPN) (写図10表 3参 1)

水、ガス、石油などの地中埋設パイプラインの外面防食被覆として需要が伸びている熱硬化性エポキシ粉体被覆の特性と製造工程、及びポリエチレン被覆などの特性比較を説明。特徴として高温強度に優れ、補修容易で耐候性、防食性、耐微生物性も優れるが、静電粉体塗装法による薄膜仕上（0.25～0.6mm）のため下地処理及び取扱い上の注意が必要

QD05020E (621.64)

外面；防食；エポキシ樹脂；粉体塗装；鋼管；埋設管；熱硬化；

機械的性質；生産工程；ポリエチレン；高温強さ；静電塗装；薄膜；下地；

耐候性；微生物；膜厚

C87092739

W-26 ガラス繊維強化エポキシ樹脂の耐熱帶性

Тропикоустойчивость эпоксидных стеклопластиков.

АЛЕШИН Ю В, УЛУХАНОВ А Г, ТРЕГУБОВА Е Б, СТРАМНОВА А Б

R206B (0554-2901) Plast Massy №.12 PAGE.23-24 '86

(J) (A1) (RU) (SUN) (写図 1表 1)

強化用ガラス繊維パケットNPU-0.5-76／表面用ガラス繊維マットMP-S-A-35に変性エポキシ樹脂KDA／トリエタノールアミノチタネート配合樹脂を含浸させ、表面層0.5～1.0mmに樹脂分90%のゲルコート層を形成させたガラス繊維強化エポキシ樹脂の17～23°Cの45%H<sub>2</sub>SO<sub>4</sub>浸せき試験、40°C×98%RH耐湿試験、耐光性試験、4地区（バトウミ、タシケント市の屋外と高温多菌地区）での天然曝露テスト（18か月）等により強度、電気絶縁性、耐菌性等を評価。促進試験結果と天然曝露試験の結果は一致し、耐湿性は不十分であるが、耐硫酸性、耐光性、耐菌性等に優れ、耐熱帶性は良好。

YH02050K (678.019.3/.6)

ガラス繊維；強化プラスチック；エポキシ樹脂；耐候性；熱帶試験；

ゲルコート；浸せき試験；耐酸性；耐光性；屋外試験；曝露試験；

電気抵抗；殺菌作用；耐湿性；カップリング剤

ニトリロトリエタノール/1；チタン酸/1；硫酸/2；無機酸エステル/1

C87342638

W-27 プラスチックの耐候性 光化学的機構と分解プロセスによる影響

The weathering of plastics — Photochemical mechanisms and the influence of processing.

PAGAN P (Ministry of Defence, London, GBR)

D274A (0370-1158) Polym Paint Colour J VOL.177, №.4199 PAGE.648-649 '87

(J) (B2) (EN) (GBR)

一部のプラスチックを除き、大部分のプラスチックを屋外にさらすと、光によって次第に劣化、分解をおこす。プラスチック一般の分解、最も多く使われているポリオレフィン、塩ビの場合について詳しく、その光化学的分解機構を機械的、物理的性質の変化と関係づけて説明し、安定剤添加により劣化速度をかなり遅らせ得る。

YH02050K (678.019.3/.6)

光劣化；ポリオレフィン；ポリ塩化ビニル；耐候性；添加物効果；

光化学反応；光安定剤；光分解

E88100129, J88051301

W-28 屋外用エポキシ樹脂の長期信頼性

平沢栄一, 野上文夫, 土橋勝, 坂井龍吉 (三菱電機)

Z908A 電気学会絶縁材料研究会資料 VOL.EIM-88, NO.1-8 PAGE.39-48 '88

(J) (A1) (JA) (JPN) (写図13表 5参 10)

屋外用の注型材料としてエポキシ樹脂は1960年代の後半に欧州を中心として, 30kV級の計器用変成器や110kV級の支持碍子に適用された。1970年代前半はジグリシジルエステル系が主流で, これに水和アルミナや石英を加えて使われた。耐トラッキング性, 汚損特性, 耐候性, 吸水性, 屋外曝露試験など屋外適用の問題点を述べた。

NA04030W, YH06020F (621.315.6, 678.06:621.3)

エポキシ樹脂; 注型; 屋外; 碾子; 信頼性; 絶縁耐力; 曝露試験; 汚損; 耐候性; 吸湿性; 計器用変成器

E88100131, J88051239

W-29 ケーブル用PVCコンパウンドの耐候性

塩野武男, 伊藤一己, 会田二三夫 (昭和電線電らん)

Z908A 電気学会絶縁材料研究会資料 VOL.EIM-88, NO.1-8 PAGE.59-65 '88

(J) (A1) (JA) (JPN) (写図 9表 2参 3)

25年間にわたるPVCの屋外曝露試験およびウェザロ加速試験を行い, 物理特性, 電気特性について両試験の対応を検討した。PVCコンパウンドの伸び特性に注目すると, 屋外曝露の1年間がウェザロ加速の約100~120時間に相当した。電気特性は屋外, ウェザロのどちらもそれほど大きな低下は認められなかった。

NA04030W, YH02050K (621.315.6, 678.019.3/.6)

ケーブル; 絶縁電線; 絶縁材料; 曝露試験; ポリ塩化ビニル; 耐候性; 屋外; 促進試験; 絶縁耐力

J88061403

W-30 ポリ塩化ビニル

F254A (0555-7887) プラスチックス VOL.39, NO.4 PAGE.84-85 '88

(J) (B2) (JA) (JPN) (写図 8)

硬質, 半硬質および軟質のポリ塩化ビニル (PVC) の物性的特徴とその多方面の応用例を紹介。さらにアクリル変性PVCのもつ耐衝撃性, 耐薬品性, 耐熱性, 耐候性, 耐寒性に注目。これらPVCの応用例として車両や建物の内装, 水槽, 機器ハウジング, 道路標識などの応用例を多数の写真と共に解説

YH07100Z (678.743)

ポリ塩化ビニル; 硬質材料; 軟質材料; 特性; 利用; 白黒写真; 共重合体; 衝撃強さ; 耐化学性; 耐熱性; 耐候性; 耐寒性; 車両車体; 内装材料; ハウジング; 道路標識

C88253262

W-3/ 中国でエポキシ用硬化剤としてはう素化合物を使用

Chinese use boron for epoxy curing.

A385A (0098-5430) Am Paint Coatings J VOL.72, NO.53 PAGE.23-25 '88

(J) (B2) (EN) (USA)

顔料、体质顔料及び染料；溶剤と助剤；合成樹脂；各種塗料；一般製造プロセス及び機械類；前処理及び塗装；ウエザリング、防食及び防汚；物理的性質及び試験法；安全衛生；汚染ならびに廃棄物処理；市場情報及び統計に関する文献のテーマを紹介する。

YJ01000G (667)

顔料；体质顔料；染料；溶媒；助剤；プラスチック；塗料；プロセス開発；化学装置；前処理；塗装；耐候性；防食；防汚塗料；物理的性質；性能試験；安全管理；環境汚染；廃棄物処理；市場；統計；中国；エポキシ樹脂；橋かけ剤

ほう素化合物/1

C88282370

W-32 PVCの人工風化への寄与

Beiträge zur künstlichen Bewitterung von PVC.

IMHOFF J, HABERLEITNER R (Bleiberger Bergwerks Union, Arnoldstein, AUT)

D557A (0003-3146) Angew Makromol Chem VOL.158/159 PAGE.125-139 '88

(J) (A1) (DE) (CHE) (写図 7表 1)

硬質および軟質PVCの耐候性について、屋外曝露（2か所）と各種光源によるテスト、すなわちキセノン、QUV装置、UVAランプ、UVBランプによる色変化と光沢度の変化の比較を行った。いずれの条件も屋外曝露と光源テストの結果は一致せず、白色の窓材と灰色の屋根材のPVCの際にはキセノンテストがよく一致する。QUVは屋外曝露よりも速く変色させる

YH02050K (678.019.3/.6)

ポリ塩化ビニル；曝露試験；光劣化；変色；光源；耐候性

C88342856

W-33 可塑剤 II ポリ塩化ビニルでの重要性と利用

Weichmacher. Teil 2. Bedeutung und Anwendung bei  
Polyvinylchlorid.

KRÄMER S

H063A (0032-1338) Plast Verarb VOL.39, NO.9 PAGE.23-24, 26, 28 '88

(J) (B2) (DE) (DEU) (写図 4表 1参 22)

使用した可塑剤の構造に依存して、軟質PVCは製造工程、加工法、耐光性、耐候性、耐薬品性、機械-、電気-、光学性質に差異が現われる。カーペット、人造皮革、靴の製造を例として、フタル酸-、りん酸-、ジカルボン酸-、高分子-、特殊型の可塑剤使用の適応性を説明した。

YH05050F (678.049.1/.6)

可塑剤；分子構造；軟質材料；ポリ塩化ビニル；加工条件；耐光性；  
耐候性；耐化学性；機械的性質；電気的性質；光学的性質；カーペット；  
人工皮革；靴；高分子可塑剤

フタル酸/1,4；りん酸エステル/2,5；カルボン酸エステル/1,3,4,6,7；

ヘキサンノール誘導体/1,6；オクタノール/2,4；クレゾール/5；

アジピン酸/6；ベンゼントリカルボン酸/7

C88312039, E88210164

W-34 各種ハウジング材料の紫外線照射と表面放電作用に対する耐浸食性

Erosion resistance of different housing materials to UV  
irradiation and surface discharges.

GUBANSKI S M (Technical Univ. Wroclaw, POL)

B665A (0537-9989) IEE Conf Publ (Inst Electr Eng) NO.289 PAGE.37-  
40 '88

(C) (A1) (EN) (GBR) (写図 7参 9)

屋外用高電圧絶縁物の一つの評価法としての環境試験法で各種エポキシ樹脂、シリコーンゴム、EPゴムを評価した。環境試験では紫外線強度を300 J/m<sup>2</sup>sとし、表面部分放電は40mm間隔でAC 6kVを印加し、質量減少、表面粗さ、潤滑角を測定した。シリコーンゴムが安定した結果を示し、EPゴムはゴム自身の種類が影響、エポキシ樹脂は充填剤の影響が大である

### 3. 低レベル放射性廃棄物管理における固化体の微生物分解等に関する情報

#### (1) Aランク情報

K85111484, L85220593, N85111822

##### RB-1 低レベル廃液固化体の生物学的分解テスト (film)

Biodegradation testing of solidified low-level waste streams.

PICIULO P L, SHEA C E, BARLETTA R E  
(Brookhaven National Lab., NY)

P998A US DOE Rep NO.NUREG-CR-4200 PAGE.43p '85

(T) (A1) (EN) (USA) (表12)

NRCの固化体技術部会(TP)は、かび、ASTM G21, 22及び4種のバクテリアを用いて、ほう酸及び $\text{Na}_2\text{SO}_4$ を含む蒸発残さ、混床式イオン交換樹脂粉末のアスファルト、セメント、ビニルエステル・スチレン固化体の微生物分解をテストした。セメントはかび、バクテリアの生育を抑制。アスファルトはほう酸残さのみかびの発育を防止。バクテリアの生育はアスファルト全部に見られた。表面浄化はバクテリア生育防止に役立たない。 $\text{Na}_2\text{SO}_4$ のビニルエステル・スチレン固化体はかびの生育を促進。しかし、テストした全部の固化体について、微生物活動が固化体の圧縮強度まで変化させることはないことが判明

MB05000Y, EG03051L (621.039.7, 576.8.095:577.1)

放射性廃棄物；廃水；廃棄物固化；微生物分解；かび；細菌；微生物育種；セメント；アスファルト；ビニルエステル樹脂；圧縮強さ；低レベル廃棄物

K87081638, N87081724

RB-2 ビチューメンの生物分解試験 (film)

Biodegradation testing of bitumen.

BARLETTA R E, BOWERMAN B S, DAVIS R E, SHEA C E (Brookhaven National Lab., NY, USA)  
P998A US DOE Rep NO.BNL-NUREG-38999 PAGE.7p '86  
(T) (A1) (EN) (USA) (写図 3表 2参 12)

低レベル放射性廃棄物を固化する方法として用いられているビチューメン（アスファルトの一種）の長期間での安定性を調べる上で生物による分解速度が、どの程度であるか求める必要がある。種々の条件下で実験が行われ、代謝作用によって発生するCO<sub>2</sub>の量を測定している。平均では5.5×10<sup>-4</sup>cm<sup>3</sup>/yrの結果が得られた

MB05000Y (621.039.7)

低レベル廃棄物；廃棄物固化；安定性；二酸化炭素；ビチューメン；代謝；生物；微生物

K85091607, N85092161

RB-3 放射性廃棄物ビチューメン固化体の健全性に与える微生物の影響

Microbial activity on bituminized radioactive waste.

BUCKLEY L P (Atomic Energy of Canada); CLEGG B C (Arctic Lab. Ltd., Canada); OLDHAM W K (Univ. British Columbia, Canada)

C963A (0739-5876) Radioact Waste Manage Nucl Fuel Cycle VOL.6,  
NO.1 PAGE.19-36 '85

(J) (A1) (EN) (CHE) (写図 5表 7参 19)

カナダのChalk River原子力研究所では、低レベル放射性廃棄物の固化のため、ビチューメン固化を考えている。ビチューメン固化体は表面被覆能、非親水性に特に優れている。諸特性について既に検討しているが、ここでは微生物の存在により、固化体の核種封じ込め能にどの程度影響があるか検討した。実験ではビチューメンを物質代謝可能な微生物の繁殖しやすい条件で接触させ、<sup>60</sup>Co, <sup>137</sup>Csの固化体からの放出挙動を測定し、微生物を加えない場合の結果と比較検討した。その結果、微生物の活発となる条件でもビチューメン固化体の核種放出への影響は無視できる

MB05000Y (621.039.7)

カナダ；放射性廃棄物；廃棄物固化；ビチューメン；環境放射性核種移動；微生物分解性；コバルト60；セシウム137；密封；被覆材；浸出；性能；低レベル廃棄物

RB-4

ANSWER 9 OF 9

79(17):2281 NTIS Order Number : SAND-78-1371

Survey of Microbial Degradation of Asphalts with Notes on Relationship to Nuclear Waste Management.

ZoBell, C. E.; Molecke, M. A.

Scripps Institution of Oceanography, La Jolla, CA

Sponsor : Sandia Labs., Albuquerque, NM; Department of Energy

(5684000; 5659000)

Contract : EY-76-C-04-0789

SAND-78-1371

37 p. NTIS Prices : PC A03/MF A01

Dec 1978

English CY United States

GRA&I7917; ERA citation 04:025674

A survey has been made of the microbial degradation of asphalts. Topics covered include chemical and physical properties of asphalts, their chemical stability, methods of demonstrating their microbial degradation, and environmental extremes for microbial activity based on existing literature. Specific concerns for the use of asphalt in nuclear waste management, plus potential effects and consequences thereof are discussed. 82 references.

18G Radioactive wastes and fission products

77G Radioactive wastes and radioactivity

\*Asphalts; \*Radioactive waste management; Bacteria; Bibliographies; Biodegradation; Chemical properties; Encapsulation; Physical properties; Radioactive waste processing; Reviews; Solidification; Stability

Surveys

ENERGY CL 052002; NTISDE

RB-5

ANSWER 4 OF 9

84(23):1705 NTIS Order Number : NUREG/CR-3798

Characterization of Cement and Bitumen Waste Forms Containing Simulated Low-Level Waste

Incinerator Ash

Westsik, J. H. Jr; Buschbom, R. L.; Divine, J. R.; Harvey, C. O.; Lokken, R. O.

Battelle Pacific Northwest Labs., Richland, WA

Sponsor : Nuclear Regulatory Commission, Washington, DC. Office of Nuclear Regulatory Research

(048335000)

NUREG/CR-3798; PNL-5153

97 p. NTIS Prices : PC A05/MF A01

Aug 1984

English CY United States

GRA&I8423

Incinerator ash from the combustion of general trash and ion exchange resins were immobilized in cement and bitumen. Tests were conducted on the resulting waste forms to provide a data base for the acceptability of actual low-level waste forms. The testing was done in accordance with the Technical Position on Waste Form. Bitumen had a measured compressive strength of 120 psi and a leachability index of 13 as measured with the ANS 16.1 leach test procedure. Cement demonstrated a compressive strength of 1400 psi and a leachability index of 7. Both waste forms easily exceed the minimum compressive strength of 50 psi and leachability index of 6 specified in the Technical Position. Irradiation to 10<sup>-10</sup> to the 8th power RAD and exposure to thirty +60 to -30C thermal cycles did not significantly impact these properties. Neither waste form supported bacterial or fungal growth as measured with ASTM G21 and G22 procedures. However, there is some indication of biodegradation due to cometabolism processes. Neither bitumen nor cement containing incinerator ash caused any corrosion or degradation of potential container materials including steel, polyethylene and fiberglass. However, moist ash did cause corrosion of the steel.

18G Radioactive wastes and fission products

77G Radioactive wastes and radioactivity

71G Corrosion and corrosion inhibition

\*Incinerators; \*Solid waste disposal; \*Ashes; \*Containers; \*Corrosion tests; Cements; Bitumens; Steel structures; Fiberglass reinforced plastics; Polyethylene; Performance evaluation; Compressive strength; Leaching; Biodegradation; Ion exchange resins; Solidification; Microorganisms

\*Low-level radioactive wastes; \*Radioactive waste storage

NTISNUREG; NTISDE

RB-6

CN= 16041761  
TI= MICROBIAL PROCESSES IN THE FINAL REPOSITORY, THE SILO PART. THEORETICAL APPROACH AND PRELIMINARY EXPERIMENTS ON THE BIODEGRADATION OF BITUMEN. PART 1.  
AU= ROFFEY R; HJALMARSSON K  
CA= BROOKHAVEN NATIONAL LAB., UPTON, NY (USA)  
RP= BNL-TR--1037 (PB--84-108919)  
VN= 37 P. '84  
CI= (T) (N, , ) (EN ) (USA)  
AV= AVAILABLE FROM NTIS, PC A 03; 3 AS DE85001773  
CC= C54.00, E52.00  
KW= ANAEROBIC DIGESTION; BACTERIA; BITUMENS; CARBON DIOXIDE; DECOMPOSITION; EXPERIMENTAL DATA; HYDROGEN; INTERMEDIATE-LEVEL RADIOACTIVE; LOW-LEVEL RADIOACTIVE WASTES; PH VALUE; RADIOACTIVE WASTE DISPOSAL; RISK ANALYSIS

AB= On Commission of SKBF/KBS the microbial processes that are likely to occur in the silo part of SFR, the final repository for medium- and low-level nuclear wastes, have been put together. The experimental studies concerning microbial degradation of bitumen are described. From a microbial point of view it is the biodegradation of bitumen that constitutes the greatest risk in the silo part of SFR. The degradation, aerobic as well as anaerobic, leads to production of carbon dioxide which might cause a decrease in pH to such an extent that hydrogen-gas producing corrosion of metal could occur. This production of gas can cause an increase in internal pressure of the repository. A culture of bacteria able to degrade bitumen aerobically has been enriched. Until now no culture degrading bitumen under anaerobic conditions have been obtained. When making a risk assessment of the SFR at the present time it is not possible to completely disregard the microbial activity. An account is also given for some international contacts in this area. 11 references.

RB-7

CN= 19052180  
TI= REPORT ON CURRENT RESEARCH INTO ORGANIC MATERIALS IN RADIOACTIVE WASTE.  
AU= NORRIS G H  
CA= TAYWOOD ENGINEERING LTD., WINFRITH (UK); DEPARTMENT OF THE ENVIRONMENT, LONDON (UK)  
RP= TE--014Q/86/WC003 (DOE-RW--87.110)  
VN= 25 P. '87  
CI= (T) ( , , ) (EN ) (GBR)  
CT= PECD-7/9/156  
CC= E52.00  
KW= BACTERIA; CHELATING AGENTS; COMPLEXES; DECOMPOSITION; IMMobilization; INTERMEDIATE-LEVEL RADIOACTIVE; ORGANIC POLYMERS; PH VALUE; QUALITY CONTROL; RADIOLYSIS; RADIONUCLIDE MIGRATION; SOLUBILITY  
AB= A preliminary review of relevant recent papers on organic materials in radioactive waste is presented. In particular, the effects of chelating or complexing agents, the influence of bacteria and the role of colloids are assessed. The requirement for further radioactive waste inventory detail is indicated. Potential problem areas associated with the presence of organic materials in radioactive waste are identified and appropriate experimental work to assess their significance is proposed. Recommendations for specific further work are made. A list and diagrams of some of the more important polymer structures likely to be present in radioactive waste and their possible degradation products are appended. (author).

K83111323, N83122889

RB-8 低レベル廃棄物形態の安定性テスト (film)

Stability testing of low-level waste forms.

PICIULO P L, SHEA C E, BARLETTA R E  
(Brookhaven National Lab., New York)

P998A US DOE Rep NO.BNL-NUREG-32943 PAGE.19p '83

(T) (A1) (EN) (USA)

廃棄物形態に関するNRCの技術的見解表明において、低レベル廃棄物形態の熱サイクルテストおよび生物分解テストの方法が規定されている。これらのテストが合理的でかつ実施可能なものか否かを判定するため、これらのテストを実際に行なった。熱サイクルテストは固化廃棄物形態の熱的安定性を実証するのに十分であると考えられる。また生物分解テストは、生物による分解を受けやすい物質を区別するのに十分であると考えられる。しかし、これらのテストのいずれかが失敗しても、そのことが、その形態の10CFR Part61の安定性要求事項を満足しないことを意味しないことに注意しなければならない。

MB05000Y (621.039.7)

放射性廃棄物；廃棄物固化；熱特性；生物分解；安定性；安全基準；安全性；耐熱性；低レベル廃棄物

K86081470, N86081957

RB-9 固化体特性評価の現状 (film)

Status of waste form testing.

LAWROSKI H (Edison Electric Inst., ID)

P998A US DOE Rep NO.C CONF - 8409115 PAGE.631-636 '84

(T) (B2) (EN) (USA)

1983年12月27日以後、米国では新たに建設する浅地層処分場はNRCによる10CFR - Part61の規制を受ける。この法律では、処分には適切な固化体の使用と処分場の安定性を求めている。固化体については、1983年5月にNRCが10CFR - Part61よりも具体的で厳しい内容の特性を求めた。現在、固化体として、セメント、ビチューメン、高性能容器などが認められている。また固化体の健全性を実証できる実験結果の提出も要求。そこでここでは、固化体特性評価試験の詳細について解説。試験内容としては、1) 強度、2) 照射特性、3) 耐微生物侵食性、4) 浸出特性、5) 耐熱性、6) 最大含水率、などが求められている。

MB05000Y (621.039.7)

放射性廃棄物；地中処分；汚染規制；放射能汚染；環境放射性核種移動；廃棄物固化；セメント；ビチューメン；金属容器；固形廃棄物；性能試験；微生物分解性；耐放射線性；耐熱性；浸出；含水量；特性；評価；法規；浅地層処分

K84021284, N84021862

RB-10 低および中レベル放射性廃棄物固化体の特性評価試験

Characterization of low and medium level radioactive waste forms.

SAMBELL R A J (AERE Harwell, UK); DE BATIST R, VAN ISEGHEM P, BRODERSEN K, NOMINE J C, VEJMELKA P, KLUGER W, MCHUGH G, GLASSER F P

H244B EUR Rep Comm Eur Commun NO. EUR - 8663 PAGE.119p '83

(T) (A1) (EN) (LUX) (写図31表53参 34)

標記の特性評価試験に関するEC委員会の計画の初年度中に行なわれた研究結果の報告である。10種の代表的な固化体と各国が特別に興味を持っている固化体について、浸出性、放射線効果、微生物による変質、膨張と収縮などが調べられた。固化体マトリックスとしては、セメント、ポリマー／ビチューメンおよびガラス系がとりあげられている  
MB05000Y (621.039.7)

放射性廃棄物；廃棄物固化；特性化；浸出；性能試験；放射線効果；微生物学的反応；膨張；収縮；セメント；重合体；ビチューメン；ガラス；中レベル廃棄物；低レベル廃棄物

## (2) Bランク情報

K84051102, N84052371

### RB-11 アスファルト固化および他の中・低レベル廃棄物固化体の試験法に関する比較研究

Comparative study of test methods for bituminized and other low- and medium-level solidified waste materials.

BRODERSEN K, PEDERSEN B, M, VINTHER A (Riso National Lab., Denmark)

P911A (0418-6435) Risoe-M (Den Risoe Natl Lab) NO.RISOE-M-2415 PAGE 161p '83

(T) (A1) (EN) (DNK) (写図54表18参 18)

純アスファルト中の水の移行を決定する溶解度や拡散係数をMexphalte 40/50で測定した。アスファルト化した $\text{NaNO}_3$ ,  $\text{Na}_2\text{SO}_4$ または陽イオン交換樹脂の吸水, 膨潤, 浸出等の挙動はひょう量法で同時に測定できる。廃棄物の粒径は重要な因子である。膨潤は水や弱塩水とでは大きく強塩水とでは小さかった。固化イオン交換樹脂とコンクリート障壁との相互作用, 樹脂の固化前の熱処理効果, アスファルト(固化体)の微生物による劣化等も検討した。試料と容器間のクラックの影響を避けてセメント固化体の浸出率測定法を開発した。セメント固化した $\text{NaNO}_3$ や $\text{Na}_2\text{SO}_4$ の浸出率に及ぼす空気中 $\text{CO}_2$ の効果, シリカ蒸気の効果も調べた。これらの浸出は拡散律速である

アスファルト; 放射性廃棄物; 廃棄物固化; 水分; 溶解度; 拡散係数; 吸水; 膨潤; 浸出; 環境試験; イオン交換樹脂; 相互作用; コンクリート; 劣化; 拡散; 性能; 中レベル廃棄物; 低レベル廃棄物

RB-12

K84120921, N84122332

低レベル廃棄物固化体の安定性試験

Stability testing of low-level waste forms.

PICIULO P L, SHEA C E, BARLETTA R E

(Brookhaven National Lab., NY)

K840442 Nucl Waste Manage PAGE.464-473 '84

(C) (A1) (EN) (USA) (写図 4表 5参 9)

低レベル模擬廃棄物固化体の熱サイクル試験と微生物による劣化試験を行った。セメント、アスファルト、ビニルエステルスチレンを結合材とした固化体について熱サイクルによる変形、遊離液の量とpH、バクテリアとかびの発生状況および両試験後の圧縮強度を調べ、NRCが廃棄物固化体に関する技術的問題に述べている両試験法の妥当性を評価した。

MB05000Y (621.039.7)

放射性廃棄物；廃棄物固化；セメント；アスファルト；プラスチック；

劣化；性能試験；熱サイクル；材料試験；圧縮強さ；pH依存性；

微生物分解；低レベル廃棄物

RB-13

ANSWER 1 OF 9

88(13):930 NTIS Order Number : DE88750641/XAD

Characterization of Low and Medium Level Radioactive Wastes.

Nomine, J. C.; Tassigny, C.; Billon, J.

CEA Centre d'Etudes Nucleaires de Cadarache, Saint-Paul-les-Durance (France). Inst. de Recherche Technologique et de Developpement Industriel

(052119018; 9100911)

DE88750641/XAD; FRCEA-R-17

81 p. NTIS Prices : PC A05/MF A01

Availability : U.S. Sales Only.

Nov 1983

French CY France

GRA&I8813; ERA citation 13:005484

Leaching tests on real wastes embedded in cement, bitumens or resins are realized to study leachability of alpha-emitters or fission products and anion-cation exchange between leachate and embedded materials. Radionuclide distribution is examined by spectrogammametry on cores taken from cemented wastes. Qualitative results concerning degradation of waste blocks embedded in bitumens by bacteria in the ground are given:

77G Radioactive wastes and radioactivity

\*Waste Forms; Intermediate-Level Radioactive Wastes; Low-Level Radioactive Wastes; Bacteria;

Bitumens; Cements; Encapsulation; Leachates; Leaching; Radioactive Waste Storage; Resins

Foreign technology

ENERGY CL 052002; NTISDEE

RB-14

ANSWER 2 OF 9

87(14):2142 NTIS Order Number : PB87-176996/XAD

Microbial Degradation of Bitumen Used for Encapsulating Radioactive Waste (Mikrobiell Nedbrytning av Bitumen som Används för att Inkapsla Radioaktivt Avfall). (Final rept.)

Roffey, R.; Hjalmarsson, K.; Norqvist, A.

Försvarets Forskningsanstalt, Umeå (Sweden).

(073216000)

PB87-176996/XAD; FOA-C-40238-4.9

58 p. NTIS Prices : PC E04/MF E01

Notes : Summary in Swedish.

Mar 1987

English CY Sweden

GRA&I8714

A survey has been carried out concerning microbial processes that are likely to occur in the silo part of the final repository for low- and intermediate-level radioactive waste (SFR). The report is a summary of the studies that have been carried out. A literature review has been performed describing aerobic and anaerobic degradation of bitumen that constitutes the greatest risk in the silo part of SFR. The degradation, aerobic as well as anaerobic, leads to production of carbon dioxide which might cause a decrease in pH to such an extent that hydrogen-gas producing corrosion of metal could occur. Microorganisms have been isolated that can degrade bitumen. The experimental work shows that bitumen will be degraded under conditions similar to those in the repository and that anaerobic degradation also is possible.

77G Radioactive wastes and radioactivity

\*Bitumens; \*Degradation; \*Radioactive wastes; Radioactive waste processing; Microorganisms; Biodeterioration; Bacteria; Hydrocarbons; Gas production; Aerobic processes; Anaerobic processes  
\*Foreign technology

NTISTFSEAB

RB-15

CN= 19087725

TI= BIODEGRADATION OF BITUMINOUS PRODUCTS FROM PROCESSING LIQUID RADIOACTIVE WASTES.

AU= TIBENSKY L, KREJCI F, HLADKY E (VYSKUMNY USTAV JADROVYCH ELEKTRARNI, TRNAVA (CZECHOSLOVAKIA)); HALAMA D (SLOVENSKA VYSOKA SKOLA TECHNICKA, BRATISLAVA (CZECHOSLOVAKIA). CHEMICKOTECHNOLOGICKA FAKULTA)

JN= (0448-116X) JAD. ENERG.

VN= V. 34(6) P. 222-226 '88

CI= (J) ( , , ) (SK) ENGLISH TRANSLATION AVAILABLE FROM NUCLEAR INFORMATION CENTER, 156 16 PRAGUE 5-ZBRASLAV, CZECHOSLOVAKIA AT US\$ 10 PER PAGE.

CC= B24.50

KW= BIOINTRUSION; BITUMENS; CULTURE MEDIA; DECOMPOSITION; INHIBITION; LIQUID WASTES; PSEUDOMONAS; RADIOACTIVE WASTE DISPOSAL

AB= One of the possible ways of disturbing the stability of bituminous products from liquid radioactive waste processing, is biodegradation caused by common microorganisms. Pseudomonas bacteria and a Bacillus cereus culture were selected for experimental study of cultivation of microorganisms. Experiments with mixed cultures were also performed. Pitches, ajatin and imidazole were used as inhibitors. The thin layer and the emulsion methods were used in assessing biological corrosion. The results of the experiments are discussed with respect to the dependence of bacterial growth on bitumen biodegradation, the effect of pH on bitumen degradation and the effect of inhibitors on bitumen biodegradation. The salts contained in bituminous products were not found to significantly affect the rate of destruction. The degree of degradation was found to mainly depend on the bitumen, its chemical composition, and on the conditions of storage. It was also found that inhibitor additions in some cases modified the properties of the matrix such that it became more liquid. The coefficient of extractability thus increased of matrix salts. The recultivation of bacteria on a full-value medium resulted in the loss of the inhibitory effect. In some cases, the inhibitor even stimulated the growth of microorganisms. The use of inhibitors in an effort to achieve biostability of bituminous products thus did not solve the problem. (Z.M.). 2 tabs., 9 refs.

## 4. 低レベル放射性廃棄物管理における固化体の耐候性 等に関する情報

### (1) Aランク情報

RW-1

ANSWER 3 OF 6

85(08):1711 NTIS Order Number : DE85003886/XAD

Field Lysimeter Facility for Evaluating the Performance of Commercial Solidified Low-Level Waste.

Walter, M. B.; Graham, M. J.; Gee, G. W.

Battelle Pacific Northwest Labs., Richland, WA

Sponsor : Department of Energy, Washington, DC  
(048335000; 9512268)

Contract : AC06-76RL01830

DE85003886/XAD; PNL-5253

46 p. NTIS Prices : PC A03/MF A01

Availability : Portions are illegible in microfiche products. Original copy available until stock is exhausted.

Nov 1984

English CY United States

GRA&I8508; ERA citation 10:006521

Analyzing the potential migration of radionuclides from sites containing solid low-level wastes requires knowledge of contaminant concentrations in the soil solution surrounding the waste. This soil solution concentration is generally referred to as the source term and is determined by such factors as the concentration of radionuclides in the solid waste, the rate of leachate formation, the concentration of dissolved species in the leachate, any solubility reactions occurring when the leachate contacts the soil, and the rate of water flow in the soil surrounding the waste. A field lysimeter facility established at the Hanford site is being used to determine typical source terms in arid climates for commercial low-level wastes solidified with cement, Dow polymer (vinyl ester-styrene), and bitumen. The field lysimeter facility consists of 10, 3-m-deep by 1.8-m-dia closed-bottom lysimeters situated around a 4-m-deep by 4-m-dia central instrument caisson. Commercial cement and Dow polymer waste samples were removed from 210-L drums and placed in 8 of the lysimeters. Two bitumen samples are planned to be emplaced in the facility's remaining 2 lysimeters during 1984. The central caisson provides access to the instrumentation in the individual lysimeters and allows selective sampling of the soil and waste. Suction candles (ceramic cups) placed around the waste forms will be used to periodically collect soil-water samples for chemical analysis. Meteorological data, soil moisture content, and soil temperature are automatically monitored at the facility.

Characterization of the soils and waste forms have been partially completed. These data consist of moisture release characteristics, particle-size distribution, and distributions and concentrations of radionuclides in the waste forms. 11 references, 12 figures, 5 tables.

18G Radioactive wastes and fission products

77G Radioactive wastes and radioactivity

68F Radiation pollution and control

68D Water pollution and control

68C Solid wastes pollution and control

\*Ground Water; \*Low-Level Radioactive Wastes; \*Soils; Bitumens; Cements; Hanford Reservation;

RW-2

CN= 768252

TI= WEATHERING AND DECONTAMINATION OF RADIOACTIVITY DEPOSITED ON ASPHALT SURFACES.

AU= WARMING L

CA= RISOE NATIONAL LAB., ROSKILDE (DENMARK)

JN= (87-550-0903-4)

RP= RISO-M--2273

VN= 22 P. '82

CI= (T) ( , , ) (EN ) (DNK) 6 REFS.

AV= ALSO AVAILABLE FROM RISOE LIBRARY, DK-4000 ROSKILDE, DENMARK

CC= C54.00

KW= ASPHALT; DECONTAMINATION; EXTERNAL IRRADIATION; FALLOUT DEPOSITS; FISSION PRODUCTS; GAMMA RADIATION; REACTOR ACCIDENTS; SNOW; SURFACE CLEANING; SURFACE CONTAMINATION; URBAN AREAS; WATER; WEATHER

AB= Longlived fission products might be deposited in the environment after a serious reactor accident. At Risoe we have studied how danish weather conditions and fire hosing influence the decontamination of Rubidium 86 (representing Cesium 134 and 137) Barium-Lanthanum 140 and Ruthenium 103 deposited on asphalt surfaces. Measurements have been done at different types of roads and during all seasons including winter with snow and ice cover of the roads. The results from the first five experiments were used for calculating doses to the population in the land contamination (RISO-R-462). (author).

RW-3

CN= 16045600

TI= WEATHERING AND DECONTAMINATION OF RADIOACTIVITY DEPOSITED ON CONCRETE SURFACES.

AU= WARMING L

CA= RISOE NATIONAL LAB., ROSKILDE (DENMARK)

JN= (87-550-1068-7)

RP= RISO-M--2473

VN= 13 P. '84

CI= (T) ( , , ) (EN ) (DNK)

CT= BIO-F-423-81-F, CONTRACT SC-014-BIAF-423-DK(SX)

AV= ALSO AVAILABLE FROM RISOE LIBRARY, DK-4000 ROSKILDE, DENMARK

CC= C54.00

KW= ASPHALT; CONCRETES; DECOMPOSITION; DECONTAMINATION; EXTERNAL IRRADIATION; FALLOUT DEPOSITS; FISSION PRODUCTS; GAMMA RADIATION; REACTOR ACCIDENTS; RODS; RUBIDIUM 86; SURFACE CLEANING; SURFACE CONTAMINATION; URBAN AREAS; WATER; WEATHER

AB= Long lived fission products might be deposited in the environment after a serious reactor accident. At Risoe we have studied how Danish weather conditions and fire hosing influence the decontamination of Rubidium86 (representing Cesium134 and Cesium137) deposited on concrete surfaces. Measurements have been made at two different types of concrete and at some asphalt surfaces for comparison. (author).

(2) B7-7情報

RW-4

ANSWER 4 OF 6

85(08):1230 NTIS Order Number : DE85002525/XAD

Evaluation of the Performance of Solidified Commercial Low-Level Wastes in an Arid Climate.

Graham, M. J.; Walter, M. B.

Battelle Pacific Northwest Labs., Richland, WA

Sponsor : Department of Energy, Washington, DC

(048335000; 9512268)

Contract : AC06-76RL01830

DE85002525/XAD; PNL-SA-12538; CONF-8409115-12

13 p. NTIS Prices : PC A02/MF A01

Notes : Annual Low-Level Waste Management Program participants' information meeting, Denver, CO, USA, 11 Sep 1984.

Sep 1984

English CY United States

GRA&I8508; ERA citation 10:004396

Shallow land burial is being used as a disposal method for commercial low-level waste at waste disposal sites in arid (Hanford site near Richland, Washington) and humid (Barnwell, South Carolina) climatic regions. A field lysimeter facility has been established at the Hanford site in which to conduct waste-form leaching tests. The primary objective of this research is to determine typical source terms generated by commercial solidified low-level wastes. The field lysimeter facility consists of ten 3-m-deep by 1.8-m-diameter, closed-bottom lysimeters around a central instrument caisson, 4 m in diameter. Commercial cement and vinyl ester-styrene waste samples were removed from 210-L drums and placed in the 1.8-m-diameter lysimeters. Two bitumen samples are planned to be emplaced in the facility in 1984. The central caisson provides access to the instrumentation in the individual lysimeters and allows selective sampling of the soil and waste forms. Suction candles (ceramic cups) placed around the waste will be used to periodically collect soil water samples for chemical analysis. Meteorological data, moisture content, and soil temperature are automatically monitored at the facility.

Characterization of the soils and waste forms have been partially completed. These data consist of moisture release characteristics, particle size distribution, concentrations and distributions of radionuclides in the waste forms, concentrations of radionuclides in the waste streams, and concentrations of hydrophilic organic species in one of the waste streams. 8 references, 3 figures, 5 tables.

18G Radioactive wastes and fission products

77G Radioactive wastes and radioactivity

68F Radiation pollution and control

\*Low-Level Radioactive Wastes; \*Waste Forms; Arid Lands; Bitumens; Comparative Evaluations;

RW-5

ANSWER 2 OF 6

86(02):1223 NTIS Order Number : DE85017906/XAD

Special Waste Form Lysimeters-Arid. Annual Report, 1985.

Walter, M. B.; Graham, M. J.

Battelle Pacific Northwest Labs., Richland, WA

Sponsor : Department of Energy, Washington, DC

(048335000; 9512268)

Contract : AC06-76RL01830

DE85017906/XAD; PNL-SA-13314; CONF-8509121-2

11 p. NTIS Prices : PC A02/MF A01

Notes : Annual DOE LLWMP participants information meeting, Las Vegas, NV, USA, 10 Sep 1985.

Sep 1985

English CY United States

GRA&I8602; ERA citation 10:048287

The Special Waste Form Lysimeters-Arid program was initiated to determine typical source terms generated by commercial solidified low-level nuclear waste in an arid climate. Waste-form leaching tests are being conducted at a field facility at the Hanford site near Richland, Washington. A similar program is being conducted at a humid site. The field facility consists of 10 lysimeters placed around a central instrument caisson. The waste samples from boiling water and pressurized water reactors were emplaced in 1984, and the lysimeters are being monitored for movement of contaminants and water. Solidifying agents being tested include vinyl ester-styrene, bitumen, and cement. Laboratory leaching and geochemical modeling studies are being conducted to predict expected leach rates at the field site and to aid field-data interpretation. Small samples of the solidified waste forms were made for use in the laboratory leaching studies that include standard leach tests and leaching of solidified waste forms in soil columns. Complete chemical and radionuclide analyses are being conducted on the solid and liquid portions of the wastes. 2 refs.

18G Radioactive wastes and fission products

77G Radioactive wastes and radioactivity

68F Radiation pollution and control

\*Cesium 137; \*Cobalt 60; \*Low-Level Radioactive Wastes; \*Soils; \*Waste Forms; Arid Lands; BWR Type Reactors; Bench-Scale Experiments; Bitumens; Cements; Experimental Data; Hanford Reservation; Leaching; PWR Type Reactors; Radioactive Waste Disposal; Radionuclide Migration; Solid Wastes; Styrene

ENERGY CL 053000; ENERGY CL 052002; ENERGY CL 510301; NTISDE

RW-6

CN= 451863

TI= TECHNICAL EVALUATION OF UREA-FORMALDEHYDE RESINS INCORPORATING SPENT ION EXCHANGERS FROM NUCLEAR POWER PLANTS.

AU= DONATO A (COMITATO NAZIONALE PER L'ENERGIA NUCLEARE, CASACCIA (ITALY).  
LAB. RIFIUTI RADIOATTIVI)

JN= ATOMKERNENERG. KERNTech.

VN= V. 33(1) P. 34-37 '79

CI= (J) ( , , ) (EN ) (DEU)

CC= B24.00, E51.00

KW= CESIUM 137; COBALT 58; DIFFUSION; FISSION PRODUCT RELEASE; FLAMMABILITY; FORMALDEHYDE; ION EXCHANGE; LEACHING; MECHANICAL PROPERTIES; PH VALUE; RADIOACTIVE WASTES; RESINS; SAMPLE PREPARATION; SOLIDIFICATION; STRONTIUM 85; UREA; VERY HIGH TEMPERATURE; WATER; WEATHER

AB= The properties of urea-formaldehyde incorporating spent Powdex ion exchange resins were examined from the radiological protection and safety point of view. The following properties were taken into consideration; flammability and heat resistance; mechanical strength; resistance to weathering; leachability. Urea-formaldehyde presents very poor mechanical resistance; extremely high leakage of Cesium; very low pH values produced in the water going in contact with it; no resistance to weather cycles. Its is opinion of the author that urea-formaldehyde cannot replace cement or bitumen for the solidification of spent ion exchange resins from nuclear power plants.  
(orig.).

RW-7

CN= 17070072

TI= PROJECT GUARANTEE 1985. FINAL REPOSITORY FOR LOW- AND INTERMEDIATE-LEVEL RADIOACTIVE WASTES: THE SYSTEM OF SAFETY BARRIERS.

CA= NATIONALE GENOSSENSCHAFT FUER DIE LAGERUNG RADIOAKTIVER ABFAELLE (NAGRA), BADEN (SWITZERLAND)

RP= NGB--85-07

VN= 254 P. '85

CI= (T) ( , , ) (DE ) (CHE)

CC= E52.00

KW= BACKFILLING; BITUMENS; CEMENTS; CLIMATES; CONTAINERS; CORROSION; DIFFUSION; GEOCHEMISTRY; GEOLOGY; HYDROLOGY; INTERMEDIATE-LEVEL RADIOACTIVE; LOW-LEVEL RADIOACTIVE WASTES; MATHEMATICAL MODELS; MICROORGANISMS; ORGANIC POLYMERS; RADIOACTIVE WASTE DISPOSAL; RADOLYSIS; RADIONUCLIDE MIGRATION; SAFETY ANALYSIS; SOLUBILITY; UNDERGROUND DISPOSAL

AB= The safety barrier system for the type B repository for low- and intermediate-level waste is described. The barrier parameters which are relevant for safety analysis are quantified and associated error limits and data scatter are given. The aim of the report is to give a summary documentation of the safety analysis input data and their scientific background. For secure containment of radioactive waste safety barriers are used which effectively limit the release of radioactive material from the repository (release barriers) and effectively retard the entry of the original radioactive material into the biosphere (time barriers). In the case of low- and intermediate-level waste the technical safety barrier system comprises: waste solidification matrix (cement, bitumen and resin), immobilisation of the waste packages in containers using liquid cement, concrete repository containers, backfilling of remaining vacant storage space with special concrete, concrete lining of the repository caverns, sealing of access tunnels on final closure of the repository. Natural geological safety barriers - host rock and overlying formations - have the following important functions. Because of its stability, the host rock in the repository zone protects the technical safety barrier system from destruction caused by climatic effects and erosion for a sufficient length of time. It also provides for low water flow and favourable chemistry (reducing conditions).